

UNIVERSIDAD NACIONAL DE INGENIERÍA

FACULTAD DE INGENIERÍA MECÁNICA



**DISEÑO DE UN SISTEMA DE TRANSPORTE DE 6 490
m³/h DE AGUA PARA UNA PLANTA
CONCENTRADORA DE COBRE**

INFORME DE SUFICIENCIA

**PARA OPTAR EL TÍTULO PROFESIONAL DE:
INGENIERO MECÁNICO**

LUIS CARLOS SARMIENTO IGNACIO

PROMOCIÓN 2010-I

LIMA-PERU

2013

INDICE

	PAG.
PROLOGO	1
CAPITULO I: INTRODUCCIÓN	
1.1 OBJETIVOS	3
1.1.1 Objetivo General	3
1.1.2 Objetivos Específicos	3
1.2 ALCANCES	4
1.3 LIMITACIONES.....	4
1.3.1. Naturales	4
1.3.2 Técnicas	4
1.4 JUSTIFICACIONES	5
1.4.1 Naturales.....	5
CAPITULO II: MARCO TEORICO	
2.1 CRITERIOS DE DISEÑO.....	6
2.1.1 Criterios de Diseño para la Captación de agua Bombas.....	6
2.1.2 Criterios de selección de la Tubería de conducción de agua – Línea de Tubería.....	7
2.1.3 Criterio de selección del trazo (ruta) de la tubería	9
2.1.4 Criterios de selección de la configuración de la estación de bombeo	11
2.2 NORMAS.....	13
2.3 MODELO DE CALCULO.....	13
2.3.1 Calculo Hidráulico	13
2.3.2 Análisis de Transiente	23
2.3.3 Fundamento económico	26
2.4 CONSIDERACIONES DE DISEÑO.....	27
2.4.1 Características del Diseño.....	27
2.4.2 Parámetros de Diseño	28

CAPITULO III: DESCRIPCIÓN DE DISEÑO

3.1 CONDICIONES TOPOGRÁFICAS	29
3.1.1 Estación de Bombeo 4B	29
3.2 PLANTEAMIENTO DEL PROBLEMA	29

CAPITULO IV: ESPECIFICACIONES TECNICAS PARA EL DISEÑO DE UN SISTEMA DE BOMBEO

4.1 DESCRIPCIÓN DE LOS COMPONENTES	31
4.2 ESPECIFICACIONES DEL EQUIPO DE BOMBEO	32
4.2.1 Requerimientos Generales	32
4.2.2 Funcionamiento de la Bomba	33
4.2.3 Carcasa	33
4.2.4 Conexiones y boquillas de las bombas	33
4.2.5 Placas base de montaje de la bomba(bastidor)	34
4.2.6 Impulsor	34
4.2.7 Rodamientos y Lubricación	35
4.2.8 Eje	35
4.2.9 Sello del eje	35
4.2.10 Motor	35
4.2.11 Acoplamiento	36
4.2.12 Pinturas	36
4.2.13 Instrumentación y Control	37
4.3 ESPECIFICACIONES DE LA TUBERÍA DE CONDUCCIÓN	37
4.3.1 Tubería de acero	38
4.3.2 Tubería de HDPE	38
4.3.3 Accesorios de acero	39
4.3.4 Bridas	39
4.3.5 Pernos y espárragos	39
4.3.6 Empaquetadura	39
4.4 ESPECIFICACIÓN DE LAS VÁLVULAS	39

CAPITULO V: DISEÑO DEL SISTEMA DE TRANSPORTE DE AGUA PARA PLANTA CONCENTRADORA

5.1 ANÁLISIS TÉCNICO ECONÓMICO PARA DETERMINAR EL DIÁMETRO DE LA TUBERÍA DE CONDUCCIÓN	41
5.1.1 Resultado de cálculos para las tuberías	41

5.1.2	Resultado de cálculos para las bombas.....	46
5.1.3	Resultado de costos y evaluación económica.....	47
5.2	DIMENSIONAMIENTO DE LA ESTACIÓN DE BOMBEOS	52
5.2.1	Dimensión y Selección de Bombas	52
5.2.2	Cálculo y selección de válvulas y accesorios	53
5.2.3	Línea de Impulsión.....	55
5.2.4	Resultado del modelamiento de sobrepresiones.....	57
CAPITULO VI: COSTOS		
6.1	COSTOS TOTALES DE INVERSIÓN.....	61
CONCLUSIONES		63
RECOMENDACIONES		65
BIBLIOGRAFÍA		66
ANEXOS		67
PLANOS		68

PRÓLOGO

El presente informe de suficiencia está basado en el diseño de un sistema de transporte de agua fresca para el abastecimiento a una planta concentradora de cobre de 240 000 toneladas de mineral por día.

Los sistemas de transporte de agua son ampliamente utilizados en el campo de la minería y en la industria en general para el manejo de diversos tipos de fluidos y dependiendo de la necesidad. El agua es el elemento fundamental para el proceso del mineral en una planta concentradora y es de vital importancia el transporte, las características químicas del fluido, la presión, la temperatura y caudal requerido. Tanto el diseño, la construcción como el mantenimiento son etapas en donde se deberá cumplir con las normas internacionales establecidas e indicadas en el presente informe.

El trabajo presenta un procedimiento que parte desde la concepción del problema, el planteamiento, el análisis de alternativas y la correcta selección de los equipos que forman parte del sistema de transporte de agua, describiéndose en seis capítulos:

En el **capítulo I** se resumen los objetivos, alcances y limitaciones del presente informe, describiremos en forma breve los aspectos generales que llevaron a desarrollar la ingeniería de detalle para el sistema de transporte de agua para abastecer a una planta concentradora de cobre.

En el **Capítulo II** se presentan las definiciones, conceptos y términos usados en sistemas de transporte de agua, los criterios de diseño y de selección de los componentes que comprende un sistema de bombeo de agua. Un punto muy importante dentro de este capítulo es la definición de los datos de partida que son los valores definidos de donde parten los cálculos de todo el sistema.

En el **Capítulo III** se describe el diseño teniendo como punto de partida los datos a utilizar, como las condiciones topográficas donde se obtiene los niveles en de la bomba y de los equipos, así como se plantea el problema y se dan las pautas para evaluar el diseño del sistema.

En el **Capítulo IV** se realiza la descripción general de las especificaciones técnicas que deben cumplir los componentes del sistema de transporte de agua, las especificaciones técnicas de las bombas en la estación de bombeo, la tubería de conducción, las válvulas y los accesorios de la tubería.

En el **Capítulo V** se presenta el análisis técnico económico para determinar el diámetro de la tubería y la potencia de las bombas centrífugas, presentando los resultados económicos como el valor actual de costos y la tasa de descuento. Se resume además los resultados de los cálculos de la selección óptima de los equipos principales que forman parte del sistema de transporte.

En el **Capítulo VI** se muestra los costos de inversión (CAPEX) necesarios para ejecutar la construcción del sistema de transporte de agua propuesto. Cada partida de los costos de inversión está representada por la disciplina que lo involucra, ya sea mecánica, civil, eléctrica o instrumentación.

Finalmente se resumen en las conclusiones principales del proyecto realizado.

Siendo el agua uno de los principales recursos de la minería en el Perú, el uso de nacional de la misma y por ende el consumo de energía requerido para el transporte de la misma, nos lleva a optimizar el dimensionamiento de los equipos para garantizar la disponibilidad de agua en la planta concentradora de cobre.

CAPITULO I

INTRODUCCIÓN

1.1 OBJETIVOS

1.1.1 Objetivo General

El presente informe tiene como objetivo general desarrollar la ingeniería de detalle (cálculo, diseño y especificación para compra) para el sistema de transporte de 6490 m³/h de agua para la puesta en operación de la nueva planta concentradora de cobre de la empresa minera Cerro Verde ubicada en la Ciudad de Arequipa –Perú.

1.1.2 Objetivos Específicos

Los objetivos específicos para el presente trabajo son en resumen los siguientes:

- Desarrollar el diseño del sistema de tuberías para transportar 6490 m³/h de agua, para la nueva planta concentradora de Cobre.
- Diseñar la estación de bombeo “4B”, determinando la capacidad de los equipos de bombeo para su adecuado control y operación.
- Especificar y seleccionar los equipos de bombeo necesarios para la respectiva adquisición y pruebas en campo.
- Dimensionar y seleccionar los diámetros y espesores de las tuberías, válvulas y accesorios a emplear para el control y protección del sistema.

1.2 **ALCANCES**

Los siguientes alcances determinan los límites del presente trabajo:

- a. La especificación de los equipos necesarios para la operación de la estación de bombeo "4B", desde el tanque TK-750 hasta el tanque TK-740 ubicado en los alrededores de la nueva planta concentradora CV2.
- b. El dimensionamiento de las tuberías y accesorios a usar para el control y protección durante la operación del sistema de bombeo.
- c. Planos de Arreglo General de la Estación de Bombeo 4B.
- d. La estimación de los costos necesarios para el desarrollo del estudio de ingeniería.

1.3 **LIMITACIONES**

1.3.1. **Naturales**

- a. El terreno agreste de difícil acceso por donde cruzara la línea de tuberías para el transporte de agua.

1.3.2 **Técnicas**

- a. El diseño de los sistemas de bombeo requeridos deberán suministrar una capacidad de flujo total de 6490 m³/h, los cuales transportara agua hasta el Tanque TK -740 ubicado en el interior de la Nueva Planta Concentradora CV2.
- b. El sistema de bombeo a diseñar contara con una (01) Línea de impulsión que llevara el agua desde el tanque TK-750 ubicado en la estación de bombeo 4B hacia el tanque TK-740, con una cantidad de (4) bombas instaladas; 3 bombas en operación y una bomba en espera, impulsando el agua con un flujo de 2163.3 m³/h por cada bomba.

1.4 **JUSTIFICACIONES**

1.4.1 **Naturales**

- a) La justificación de este trabajo se basa en la necesidad del sector minero en utilizar sistemas de bombeo eficientes, de bajo costo operativo y alta confiabilidad, para el transporte de agua desde fuentes lejanas al yacimiento minero para abastecer la demanda del proceso que requiere la Planta Concentradora para la obtención de minerales concentrados.

CAPITULO II

MARCO TEORICO

2.1 CRITERIOS DE DISEÑO

2.1.1 Criterios de Diseño para la Captación de agua Bombas

La captación de agua para el proceso de la planta concentradora, para que pueda ser eficiente y estar bajo las normas reguladoras, se realizará en base a los siguientes criterios:

- El punto de captación de agua debe estar lo más cerca posible a la línea de succión de las bombas. En el caso de ser un tanque, las pérdidas no serán mayores a 3 veces la altura de velocidad de la línea de succión.
- El agua captada debe cumplir con los requerimientos de calidad mínimas para que pueda ser impulsada por las bombas centrifugas y evitar su desgaste excesivo.
- La captación de agua deberá estar lo más cerca de la planta concentradora con el fin de acortar la longitud de tubería y ahorro de energía.
- La captación no debe afectar o alterar el medio ambiente circundante (presencia de fauna y flora).
- A menos que se especifique lo contrario, en todas las bombas centrifugas horizontales se deberán instalar una válvula de retención (tipo Check) en la línea de descarga entre la bomba y la válvula de cierre.

2.1.2 Criterios de selección de la Tubería de conducción de agua –

Línea de Tubería

Para tener un óptimo resultado en el transporte de agua es necesario realizar estudios técnicos y económicos para decidir el diámetro, material, presión, protección de la tubería de conducción, trazado de la ruta, considerando lo siguiente:

- Las propiedades del fluido generan un impacto importante en el diseño de la tubería. Se deberán determinar y caracterizar las propiedades físicas y químicas del fluido tales como la viscosidad, densidad, pH, porcentaje de sólidos en suspensión, tamaño de partícula, temperatura, etc.
- El medio ambiente afecta en el diseño de la tubería. Sea una instalación expuesta o enterrada. Para una instalación enterrada se deberá determinar la temperatura promedio del terreno, la conductividad, densidad, calor específico y la profundidad de la instalación. En el caso de una instalación expuesta (sobre terreno), la temperatura y la velocidad del aire tendrán un impacto significante en el diseño.
- La estabilidad del terreno donde se realizará la instalación (enterrada o expuesta) influenciará en el diseño del sistema de soporte. Las variaciones en la elevación del terreno causado por movimientos sísmicos pueden afectar el diseño de la tubería y su integridad frente a fenómenos climatológicos.
- El material de la tubería debe evitar que el agua ocasione erosión y corrosión mayor que las tolerancias de diseño en el tiempo de su funcionamiento.

- La tubería debe considerar los espesores adecuados para resistir cargas internas como externas. Las cargas internas comprende la presión de bombeo, sobrepresiones causadas por el arranque y parada de las bombas.
- Para las tuberías del sistema se deberá tomar en cuenta varios factores tales como la caída de presión y la velocidad máxima permisible, visto desde el punto de erosión y ruido, y los factores económicos (cuando un líquido es comprimido bombeado).
- Las tuberías deberán ser dimensionadas de manera que pueda asegurar que la caída de presión total del sistema (incluyendo caída de presión debido a válvulas, equipos de control, etc.) no exceda la caída de presión admisible. Los siguientes criterios se dan como pautas para determinar el dimensionamiento de tuberías:

A. Criterio de caída de presiones

Cuando se dispone de una presión dada o una carga estática, dimensionar una línea es relativamente simple. Se debería dimensionar de modo de no consumir más de la presión admisible a las condiciones de flujo especificadas. La pérdida friccional de presión admisible está limitada por las caídas de presión debido a otros componentes del sistema (por ejemplo válvulas de control, equipos, etc.).

La caída de presión friccional para los sistemas de una fase deberá calcularse usando la fórmula de Darcy-Weisbach. Para determinar el factor de fricción, se deberá usar la ecuación de Colebrook-White o el nomograma de Moody.

Un margen de seguridad de 10% se deberá agregar a todos los cálculos de pérdidas por fricción para tomar en cuenta el envejecimiento de

la tubería, la diferencia en diámetro o cualquier condición anormal de la superficie interior de la tubería. El margen de seguridad se debería agregar solamente a las perdidas friccionales y no a las pérdidas de presión debido a cambios de elevación o aceleración.

B. Criterio de velocidad del flujo

Cada tamaño de línea calculado debe ser revisado para asegurarse de que la velocidad resultante sea razonable. Si el tamaño de la tubería no está regido por la caída de presión o factores económicos, entonces los límites de velocidad son por lo general el factor decisivo. Además, otras limitaciones de velocidad, tales como sedimentación, velocidad erosional, velocidad sónica, velocidad de arrastre y ruido deben considerarse al dimensionar las tuberías.

Los criterios de velocidad se dan como una pauta general.

Las velocidades fuera de los rangos especificados pueden ser aceptables y deben ser evaluados sobre la base de caso por caso. Velocidades de hasta 3 m/s son aceptables para tuberías de mayor diámetro.

2.1.3 Criterio de selección del trazo (ruta) de la tubería

- El trazo de la tubería deberá ser lo más recto posible, manteniendo una pendiente positiva desde el punto de inicio del bombeo hasta el punto final de entrega del agua. Este criterio estará limitado por las condiciones geográficas y ambientales del lugar.
- El trazo de la tubería deberá realizarse en zonas donde se cuente con accesos para brindar facilidades de almacenamiento y control del suministro de tuberías, así como realizar los trabajos de instalación y supervisión. Se deberán identificar puntos críticos en el trazado,

como cruce de carreteras o vías de bajo y alto tránsito, cruce de ríos o quebradas, cruce de vías ferroviarias, zonas de alto deslizamiento de rocas, cursos de aguas y cruce de zonas pobladas.

- El trazo de la tubería debe evitar zonas donde la expansión poblacional puede generar impactos negativos en la infraestructura de la tubería o generar efectos barrera en los accesos a las comunidades cuando la tubería está sobre terreno. Asimismo, se debe evitar que el trazo cruce áreas protegidas por el I.N.C. (Instituto Nacional de Cultura) como restos arqueológicos existentes en la zona de la instalación.
- Para realizar la selección de la ruta de la tubería, se deben realizar las siguientes actividades:

Estudio preliminar de alternativas de ruta, identificando dificultades que deberán remarcar áreas no deseadas, como zonas pobladas que puedan generar conflictos sociales, identificación de accesos existentes y proyectados, presencia de ríos y quebradas, recopilando la información geográfica del lugar del trazo. Como información disponible se cuenta con planos cartográficos e imágenes satelitales.

Desarrollo del estudio de factibilidad, donde se determinara técnica y económicamente la mejor alternativa de trazo de la tubería. En este estudio se definirá el tamaño y características de los equipos principales.

Estudio legal de la ruta de la tubería que brindara los permisos para obtener la franja de servidumbre para la instalación de la tubería. Como la compañía minera tiene

concesión de los terrenos por donde pasa la tubería, este punto no es muy crítico.

- Ingeniería básica, donde se desarrollaran los estudios ambientales geológicos, geotécnicos, levantamiento topográfico, estudios de suministro de energía, elaboración de especificaciones técnicas y hoja de datos de los equipos.
- Ingeniería de detalle, donde se realizaran los planos para la construcción de la obra.

2.1.4 Criterios de selección de la configuración de la estación de bombeo

El equipo de bombeo y sus sistemas auxiliares, son seleccionados para las condiciones de máxima demanda. Teniendo en cuenta esta premisa, se debe tener en cuenta la demanda de agua que requiere la planta a flujo constante 24 horas al día. Se analiza los siguientes puntos:

- Tipo de bomba a utilizar. En el gráfico 2.1 se presenta la clasificación de bombas existentes para el bombeo de líquidos. Para este caso se utiliza la bomba centrífuga de flujo radial, de succión simple y de múltiples etapas. Sus características principales son:
 - Son los más comunes y preferidos para bombeos en sistemas de tuberías.
 - Tienen una pulsación mínima en la descarga.
 - Presenta buena eficiencia en rango amplio de presiones y caudales.
 - La presión de descarga está en función de la densidad del flujo.

- Los componentes que conforman la bomba son menos costosas que otros tipos de bombas.
- Alta confiabilidad.
- Pueden ser de múltiples etapas para altas presiones.
- Potencia y capacidad de bombas: 4 50 % (tres en operación y uno en reserva).
- Punto de operación (presión y caudal de diseño), eficiencia, pérdidas de carga y consumo de energía.
- Altura neta de succión positiva NPSH disponible.
- Alimentación eléctrica: capacidad y longitud de las líneas de transmisión, subestación de llegada, sistemas de comunicación, protección y medición.

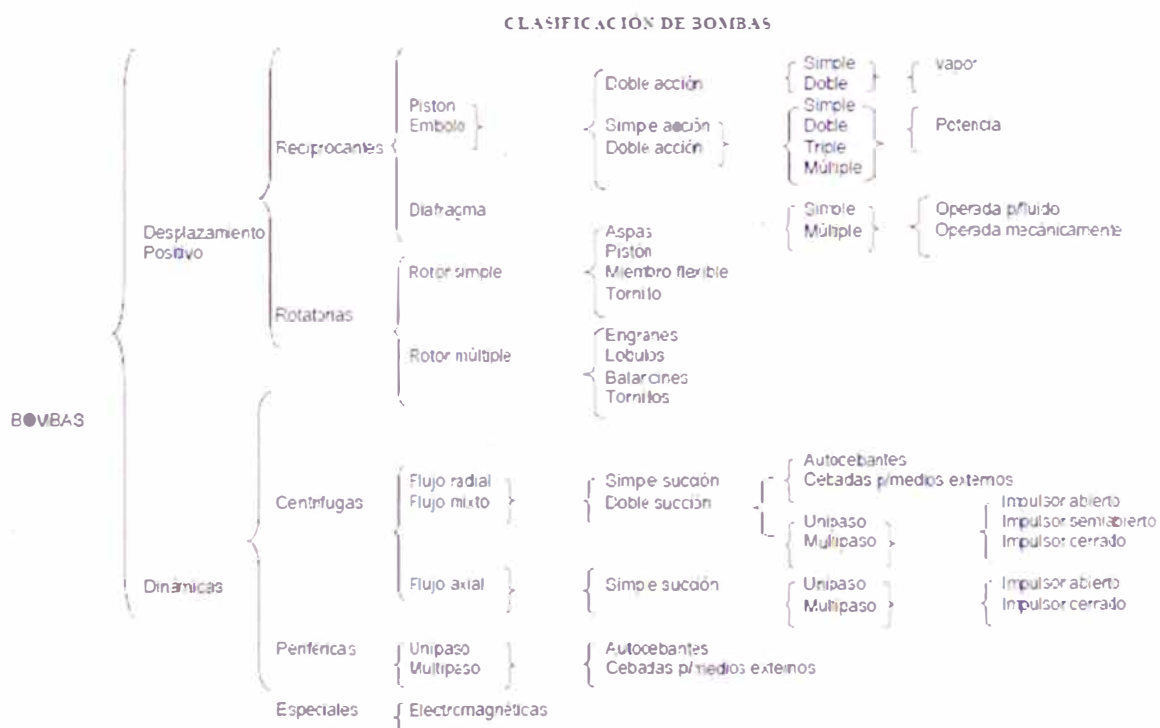


Gráfico 2.1

2.2 NORMAS

El desarrollo de los diseños está basado en las siguientes normas y códigos internacionales:

- ANSI American National Standards Institute
- ASME American Society of Mechanical Engineers
- ASTM American Society of Testing Material
- AISI American Iron and Steel Institute
- AWS American Welding Society
- API American Petroleum Institute
- MSHA Mine Safety and Health Administration
- OSHA Occupational Safety and Health Association
- PPI Plastic Pipe Institute
- ISO International Organization for Standardization
- DIN Deutsche Industrie Norm
- NTP Normas Técnicas Peruanas
- AWWA American Water Works Association (AWWA C906)
- HIS Hydraulic Institute Standard

2.3 MODELO DE CALCULO

Para la correcta realización de los cálculos del estudio se consideran los siguientes modelos:

2.3.1 Calculo Hidráulico

A. **Altura Requerida de Bombas – Ecuación de Bernoulli**

Para realizar los cálculos hidráulicos de la planta de bombeo se asume que el fluido es un fluido incompresible, con densidad constante a lo largo de la operación y funcionamiento de la Estación de bombeo.

La ecuación de Bernoulli es aplicable bajo este contexto, se representa según lo siguiente:

Ecuación 2.1:

$$\frac{P_i}{\rho g} + \frac{V_i^2}{2g} + Z_i \pm H_E = \frac{P_s}{\rho g} + \frac{V_s^2}{2g} + Z_s + \sum h_p + \sum h_f$$

Donde:

P_i : Presión estática al ingreso del sistema, en kPa

V_i : Velocidad del fluido al ingreso, en m/s

Z_i : Altura geodésica al ingreso del sistema, en m

P_s : Presión estática a la descarga del sistema, en kPa

V_s : Velocidad del fluido a la descarga, en m/s

Z_s : Altura geodésica a la descarga del sistema, en m

g : Aceleración de la gravedad, $g = 9.81 \text{ m/s}^2$

ρ : Densidad másica del fluido, en kg/m^3

h_p : Altura de pérdidas por longitud de tuberías, en m

H_f : Altura de pérdidas por accesorios en tuberías, en m

H_E : Altura de requerida del sistema de bombeo, en m

B. Perdidas de presión en Tuberías – Fórmula de Darcy Weisbach

Para el cálculo de las pérdidas de presión a lo largo de una tubería se realiza considerando la ecuación de Darcy-Weisbach, expresada de la siguiente forma:

Ecuación 2.2:

$$h_p = 1000f \frac{L V^2}{D 2g}$$

Dónde:

h_p : Altura de pérdidas por la longitud de tuberías, en m

f : Factor de fricción, según Colebrook-White

L: Longitud del tramo de tubería, en m

D: Diámetro interior de la tubería, en mm

v: Velocidad del fluido al interior de la línea, en m/s

C. Pérdidas de presión de accesorios

Para el cálculo de las pérdidas de presión para los accesorios a lo largo de una tubería se realiza considerando la siguiente ecuación:

Ecuación 2.3:

$$h_s = K \frac{v^2}{2g}$$

Dónde:

h_s : Altura de pérdidas por la longitud de tuberías, en m

K: Coeficiente de forma del accesorio

v: Velocidad del fluido al interior de la línea, en m/s

D. Factor de fricción (f) – Ecuación de Colebrook – White

El factor de fricción es una función de distintas variables tales son: rugosidad de la tubería, régimen del flujo del tramo a analizar y geometría de

la tubería. Estas variables son expresadas en la ecuación de Colebrook-White:

Ecuación 2.4:

$$\frac{1}{\sqrt{f}} = -2 \log_{10} \left(\frac{e}{3.7D} + \frac{2.51}{Re \sqrt{f}} \right)$$

Dónde:

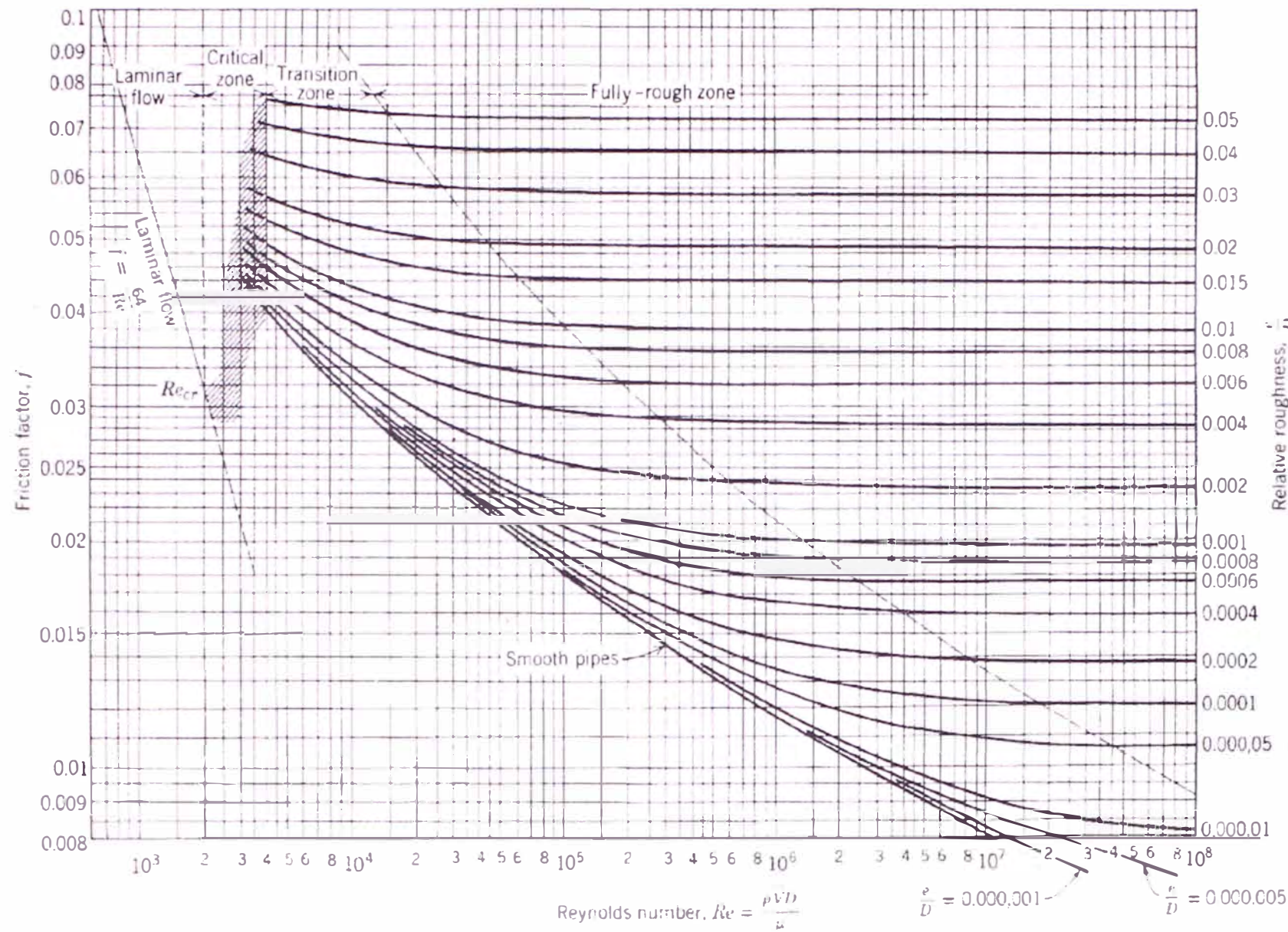
f : Factor de fricción

e : Rugosidad absoluta del material de la tubería, en mm

D : Diámetro interior de la tubería, en mm

Re : Número de Reynolds

El diagrama de Moody nos muestra esta relación entre los distintos factores mencionados, así tenemos en la siguiente ilustración:



Para efectos de simplificar el cálculo del factor de fricción, la ecuación de Swamee-Jain es aplicada en el presente cálculo, así tenemos la siguiente expresión:

Ecuación 2.5:

$$\frac{1}{\sqrt{f}} = -2 \log_{10} \left(\frac{e}{3.7D} + \frac{5.74}{Re^{0.9}} \right)$$

E. Número de Reynolds (Re)

El valor del número de Reynolds determina el tipo de régimen al cual está sometido el fluido a través del interior de la tubería el cual se define en base a la siguiente expresión:

Ecuación 2.6:

$$Re = 1000 \frac{\rho v D}{\mu}$$

Dónde:

Re : Número de Reynolds

v : velocidad del fluido, en m/s

D : Diámetro interior de la tubería, en mm

ρ : Densidad mísica del fluido en la tubería, en kg/m³

μ : Viscosidad dinámica del fluido, en cP

Además el número de Reynolds permite predecir el carácter turbulento o laminar en los casos requeridos del estudio. Para consideraciones del régimen se toma para el cálculo como límite entre cada régimen cuando el valor es menor de 2000 el flujo será laminar y si es mayor el flujo será considerado turbulento.

F. Espesor de pared de la tubería

El espesor de las tuberías de acero dentro de la estación de bombeo se calcula según la norma ASME B31.3 y considerando las tolerancias de espesor de la tubería (16 00 por corrosión). Se utiliza la ecuación (9).

$$t_m = \frac{PD}{2(SE + PY)} + A$$

Dónde:

t_m : Espesor mínimo para soportar presión máxima de trabajo de las tuberías (pulg)

P : Presión máxima de trabajo de la tubería (lb/pulg²)

D : Diámetro exterior de la tubería (pulg)

S : Esfuerzo máximo admisible (lb/pulg²)

E : Factor de calidad de soldadura longitudinal

Y : Factor por efecto de la temperatura ($Y=0.4$ Norma ASME B31.3)

A : Tolerancia por corrosión y erosión ($A = 1.6$ mm)

Para la línea de tubería, tomando en como referencia la norma ASME B31.4,

el espesor de tuberías de acero debido a la presión interna se calcula según la siguiente ecuación (10), considerando las tolerancias de espesor de corrosión ($A=1.6$ mm)

$$t_m = \frac{PD}{2S} + A$$

Dónde:

t_m : Espesor mínimo para soportar presión máxima de trabajo de las tuberías (pulg)

P : Presión máxima de trabajo de la tubería (lb/pulg²)

D : Diámetro exterior de la tubería (pulg)

S : Esfuerzo máximo admisible (lb/pulg²)

E: Factor de calidad de soldadura longitudinal

A: Tolerancia por corrosión y erosión (*A* = 1.6 mm)

El valor del esfuerzo admisible (*S*) a ser considerado en los cálculos del diseño para tubería nueva de especificación listada en la norma será establecida como sigue:

$S=0.72*E^*(\text{Mínimo Esfuerzo de fluencia de la tubería especificado en la norma})$.

Donde el factor de diseño (0.72) está basado en el espesor de pared nominal de la tubería debido a tolerancias por bajo espesor e imperfecciones en la tubería.

"*E*" es el factor de junta de soldadura longitudinal para una tubería ERW (Electric Resistant Weld), En este caso *E*=1.

El Mínimo Esfuerzo de fluencia de la tubería de acero ASTM A53 Gr. B especificado en la norma es 35000 psi.

Para la tubería de HDPE los cálculos hidráulicos se rigen bajo la norma ASTM y utiliza la base Hidrostática de Diseño (HDB), para determinar la presión de diseño de la tubería de polietileno. Los valores de HDB son validados y publicados por la Plastic Pipe Institute (PPI TR-4).

Para hallar la presión hidrostática máxima de servicio de la tubería (*P*), se utiliza la siguiente ecuación:

$$P = \left(\frac{2HDB}{SDR - 1} \right) DF$$

$$SDR = \frac{D}{t_m}$$

Dónde:

HDB: 2000 PSI para aplicaciones de agua a 23°C y un material PE4710 según norma ASTM D 3350

DF: Factor de diseño, que para aplicaciones de agua toma el valor de 0.5

SDR: Ratio Dimensional de la tubería

D: Diámetro exterior de la tubería

t_m : Espesor mínimo de la tubería

G. Estación de bombeo (bombas centrifugas)

El caudal y la presión de diseño determinaran el punto de operación de la bomba y se resume en las ecuaciones (13) y (14)

Caudal de Diseño: $Q_{diseño} = 1.15 * Q_{nominal}$

Altura dinámica total (TDH): $H = Z + h_f + h_s$

La potencia hidráulica y el consumo energético al eje de una bomba se determinan a través de la siguiente expresión:

Potencia Hidráulica (Ph)

$$P_H = \frac{\rho g Q H}{1000}$$

Potencia al eje (BHP)

$$BHP = \frac{\rho g Q H}{1000 \eta}$$

Donde:

H: altura dinámica de bombeo (m.c.a.)

Q: caudal (m^3/s)

g: aceleración de la gravedad (m/s^2)

ρ : densidad del agua (kg/m^3)

η : rendimiento de la bomba (%)

De forma complementaria se determinará la energía y el costo anual que demanda el funcionamiento de las bombas, como parámetro de decisión y para lo cual, se aplica la siguiente ecuación:

$$E = \frac{BHP t_{OP}}{\eta_{MOTOR}}$$

$$C_{ANUAL} = EC_{energía}$$

Donde:

BHP: Potencia al eje de la bomba (kW)

E: Energía eléctrica consumida (kWh)

t_{OP} : Horas de operación anual (h)

η_{MOTOR} : Eficiencia del motor eléctrico

C_{ANUAL} : Costo anual de energía eléctrica (US\$)

$C_{energía}$: Costo de energía eléctrica (US\$/kWh)

La altura neta de succión positiva disponible ($NPSH_D$) de la altura de succión total en metros de columna de agua menos la presión de vapor absoluta del líquido a ser bombeado. Debe ser un valor positivo y será calculado con la siguiente expresión:

$$NPSH_D = p_0 + Z - p_v - h_f - h_s$$

Dónde:

p_0 : Presión atmosférica absoluta. La presión barométrica del lugar es de 69 kPa

p_v : Eficiencia del motor eléctrico

Z: Altura estática en metros

h_f : Perdidas en la línea de succión por tuberías

h_s : Perdidas en la línea de succión por válvulas y accesorios

La altura neta de succión positiva requerida ($NPSH_R$) se puede estimar con la velocidad específica de succión (S) que generalmente es una

constante que no varía con la velocidad de la bomba ($8000 < S < 11000$). Se define como:

$$S = \frac{N\sqrt{Q}}{NPSH_R^{3/4}}$$

Dónde:

N: Velocidad de giro de la bomba (RPM) $N = 1790$ rpm

Q: Caudal de la bomba en el punto de diseño (GPM)

S: Velocidad específica de succión. Se considera $S = 9000$ como valor razonable, valor recomendado por fabricantes producto de la experiencia.

$NPSH_R$: Altura neta de succión positiva requerida por la bomba (pies)

El caudal y la presión de bombeo pueden cambiar variando la velocidad de giro de la bomba o variando el diámetro del impulsor, los cuales causan un cambio de velocidad del líquido que sale del impulsor. Por lo general, los impulsores pueden ser reducidos hasta llegar a un 80% del diámetro original sin disminuir la eficiencia significativamente.

Para bombas centrífugas con impulsor radial, la relación que describe el cambio se denomina leyes de afinidad.

Para cambios de diámetro del impulsor (D):

$$Q_2 = Q_1 \left(\frac{D_2}{D_1}\right) \quad H_2 = H_1 \left(\frac{D_2}{D_1}\right)^2 \quad BHP_2 = BHP_1 \left(\frac{D_2}{D_1}\right)^3$$

Para cambio de velocidad de giro (N)

$$Q_2 = Q_1 \left(\frac{N_2}{N_1}\right) \quad H_2 = H_1 \left(\frac{N_2}{N_1}\right)^2 \quad BHP_2 = BHP_1 \left(\frac{N_2}{N_1}\right)^3$$

2.3.2 Análisis de Transiente

A. Golpe de ariete – Fórmula de Joukowski

Para el estudio del fenómeno producido por la sobrepresión del golpe de ariete se tiene que abandonar las hipótesis usadas en el modelo de

cálculo de fluidos líquidos: fluido incompresible, régimen permanente. El golpe de ariete es un fenómeno transitorio y por tanto de régimen variable, en que la tubería ya no es rígida y el líquido es comprensible.

Este fenómeno se produce en los conductos al cerrar o abrir una válvula y al poner en marcha o parar una máquina hidráulica, entre los más comunes, o también al disminuir bruscamente el caudal.

Para el cálculo de sobrepresión producida por este fenómeno, Nikolai Joukowski plantea las siguientes fórmulas:

Para la sobrepresión en cierre instantáneo total de una válvula:

Ecuación 2.7:

$$\Delta p = \frac{\rho c v}{1000}$$

Para la sobrepresión en cierre instantáneo parcial de una válvula:

Ecuación 2.8:

$$\Delta p = \frac{\rho c (v - v')}{1000}$$

Dónde:

Δp : Sobrepresión por el golpe de ariete en la tubería, en kPa

v: Velocidad del fluido antes del cierre, en m/s

v' : Velocidad del fluido, en m/s

c: Celeridad de la onda elástica de sobrepresión Joukowski plantea la siguiente ecuación:

Ecuación 2.9:

$$c = \frac{\sqrt{\frac{E_0}{1000\rho}}}{\sqrt{1 + \frac{E_0 D}{E \delta}}}$$

Dónde:

E_0 : Modulo de elasticidad de volumen del fluido, en kPa

ρ : Densidad másica del fluido en la tubería, en kg/m³

D : Diámetro interior de la tubería, en mm

E : Modulo de elasticidad del material de la tubería, en kPa

δ : Espesor de la tubería, en mm

Para nuestro caso, el numerador se relaciona con la celeridad de la onda elástica en el fluido, para el presente trabajo consideramos el agua como fluido del sistema de la planta de bombeo, así tenemos:

Ecuación 2.10:

$$C_0 = \sqrt{\frac{E_0}{1000\rho}} = 1.425 \text{ m/s}$$

Cuando el sistema está constituido por diferentes materiales, diámetros y espesores de tubería, se utiliza el concepto de velocidad de onda equivalente el cual se calcula de la siguiente manera:

Ecuación 2.11:

$$a = \frac{L}{\sum_{i=0}^n L_t / L_i}$$

Siendo $L_1, L_2, L_3, \dots, L_n$, las longitudes de las diferentes tuberías y $C_1, C_2, C_3, \dots, C_n$, las celeridades para las diferentes tuberías.

2.3.3 Fundamento económico

La alternativa más rentable y óptima para dimensionar el sistema de bombeo y tubería se determina realizando el análisis económico dentro del enfoque de costo – eficiencia, con el objetivo de identificar la alternativa de menor costo para obtener los mismos beneficios.

Por ello para poder aplicar este enfoque, es fundamental configurar alternativas que entreguen beneficios comparables, de tal forma de poder evaluar cuál de ellas es la más conveniente desde el punto de vista técnico – económico.

Se utiliza el concepto básico del valor actual de costo (VAC) que permite comparar alternativas de igual vida útil. El valor actual de costos (VAC) es el valor de la inversión inicial sumados a los costos anuales llevados al presente que implicaría a su operación durante un tiempo determinado y se calcula utilizando la ecuación (2.12)

La inversión inicial (CAPEX: Capital Expenditure) están referidos a los costos asociados a la operación, mantenimiento, consumo de energía y mano de obra necesarios para mantener operativo el sistema en un determinado tiempo.

Ecuación 2.12:

$$VAC = I + \frac{Cr}{1 - (1 + r)^n}$$

Dónde:

I: Inversión inicial (CAPEX)

C: Costo anual de operación (OPEX)

r: Tasa de descuento

n: número de años

La tasa de descuento es aquella tasa que se utiliza para evaluar un proyecto de inversión. Se utiliza para actualizar los flujos de Costos anuales de operación (Costos Futuros) del proyecto de inversión, con el fin de expresar el valor presente de esos flujos de un periodo determinado.

En una situación de Equilibrio de competencia perfecta, la tasa de descuento será igual a la tasa de interés, la que representa la mejor tasa de rentabilidad alternativa que puede obtener el inversionista.

2.4 CONSIDERACIONES DE DISEÑO

2.4.1 Características del Diseño

A. Estación de Bombeo 4B

Flujo Total de Diseño: $6490 \text{ m}^3/\text{h}$

Número de bombas horizontales: 4 (3 en operación y 1 en espera)

Flujo por Bomba: $2163.3 \text{ m}^3/\text{h}$

Cantidad de tuberías para impulsión: 12053 m

Flujo por tubería después del manifold: 6490 m³/h

2.4.2 Parámetros de Diseño

A. Características del Fluido

Descripción:	Agua Fresca
Gravedad Específica:	1.0
Temperatura Mínima:	3.7 °C
Temperatura Máxima:	24.7 °C
Temperatura Promedio:	16.6 °C
Temperatura de Diseño:	12°C
Presión de Vapor (19°C):	1.66 kPa

B. Condiciones Climáticas y ambientales de Instalación

Altitud promedio de la Estación de Bombeo 4B: 2586.5 m.s.n.m.

Presión atmosférica:	74kPa
Temperatura Mínima:	3.7 °C
Temperatura Máxima:	24.7 °C
Temperatura Promedio:	16.6 °C
Humedad Relativa promedio:	54%

CAPÍTULO III

DESCRIPCIÓN DE DISEÑO

3.1 CONDICIONES TOPOGRÁFICAS

3.1.1 Estación de Bombeo 4B

Nivel mínimo de espejo de agua en el reservorio: 2588.5 m.s.n.m.

Nivel inferior de la bomba: 2586.5 m.s.n.m.

Nivel más elevado de la tubería de impulsión: 2831.5 m.s.n.m.

Nivel de succión considerado para el cálculo: 2587 m.s.n.m.

3.2 PLANTEAMIENTO DEL PROBLEMA

Para proceder a evaluar el diseño del sistema de bombeo requerido tuvo que tomar las siguientes pautas:

- a. El sistema de bombeo estará sometido a fluctuaciones y/o cambios de presiones durante su ciclo de operación, lo cual los materiales y diseño de tuberías y equipos deberán estar en función del servicio requerido.
- b. Las propiedades del fluido tales como la viscosidad, densidad no deberán cambiar a lo largo de la operación del proyecto, lo cual realmente no ocurrirá, puesto que la temperatura del ambiente en diferentes zonas serán distintas.
- c. Fenómenos varios o adversos al ciclo operativo que puedan provocar el deterioro, daño o falla del sistema de bombeo deberán ser considerados

dentro del diseño y cálculo, tales como golpe de ariete, corte de suministro de energía eléctrica, mantenimiento en línea del sistema, etc.

- d. Posibles eventos o circunstancias operativas dentro del sistema de bombeo que puedan desencadenar fallas y daños también deberán ser consideradas, tales como cierre y/o apertura de válvulas, flushing de pozas, etc.

CAPITULO IV

ESPECIFICACIONES TECNICAS PARA EL DISEÑO DE UN SISTEMA DE TRANSPORTE DE AGUA

4.1 DESCRIPCIÓN DE LOS COMPONENTES

El sistema de transporte de agua contara con una (01) estación de bombeo 4B.

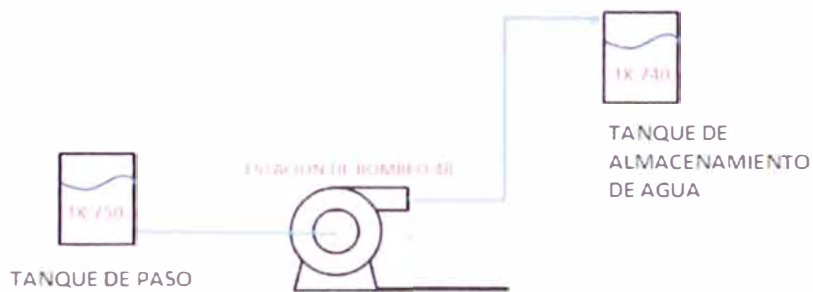


Grafico 4.1 Diagrama de procesos

En el grafico N°4.1 se presenta el diagrama de procesos que muestra el esquema simplificado del equipamiento del sistema de transporte el mismo a continuación detallamos:

Estación de Bombeo 4B

El inicio del proceso empieza con la llegada de agua al tanque "Rio Chili Booster Tank – TK-750", el cual es alimentada con agua del río Chili y el agua procesada de la planta de tratamiento de aguas residuales, este tanque tiene una capacidad de 2193 m³ y tendrá una autonomía de 5 minutos de abastecimiento a

las bombas de la estación de bombeo 4B sin reposición. El tanque contara con un sensor de nivel que indicara la orden de arranque o parada de las bombas en los siguientes casos:

- Cuando el tanque este en el mínimo nivel de llenado, el sensor indicara la orden de parada de las bombas de la estación 4B. Esto evitara que las bombas puedan succionar aire y generar cavitación en los impulsores.
- Cuando el tanque esté en el máximo nivel de llenado, el sensor indicara la orden de arranque de las bombas de la estación de bombeo 4B. Esto evitara que el agua rebalse y el flujo descargue por la línea de rebose hacia el lugar de drenaje.

4.2 ESPECIFICACIONES DEL EQUIPO DE BOMBEO

4.2.1 Requerimientos Generales

Todos los equipos y componentes de la bomba centrífuga deben ser de producción estándar del fabricante para uso en la industria minera, de diseño reciente y probado.

El equipo de bombeo estará conformado por el motor eléctrico de accionamiento, el acoplamiento de transmisión, el bastidor y la bomba centrífuga en sí.

Todas las bombas deben ser idénticas y todas las partes y componentes que cumplen la misma función deben ser intercambiables.

Las bombas deben suministrarse con cáncamos de levante para la instalación y mantenimiento.

La selección de materiales y construcción debe atender a las condiciones de servicio, características del agua a bombear, condiciones ambientales, capacidad y operación requeridas.

4.2.2 Funcionamiento de la Bomba

El diseño del equipo debe permitir la rotación invertida de la bomba, causada por el vaciado de la línea de descarga, sin que dañe o afloje el impulsor, sistema de transmisión, motor o cualquier componente del sistema.

Las bombas serán centrifugas, succión estándar, conectada en forma directa a los motores a través de acoplamientos directos.

Para cualquier condición de operación, las bombas deben operar en un punto de su curva característica en que el rendimiento se encuentre entre el 75 y el 100% del máximo rendimiento BEP (Best Efficiency Point).

Para el caso de flujo de diseño o máximo, el punto de operación debe permanecer siempre a la izquierda del rendimiento máximo (BEP).

El NPSH requerido en las condiciones de diseño debe ser inferior al NPSH disponible, y en cualquier condición, para la selección de la bomba adecuada, deberá cumplirse la relación $NPSH_d = 1.5 \cdot NPSH_r$ (base agua fría).

4.2.3 Carcasa

La carcasa de la bomba debe ser diseñada para apertura rápida y provista de accesos al impulsor. El diseño de la bomba deberá considerar el mayor valor para paradas a presión entre el 150% de la presión en las condiciones de operación o el 125% de la presión en condiciones de apagado.

4.2.4 Conexiones y boquillas de las bombas

Las bridas de conexión con las líneas de succión y descarga de la bomba serán ANSI B16.5.

4.2.5 Placas base de montaje de la bomba(bastidor)

Las bombas en conjunto con sus respectivos motores serán suministrados sobre una base de acero estructural de montaje conforme a ASTM A36, de diseño estándar del fabricante, con agujeros para pernos de montaje en terreno. Esta base (bastidor) deberá ser lo suficientemente rígida y robusta de manera que se generen deformaciones ni desalineamientos. El fabricante deberá realizar el diseño sísmico de los pernos, indicada en la hoja de datos de la bomba, con la norma UBC.

4.2.6 Impulsor

La fijación del impulsor al eje del cuerpo debe ser tal que un cambio en el sentido de giro del impulsor, provocado por el drain-back de la línea de descarga no dañe el sello, el impulsor ni cualquier otro elemento de la bomba.

Cada impulsor de la bomba será estática y dinámicamente balanceado y no debe alcanzar la velocidad crítica en el rango hasta la velocidad de operación.

La velocidad crítica de la bomba deberá estar a lo menos un 10% por sobre el rango de velocidad.

La calidad del balanceo y tolerancia de fabricación se basará en los siguientes criterios:

- Impulsor tendrá un equilibrio grado G6.3 como define ISO 194/1
- En el movimiento del eje este no exceda 0.05 mm
- La severidad vibratoria del sistema motor – bomba deberá ser evaluado conforme con la norma ISO 10816.

4.2.7 Rodamientos y Lubricación

Los rodamientos en las bombas tendrán un mínimo de vida útil (L-10) de 60000 horas, basado en la norma Antifriction Bearing Manufacturer's Association (ABMA) y serán lubricados con grasa.

Se debe garantizar una vida útil mínima de 60000 horas y deberán ser adecuados para operar en una atmósfera polvorienta.

4.2.8 Eje

El eje será de acero inoxidable y estará cubierto por una camisa protectora de un material adecuado y como unidad reemplazable. La camisa del eje deberá estar sellada contra el impulsor con el fin de evitar fugas y corrosión en el eje.

4.2.9 Sello del eje

Los sellos del eje deberán ser sellos mecánicos tipo cartucho, adecuados a los requerimientos de operación especificados en la hoja de datos de las bombas y deben ser de fácil mantenimiento y reemplazo.

4.2.10 Motor

El diseño y fabricación del motor de tomar en cuenta que este equipo debe operar satisfactoriamente, a plena carga bajo las condiciones especificadas en la hoja de datos y en todo el rango de la curva de la bomba. Además deberá considerar el rateo para trabajar a la altura de operación. El aislamiento deberá ser tipo F o superior y deberá tener una cubierta para trabajo a la interperie, totalmente cubierto y adecuadamente ventilado.

La potencia indicada en la placa no debe ser inferior a la potencia al freno a capacidad de diseño de la bomba.

Los sensores de temperatura del motor deberán estar de acuerdo a los requerimientos especificados en la hoja de datos de la bomba.

4.2.11 Acoplamiento

El sistema de trasmisión de potencia motor – bomba será mediante acoplamiento flexible directo, el diseño de los descansos antifricción del motor y la bomba deben ser apropiados para resistir las cargas que se generan en este tipo de transmisión.

Los acoplamientos deben tener como mínimo un factor de servicio de 1.5 basado en la potencia del motor indicado en la placa.

Todas las partes rotatorias deben ser suministradas con protectores de seguridad, de modo que no se puedan alcanzar los elementos en rotación sin primero retirar las partes integrales de la protección o abrir puertas de acceso. El diseño de las cubiertas debe cumplir con los requerimientos de Mine Safety and Health Administration (MSHA).

4.2.12 Pinturas

Todas las partes metálicas expuestas deben ser preparadas y protegidas con anticorrosivo y con pintura de terminación. Todas las partes metálicas que no sean de acero inoxidable o bronce, deben ser pintadas.

Durante el transporte y bodegaje las superficies maquinadas deben estar protegidas por una capa de anticorrosivo. Todo el equipo debe estar protegido contra la exposición atmosférica prolongada, durante su traslado y almacenamiento.

El sistema de pintura será de acuerdo a los estándares del fabricante, para servicio y corrosivo.

4.2.13 Instrumentación y Control

El equipo debe contar con sensores para supervisión de temperaturas y vibraciones o cualquier otro instrumento requerido para el funcionamiento seguro.

4.3 ESPECIFICACIONES DE LA TUBERÍA DE CONDUCCIÓN

La instalación de la tubería de conducción es expuesta sobre terreno perfilado en gran parte del trazo y será enterrada en tramos donde haya posibilidad de desborde de rocas, paralela y en la margen izquierda del acceso existente a una distancia mínima de 2 metros. Para mantener esta distancia mínima se realizará cortes de talud para generar los espacios para la instalación en curvas cerradas y de esta forma disminuir la cantidad de codos mitrados en el caso del acero.

El tramo que corresponde a HDPE, será cubierta con una capa de tierra natural libre de piedras y rocas 0.3 metros por encima de la clave de la tubería.

La tubería de conducción cuenta con anclajes de concreto en todas las curvas pronunciadas y soportes a lo largo de la longitud de toda la tubería para atenuar los esfuerzos sin causar fuerzas locales y de fricción axial o lateral que puedan impedir el libre desplazamiento de la tubería.

Las tuberías y zapatas se deberán apoyar directamente sobre superficies de estructuras de acero. No se necesita barras redondas o rectangulares soldadas a la parte superior de la estructura de acero, con el objetivo de minimizar la corrosión por contacto.

En los puntos donde la tubería de acero cruce canales de regadio, quebradas o cursos naturales de agua, se aplicara a la tubería de acero doble capa de protección anticorrosiva exterior.

En los puntos de cambio de pendiente positiva a negativa y viceversa se colocara una válvula de venteo de doble efecto, aire vacío. Purga de aire para evitar

la acumulación de aire en el punto alto de la tubería (cambios de pendiente) y mitigar la presión de vacío cuando se genere separación de columna en paradas bruscas del bombeo de agua.

La tubería será controlada en cuanto a dilatación y contracción térmica debido a las condiciones ambientales del lugar.

4.3.1 Tubería de acero

Las tuberías de acero están definidas según la norma ASTM A53 Grado B, X52 y X60, con costura tipo E, ERW (Electric Resistant Welded), con las dimensiones y pesos según la norma ASME B36.10, con ambos extremos biselados (BBE: Bevelled Both Ends) para la unión por soldadura.

Los espesores varían según los diámetros y los estándares son los siguientes:

- Schedule 60
- Schedule 40
- Schedule 30
- Schedule 80S ó XS (Extra strong)
- Schedule 40S ó STD (Standard)

Según la norma ASME B36.10, para tuberías de diámetros estándares iguales o mayores a 12", el espesor de pared para STD (9.53 mm) y XS (12.70 mm) son constantes.

4.3.2 Tubería de HDPE

Tubería de polietileno alta densidad (HDPE), las dimensiones y requerimientos deben estar de acuerdo con la norma ASTM F714, los materiales (calidad de polímero) deben estar bajo la norma ASTM D3350, PE4710. Los extremos deben ser planos para la unión por termofusión. Se consideran los siguientes rating de presión:

- SDR 11 para una presión de diseño de 200 psi
- SDR 13.5 para una presión de diseño 160 psi
- SDR 17 para una presión de diseño 125 psi
- SDR 21 para una presión de diseño de 100 psi

4.3.3 Accesorios de acero

Los materiales para los codos, tees, reducciones y accesorios en general son de acero al carbono ASTM A234 Gr. WPB, dimensiones por ANSI B16.9 extremos biselados para los siguientes schedules: Sch 60, Sch 40, XS y STD.

4.3.4 Bridas

- Brida slip-on de acero al carbono ASTM A105, según ANSI B16.5, cara con resalte (RF), clase #300 (740 psi) y clase #150 (274 psi).
- Brida ciega, acero al carbono ASTM A105, según ANSI B16.5 cara con resalte (RF), clase #300 (740 psi) y clase #150 (274 psi).

4.3.5 Pernos y espárragos

- Pernos hexagonales y espárragos, acero al carbono ASTM A193-Gr-B7, tuerca acero al carbono ASTM A194-Gr-2H, roscas laminadas, arandela acero al carbono.

4.3.6 Empaquetadura

- Empaquetaduras libre de asbestos, Aglutinante NITRILLO, para bridas cara con resalte (RF), según ANSI B16.21, espesor 1/16", clase #300 (740 psi) y #150 (274 psi).

4.4 ESPECIFICACIÓN DE LAS VÁLVULAS

- Válvula Mariposa – Clase #300, tipo lug, entre bridas ANSI B16.5, cuerpo de acero carbono (ASTM A216 Gr. WCB), disco de acero inoxidable (ASTM

A351 Gr. CF8M), tipo "High performance", eje excéntrico, bidireccional, asiento de teflón reforzado, operación con reductor.

- Válvula Mariposa – Clase #150, tipo lug, entre bridas ANSI B16.5, cuerpo de acero carbono (ASTM A216 Gr. WCB), disco de acero inoxidable (ASTM A351 Gr. CF8M), tipo "High performance", eje excéntrico, bidireccional, asiento de teflón reforzado, operación con reductor.
- Válvula Retención – Clase #300 de cierre lento, tipo wafer, HP (High performance), disco simple tipo swing, con resorte, contrapeso y cilindro hidráulico de amortiguación, cuerpo y resorte acero al carbono (ASTM A216 Gr. WCB), disco de acero inoxidable (ASTM A217-CA15), instalación en horizontal, entre bridas ANSI B16.5.
- Válvula de aire vacío – clase #300, cuerpo de acero al carbono (ASTM A216 Gr. WCB), flotador de acero inoxidable (ASTM A351 Gr. CF8M), conexión bridada según ANSI B16.5.
- Válvula de alivio de presión (de seguridad), cuerpo de acero al carbono (ASTM A216 Gr. WCB), resorte de acero inoxidable (ASTM A351 Gr. CF8M), conexión bridada ANSI B16.5 en el ingreso clase #300 y salida clase #150.

CAPITULO V

DISEÑO DEL SISTEMA DE TRANSPORTE DE AGUA

PARA PLANTA CONCENTRADORA

5.1 ANÁLISIS TÉCNICO - ECONÓMICO PARA DETERMINAR EL DIÁMETRO DE LA TUBERÍA DE CONDUCCIÓN

El diámetro de la tubería de conducción es uno de los parámetros más importantes de dimensionamiento del sistema de bombeo, pues permite limitar la capacidad de transporte, definir el punto de operación de las bombas centrifugas y estimar el consumo de energía del sistema de bombeo. Por lo tanto se evalúa los costos de inversión inicial y los costos de operación para 15 años de cada alternativa, tomando como elección la alternativa que obtenga el menor valor actual de costos.

Para reducir el rango de diámetros estándares disponibles, tomando como criterio que la velocidad del flujo se mantenga en el rango de 2 m/s a 3 m/s, evaluamos los siguientes diámetros nominales para la tubería de conducción: Ø 34", Ø 36" y Ø 38".

5.1.1 Resultado de cálculos para las tuberías

La tubería de conducción de agua recuperada está compuesta por dos materiales, el acero y el polietileno de alta densidad (HDPE). Es necesario tener presente todos los espesores nominales disponibles en el mercado de ambos materiales para los diámetros analizados.

La premisa principal es el caudal y a partir de este dato se estiman las velocidades tanto para el caudal nominal como para el caudal de diseño.

En el cuadro N°5.1, se presenta las dimensiones y pesos de las tuberías de acero según ASME B36.10.

Cuadro 5.1 Dimensiones de tuberías de acero y velocidades de flujo

DIMENSIONES DE TUBERÍA					FLUJO NOMINAL		FLUJO DE DISEÑO	
DN	Sch	De (mm)	t (mm)	Di (mm)	Q (m³/s)	v (m/s)	Q (m³/s)	v (m/s)
34	10	864	7.92	848.16	1.33	2.35	1.8028	3.19
	STD	864	9.53	844.94	1.33	2.37	1.8028	3.22
	XS	864	12.7	838.6	1.33	2.41	1.8028	3.26
36	10	914	7.92	898.16	1.33	2.10	1.8028	2.85
	STD	914	9.53	894.94	1.33	2.11	1.8028	2.87
	XS	914	12.7	888.6	1.33	2.14	1.8028	2.91
38	10	965	7.92	949.16	1.33	1.88	1.8028	2.55
	STD	965	9.53	945.94	1.33	1.89	1.8028	2.57
	XS	965	12.7	939.6	1.33	1.92	1.8028	2.60

En el cuadro 5.2 se presenta las dimensiones y pesos de las tuberías de polietileno de alta densidad (HDPE) según la norma ASTM F714.

Cuadro 5.2.- Dimensiones de tubería de polietileno y velocidades de flujo

DIMENSIONES DE TUBERÍA					FLUJO NOMINAL		FLUJO DE DISEÑO	
DN	SDR	De (mm)	t (mm)	Di (mm)	Q (m³/s)	v (m/s)	Q (m³/s)	v (m/s)
34	11	863.6	83.22	697.15	1.33	3.48	1.8	4.72
	13.5	863.6	67.81	727.99	1.33	3.19	1.8	4.32
	17	863.6	53.85	755.90	1.33	2.96	1.8	4.01
	21	863.6	43.59	776.43	1.33	2.80	1.8	3.80
36	11	914.4	88.11	738.17	1.33	3.10	1.8	4.21
	13.5	914.4	71.79	770.81	1.33	2.84	1.8	3.86
	17	914.4	57.01	800.38	1.33	2.64	1.8	3.58
	21	914.4	46.15	822.10	1.33	2.50	1.8	3.39
42	11	1066.8	--	--	1.33	--	1.8	--
	13.5	1066.8	83.77	899.26	1.33	2.09	1.8	2.83
	17	1066.8	66.52	933.75	1.33	1.94	1.8	2.63
	21	1066.8	53.85	959.10	1.33	1.84	1.8	2.49

Se realizan los cálculos de energía en la tubería de conducción y se estiman las perdidas y determinación de los espesores de tubería, para todo el recorrido de la tubería, cuyo perfil del trazo se muestra en el grafico N° 5.1.

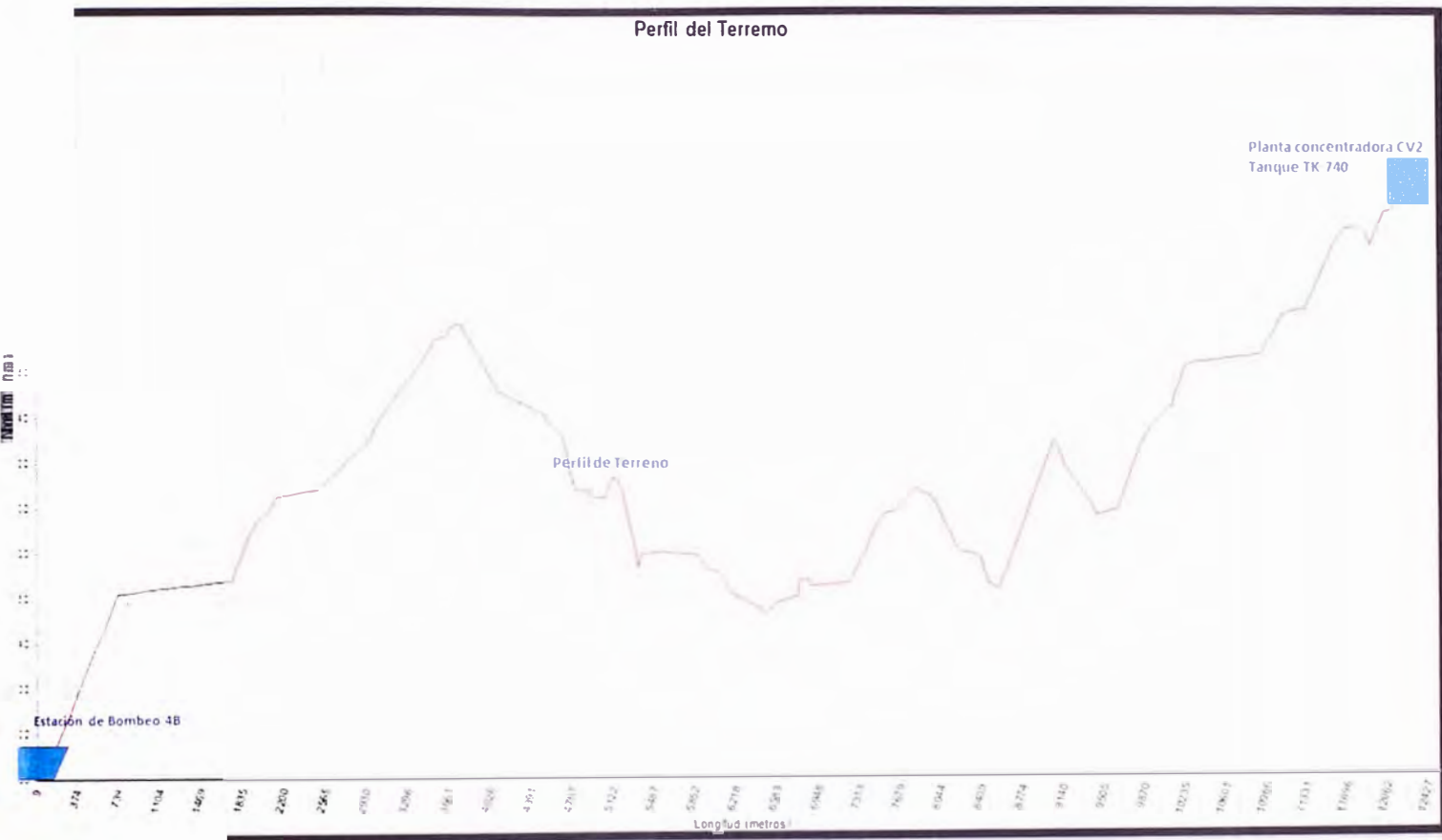
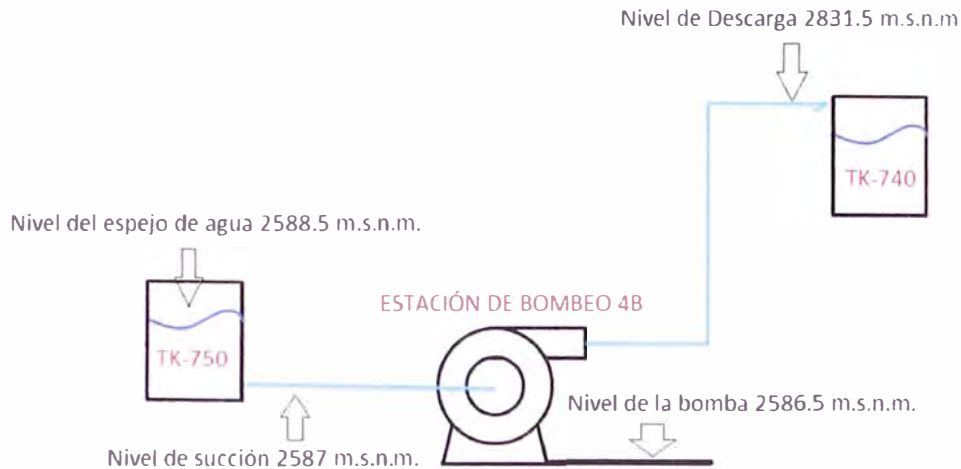


Gráfico 5.1 Perfil del terreno que sigue el trazo de la tubería de conducción



Esquema 5.1 Niveles de referencia del sistema de bombeo desde el tanque TK-750 hacia el tanque TK-740 ubicado en la planta concentradora CV2

Estación de Bombeo 4B

Donde Z_1 es la cota de inicio, Z_2 es la cota de llegada y la diferencia resulta la altura estática para la primera estación de bombeo igual a: $Z_2 - Z_1 = 2831.5 - 2588.5 = 243$ m.

La presión P_1 es igual a P_2 ; las velocidades V_1 y V_2 son despreciables.

Las pérdidas primarias h_f (ecuación 4) se deben a la caída de presión en la tubería de acero y HDPE que en total resulta una longitud de 12053 metros.

Las pérdidas locales h_s (ecuación 7) se ve reflejada en la caída de presión en la válvula compuerta en las tuberías de succión y en las válvulas Check, mariposa y compuerta localizadas en las tuberías de descarga de cada bomba, además de las pérdidas por codos y accesorios en la tubería de conducción.

Las pérdidas totales $h_{f_{total}}$ serán la suma de las pérdidas primarias h_f y la suma de pérdidas locales h_s .

En el cuadro 5.3 se presenta los resultados de pérdidas de presión para cada diámetro y la determinación de la altura dinámica total (TDH) que debe tener la bomba para transportar el caudal de diseño.

Cuadro 5.3 Resultado de pérdidas de presión de trabajo para cada alternativa.

Tuberías	Cotas		Altura Estática	Longitud de Tubería			Pérdidas Hf total	Presión de trabajo		
	Inicio	Llegada		Acero	HDPE	Total		Altura Dinámica Total (TDH)	(m.c.a.)	(kPag)
Ø	(msnm)	(msnm)	(m)	(m)	(m)	(m)	(m)	(m.c.a.)	(kPag)	(psig)
34	2588.5	2831.5	243	11016	1037	12053	127.97	370.97	3637.87	527.6
36	2588.5	2831.5	243	10838	1215	12053	82	325	3343	462.2
38 /42	2588.5	2831.5	243	8758	3295	12053	69.28	312.28	3062.34	444.2

En cada alternativa, se disagregan los metrados para los diferentes espesores de pared de las tuberías de acero y de HDPE, mostrados en los cuadros 5.4 y N°5.5. Esto permite evaluar la reducción de costos que implica reemplazar el tramo final de tubería de acero por HDPE para cada alternativa de diámetro.

Cuadro 5.4 Longitudes de tubería de acero para cada espesor y los costos de suministro respectivos.

TUBERÍA		PESOS Y COSTOS			LONGITUD	PESO	COSTO	TOTAL
DN	SCH	kg/m	US\$/Kg	US\$/m	m	t	US\$	US\$
34	STD	106.8	2.3	245.64	9237	1622	2268977	2796859
	XS	141.3	2.1	296.73	1779	267	527882.7	
	40	158.3	2	316.6	0	0	0	
	60	209	1.9	397.1	0	0	0	
36	STD	119	2.3	273.7	9726	1752	2662006	3030034
	XS	157.6	2.1	330.96	1112	331	368027.5	
	40	186	2	372	0	0	0	
	60	251.7	1.9	478.23	0	0	0	
38	STD	143.2	2.3	329.36	8332	1745	2744228	2914023
	XS	189.8	2.1	398.58	426	717	169795.1	
	40	258.7	2	517.4	0	0	0	
	60	360.2	1.9	684.38	0	0	0	

Como resultado de los cálculos se puede apreciar que no es necesario tener una tubería de SCH 60 y SCH 40, ya que el sistema se evaluó para una

sobrepresión que se origina para un tiempo de parada de bombas de 10 segundos. Un tiempo menor que este actuará la válvula de alivio de presión.

Cuadro 5.5 Longitudes de tubería de HDPE para cada espesor y los costos de suministro respectivos.

TUBERÍA		PESOS Y COSTOS			LONGITUD	PESO	COSTO	TOTAL
DN	SDR	kg/m	US\$/Kg	US\$/m	m	t	US\$	US\$
34	11	54.9	2.8	153.72	485	38	74554.2	117512.9
	13.5	45.7	2.8	127.96	0	0	0	
	17	36.9	2.8	103.32	140	55	14464.8	
	21	24.7	2.8	69.16	412	0	28493.92	
36	11	67.8	2.8	189.84	510	41	96818.4	163451.4
	13.5	56.4	2.8	157.92	0	0	0	
	17	45.5	2.8	127.4	153	77	19492.2	
	21	30.5	2.8	85.4	552	0	47140.8	
42	11	0	0	0	0	0	0	549691
	13.5	0	0	0	0	0	0	
	17	65.6	2.8	183.68	2381	118	437342.1	
	21	43.9	2.8	122.92	914	0	112348.9	

5.1.2 Resultado de cálculos para las bombas.

Con los espesores de pared, los materiales y las longitudes definidas de las tuberías definidas, y con ello, calculado las alturas dinámicas totales para cada alternativa, se determinaran la capacidad, potencia de las bombas y el consumo de energía que demanda la estación de bombeo.

En el cuadro N°5.6, se muestra el resumen de los resultados obtenidos para la estación de bombeo 4B

Cuadro 5.6 Longitudes de tuberías de HDPE para cada espesor y los costos de suministro respectivos.

Diámetro de Tubería	Estado de la Bomba	H	Q	BHP		Pot. Instalada		Pot. Eléctrica		Eanual	
		m.c.a.	(m ³ /s)	kW	hp	kW	hp	kW	hp	MWh	US\$/año
34"	Operación	370,97	0,6	2151,031	2924,542	7743,712	10528,35	2581,237	3509,45	22611,64	2261164
	Operación	370,97	0,6	2151,031	2924,542	7743,712	10528,35	2581,237	3509,45	22611,64	2261164
	Operación	370,97	0,6	2151,031	2924,542	7743,712	10528,35	2581,237	3509,45	22611,64	2261164
	En espera	0	0	0	0	7743,712	10528,35	0	0	0	0
36"	Operación	325,4	0,6	1889,71	2569,249	6802,955	9249,298	2267,652	3083,099	19864,63	1986463
	Operación	325,4	0,6	1889,71	2569,249	6802,955	9249,298	2267,652	3083,099	19864,63	1986463
	Operación	325,4	0,6	1889,71	2569,249	6802,955	9249,298	2267,652	3083,099	19864,63	1986463
	En espera	0	0	0	0	6802,955	9249,298	0	0	0	0
38"	Operación	312,28	0,6	1810,723	2461,859	6518,603	8862,693	2172,868	2954,231	19034,32	1903432
	Operación	312,28	0,6	1810,723	2461,859	6518,603	8862,693	2172,868	2954,231	19034,32	1903432
	Operación	312,28	0,6	1810,723	2461,859	6518,603	8862,693	2172,868	2954,231	19034,32	1903432
	En espera	0	0	0	0	6518,603	8862,693	0	0	0	0

Para la evaluación se predetermino lo siguiente:

- La eficiencia de las bombas para cada alternativa es de 75%. este valor fue tomado como promedio de eficiencias mostradas en las curvas características de catálogo de bombas de proveedores con representación local.
- La eficiencia del motor para los rating de potencia mostradas es de 95% para determinar el consumo de energía a un costo de 0.1 US\$/kWh para un tiempo de 8585 horas al año.

5.1.3 Resultado de costos y evaluación económica

Teniendo la dimensión de las tuberías, bombas, válvulas y equipos eléctricos, realizamos los estimados de costos para cada alternativa.

Como se indicó en el fundamento económico (item 2.3.5), se desarrolló los estimados de costos de inversión y los estimados de costos de operación para evaluarlos en un periodo de 15 años.

Los costos de inversión vienen representados principalmente por lo siguiente:

- Costos de Suministro de tuberías de acero y HDPE, mostrados en el cuadro 5.4 y 5.5
- Costos de instalación de la tubería, que se determina mediante un análisis de costos y que se obtiene como resultado lo siguiente:
 - Tubería de acero
 - Tubería de acero
 - Tubería de HDPE
- Costo de bombas, que se incluye el suministro e instalación de bomba, motor y sistema de arranque. Estos son valores tomados de proveedores de bombas con representación local.
- Costo de instalaciones mecánicas que implica el suministro instalación de todas las válvulas y accesorios de la estación de bombeo y de la tubería de conducción.
- Costo de equipos eléctricos, que considera los tableros de control, los MCC's (Motor Control Center), iluminación, celda de llegada y el transformador.
- Costo de obras civiles, que considera la explanación del terreno, construcción de la sala eléctrica, las cimentaciones de las bombas y tuberías.

Cuadro 5.7 Costos de Inversión para cada alternativa

Diámetro de	Costo de Inversión (CAPEX)							Subtotal
	Tubería		Bombas	Ins. Mec.	Equip. Elect.	Ob. Civiles		
	Suministro	Instalación	Sum. + inst.	Sum. + inst.	Sum. + inst.	Obras	US\$	US\$
Ø	US\$	US\$	US\$	US\$	US\$	US\$	US\$	US\$
34"	2 151 352	2 036 550	1 987 326	307749	697 551	271 554	7 452 082	
36"	2 413 202	2 024 916	1 753 634	315 035	543 626	271 554	7 321 967	
38"	3 012 263	2 380 755	1 461 258	319 985	409 152	271 554	7 854 966	

Los costos de operación anual vienen representados por lo siguiente:

- Consumo de energía, mostrado en el cuadro 5.6.
- Costo de Seguro
- Mantenimiento de Tubería
- Mantenimiento de Bomba

El costo unitario de la energía eléctrica es un valor constante durante todo el período de evaluación, debido a que la empresa minera, como cliente libre, firma un contrato privado a largo plazo con las empresas generadoras.

Para efectuar el mantenimiento anual de las bombas se requieren dos (02) mecánicos y un (01) supervisor. Además de los repuestos para un año de operación, que vienen representado por anillos de desgaste de la carcasa y de los impulsores, bocinas del eje, rodamientos y empaquetaduras.

El mantenimiento de la tubería implica inspecciones visuales, pintado de la tubería de acero para evitar la corrosión, inspección de las válvulas de venteo y vacío, estado de los anclajes y soportes.

De esta manera obtenemos los resultados para casa alternativa presentada en el cuadro 5.8.

Cuadro 5.8 Costos de Operación para cada alternativa.

Diámetro de Tubería	Costo Operación Anual (OPEX)		
	O & M	Energía	Subtotal
Ø	US\$	US\$	US\$
34"	229 982	2 035 890	2 265 872
36"	220 611	1 743 831	1 964 442
38"	227 152	1 515 813	1 742 965

Teniendo el valor de la inversión inicial, sumados a los costos anuales durante los 20 años reflejados en tiempo presente, se determina el valor actual de costos (VAC) para cada alternativa en estudio.

Cuadro 5.9 Valor actual de costos para cada alternativa y diferentes tasa de descuento.

Valor Actual Costos (15 años)			
Diámetro de	Tasa de descuento		
	10%	12%	14%
Ø	US\$	US\$	US\$
34	26 814 325	24 448 483	22 530 845
36	24 107 629	22 056 515	20 393 982
38	22 743 688	20 923 823	19 448 729

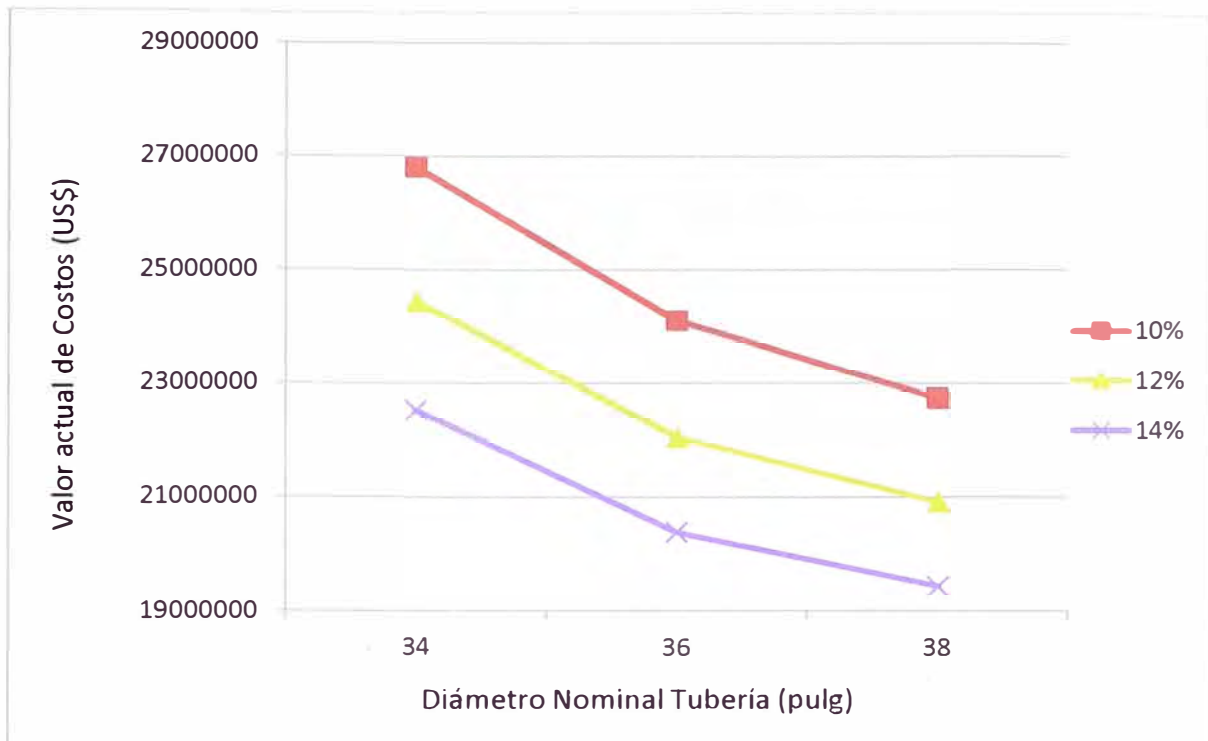


Grafico 5.2 Resultado de diámetro económico

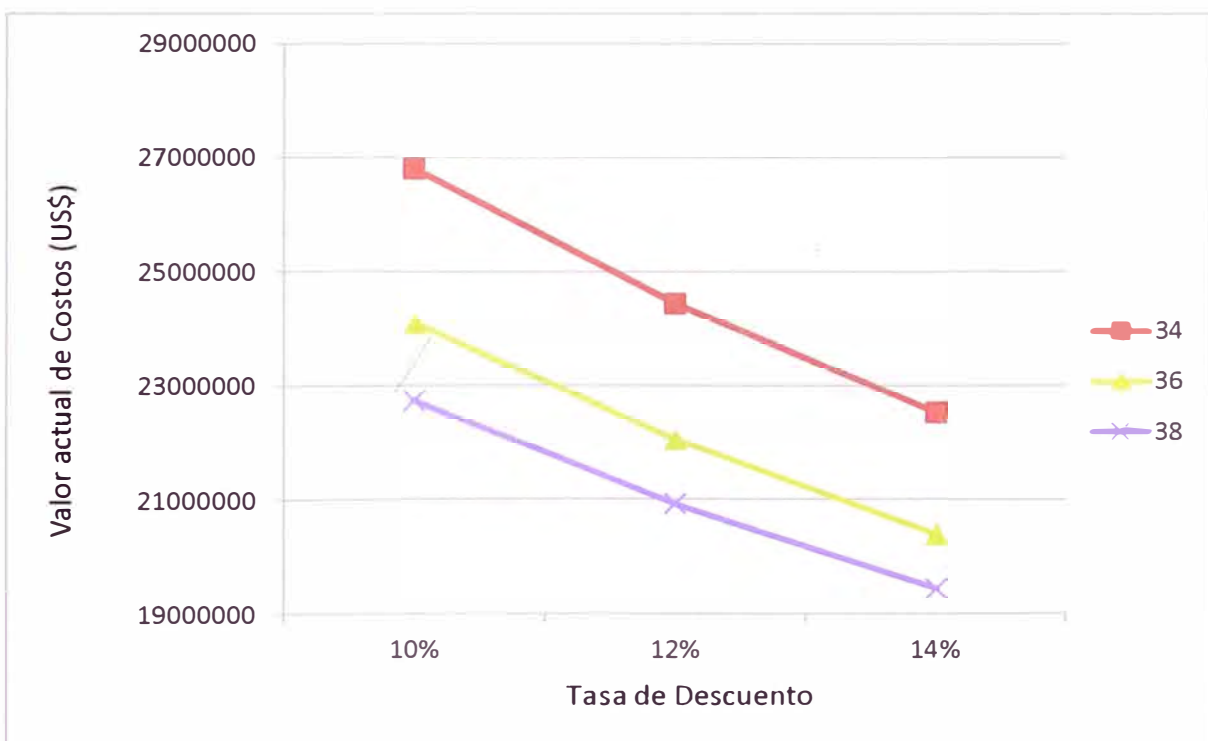


Grafico 5.3 Gráfico comparativo de Valor Actual de costos versus tasa de descuento.

Como resultado de la evaluación se selecciona la tubería de Ø36" por obtener un menor valor actual de costos. Esto permite tener una menor potencia instalada en la estación de bombeo y equipos eléctricos y de protección de menor capacidad.

Según el cuadro 5.9 y el gráfico 5.3, se aprecia que cada punto porcentual que aumenta la tasa de descuento, el valor actual de costos se reduce aproximadamente en un millón de dólares. Este análisis es importante sabiendo que actualmente la rentabilidad de las empresas mineras ha permitido que se puedan trabajar con valores comprendidos entre el 14% al 19% de tasa de descuento.

5.2 DIMENSIONAMIENTO DE LA ESTACIÓN DE BOMBEO

El dimensionamiento final tiene como punto de partida las bases de cálculo presentado en el informe y de catálogos de equipos de proveedores de bombas, válvulas y tuberías.

5.2.1 Dimensión y Selección de Bombas

Los requerimientos para los equipos de bombeo corresponden a los que se indica en el cuadro resumen siguiente:

Cuadro 5.10 Datos para la selección de la bomba centrífuga

Descripción	Cantidad	Caudal Nominal		Caudal de Diseño		H (m.c.a.)
		Total	x Bomba	Total	x Bomba	
Bomba Centrífuga Horizontal de multiples etapas	4 Bombas (3 operación + 1 en espera)	4778	1592.6	6490	2163.3	325.4

Cuadro 5.11 Cálculo de Potencia

Diámetro de	Estado de bomba	H	Q	BHP		Pot. Instalada	
		m.c.a.	(m³/s)	kW	hp	kW	hp
36	Operación	325.4	0.60	1889.71	2569.2	6803.0	9249.3
	Operación	325.4	0.60	1889.71	2569.2	6803.0	9249.3
	Operación	325.4	0.60	1889.71	2569.2	6803.0	9249.3
	En Espera	0	0	0	0	6803.0	9249.3

Tipo de Bomba: Centrifuga Horizontal en paralelo

Eficiencia: 82.5%

Nivel de Tensión: 4.16 kV, 60 Hz, 3 fases

En el Cuadro 5.12, se estima el valor del NPSH disponible para la bomba centrífuga. Este dato es muy importante para que los fabricantes puedan diseñar o seleccionar las bombas, pues deben entregar una bomba con un NPSH requerido menor al disponible para evitar la cavitación y pérdida de eficiencia en el momento de la operación.

Cuadro 5.12 Cálculo del NPSH admisible

Presión Atmosférica	po	7.41 m
Presión de vapor de agua	pv	0.43 m
Altura estática	Z	3.89 m
Pérdidas de succión	hfs+hss	0.62 m
NPSH disponible		10.25 m

5.2.2 Cálculo y selección de válvulas y accesorios

Las válvulas en la estación de bombeo están ubicadas de manera que puedan ser operadas manualmente mediante volantes y cajas reductoras.

Las válvulas de retención o check se ubican en los tramos de tubería horizontal y se proporcionarán drenajes aguas abajo de estas válvulas.

- **Válvula en el manifold de succión:**

Válvula Compuerta de Ø30", clase #150, bonete apernado, eje ascendente, Cuerpo acero al carbono (ASTM A216 Gr. WCB), yugo exterior roscado (OS/Y), asientos integrados, extremos bridados de cara con resalte (RF) según ANSI B16.5 #150. Operación manual con volante.

- **Válvula en la tubería de succión de la bomba:**

Válvula Mariposa Ø16", clase #150, tipo Wafer, entre bridas ANSI B16.5 #150, cuerpo de acero al carbono (ASTM A216 Gr. WCB), disco acero inoxidable (ASTM A351 Gr. CF8M), tipo "High performance", eje excéntrico, bidireccional, asiento teflón reforzado, operación manual con volante y caja reductora.

- **Válvulas en la tubería de descarga de bomba:**

Válvula Retención Ø12", cl Clase #300 de cierre lento, tipo wafer, HP (High performance), disco simple tipo swing, con resorte, contrapeso y cilindro hidráulico de amortiguación. cuerpo t resorte acero carbono (ASTM A216 Gr. WCB), disco de acero inoxidable (ASTM A217-CA15), instalación horizontal, entre bridas ANSI B16.5.

Válvula Mariposa Ø12", clase #300, tipo Lug entre bridas ANSI B16.5 #300, cuerpo acero carbono (ASTM A216 Gr. WCB), disco acero inoxidable (ASTM A351 Gr. CF8M), tipo "High performance", eje doble excentricidad, bidireccional, asiento teflón reforzado, operación con actuador eléctrico ON/OFF.

- **Válvulas de protección contra la sobrepresión:**

Válvula de alivio de presión (de seguridad), Ø6", cuerpo de acero al carbono (ASTM A216 Gr. WCB), resorte de acero inoxidable (ASTM A351

Gr. CF8M), conexión bridada ANSI B16.5 en el ingreso Clase #300 y salida Clase #150.

- **Válvulas de purga de aire (venteo) y vacío para la tubería de conducción:**

Válvula combinada de doble efecto, aire/vacio y liberación de aire Ø4", clase #150 y #300, cuerpo de acero carbono (ASTM A216 Gr. WCB), flotador de acero inoxidable A316.

- **Válvulas en el manifold de descarga:**

Válvulas Compuerta Ø4", para purga, bonete apernado, eje ascendente, cuerpo y bonete de acero al carbono (ASTM A216 Gr. WCB), yugo exterior roscado (OS&Y), cuña de acero inoxidable (ASTM A351 Gr. CF8M), asientos integrados, extremos bridados de cara con resalte (RF) según ANSI B16.5 #300.

Válvula Compuerta Ø24", descarga de manifold, Clase #300, bonete apernado, eje ascendente, cuerpo de acero al carbono (ASTM A216 Gr. WCB), yugo exterior roscado (OS&Y), cuña de acero inoxidable (ASTM A351 Gr. CF8M), asientos integrados, extremos bridados de cara con resalte (RF) según ANSI B16.5 #300.

5.2.3 Línea de Impulsión

Los espesores de la tubería de acero se calcularon según ASME B31.4 y se consideraron las tolerancias de espesor por corrosión (1.6 mm). Las dimensiones y rangos de presión de las tuberías de HDPE se rigen bajo la norma ASTM F714.

En los cuadros 5.13 y 5.14, se tabulan las presiones máximas por tramo de tubería y los espesores requeridos correspondientes.

Cuadro 5.13 Clase y cantidad de tubería de acero

Datos de Tubería de Acero					Flujo		Presión de Diseño	Longitud
DN	Sch	De (mm)	t (mm)	Di (mm)	Q (m ³ /s)	v (m/s)	(psi)	(m)
36"	STD	610	9.53	591	0.362	1.32	550	5300
	XS		12.7	584		1.35	780	1800

Cuadro 5.14 Clase y cantidad de tuberías de HDPE

Datos de Tubería de HDPE					Flujo		Presión de Diseño	Longitud
DN	Sch	De (mm)	t (mm)	Di (mm)	Q (m ³ /s)	v (m/s)	(psi)	(m)
36"	11	610	55.42	499	0.362	1.32	200	800
	17		35.86	538		1.35	125	1800
	21		xx	xx		xx	100	xx

La presión de diseño de la tubería no será menor que la máxima presión de servicio esperada en la condición más severa.

En el tramo comprendido por la tubería de HDPE, se trabajó con dos clases de (SDR) para disminuir la variedad de espesores disponibles en los catálogos del fabricante y definir la presión mínima de diseño (125 psi).

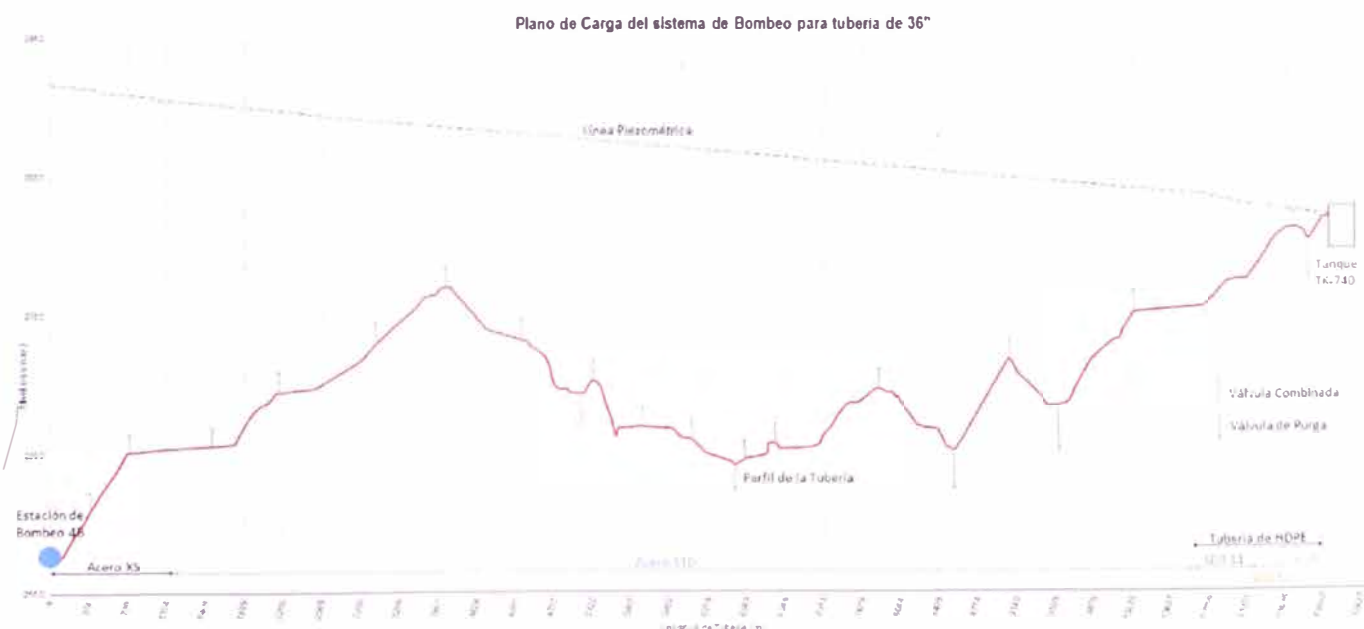


Gráfico 5.4 Plano de carga del sistema de bombeo para un diámetro de 36"

5.2.4 Resultado del modelamiento de sobrepresiones

Con el programa Water Hammer se obtuvo las máximas presiones en la tubería de conducción por golpe de ariete. Se modelo considerando dos escenarios:

Primer Escenario: Sistema de conducción sin elementos de protección.

En este primer escenario se modela el sistema sin elementos de protección, es en este escenario donde se observa las sobrepresiones que se registrarán en el sistema ante un fenómeno transitorio, en la gráfica 5.5 se muestra la línea de gradiente hidráulica, presiones máximas y mínimas del sistema.

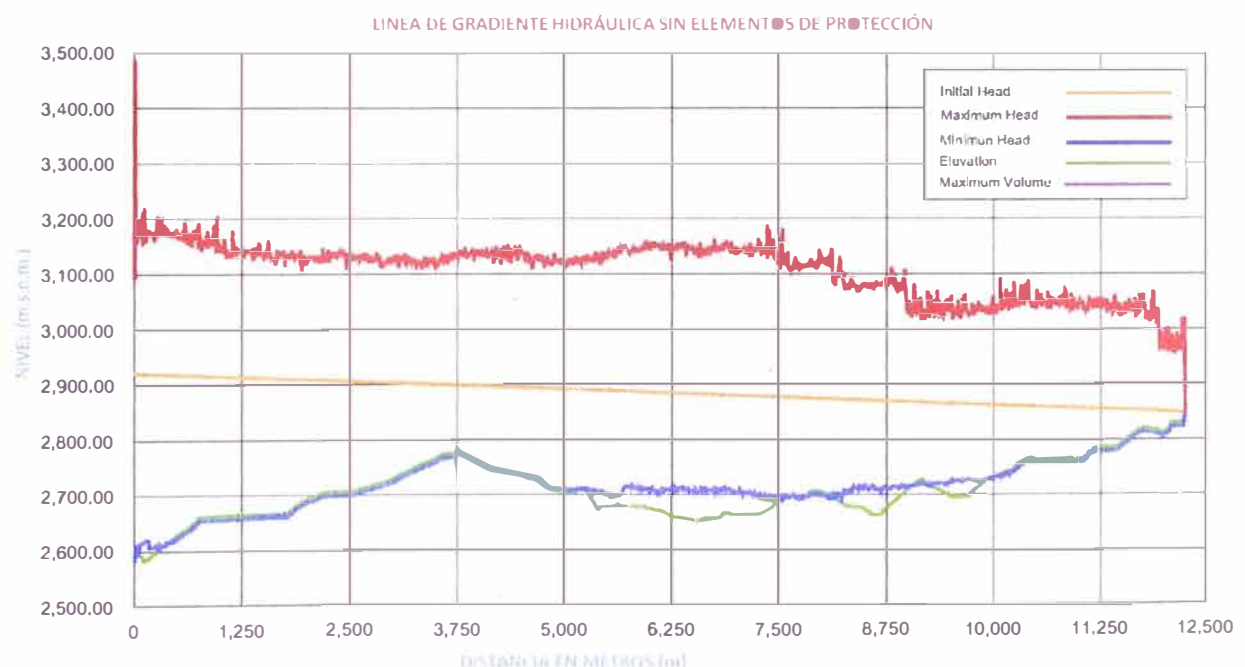


Gráfico 5.5 Gráfico de la línea de gradiente del sistema sin elementos de protección

En la gráfica 5.6 se muestra el diagrama de presiones máximas, mínimas y de operación que se originan en el sistema.

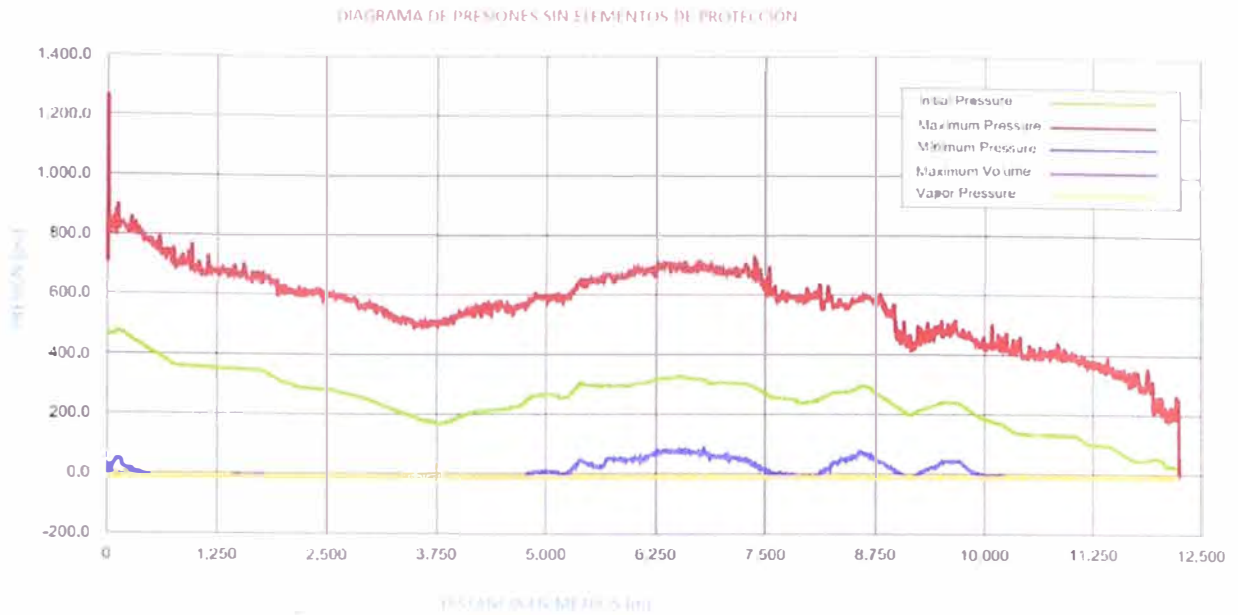


Gráfico 5.6 Gráfico de Presiones del sistema con elementos de protección.

Segundo Escenario: Sistema de Conducción considerando elementos de protección (válvula anticipadora de onda, válvulas de purga de aire de y de vacío (válvulas de doble efecto) que se instalaran en los puntos elevados y en los cambios de pendiente a los largo de la tubería, estas válvulas permiten la expulsión de aire que se forma en los puntos altos de la tubería y admitir aire para prevenir las condiciones de vacío dentro de la tubería cuando se genere una separación de columna de agua durante el golpe de ariete..

La válvula anticipadora de onda actuará cuando se tenga una interrupción brusca del flujo debido a una mala operación o ante un corte súbito de la energía eléctrica. La válvula actuará rápidamente descargando el agua para bajar las sobrepresiones generadas. Acto seguido la válvula check de cierre lento se cerrará para luego parar la bomba. Con ellos se protegerá el sistema. En la gráfica 5.7 se muestra la línea de gradiente

hidráulica, presiones máximas y mínimas, las mismas que ahora fueron menores debido al uso de los elementos de protección.

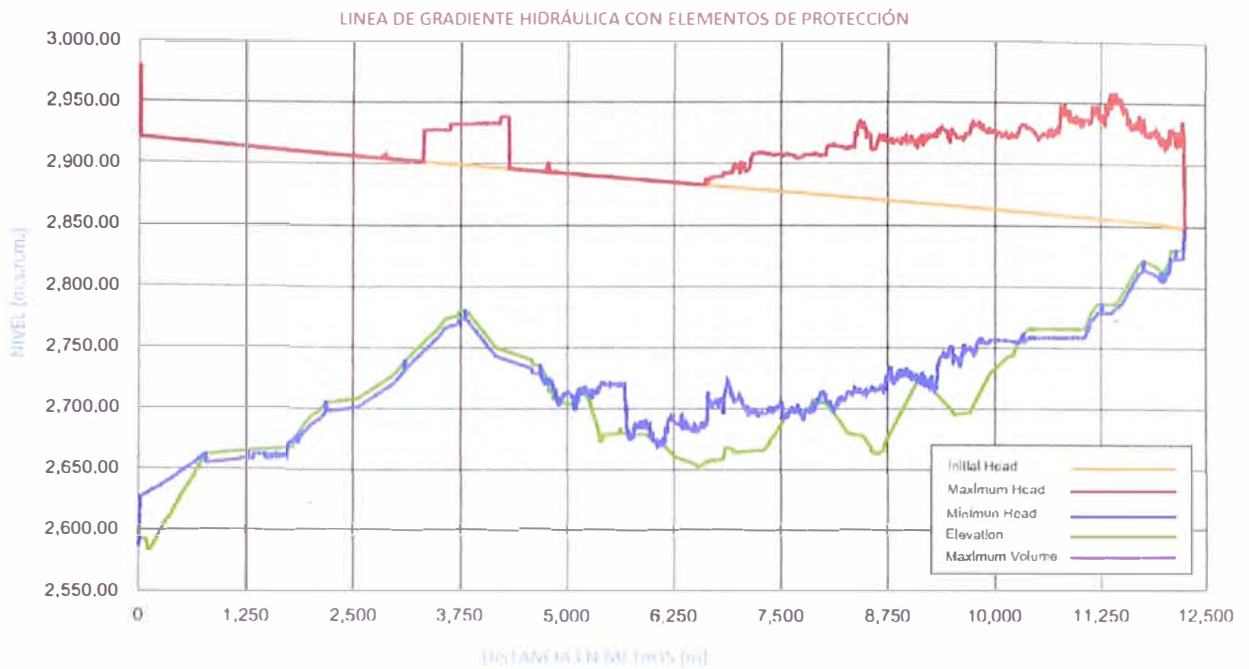


Gráfico 5.7 Gráfico de la línea de gradiente del sistema con elementos de protección

En la gráfica 5.8 se muestra el diagrama de presiones máximas, mínimas y de operación que se originan en el sistema haciendo uso de elementos de protección, se puede observar que la presión máxima disminuye considerablemente, en gran parte de la tubería.

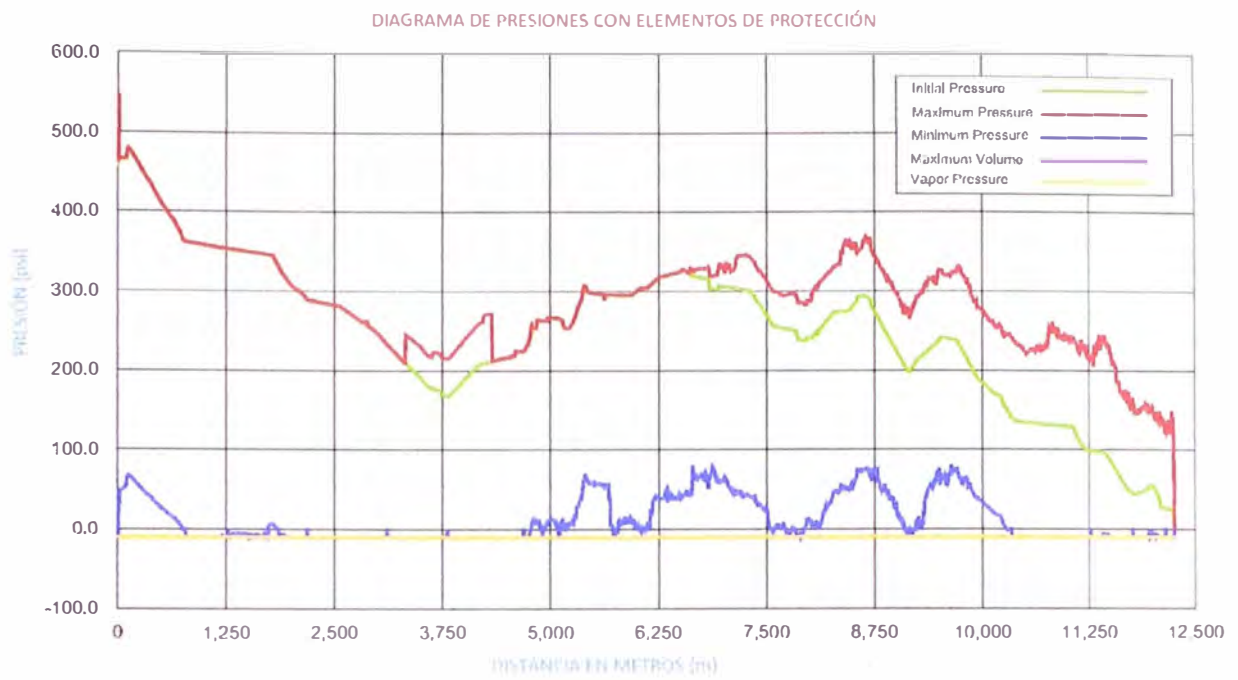


Gráfico 5.8 Gráfico de Presiones del sistema con elementos de protección

CAPITULO VI

COSTOS

En este capítulo se mostraran los costos asociados al proyecto, los cuales involucran los costos de suministro de equipos, como son las bombas, válvulas, tuberías, los costos de obras civiles y acondicionamiento para la instalación, los costos del suministro eléctrico y el control y la automatización del sistema.

- Los costos de equipos se tomó de cotizaciones de fabricantes con representación local.
- Los costos de instalación y obras civiles son estimados en base a la compañía que realiza el montaje.
- Para el cálculo de la mano de obra, se incluyó a todo el personal con promedio de trabajo de 12 horas y sus respectivos jornales por categorías.

6.1 COSTOS TOTALES DE INVERSIÓN

En el cuadro 6.1 se presenta el resumen de los costos de inversión de cada disciplina.

En este proyecto se puede apreciar que los costos de las instalaciones mecánicas representan aproximadamente el 85% de los costos totales de inversión. Las instalaciones mecánicas contemplan la compra, transporte e instalación de los equipos mecánicos en la estación de bombeo, las tuberías de acero y HDPE a lo largo del trazo, además de las válvulas.

Los costos por obras civiles representan el 7%, ya que el trazo de la tubería de conducción se encuentra paralelo a un acceso existente, en un terreno perfilado, cortes de taludes localizados y donde la excavación es mínima para una tubería instalada sobre terreno (expuesta)

Cuadro 6.1 Resumen de costos de Inversión

ITEM	DESCRIPCIÓN	Unidad	SUBTOTAL US\$
1	TRABAJOS PRELIMINARES	glb	112 582.40
2	OBRAS CIVILES (Movimiento de Tierras)	glb	140 448.00
3	OBRAS CIVILES (Concreto y Estructuras)	glb	355 713.33
4	INSTALACIONES MECÁNICAS	glb	6 757 488.85
5	INSTALACIONES ELÉCTRICAS	glb	312 662.00
6	CONTROL E INSTRUMENTACIÓN	glb	99 500.00
7	PRUEBAS Y PUESTA EN MARCHA	glb	271 770.71
COSTO DIRECTO (C.D.)		US\$	8 050 155.29
GASTOS GENERALES (5% C.D.)		US\$	402 507.76
UTILIDAD (8% C.D.)		US\$	644 012.42
INGENIERÍA Y SUPERVISIÓN (10% C.D.)		US\$	805 015.53
TOTAL		US\$	9 901 691.01

CONCLUSIONES

1. El diseño eficiente de una estación de bombeo de agua se refleja principalmente en los costos de inversión necesarios y el consumo de energía que demanda transportar, a la presión y caudal requerido, al punto de almacenamiento y así satisfacer la demanda de agua de la planta concentradora.
2. Los cálculos se realizaron considerando la longitud de la tubería, el desnivel a superar para el agua recuperada, así como los criterios de diseño y fórmulas indicadas en el ítem 5 para determinar la altura dinámica total, con las pérdidas de presión según Darcy - Weisbach.
3. El análisis consideró 3 diámetros nominales: 34", 36" y 38" para ejecutar el cálculo económico. Del análisis de costos y analizando resulta que la tubería de 36" tiene el menor valor actual neto de costos.
4. El sistema cuenta con válvulas de control para dar un arranque y parada suave a cada bomba. Dicha válvula de control estará completamente cerrada en el arranque, aumentando su apertura conforme se incrementa la presión de la bomba hasta llegar a la presión de trabajo. Al darse la orden de parada, la válvula comenzará a cerrarse lentamente y cuando esté totalmente cerrada, ordenará la parada de la bomba.
5. La selección del diámetro y espesores de la tubería, además del tamaño de las bombas se realiza con criterios técnicos y económicos bien definidos, se

logra resultados óptimos, teniendo un sistema confiable y un mejor costo beneficio de operación y mantenimiento.

6. Las herramientas computacionales (software de análisis y diseño) ayudan a dimensionar, analizar, verificar y optimizar el proceso de selección y diseño de los sistemas de bombeo. es un requerimiento indispensable realizar un análisis del sistema para garantizar la correcta selección de los equipos antes de realizar la compra.

RECOMENDACIONES

1. Para evitar el golpe de ariete se instalará una válvula check de cierre lento y una válvula anticipadora de onda que actuará cuando una interrupción brusca del flujo debido a una mala operación o ante cortes de energía eléctrica. Dicha válvula se debe seleccionar para actuar en un tiempo mínimo de 20 segundos. con ello se protegerá todo el sistema. Además se instalará válvulas de doble efecto de aire vacío para eliminar el aire y prevenir la formación de vacío dentro de la tubería.
2. La investigación de los recursos hídricos disponibles y la calidad del agua es muy importante para el dimensionamiento del sistema de bombeo (ni sobredimensionamiento ni sub-dimensionamiento) analizando en un periodo de 20 años de operación de la planta.
3. Es importante tener presente los impactos ambientales que pueda tener el sistema de bombeo de agua. Ante eventos impredecibles en el sistema, se deben de tener en consideración las canalizaciones de los flujos eventuales de purga de agua en la tubería y tanque, además de los reboses por excesos de capacidad.

BIBLIOGRAFÍA

1. The transportation of Solids in STEEL PIPELINES - C. Harrison Townsed
2. Steel Pipe design and Installation - American Water Works Association
3. Pipelines. Design and Construction of steel pipelines in land - British Standards Institution.
4. Pipelines rules of Thumb Handbook - E.W. McAllister, Editor -Seventh Edition.
5. Pipeline Design & Construction - M. Mohitpour, H Golsham, A Murray - Second Edition.
6. Piping System & Pipeline - ASME B31 Code - Phillip Ellenberger.
7. Pump Handbook - Igor J. Karassik, Joseph P. Messina, Paul Cooper, Charles C. Heald - Third Edition.
8. Pumping Station Desing - Robert L. Sanks - Second Edition.
9. ASME B31.4 - Pipeline Transportation System for Liquid Hydrocarbons and other liquid.
10. ASME B31.3 - Process Piping.
11. American Petroleum Institute (API) Specification 5L (Line pipe)
12. American Society of Testing Material ASTM A53.

ANEXOS

- A1.- Hoja de Datos (Data Sheet) del equipo de bombeo.
- A2.- Curva de la Bomba Seleccionada.
- A3.- Plano de Arreglo General de la Bomba.
- A4.- Catálogo de la Bomba
- A5.- Reporte Detallado del Análisis de Transiente Sin Elementos de Protección.
- A6.- Reporte Detallado del Análisis de Transiente con elementos de Protección.

ANEXO A1:

**Hoja de Datos (Data Sheet) del equipo de
bombeo**

HOJA DE DATOS

BOMBAS C2-5150-PW-765 @ 768
(PS4B PUMPS)

Datasheet N°: K067-C2-DS-55-004	Tag Number: C2-5150-PW-765/766/767/768	P.O. Number: _____	Date: 3-May-13		
Project N°: 161029	RFQ Number: A6CV-4-0608A-G-RQ				
Project Name: SISTEMAS DE AGUA FRESCA	Spec Number: K067-C2-SP-55-002	Motor Spec N°: 240K-C2-SP-65-002	By: L. Sarmiento		
PARA LA NUEVA PLANTA CONCENTRADORA CV2 Note: <input type="checkbox"/> Indicates Information Completed by Client <input type="checkbox"/> By Vendor <input checked="" type="checkbox"/> By Client or Vendor ● For: SMCV <input type="checkbox"/> Unit ● Site: SMCV - Arequipa - Perú <input type="checkbox"/> Service: Fresh Water ● Quantity: 4 <input checked="" type="checkbox"/> Pump Size: 14-UZDL-31 <input checked="" type="checkbox"/> Type: Horizontal Centrifugal <input checked="" type="checkbox"/> Manufacturer: FLOWSERVE <input checked="" type="checkbox"/> Model: UZDL <input type="checkbox"/> Serial Number: LATER <input type="checkbox"/> Vendor:					
<input type="checkbox"/> GENERAL					
● Number Motor Driven	Same as Tag - M	○ Number Turbine Driven	○ Gearbox Item Number		
● Motor Item Number	By Vendor	○ Turbine Item Number	○ Gearbox Provided By		
● Motor Provided By	By Vendor	○ Turbine Provided By	○ Gearbox Mounted By		
● Motor Mounted By	By Vendor	○ Turbine Mounted By	○		
<input type="checkbox"/> OPERATING CONDITIONS					
Capacity (m³/h)	Rated	Cond. 1	Cond. 2		
Suction Pressure (kPa/psig)	2163.3				
Discharge Pressure (kPa/psig)					
Differential Pressure (kPa/psi)					
TDH (m Fluid)	325.4				
Hydraulic Power (kW)					
At Designated Capacity	Rated	Cond. 1	Cond. 2		
Operating Time (hr./day@day/year)	24@360				
NPSH Available (m Fluid)	10.25				
System Design					
<input type="checkbox"/> Stand Alone Operation	<input checked="" type="checkbox"/> Parallel Operation				
<input type="checkbox"/> Series Operation	With Item Number: _____				
Suction Pressure Min./Max.	(kPa/psig)				
Service					
<input checked="" type="checkbox"/> Continuous	<input type="checkbox"/> Intermittent (Starts/Day)				
System Control Method					
<input type="checkbox"/> Speed	<input checked="" type="checkbox"/> Flow	<input type="checkbox"/> Level	<input type="checkbox"/> Temperature		
<input type="checkbox"/> Pressure	<input type="checkbox"/> Pipe Friction Resistance Only				
<input type="checkbox"/> PUMPED FLUID					
Pumped Fluid:	Fresh water				
Pumping Temperature (°C)	Rated	Cond. 1	Cond. 2		
At Designated Temperature:	15				
Specific Gravity	Rated	Cond. 1	Cond. 2		
Vapor Pressure (kPa/psia)	1.00				
Viscosity (cp)	1.661 / 0.241				
Specific Heat (kJ/kg °C)	1.145				
pH	4.186				
Initial Boiling Point	(°C) @	(kPa abs.)			
Liquid	<input type="checkbox"/> Hazardous	<input type="checkbox"/> Flammable			
<input type="checkbox"/> Other					
Corrosion / Erosion Caused by:					
% Solids	minimum	Max. Particle Size	(mm)		
0	3-May-13	Emitido para compra			
REV	DATE	DESCRIPTION			
		L. Sarmiento	L. Sarmiento	L. Sarmiento	SMCV
		MADE BY	REVISED BY	APPROVED BY	CLIENT

<input type="checkbox"/> PERFORMANCE			
<input type="checkbox"/> Performance Curve No.	14UZDL31-E-1-P003		
<input type="checkbox"/> Speed (rpm)	1180		
Measured at Capacity			
Rated	Cond. 1	Cond. 2	
<input type="checkbox"/> NPSH Req'd (m)	6.0		
<input type="checkbox"/> Total Differential Head @ Rated Impeller	340.0		(m)
<input type="checkbox"/> Max. Differential Head @ Rated Impeller	420.6		(m)
<input type="checkbox"/> Minimum Continuous Flow (m³/hr)			
Thermal	LATER	Stable	681.0 (m³/hr)
<input type="checkbox"/> Allowable Operating Region:	681	To	2680 (m³/hr)
<input type="checkbox"/> Best Efficiency Point for Rated Impeller:	2044.5		(m³/hr)
<input type="checkbox"/> Suction Specific Speed:	8920.0		
<input type="checkbox"/> Impeller Diameter: Rated	887.5	Cond. 1	Cond. 2
<input type="checkbox"/> Pump Rated Efficiency:	81.0		(%)
<input type="checkbox"/> Pump Rated Power	2474		(kW)
<input type="checkbox"/> Maximum Power @ Rated Impeller:	2677		(kW)
Rotation (Viewed From Pump Coupling End)	<input type="checkbox"/> CW	<input checked="" type="checkbox"/> CCW	
<input type="checkbox"/> Viscosity Corrections:	NOT APPLICABLE		
Case Pressure Rating			
<input type="checkbox"/> Max. Allowable Working Pressure	4200 kPa		(kPa/psi)
@	15		(°C)
<input type="checkbox"/> Hydrostatic Test Pressure	6300 kPa		(kPa/psi)

<input type="checkbox"/> SITE CONDITIONS			
Location	<input type="checkbox"/> Indoor	<input checked="" type="checkbox"/> Outdoor	<input type="checkbox"/>
Altitude	2770	(m)	
Range of Ambient Temperatures Min./Max.	3.7 / 24.7	(°C)	
Electrical Area Classification:	<input checked="" type="checkbox"/> Unclassified (Non-Hazardous)		
<input type="checkbox"/> Class	Group	Division	
<input type="checkbox"/> T-Rating			

<input type="checkbox"/> GENERAL REMARKS			
FULL VOLTAGE NON REVERSING (FVNR).			
THREE PUMPS IN OPERATION, ONE PUMP IN STAND BY.			

ANEXO A2:

Curva de la Bomba Seleccionada

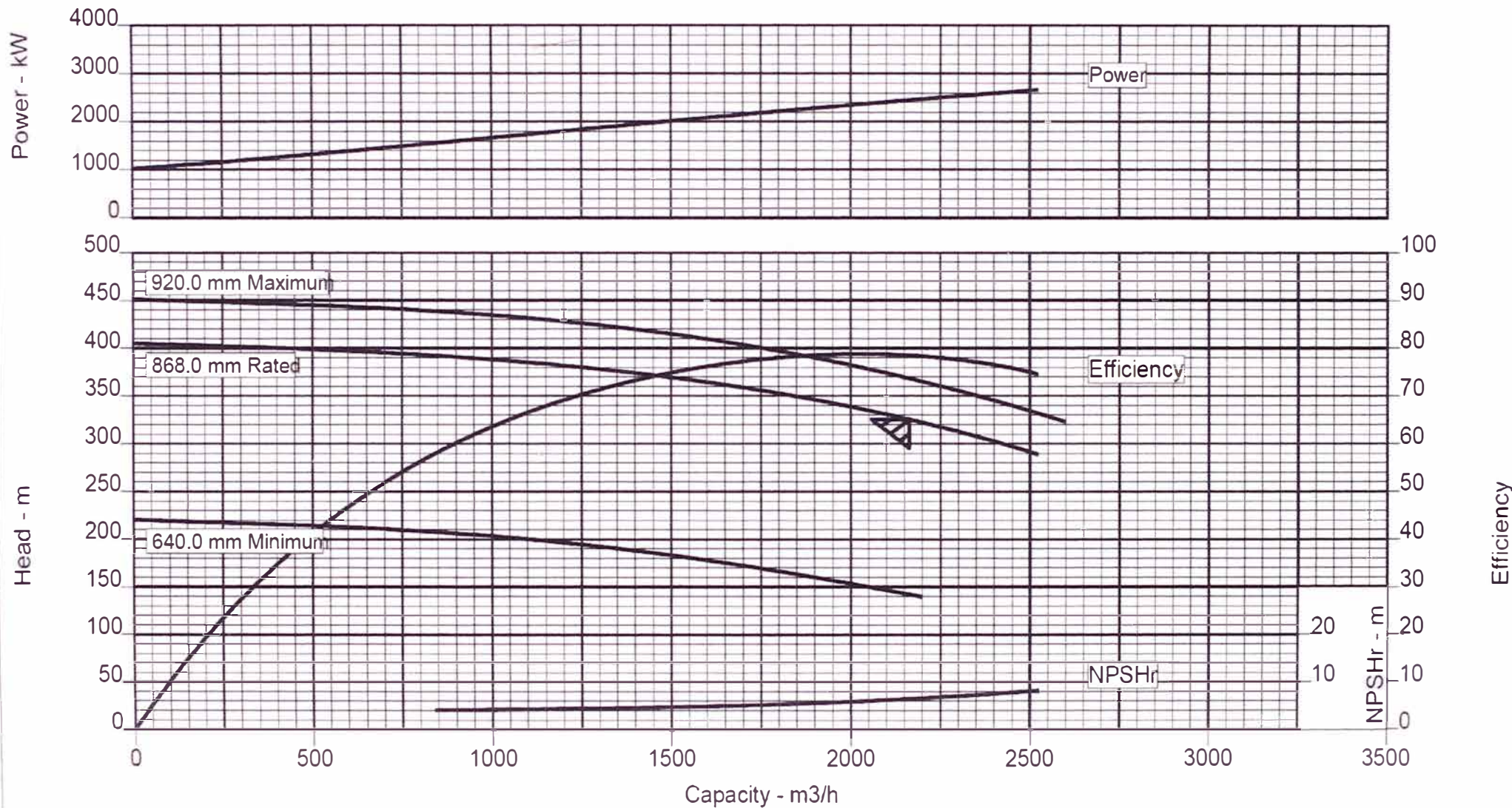
FLOWSERVE Pump Division

Customer : FLUOR DANIEL
 Item number : PS4B PW-765/768 rev
 Service : Fresh Water
 Vendor reference : 4718-20043
 Date : May 9, 2013

Capacity : 2163.3 m³/h
 Head : 325.40 m

Pump size & type : 14 UZDL 31
 Based on curve no. : 14 UZDL 31-E-1-P12A
 Number of stages : 2
 Test tolerance : API-610 8th Edition

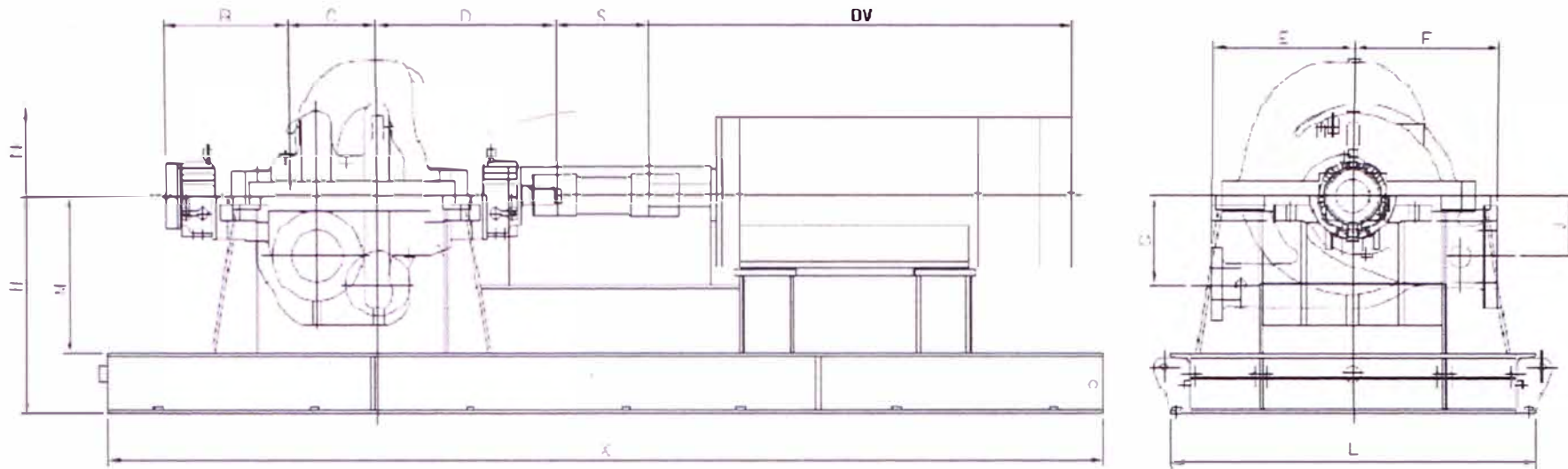
CURVES ARE APPROXIMATE, PUMP IS GUARANTEED FOR ONE SET OF CONDITIONS, CAPACITY, HEAD, AND EFFICIENCY



ANEXO A3:

Plano de Arreglo General de la Bomba

Metric Units



Lube Oil System assembled on the same base plate as pump and motor. LOS Drawing in Lube Oil System Section

Suc.	Disc.	B	C	D	E	F	G	Hmin	J	L	M	N	S	X	DV
450	350	920	405	1200	900	900	580	1250	500	2010	950	840	250	7500	3700

PUMP		
Type	14 UZDL 26	ANSI B16.5
Suction	18"	600# RF
Discharge	14"	600# RF

MOTOR	
Power	4500 HP
Nr. Poles	4
Voltage	4000 V

WEIGHTS (kg)	
Pump	7000
Motor	9950
Base	12500
LOS	~2000
Total	31450

Customer
Fluor Canada Ltd.
Project
Cerro Verde Production Exp.
Item
C2-5150-PW-765-768
Service
Reclaim Water System

Dimensions in mm, Weights in kg. Approximate dimensions - Do not use for construction.

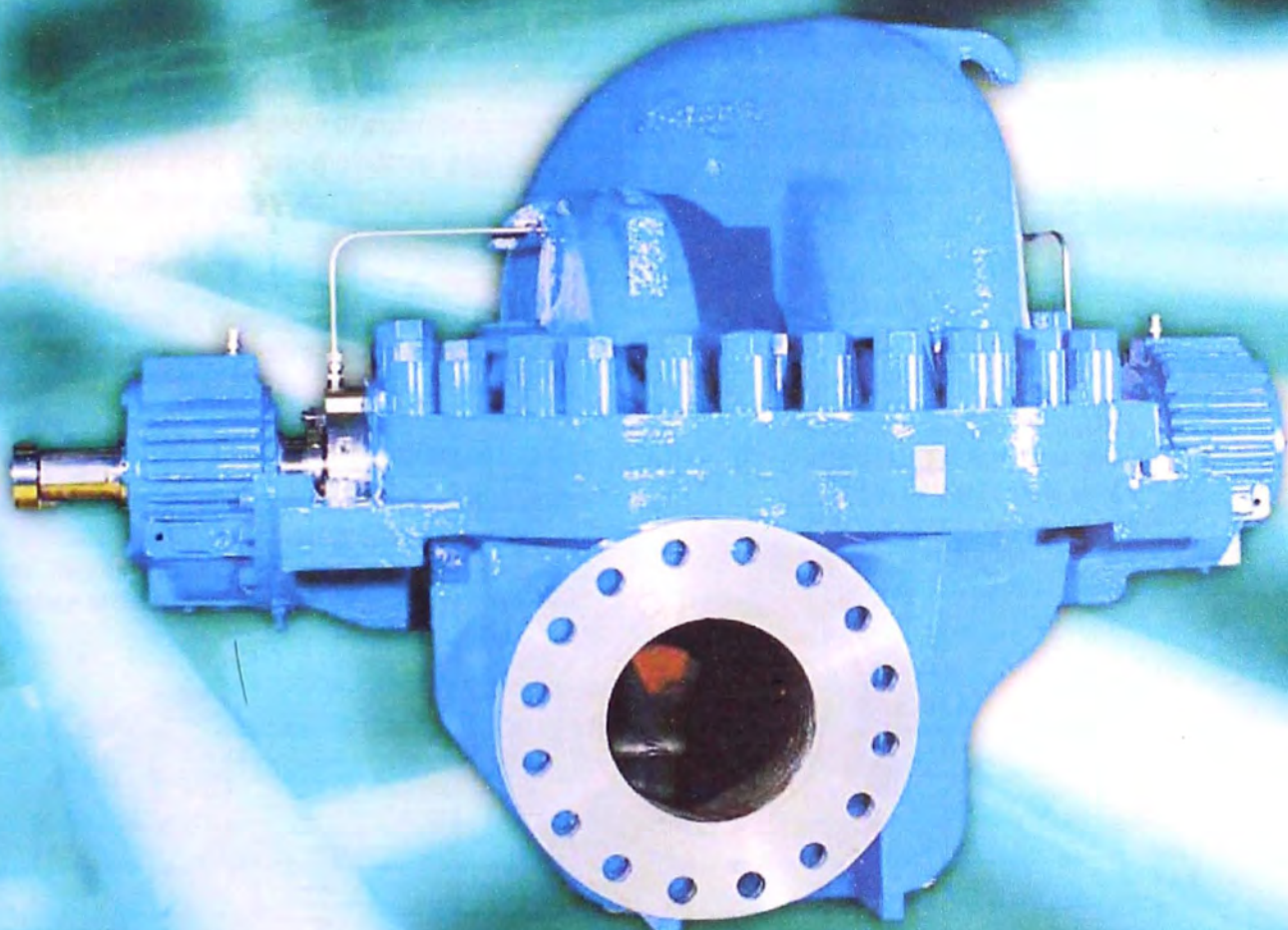
* Will vary with power, size and make of motor involved.

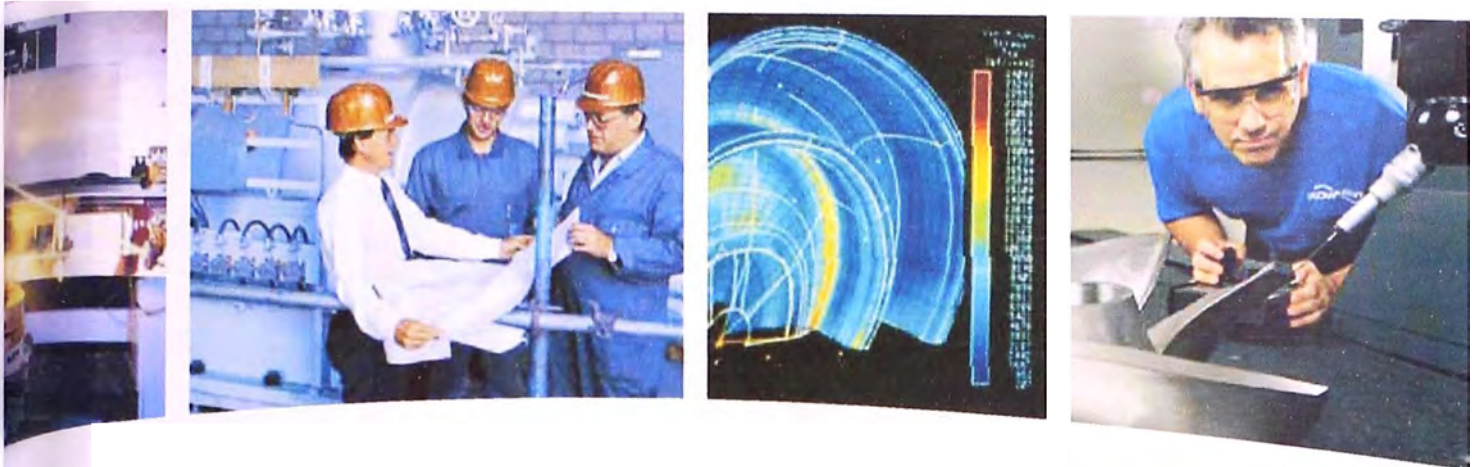
ANEXO A4:

Catálogo de la Bomba



UZDL
***API 610 (BB1) Between Bearings,
Two Stage, Axially Split Pump***





Pump Supplier To The World

Flowserve is the driving force in the global industrial pump marketplace. No other pump company in the world has the depth or breadth of expertise in the successful application of pre-engineered, engineered and special purpose pumps and systems.

Pumping Solutions

Flowserve is providing pumping solutions which permit customers to continuously improve productivity, profitability and pumping system reliability.

Market Focused Customer Support

Product and industry specialists develop effective proposals and solutions directed toward market and customer preferences. They offer technical advice and assistance throughout each stage of the product life cycle, beginning with the inquiry.



Dynamic Technologies

Flowserve is without peer in the development and application of pump technology, including:

- Hydraulic engineering
- Mechanical design
- Materials science
- Intelligent pumping
- Manufacturing technology

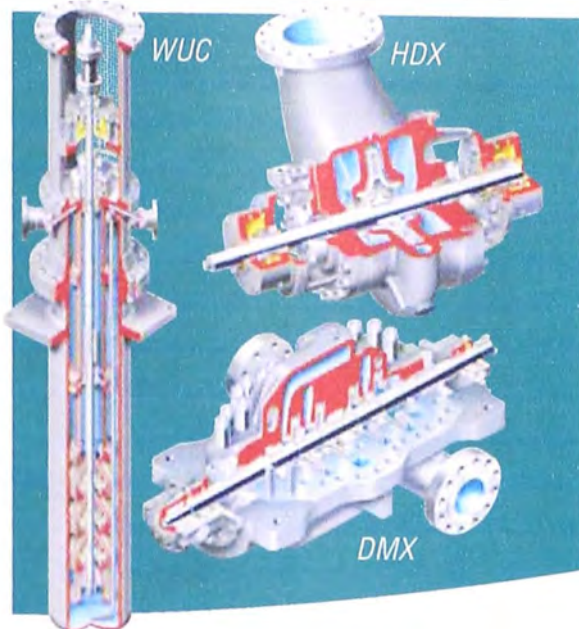
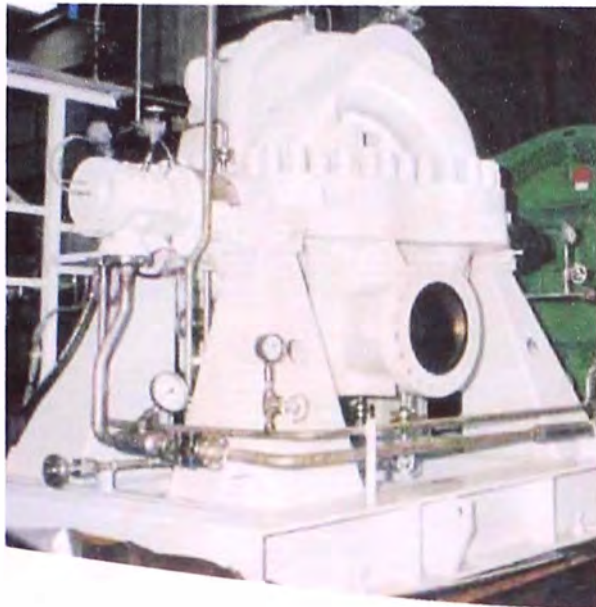
Broad Product Lines

Flowserve offers a wide range of complementary pump types, from pre-engineered process pumps, to highly engineered and special purpose pumps and systems. Pumps are built to recognized global standards and customer specifications.

Pump designs include:

- Single stage process
- Between bearing single stage
- Between bearing multistage
- Vertical
- Submersible motor
- Rotary
- Reciprocating
- Nuclear
- Specialty

UZDL
API 610 (BB1)
Between Bearings,
Two Stage, Axially
Split Pump



The Pump of Choice for High Pressure, Low NPSH Applications

With a double suction first-stage impeller, the Flowserve UZDL is a natural solution for many low NPSH, high pressure applications. Built to API 610 (BB1), latest edition, the UZDL provides uncompromising performance and reliability over the full range of flows. It is the pump of choice for numerous pipeline and transfer applications.

Consisting of two hydraulically balanced impellers and a heavy-duty double volute casing, the UZDL pump design results in optimum axial and radial thrust balance over the full operating range.

- Double suction first stage impeller is inherently hydraulically balanced
- Balancing holes on the second stage impeller control axial thrust
- Double volute design for both stages minimizes hydraulic radial loads, even at minimum flow
- Stiff shaft design ensures trouble free performance by operating under the first critical speed

Broad Application

- Hydrocarbon pipeline
- Gas scrubbing
- Water pipeline
- Firefighting
- Heavy duty transfer

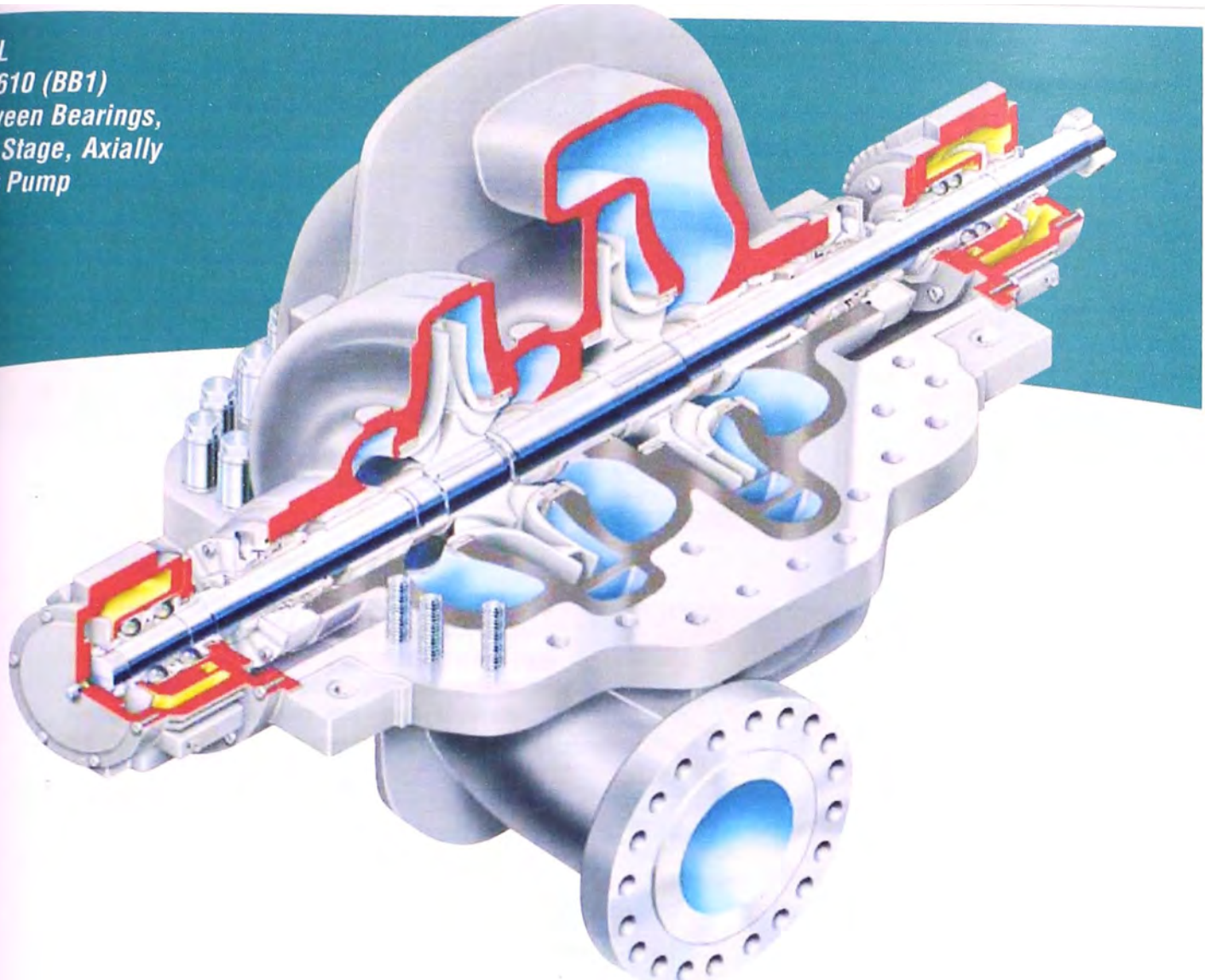
Complementary Pump Designs

In addition to the UZDL, Flowserve also can provide the following complementary API standard pump designs:

- DVS and DVSH API 610 (BB1) axially split, single stage, double suction pump
- DMX API 610 (BB3) axially split, multistage pump
- WUC API 610 (VS6), vertical, double casing, multistage pump
- HDX API 610 (BB2), between bearings, radially split, double suction process pump
- HED-DS API 610 (BB2) between bearings, radially split, double suction, two stage pump



UZDL
API 610 (BB1)
Between Bearings,
Two Stage, Axially
Split Pump



The Flowserve UZDL is an axially split, two stage pump designed to API 610 (BB1), latest edition. With a double suction first stage impeller, the UZDL is a natural solution for many low NPSH, high pressure applications, such as those found in water and hydrocarbon pipelines.

The UZDL's unique confined gasket design allows metal-to-metal contact for perfect sealing. This design also eliminates corrosion of bolts and nuts.

Operating Parameters

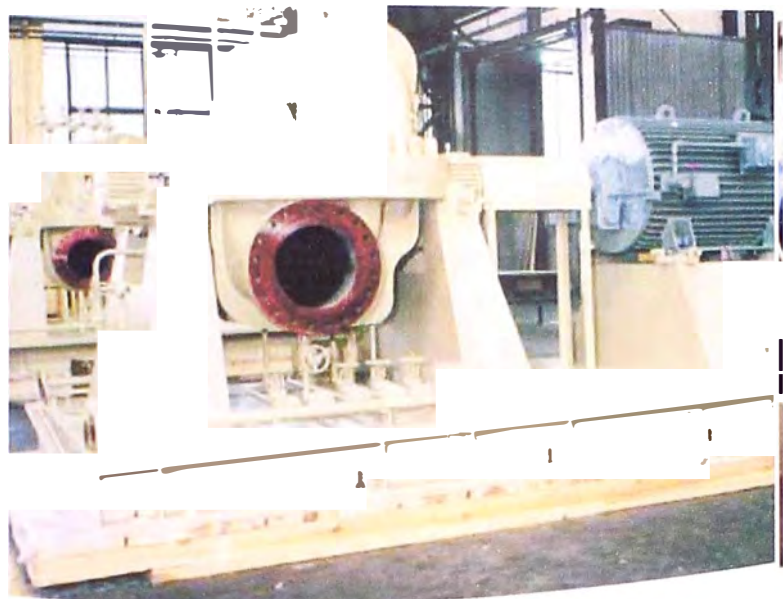
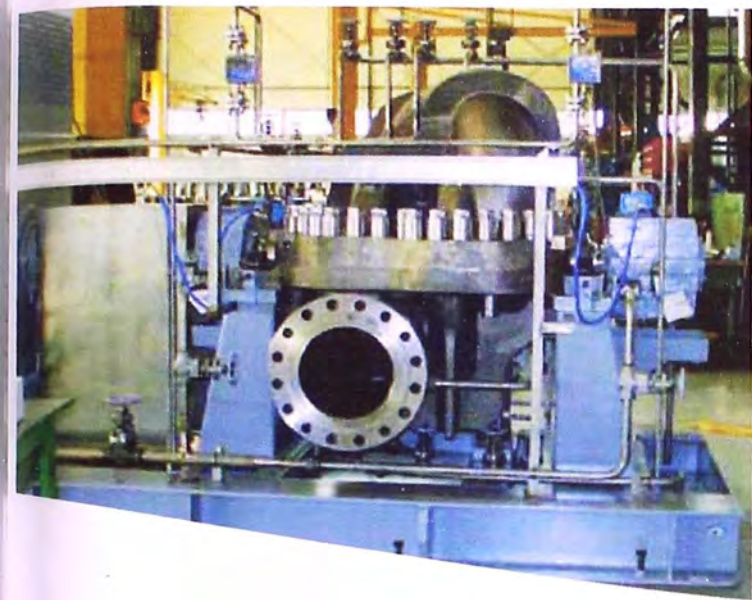
- Flows to 2950 m³/h (13 000 gpm)
- Heads to 685 m (2250 ft)
- Pressures to 64 bar (910 psi)
- Temperatures to 200°C (400°F)
- Speeds to 2000 rpm

Double Suction First Stage Impeller considerably reduces NPSH_r and often eliminates the need for booster units. While the first stage is inherently hydraulically balanced, second stage axial thrust is controlled via balancing holes

Double Volute, Axially Split Casing is near-centerline supported to provide superior alignment and performance at elevated temperatures

Suction and Discharge Nozzles are integrally cast in the lower half casing to permit disassembly without disturbing the piping. Flanges meet ASME B16.5 standards and may be supplied in Class 300 (PN 40), 600 (PN 100) or 900 (PN 160)

API 682 Seal Chambers operate at suction pressure and allow for installation of cartridge style single, dual unpressurized and dual pressurized mechanical seals to meet required safety and environmental requirements



Double Volute Construction

The UZDL pump features a heavy-duty, axially split casing with a double volute design for both stages. An integral crossover conveys the pumped liquid from the first stage to the second stage. This design minimizes hydraulic radial loads, even at minimum flow, and virtually eliminates detrimental shaft deflection and vibration.

Bearings

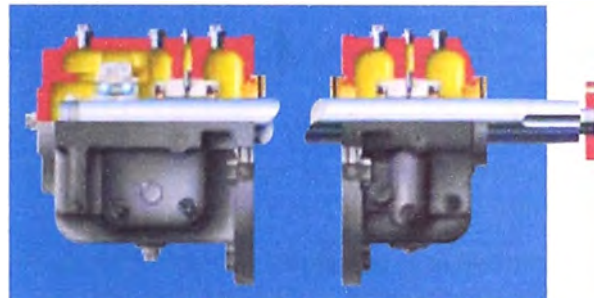
The UZDL is offered with a variety of bearing designs to meet application requirements. The standard radial bearings are self-aligning, antifriction type configured in a double row. The thrust bearing also is antifriction and is of the dual, single row, angular contact type. Standard lubrication is via an oil slinger system. This system prolongs bearing life by ensuring the oil penetrates the bearings without foaming.

Optional bearing designs include the following:

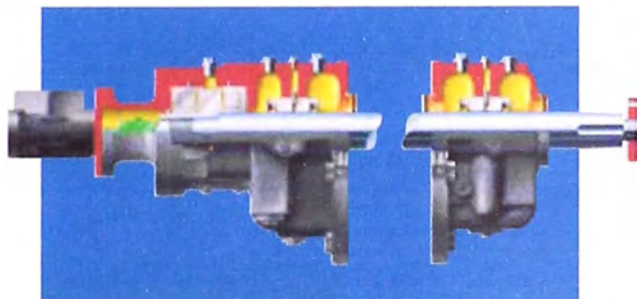
- Split sleeve radial and ball thrust
- Split sleeve radial and tilting pad thrust

Bearing Housing

The UZDL's carbon steel bearing housing features 180° bolting to mounting brackets. The bearing housing comes standard with labyrinth seals. Bearing isolators are available. Isolators provide superior sealing to retain oil and exclude atmospheric contaminants and moisture.

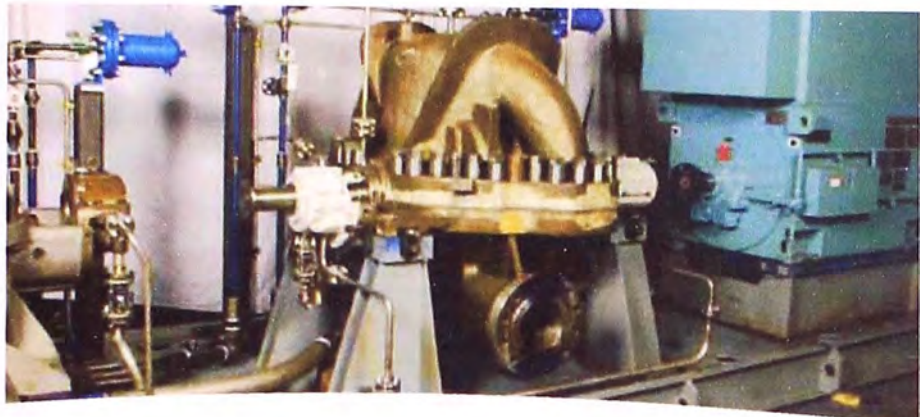


Split Sleeve Radial and Ball Thrust



Split Sleeve Radial and Tilting Pad Thrust

Options and Technical Data



Pump Packages

Pump packages are provided to specification and include lube oil piping, seal system, monitoring instruments and drive train mounting.

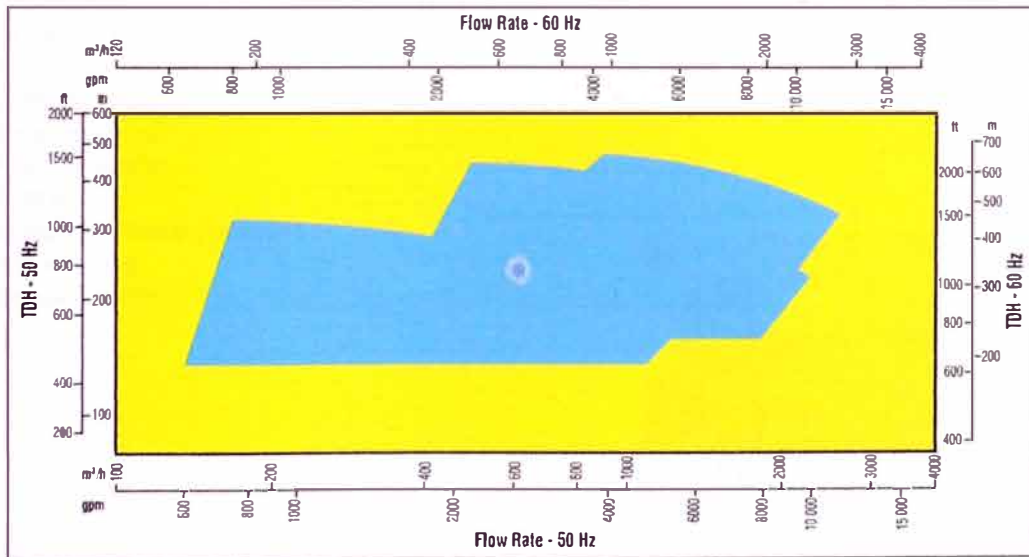
Baseplate Designs

Engineered to contract requirements, baseplate designs may include any of the following:

- Conventional welded steel with drain rim
- Sub-base under pump only
- Three-point design
- Pre-grouted
- Skid-type, non-grouted

Pumps mounted with engine or turbine drivers as well as multiple pump modules also are available.

UZDL Range Chart



Bearing Cooling Options

- Air cooling
- Water cooling
- Product cooling

Bearing Lubrication Options

- Ring oil or flinger
- Pressure lubricated

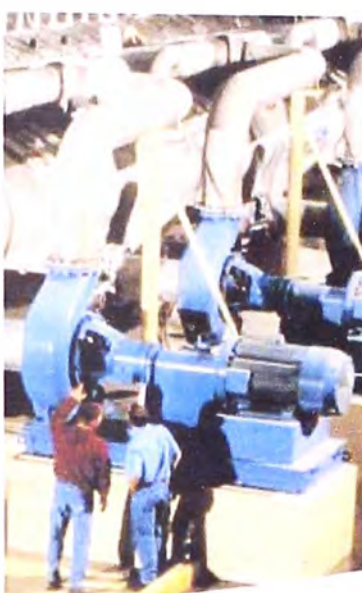
Shaft Options

The UZDL is available with an optional double extension for connecting to auxiliary pumps or hydraulic turbines. Additionally, special shaft end machining is available for hydraulic fitted couplings.

Rotation options:

- CCW (standard)
- CW

**Global Service
and Technical
Support**



Service Dedication

Flowserve Engineered Services focus on providing customers with uncompromising service and support, where and when needed. Dedicated to delivering the highest quality support, Engineered Services integrate pump and materials engineering knowledge with creative service solutions.

A worldwide network of service and repair centers staffed by highly skilled engineers and technicians is available around the clock, seven days a week to respond to customer queries, to evaluate and troubleshoot problems and to provide reliable solutions.

**Strength of Experience,
Commitment to Excellence**

Flowserve has long served industries requiring superior equipment performance and service life.

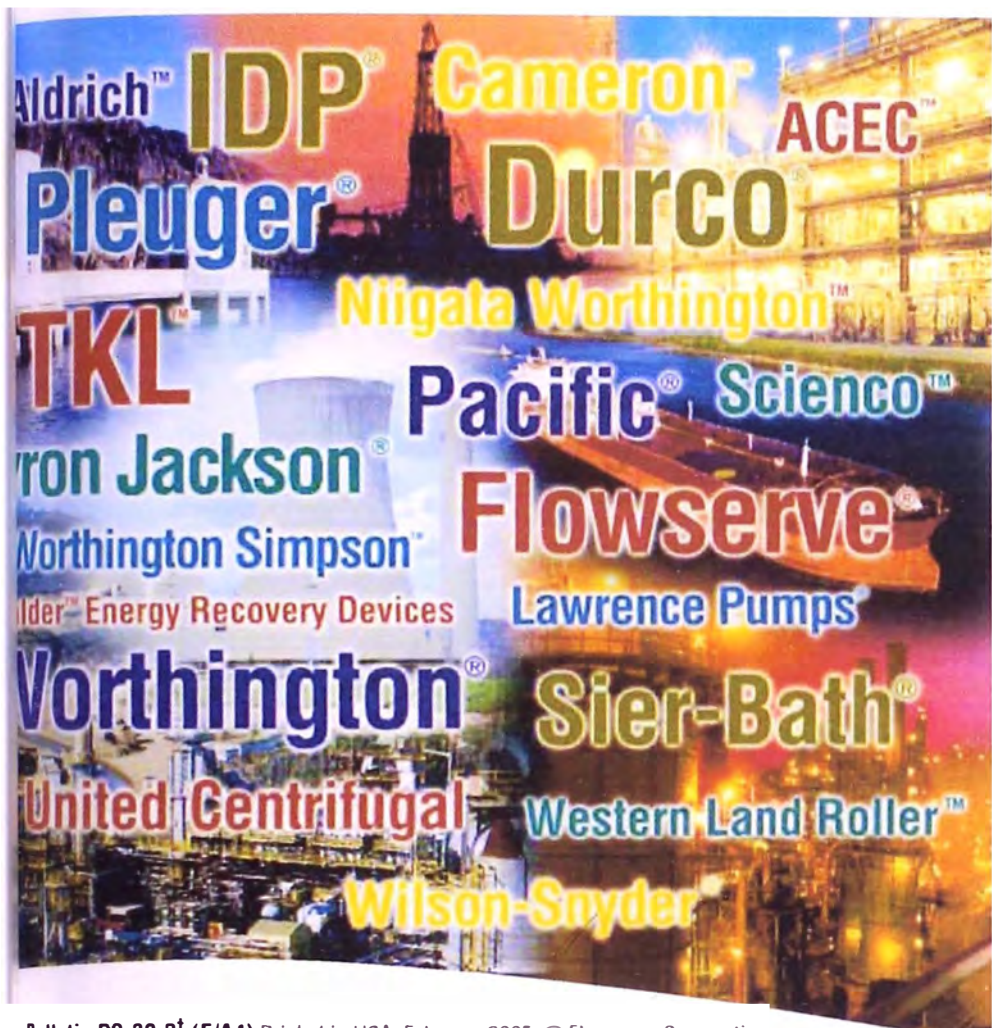
- Oil and gas production
- Hydrocarbon processing
- Chemical processing
- Water resources
- Power generation
- Nuclear
- Mining and mineral processing
- Pulp and paper
- General industry

Flowserve is dedicated to maximizing equipment performance and providing reliability-centered maintenance programs for pumps and related equipment, regardless of manufacturer. Using the FlowStar.net™ asset management software, Flowserve engineers and technicians track performance and support improvement programs using a service life cycle cost business approach. The results are improved reliability and increased profitability.

Business Partner

Flowserve partners with customers to respond to the dynamic business conditions that affect them. Flowserve will work with customers to drive efficiency, maximize throughput and control process quality. Whether user needs involve on-site technical assistance or broader project planning with full turnkey responsibility, Flowserve Engineered Services will deliver professional, reliable results.





Bulletin PS-30-2[†] (E/A4) Printed in USA, February 2005. © Flowserve Corporation

To find your local Flowserve representative:

For more information about Flowserve Corporation,
visit www.flowserve.com or call USA 1 800 728 PUMP (7867)

USA and Canada

Flowserve Corporation
Pump Division
5215 North O'Connor Blvd.
Suite 2300
Irving, Texas 75039-5421 USA
Telephone: 1 972 443 6500
Telefax: 1 972 443 6800

Europe, Middle East, Africa

Flowserve Corporation
Pump Division
Via Rossini 90/92
20033 Desio (Milan), Italy
Telephone: 39 0362 6121
Telefax: 39 0362 303396

Latin America and Caribbean

Flowserve Corporation
Pump Division
6840 Wynnwood Lane
Houston, Texas 77008 USA
Telephone: 1 713 803 4434
Telefax: 1 713 803 4497

Asia Pacific

Flowserve Pte. Ltd.
Pump Division
200 Pandan Loop #06-03/04
Pantech 21
Singapore 128388
Telephone: 65 6775 3003
Telefax: 65 6779 4607



✓ ISO Certificate of Approval – ISO 9001

ANEXO A5:

**Reporte Detallado del Análisis de
Transiente Sin Elementos de Protección**

Extreme Pressures and Heads

End Point	Upsurge Ratio	Max. Pressure (psi)	Min. Pressure (psi)	Max. Head (m)	Min. Head (m)
PL-01:2591.788 m.a.s.l.	1.770	825.5	32.7	3,173.37	2,614.85
PL-01:2591.722 m.a.s.l.	1.710	799.4	34.1	3,154.92	2,615.74
PL-02:2591.722 m.a.s.l.	1.710	799.4	34.1	3,154.92	2,615.74
PL-02:2583.908 m.a.s.l.	1.760	840.9	46.4	3,176.32	2,616.59
PL-03:2583.908 m.a.s.l.	1.760	840.9	46.4	3,176.32	2,616.59
PL-03:2583.851 m.a.s.l.	1.880	898.1	47.8	3,216.57	2,617.49
PL-04:2583.851 m.a.s.l.	1.880	898.1	47.8	3,216.57	2,617.49
PL-04:2582.884 m.a.s.l.	1.740	831.6	48.9	3,168.74	2,617.34
PL-05:2582.884 m.a.s.l.	1.740	831.6	48.9	3,168.74	2,617.34
PL-05:2584.314 m.a.s.l.	1.710	817.4	48.1	3,160.18	2,618.20
PL-06:2584.314 m.a.s.l.	1.710	817.4	48.1	3,160.18	2,618.20
PL-06:2586.644 m.a.s.l.	1.760	835.5	46.7	3,175.25	2,619.56
PL-07:2586.644 m.a.s.l.	1.760	835.5	46.7	3,175.25	2,619.56
PL-07:2589.006 m.a.s.l.	1.790	839.9	25.3	3,180.69	2,606.80
PL-08:2589.006 m.a.s.l.	1.790	839.9	25.3	3,180.69	2,606.80
PL-08:2597.174 m.a.s.l.	1.760	805.0	13.6	3,164.29	2,606.77
PL-09:2597.174 m.a.s.l.	1.760	805.0	13.6	3,164.29	2,606.77
PL-09:2600.179 m.a.s.l.	1.840	836.5	11.3	3,189.51	2,608.15
PL-10:2600.179 m.a.s.l.	1.840	836.5	11.3	3,189.51	2,608.15
PL-10:2601.871 m.a.s.l.	1.880	849.1	9.2	3,200.04	2,608.37
PL-11:2601.871 m.a.s.l.	1.880	849.1	9.2	3,200.04	2,608.37
PL-11:2609.467 m.a.s.l.	1.820	799.0	1.9	3,172.36	2,610.82
PL-12:2609.467 m.a.s.l.	1.820	799.0	1.9	3,172.36	2,610.82
PL-12:2609.747 m.a.s.l.	1.870	819.5	4.6	3,187.04	2,613.01
PL-13:2609.747 m.a.s.l.	1.870	819.5	4.6	3,187.04	2,613.01
PL-13:2613.703 m.a.s.l.	1.860	805.8	2.9	3,181.37	2,615.75
PL-14:2613.703 m.a.s.l.	1.860	805.8	2.9	3,181.37	2,615.75
PL-14:2616.691 m.a.s.l.	1.850	793.7	-2.4	3,175.86	2,615.00
PL-15:2616.691 m.a.s.l.	1.850	793.7	-2.4	3,175.86	2,615.00

Extreme Pressures and Heads

End Point	Upsurge Ratio	Max. Pressure (psi)	Min. Pressure (psi)	Max. Head (m)	Min. Head (m)
PL-15:2622.558 m.a.s.l.	1.860	780.9	-7.3	3,172.67	2,617.39
PL-16:2622.558 m.a.s.l.	1.860	780.9	-7.3	3,172.67	2,617.39
PL-16:2624.124 m.a.s.l.	1.870	782.9	-8.4	3,175.65	2,618.24
PL-17:2624.124 m.a.s.l.	1.870	782.9	-8.4	3,175.65	2,618.24
PL-17:2626.718 m.a.s.l.	1.860	769.0	-6.8	3,168.46	2,621.90
PL-18:2626.718 m.a.s.l.	1.860	769.0	-6.8	3,168.46	2,621.90
PL-18:2628.76 m.a.s.l.	1.890	776.0	-10.1	3,175.41	2,621.64
PL-19:2628.76 m.a.s.l.	1.890	776.0	-10.1	3,175.41	2,621.64
PL-19:2630.052 m.a.s.l.	1.860	759.9	-9.2	3,165.41	2,623.56
PL-20:2630.052 m.a.s.l.	1.860	759.9	-9.2	3,165.41	2,623.56
PL-20:2631.512 m.a.s.l.	1.880	762.9	-10.1	3,168.99	2,624.40
PL-21:2631.512 m.a.s.l.	1.880	762.9	-10.1	3,168.99	2,624.40
PL-21:2636.586 m.a.s.l.	1.870	745.7	-10.1	3,161.93	2,629.47
PL-22:2636.586 m.a.s.l.	1.870	745.7	-10.1	3,161.93	2,629.47
PL-22:2645.622 m.a.s.l.	1.910	738.0	-10.1	3,165.50	2,638.51
PL-23:2645.622 m.a.s.l.	1.910	738.0	-10.1	3,165.50	2,638.51
PL-23:2647.638 m.a.s.l.	1.870	716.7	-10.1	3,152.51	2,640.52
PL-24:2647.638 m.a.s.l.	1.870	716.7	-10.1	3,152.51	2,640.52
PL-24:2651.564 m.a.s.l.	1.940	730.5	-10.1	3,166.20	2,644.45
PL-25:2651.564 m.a.s.l.	1.940	730.5	-10.1	3,166.20	2,644.45
PL-25:2656.348 m.a.s.l.	1.890	700.3	-10.1	3,149.70	2,649.23
PL-26:2656.348 m.a.s.l.	1.890	700.3	-10.1	3,149.70	2,649.23
PL-26:2659.035 m.a.s.l.	1.920	701.6	-10.1	3,153.28	2,651.92
PL-27:2659.035 m.a.s.l.	1.920	701.6	-10.1	3,153.28	2,651.92
PL-27:2660.828 m.a.s.l.	2.080	754.7	-10.1	3,192.52	2,653.71
PL-28:2660.828 m.a.s.l.	2.080	754.7	-10.1	3,192.52	2,653.71
PL-28:2660.925 m.a.s.l.	1.910	692.4	-10.1	3,148.74	2,653.81
PL-29:2660.925 m.a.s.l.	1.910	692.4	-10.1	3,148.74	2,653.81
PL-29:2661.857 m.a.s.l.	1.890	684.3	-10.1	3,143.96	2,654.74

Extreme Pressures and Heads

End Point	Upsurge Ratio	Max. Pressure (psi)	Min. Pressure (psi)	Max. Head (m)	Min. Head (m)
PL-30:2661.857 m.a.s.l.	1.890	684.3	-10.1	3,143.96	2,654.74
PL-30:2662.138 m.a.s.l.	1.990	717.8	-10.1	3,167.81	2,655.02
PL-31:2662.138 m.a.s.l.	1.990	717.8	-10.1	3,167.81	2,655.02
PL-31:2662.437 m.a.s.l.	1.970	707.9	-10.1	3,161.11	2,655.32
PL-32:2662.437 m.a.s.l.	1.970	707.9	-10.1	3,161.11	2,655.32
PL-32:2662.593 m.a.s.l.	1.950	700.8	-10.1	3,156.26	2,655.48
PL-33:2662.593 m.a.s.l.	1.950	700.8	-10.1	3,156.26	2,655.48
PL-33:2663.268 m.a.s.l.	1.940	693.5	-10.1	3,151.81	2,656.15
PL-34:2663.268 m.a.s.l.	1.940	693.5	-10.1	3,151.81	2,656.15
PL-34:2663.766 m.a.s.l.	1.860	662.5	-10.1	3,130.49	2,656.65
PL-35:2663.766 m.a.s.l.	1.860	662.5	-10.1	3,130.49	2,656.65
PL-35:2663.971 m.a.s.l.	1.890	672.9	-10.1	3,138.03	2,656.86
PL-36:2663.971 m.a.s.l.	1.890	672.9	-10.1	3,138.03	2,656.86
PL-36:2664.134 m.a.s.l.	1.870	664.9	-10.1	3,132.53	2,657.02
PL-37:2664.134 m.a.s.l.	1.870	664.9	-10.1	3,132.53	2,657.02
PL-37:2664.262 m.a.s.l.	1.870	665.3	-10.1	3,132.96	2,657.15
PL-38:2664.262 m.a.s.l.	1.870	665.3	-10.1	3,132.96	2,657.15
PL-38:2664.565 m.a.s.l.	1.890	670.9	-10.1	3,137.21	2,657.45
PL-39:2664.565 m.a.s.l.	1.890	670.9	-10.1	3,137.21	2,657.45
PL-39:2664.652 m.a.s.l.	1.910	674.8	-10.1	3,140.03	2,657.54
PL-40:2664.652 m.a.s.l.	1.910	674.8	-10.1	3,140.03	2,657.54
PL-40:2664.851 m.a.s.l.	1.930	682.0	-10.1	3,145.34	2,657.74
PL-41:2664.851 m.a.s.l.	1.930	682.0	-10.1	3,145.34	2,657.74
PL-41:2664.958 m.a.s.l.	1.920	678.7	-10.1	3,143.12	2,657.84
PL-42:2664.958 m.a.s.l.	1.920	678.7	-10.1	3,143.12	2,657.84
PL-42:2665.241 m.a.s.l.	1.910	674.2	-10.1	3,140.18	2,658.13
PL-43:2665.241 m.a.s.l.	1.910	674.2	-10.1	3,140.18	2,658.13
PL-43:2665.506 m.a.s.l.	1.870	658.4	-8.7	3,129.33	2,659.41
PL-44:2665.506 m.a.s.l.	1.870	658.4	-8.7	3,129.33	2,659.41

Extreme Pressures and Heads

End Point	Upsurge Ratio	Max. Pressure (psi)	Min. Pressure (psi)	Max. Head (m)	Min. Head (m)
PL-44:2665.573 m.a.s.l.	1.940	679.7	-10.0	3,144.42	2,658.54
PL-45:2665.573 m.a.s.l.	1.940	679.7	-10.0	3,144.42	2,658.54
PL-45:2665.671 m.a.s.l.	1.910	669.2	-9.4	3,137.13	2,659.07
PL-46:2665.671 m.a.s.l.	1.910	669.2	-9.4	3,137.13	2,659.07
PL-46:2665.921 m.a.s.l.	1.910	669.3	-6.3	3,137.45	2,661.45
PL-47:2665.921 m.a.s.l.	1.910	669.3	-6.3	3,137.45	2,661.45
PL-47:2665.972 m.a.s.l.	1.900	666.1	-9.0	3,135.24	2,659.64
PL-48:2665.972 m.a.s.l.	1.900	666.1	-9.0	3,135.24	2,659.64
PL-48:2666.344 m.a.s.l.	2.010	701.6	-10.1	3,160.61	2,659.23
PL-49:2666.344 m.a.s.l.	2.010	701.6	-10.1	3,160.61	2,659.23
PL-49:2666.527 m.a.s.l.	1.870	649.9	-7.8	3,124.36	2,661.04
PL-50:2666.527 m.a.s.l.	1.870	649.9	-7.8	3,124.36	2,661.04
PL-50:2666.807 m.a.s.l.	1.840	640.7	-10.1	3,118.18	2,659.69
PL-51:2666.807 m.a.s.l.	1.840	640.7	-10.1	3,118.18	2,659.69
PL-51:2667.006 m.a.s.l.	1.930	671.1	-10.1	3,139.77	2,659.89
PL-52:2667.006 m.a.s.l.	1.930	671.1	-10.1	3,139.77	2,659.89
PL-52:2668.077 m.a.s.l.	1.910	657.4	-8.1	3,131.21	2,662.35
PL-53:2668.077 m.a.s.l.	1.910	657.4	-8.1	3,131.21	2,662.35
PL-53:2671.163 m.a.s.l.	1.910	650.5	-10.1	3,129.41	2,664.05
PL-54:2671.163 m.a.s.l.	1.910	650.5	-10.1	3,129.41	2,664.05
PL-54:2673.029 m.a.s.l.	1.960	659.6	-10.1	3,137.72	2,665.91
PL-55:2673.029 m.a.s.l.	1.960	659.6	-10.1	3,137.72	2,665.91
PL-55:2680.736 m.a.s.l.	1.980	646.6	-10.1	3,136.24	2,673.62
PL-56:2680.736 m.a.s.l.	1.980	646.6	-10.1	3,136.24	2,673.62
PL-56:2681.659 m.a.s.l.	1.990	644.9	-10.1	3,135.94	2,674.54
PL-57:2681.659 m.a.s.l.	1.990	644.9	-10.1	3,135.94	2,674.54
PL-57:2687.363 m.a.s.l.	1.950	614.9	-10.1	3,120.54	2,680.25
PL-58:2687.363 m.a.s.l.	1.950	614.9	-10.1	3,120.54	2,680.25
PL-58:2693.373 m.a.s.l.	1.960	602.5	-10.1	3,117.85	2,686.26

Extreme Pressures and Heads

End Point	Upsurge Ratio	Max. Pressure (psi)	Min. Pressure (psi)	Max. Head (m)	Min. Head (m)
PL-59:2693.373 m.a.s.l.	1.960	602.5	-10.1	3,117.85	2,686.26
PL-59:2696.634 m.a.s.l.	2.040	616.9	-10.1	3,131.20	2,689.52
PL-60:2696.634 m.a.s.l.	2.040	616.9	-10.1	3,131.20	2,689.52
PL-60:2696.913 m.a.s.l.	2.050	616.5	-10.1	3,131.21	2,689.80
PL-61:2696.913 m.a.s.l.	2.050	616.5	-10.1	3,131.21	2,689.80
PL-61:2697.433 m.a.s.l.	2.050	616.7	-10.1	3,131.91	2,690.32
PL-62:2697.433 m.a.s.l.	2.050	616.7	-10.1	3,131.91	2,690.32
PL-62:2700.829 m.a.s.l.	2.030	598.2	-10.1	3,122.25	2,693.71
PL-63:2700.829 m.a.s.l.	2.030	598.2	-10.1	3,122.25	2,693.71
PL-63:2702.141 m.a.s.l.	2.060	602.5	-10.1	3,126.56	2,695.03
PL-64:2702.141 m.a.s.l.	2.060	602.5	-10.1	3,126.56	2,695.03
PL-64:2703.453 m.a.s.l.	2.060	600.9	-10.1	3,126.74	2,696.34
PL-65:2703.453 m.a.s.l.	2.060	600.9	-10.1	3,126.74	2,696.34
PL-65:2704.736 m.a.s.l.	2.160	626.0	-10.1	3,145.76	2,697.62
PL-66:2704.736 m.a.s.l.	2.160	626.0	-10.1	3,145.76	2,697.62
PL-66:2705.081 m.a.s.l.	2.100	606.6	-10.1	3,132.40	2,697.97
PL-67:2705.081 m.a.s.l.	2.100	606.6	-10.1	3,132.40	2,697.97
PL-67:2705.204 m.a.s.l.	2.070	595.1	-10.1	3,124.45	2,698.09
PL-68:2705.204 m.a.s.l.	2.070	595.1	-10.1	3,124.45	2,698.09
PL-68:2705.327 m.a.s.l.	2.100	605.7	-10.1	3,132.01	2,698.21
PL-69:2705.327 m.a.s.l.	2.100	605.7	-10.1	3,132.01	2,698.21
PL-69:2705.974 m.a.s.l.	2.140	612.6	-10.1	3,137.51	2,698.86
PL-70:2705.974 m.a.s.l.	2.140	612.6	-10.1	3,137.51	2,698.86
PL-70:2706.098 m.a.s.l.	2.130	608.8	-10.1	3,134.95	2,698.98
PL-71:2706.098 m.a.s.l.	2.130	608.8	-10.1	3,134.95	2,698.98
PL-71:2706.221 m.a.s.l.	2.100	600.6	-10.1	3,129.36	2,699.11
PL-72:2706.221 m.a.s.l.	2.100	600.6	-10.1	3,129.36	2,699.11
PL-72:2706.785 m.a.s.l.	2.170	616.7	-10.1	3,141.21	2,699.67
PL-73:2706.785 m.a.s.l.	2.170	616.7	-10.1	3,141.21	2,699.67

Extreme Pressures and Heads

End Point	Upsurge Ratio	Max. Pressure (psi)	Min. Pressure (psi)	Max. Head (m)	Min. Head (m)
PL-73:2707.018 m.a.s.l.	2.150	610.5	-10.1	3,137.11	2,699.90
PL-74:2707.018 m.a.s.l.	2.150	610.5	-10.1	3,137.11	2,699.90
PL-74:2707.251 m.a.s.l.	2.020	573.0	-10.1	3,110.93	2,700.14
PL-75:2707.251 m.a.s.l.	2.020	573.0	-10.1	3,110.93	2,700.14
PL-75:2707.485 m.a.s.l.	2.130	602.9	-10.1	3,132.25	2,700.37
PL-76:2707.485 m.a.s.l.	2.130	602.9	-10.1	3,132.25	2,700.37
PL-76:2707.718 m.a.s.l.	2.100	593.7	-10.1	3,125.96	2,700.60
PL-77:2707.718 m.a.s.l.	2.100	593.7	-10.1	3,125.96	2,700.60
PL-77:2708.06 m.a.s.l.	2.130	599.1	-10.1	3,130.10	2,700.95
PL-78:2708.06 m.a.s.l.	2.130	599.1	-10.1	3,130.10	2,700.95
PL-78:2711.23 m.a.s.l.	2.140	591.4	-10.1	3,127.88	2,704.11
PL-79:2711.23 m.a.s.l.	2.140	591.4	-10.1	3,127.88	2,704.11
PL-79:2717.492 m.a.s.l.	2.180	581.5	-10.1	3,127.12	2,710.38
PL-80:2717.492 m.a.s.l.	2.180	581.5	-10.1	3,127.12	2,710.38
PL-80:2718.115 m.a.s.l.	2.190	580.7	-10.1	3,127.22	2,711.00
PL-81:2718.115 m.a.s.l.	2.190	580.7	-10.1	3,127.22	2,711.00
PL-81:2718.738 m.a.s.l.	2.200	581.3	-10.1	3,128.26	2,711.62
PL-82:2718.738 m.a.s.l.	2.200	581.3	-10.1	3,128.26	2,711.62
PL-82:2725.667 m.a.s.l.	2.240	567.1	-10.1	3,125.20	2,718.55
PL-83:2725.667 m.a.s.l.	2.240	567.1	-10.1	3,125.20	2,718.55
PL-83:2726.297 m.a.s.l.	2.220	560.1	-10.1	3,120.86	2,719.18
PL-84:2726.297 m.a.s.l.	2.220	560.1	-10.1	3,120.86	2,719.18
PL-84:2730.267 m.a.s.l.	2.310	568.1	-10.1	3,130.45	2,723.15
PL-85:2730.267 m.a.s.l.	2.310	568.1	-10.1	3,130.45	2,723.15
PL-85:2731.977 m.a.s.l.	2.290	557.9	-10.1	3,124.99	2,724.86
PL-86:2731.977 m.a.s.l.	2.290	557.9	-10.1	3,124.99	2,724.86
PL-86:2733.688 m.a.s.l.	2.270	546.8	-10.1	3,118.88	2,726.57
PL-87:2733.688 m.a.s.l.	2.270	546.8	-10.1	3,118.88	2,726.57
PL-87:2735.398 m.a.s.l.	2.250	537.1	-10.1	3,113.80	2,728.28

Extreme Pressures and Heads

End Point	Upsurge Ratio	Max. Pressure (psi)	Min. Pressure (psi)	Max. Head (m)	Min. Head (m)
PL-88:2735.398 m.a.s.l.	2.250	537.1	-10.1	3,113.80	2,728.28
PL-88:2737.109 m.a.s.l.	2.340	551.6	-10.1	3,125.73	2,729.99
PL-89:2737.109 m.a.s.l.	2.340	551.6	-10.1	3,125.73	2,729.99
PL-89:2738.819 m.a.s.l.	2.380	556.2	-10.1	3,130.69	2,731.70
PL-90:2738.819 m.a.s.l.	2.380	556.2	-10.1	3,130.69	2,731.70
PL-90:2750.14 m.a.s.l.	2.430	524.8	-10.1	3,119.85	2,743.02
PL-91:2750.14 m.a.s.l.	2.430	524.8	-10.1	3,119.85	2,743.02
PL-91:2751.844 m.a.s.l.	2.470	526.0	-10.1	3,122.41	2,744.73
PL-92:2751.844 m.a.s.l.	2.470	526.0	-10.1	3,122.41	2,744.73
PL-92:2753.548 m.a.s.l.	2.480	522.2	-10.1	3,121.44	2,746.43
PL-93:2753.548 m.a.s.l.	2.480	522.2	-10.1	3,121.44	2,746.43
PL-93:2755.252 m.a.s.l.	2.420	504.3	-10.1	3,110.49	2,748.14
PL-94:2755.252 m.a.s.l.	2.420	504.3	-10.1	3,110.49	2,748.14
PL-94:2756.957 m.a.s.l.	2.500	514.2	-10.1	3,119.23	2,749.84
PL-95:2756.957 m.a.s.l.	2.500	514.2	-10.1	3,119.23	2,749.84
PL-95:2758.661 m.a.s.l.	2.550	516.2	-10.1	3,122.32	2,751.55
PL-96:2758.661 m.a.s.l.	2.550	516.2	-10.1	3,122.32	2,751.55
PL-96:2760.365 m.a.s.l.	2.600	521.1	-10.1	3,127.45	2,753.25
PL-97:2760.365 m.a.s.l.	2.600	521.1	-10.1	3,127.45	2,753.25
PL-97:2762.07 m.a.s.l.	2.590	511.6	-10.1	3,122.48	2,754.96
PL-98:2762.07 m.a.s.l.	2.590	511.6	-10.1	3,122.48	2,754.96
PL-98:2763.774 m.a.s.l.	2.640	514.6	-10.1	3,126.28	2,756.66
PL-99:2763.774 m.a.s.l.	2.640	514.6	-10.1	3,126.28	2,756.66
PL-99:2765.478 m.a.s.l.	2.540	488.5	-10.1	3,109.62	2,758.36
PL-100:2765.478 m.a.s.l.	2.540	488.5	-10.1	3,109.62	2,758.36
PL-100:2773.372 m.a.s.l.	2.770	499.6	-10.1	3,125.36	2,766.26
PL-101:2773.372 m.a.s.l.	2.770	499.6	-10.1	3,125.36	2,766.26
PL-101:2773.642 m.a.s.l.	2.730	490.8	-10.1	3,119.39	2,766.53
PL-102:2773.642 m.a.s.l.	2.730	490.8	-10.1	3,119.39	2,766.53

Extreme Pressures and Heads

End Point	Upsurge Ratio	Max. Pressure (psi)	Min. Pressure (psi)	Max. Head (m)	Min. Head (m)
PL-102:2773.911 m.a.s.l.	2.760	495.3	-10.1	3,122.83	2,766.80
PL-103:2773.911 m.a.s.l.	2.760	495.3	-10.1	3,122.83	2,766.80
PL-103:2774.18 m.a.s.l.	2.830	506.9	-10.1	3,131.28	2,767.06
PL-104:2774.18 m.a.s.l.	2.830	506.9	-10.1	3,131.28	2,767.06
PL-104:2774.449 m.a.s.l.	2.830	505.2	-10.1	3,130.38	2,767.33
PL-105:2774.449 m.a.s.l.	2.830	505.2	-10.1	3,130.38	2,767.33
PL-105:2774.719 m.a.s.l.	2.760	490.3	-10.1	3,120.15	2,767.60
PL-106:2774.719 m.a.s.l.	2.760	490.3	-10.1	3,120.15	2,767.60
PL-106:2774.988 m.a.s.l.	2.840	504.8	-10.1	3,130.61	2,767.87
PL-107:2774.988 m.a.s.l.	2.840	504.8	-10.1	3,130.61	2,767.87
PL-107:2775.257 m.a.s.l.	2.810	497.1	-10.1	3,125.43	2,768.14
PL-108:2775.257 m.a.s.l.	2.810	497.1	-10.1	3,125.43	2,768.14
PL-108:2775.649 m.a.s.l.	2.910	512.8	-10.1	3,136.89	2,768.53
PL-109:2775.649 m.a.s.l.	2.910	512.8	-10.1	3,136.89	2,768.53
PL-109:2776.409 m.a.s.l.	2.920	511.4	-10.1	3,136.67	2,769.29
PL-110:2776.409 m.a.s.l.	2.920	511.4	-10.1	3,136.67	2,769.29
PL-110:2779.856 m.a.s.l.	2.950	501.9	-10.1	3,133.44	2,772.74
PL-111:2779.856 m.a.s.l.	2.950	501.9	-10.1	3,133.44	2,772.74
PL-111:2780.901 m.a.s.l.	3.000	503.2	-10.1	3,135.43	2,773.79
PL-112:2780.901 m.a.s.l.	3.000	503.2	-10.1	3,135.43	2,773.79
PL-112:2779.075 m.a.s.l.	3.060	521.3	-10.1	3,146.35	2,771.96
PL-113:2779.075 m.a.s.l.	3.060	521.3	-10.1	3,146.35	2,771.96
PL-113:2777.881 m.a.s.l.	2.970	510.0	-10.1	3,137.18	2,770.77
PL-114:2777.881 m.a.s.l.	2.970	510.0	-10.1	3,137.18	2,770.77
PL-114:2771.145 m.a.s.l.	2.930	529.3	-10.1	3,144.03	2,764.03
PL-115:2771.145 m.a.s.l.	2.930	529.3	-10.1	3,144.03	2,764.03
PL-115:2770.495 m.a.s.l.	2.910	528.3	-10.1	3,142.64	2,763.38
PL-116:2770.495 m.a.s.l.	2.910	528.3	-10.1	3,142.64	2,763.38
PL-116:2769.844 m.a.s.l.	2.770	504.8	-10.1	3,125.49	2,762.73

Extreme Pressures and Heads

End Point	Upsurge Ratio	Max. Pressure (psi)	Min. Pressure (psi)	Max. Head (m)	Min. Head (m)
PL-117:2769.844 m.a.s.l.	2.770	504.8	-10.1	3,125.49	2,762.73
PL-117:2763.086 m.a.s.l.	2.770	529.4	-10.1	3,136.07	2,755.97
PL-118:2763.086 m.a.s.l.	2.770	529.4	-10.1	3,136.07	2,755.97
PL-118:2761.625 m.a.s.l.	2.730	527.7	-10.1	3,133.39	2,754.51
PL-119:2761.625 m.a.s.l.	2.730	527.7	-10.1	3,133.39	2,754.51
PL-119:2760.163 m.a.s.l.	2.750	536.0	-10.1	3,137.78	2,753.05
PL-120:2760.163 m.a.s.l.	2.750	536.0	-10.1	3,137.78	2,753.05
PL-120:2750.438 m.a.s.l.	2.650	552.1	-10.1	3,139.35	2,743.32
PL-121:2750.438 m.a.s.l.	2.650	552.1	-10.1	3,139.35	2,743.32
PL-121:2749.46 m.a.s.l.	2.600	543.5	-10.1	3,132.31	2,742.34
PL-122:2749.46 m.a.s.l.	2.600	543.5	-10.1	3,132.31	2,742.34
PL-122:2749.15 m.a.s.l.	2.700	565.3	-10.1	3,147.40	2,742.03
PL-123:2749.15 m.a.s.l.	2.700	565.3	-10.1	3,147.40	2,742.03
PL-123:2747.736 m.a.s.l.	2.490	526.2	-10.1	3,118.41	2,740.62
PL-124:2747.736 m.a.s.l.	2.490	526.2	-10.1	3,118.41	2,740.62
PL-124:2747.491 m.a.s.l.	2.590	546.7	-10.1	3,132.62	2,740.38
PL-125:2747.491 m.a.s.l.	2.590	546.7	-10.1	3,132.62	2,740.38
PL-125:2745.882 m.a.s.l.	2.710	576.5	-10.1	3,152.04	2,738.77
PL-126:2745.882 m.a.s.l.	2.710	576.5	-10.1	3,152.04	2,738.77
PL-126:2745.558 m.a.s.l.	2.570	547.9	-10.1	3,131.52	2,738.44
PL-127:2745.558 m.a.s.l.	2.570	547.9	-10.1	3,131.52	2,738.44
PL-127:2742.928 m.a.s.l.	2.550	552.1	-10.1	3,131.90	2,735.81
PL-128:2742.928 m.a.s.l.	2.550	552.1	-10.1	3,131.90	2,735.81
PL-128:2742.684 m.a.s.l.	2.680	579.3	-10.1	3,150.76	2,735.57
PL-129:2742.684 m.a.s.l.	2.680	579.3	-10.1	3,150.76	2,735.57
PL-129:2741.725 m.a.s.l.	2.590	562.5	-10.1	3,138.02	2,734.61
PL-130:2741.725 m.a.s.l.	2.590	562.5	-10.1	3,138.02	2,734.61
PL-130:2741.403 m.a.s.l.	2.590	563.3	-10.1	3,138.25	2,734.29
PL-131:2741.403 m.a.s.l.	2.590	563.3	-10.1	3,138.25	2,734.29

Extreme Pressures and Heads

End Point	Upsurge Ratio	Max. Pressure (psi)	Min. Pressure (psi)	Max. Head (m)	Min. Head (m)
PL-131:2741.08 m.a.s.l.	2.490	542.5	-10.1	3,123.26	2,733.96
PL-132:2741.08 m.a.s.l.	2.490	542.5	-10.1	3,123.26	2,733.96
PL-132:2740.329 m.a.s.l.	2.540	556.9	-10.1	3,132.63	2,733.21
PL-133:2740.329 m.a.s.l.	2.540	556.9	-10.1	3,132.63	2,733.21
PL-133:2736.756 m.a.s.l.	2.510	561.6	-10.1	3,132.41	2,729.64
PL-134:2736.756 m.a.s.l.	2.510	561.6	-10.1	3,132.41	2,729.64
PL-134:2736.327 m.a.s.l.	2.370	531.8	-10.1	3,110.93	2,729.21
PL-135:2736.327 m.a.s.l.	2.370	531.8	-10.1	3,110.93	2,729.21
PL-135:2735.224 m.a.s.l.	2.460	553.8	-10.1	3,125.37	2,728.11
PL-136:2735.224 m.a.s.l.	2.460	553.8	-10.1	3,125.37	2,728.11
PL-136:2733.273 m.a.s.l.	2.480	564.6	-10.1	3,131.00	2,726.16
PL-137:2733.273 m.a.s.l.	2.480	564.6	-10.1	3,131.00	2,726.16
PL-137:2731.246 m.a.s.l.	2.460	566.8	-10.1	3,130.57	2,724.13
PL-138:2731.246 m.a.s.l.	2.460	566.8	-10.1	3,130.57	2,724.13
PL-138:2729.051 m.a.s.l.	2.450	571.7	-10.1	3,131.78	2,721.94
PL-139:2729.051 m.a.s.l.	2.450	571.7	-10.1	3,131.78	2,721.94
PL-139:2726.978 m.a.s.l.	2.390	566.1	-10.1	3,125.76	2,719.86
PL-140:2726.978 m.a.s.l.	2.390	566.1	-10.1	3,125.76	2,719.86
PL-140:2724.876 m.a.s.l.	2.300	551.2	-10.1	3,113.21	2,717.76
PL-141:2724.876 m.a.s.l.	2.300	551.2	-10.1	3,113.21	2,717.76
PL-141:2714.538 m.a.s.l.	2.260	574.9	-1.1	3,119.55	2,713.74
PL-142:2714.538 m.a.s.l.	2.260	574.9	-1.1	3,119.55	2,713.74
PL-142:2713.92 m.a.s.l.	2.270	578.2	-3.7	3,121.24	2,711.30
PL-143:2713.92 m.a.s.l.	2.270	578.2	-3.7	3,121.24	2,711.30
PL-143:2707.568 m.a.s.l.	2.230	587.9	6.2	3,121.75	2,711.91
PL-144:2707.568 m.a.s.l.	2.230	587.9	6.2	3,121.75	2,711.91
PL-144:2706.816 m.a.s.l.	2.250	592.9	9.0	3,124.47	2,713.18
PL-145:2706.816 m.a.s.l.	2.250	592.9	9.0	3,124.47	2,713.18
PL-145:2706.695 m.a.s.l.	2.270	597.2	8.0	3,127.41	2,712.35

Extreme Pressures and Heads

End Point	Upsurge Ratio	Max. Pressure (psi)	Min. Pressure (psi)	Max. Head (m)	Min. Head (m)
PL-146:2706.695 m.a.s.l.	2.270	597.2	8.0	3,127.41	2,712.35
PL-146:2704.472 m.a.s.l.	2.210	589.2	11.1	3,119.57	2,712.31
PL-147:2704.472 m.a.s.l.	2.210	589.2	11.1	3,119.57	2,712.31
PL-147:2703.954 m.a.s.l.	2.240	596.1	9.0	3,123.92	2,710.32
PL-148:2703.954 m.a.s.l.	2.240	596.1	9.0	3,123.92	2,710.32
PL-148:2703.823 m.a.s.l.	2.200	587.7	8.6	3,117.85	2,709.86
PL-149:2703.823 m.a.s.l.	2.200	587.7	8.6	3,117.85	2,709.86
PL-149:2706.06 m.a.s.l.	2.290	602.8	7.0	3,130.74	2,711.00
PL-150:2706.06 m.a.s.l.	2.290	602.8	7.0	3,130.74	2,711.00
PL-150:2709.89 m.a.s.l.	2.260	581.6	0.0	3,119.58	2,709.91
PL-151:2709.89 m.a.s.l.	2.260	581.6	0.0	3,119.58	2,709.91
PL-151:2712.386 m.a.s.l.	2.300	582.7	-3.7	3,122.88	2,709.78
PL-152:2712.386 m.a.s.l.	2.300	582.7	-3.7	3,122.88	2,709.78
PL-152:2712.166 m.a.s.l.	2.340	593.8	-0.9	3,130.48	2,711.55
PL-153:2712.166 m.a.s.l.	2.340	593.8	-0.9	3,130.48	2,711.55
PL-153:2706.878 m.a.s.l.	2.280	593.7	4.0	3,125.12	2,709.73
PL-154:2706.878 m.a.s.l.	2.280	593.7	4.0	3,125.12	2,709.73
PL-154:2694.35 m.a.s.l.	2.190	608.5	19.7	3,123.05	2,708.22
PL-155:2694.35 m.a.s.l.	2.190	608.5	19.7	3,123.05	2,708.22
PL-155:2686.803 m.a.s.l.	2.150	619.2	31.2	3,122.99	2,708.80
PL-156:2686.803 m.a.s.l.	2.150	619.2	31.2	3,122.99	2,708.80
PL-156:2684.473 m.a.s.l.	2.200	643.4	29.1	3,137.72	2,704.96
PL-157:2684.473 m.a.s.l.	2.200	643.4	29.1	3,137.72	2,704.96
PL-157:2673.321 m.a.s.l.	2.130	653.6	47.4	3,133.79	2,706.71
PL-158:2673.321 m.a.s.l.	2.130	653.6	47.4	3,133.79	2,706.71
PL-158:2673.407 m.a.s.l.	2.060	633.0	46.9	3,119.37	2,706.43
PL-159:2673.407 m.a.s.l.	2.060	633.0	46.9	3,119.37	2,706.43
PL-159:2678.541 m.a.s.l.	2.090	625.7	40.0	3,119.33	2,706.74
PL-160:2678.541 m.a.s.l.	2.090	625.7	40.0	3,119.33	2,706.74

Extreme Pressures and Heads

End Point	Upsurge Ratio	Max. Pressure (psi)	Min. Pressure (psi)	Max. Head (m)	Min. Head (m)
PL-160:2679.272 m.a.s.l.	2.190	651.5	32.8	3,138.24	2,702.37
PL-161:2679.272 m.a.s.l.	2.190	651.5	32.8	3,138.24	2,702.37
PL-161:2679.467 m.a.s.l.	2.190	649.9	24.0	3,137.33	2,696.39
PL-162:2679.467 m.a.s.l.	2.190	649.9	24.0	3,137.33	2,696.39
PL-162:2679.922 m.a.s.l.	2.220	657.9	25.7	3,143.43	2,698.02
PL-163:2679.922 m.a.s.l.	2.220	657.9	25.7	3,143.43	2,698.02
PL-163:2683.34 m.a.s.l.	2.260	658.9	20.3	3,147.53	2,697.64
PL-164:2683.34 m.a.s.l.	2.260	658.9	20.3	3,147.53	2,697.64
PL-164:2683.389 m.a.s.l.	2.230	648.0	20.2	3,139.91	2,697.65
PL-165:2683.389 m.a.s.l.	2.230	648.0	20.2	3,139.91	2,697.65
PL-165:2680.031 m.a.s.l.	2.240	662.3	26.1	3,146.60	2,698.39
PL-166:2680.031 m.a.s.l.	2.240	662.3	26.1	3,146.60	2,698.39
PL-166:2679.657 m.a.s.l.	2.250	666.1	48.3	3,148.90	2,713.66
PL-167:2679.657 m.a.s.l.	2.250	666.1	48.3	3,148.90	2,713.66
PL-167:2679.041 m.a.s.l.	2.240	663.4	47.6	3,146.42	2,712.58
PL-168:2679.041 m.a.s.l.	2.240	663.4	47.6	3,146.42	2,712.58
PL-168:2678.592 m.a.s.l.	2.240	661.2	48.1	3,144.41	2,712.47
PL-169:2678.592 m.a.s.l.	2.240	661.2	48.1	3,144.41	2,712.47
PL-169:2678.5 m.a.s.l.	2.310	682.1	47.0	3,159.03	2,711.62
PL-170:2678.5 m.a.s.l.	2.310	682.1	47.0	3,159.03	2,711.62
PL-170:2672.244 m.a.s.l.	2.230	677.2	50.0	3,149.35	2,707.44
PL-171:2672.244 m.a.s.l.	2.230	677.2	50.0	3,149.35	2,707.44
PL-171:2670.976 m.a.s.l.	2.210	672.1	45.1	3,144.46	2,702.75
PL-172:2670.976 m.a.s.l.	2.210	672.1	45.1	3,144.46	2,702.75
PL-172:2662.788 m.a.s.l.	2.150	677.1	69.9	3,139.83	2,712.04
PL-173:2662.788 m.a.s.l.	2.150	677.1	69.9	3,139.83	2,712.04
PL-173:2660.9 m.a.s.l.	2.170	690.3	72.4	3,147.22	2,711.87
PL-174:2660.9 m.a.s.l.	2.170	690.3	72.4	3,147.22	2,711.87
PL-174:2658.293 m.a.s.l.	2.190	702.6	75.9	3,153.29	2,711.79

Extreme Pressures and Heads

End Point	Upsurge Ratio	Max. Pressure (psi)	Min. Pressure (psi)	Max. Head (m)	Min. Head (m)
PL-175:2658.293 m.a.s.l.	2.190	702.6	75.9	3,153.29	2,711.79
PL-175:2654.577 m.a.s.l.	2.130	690.9	78.0	3,141.31	2,709.53
PL-176:2654.577 m.a.s.l.	2.130	690.9	78.0	3,141.31	2,709.53
PL-176:2652.152 m.a.s.l.	2.130	698.5	79.3	3,144.24	2,707.98
PL-177:2652.152 m.a.s.l.	2.130	698.5	79.3	3,144.24	2,707.98
PL-177:2653.779 m.a.s.l.	2.090	681.4	78.2	3,133.80	2,708.84
PL-178:2653.779 m.a.s.l.	2.090	681.4	78.2	3,133.80	2,708.84
PL-178:2656.456 m.a.s.l.	2.150	691.3	80.7	3,143.43	2,713.29
PL-179:2656.456 m.a.s.l.	2.150	691.3	80.7	3,143.43	2,713.29
PL-179:2656.926 m.a.s.l.	2.120	678.9	68.1	3,135.19	2,704.89
PL-180:2656.926 m.a.s.l.	2.120	678.9	68.1	3,135.19	2,704.89
PL-180:2657.507 m.a.s.l.	2.130	679.8	68.1	3,136.41	2,705.46
PL-181:2657.507 m.a.s.l.	2.130	679.8	68.1	3,136.41	2,705.46
PL-181:2657.795 m.a.s.l.	2.170	692.0	69.7	3,145.32	2,706.91
PL-182:2657.795 m.a.s.l.	2.170	692.0	69.7	3,145.32	2,706.91
PL-182:2658.335 m.a.s.l.	2.200	697.7	71.6	3,149.88	2,708.80
PL-183:2658.335 m.a.s.l.	2.200	697.7	71.6	3,149.88	2,708.80
PL-183:2661.404 m.a.s.l.	2.230	697.8	65.2	3,153.02	2,707.32
PL-184:2661.404 m.a.s.l.	2.230	697.8	65.2	3,153.02	2,707.32
PL-184:2667.647 m.a.s.l.	2.260	685.7	62.6	3,150.69	2,711.74
PL-185:2667.647 m.a.s.l.	2.260	685.7	62.6	3,150.69	2,711.74
PL-185:2667.213 m.a.s.l.	2.290	693.9	58.8	3,156.07	2,708.62
PL-186:2667.213 m.a.s.l.	2.290	693.9	58.8	3,156.07	2,708.62
PL-186:2664.281 m.a.s.l.	2.240	687.3	58.5	3,148.48	2,705.50
PL-187:2664.281 m.a.s.l.	2.240	687.3	58.5	3,148.48	2,705.50
PL-187:2665.989 m.a.s.l.	2.190	662.9	46.7	3,133.02	2,698.87
PL-188:2665.989 m.a.s.l.	2.190	662.9	46.7	3,133.02	2,698.87
PL-188:2671.467 m.a.s.l.	2.210	649.8	38.2	3,129.26	2,698.38
PL-189:2671.467 m.a.s.l.	2.210	649.8	38.2	3,129.26	2,698.38

Extreme Pressures and Heads

End Point	Upsurge Ratio	Max. Pressure (psi)	Min. Pressure (psi)	Max. Head (m)	Min. Head (m)
PL-189:2673.607 m.a.s.l.	2.510	728.4	29.2	3,186.74	2,694.15
PL-190:2673.607 m.a.s.l.	2.510	728.4	29.2	3,186.74	2,694.15
PL-190:2680.084 m.a.s.l.	2.360	662.3	26.4	3,146.64	2,698.69
PL-191:2680.084 m.a.s.l.	2.360	662.3	26.4	3,146.64	2,698.69
PL-191:2684.725 m.a.s.l.	2.270	621.9	18.6	3,122.83	2,697.84
PL-192:2684.725 m.a.s.l.	2.270	621.9	18.6	3,122.83	2,697.84
PL-192:2689.369 m.a.s.l.	2.240	597.6	14.7	3,110.39	2,699.71
PL-193:2689.369 m.a.s.l.	2.240	597.6	14.7	3,110.39	2,699.71
PL-193:2696.275 m.a.s.l.	2.400	616.2	4.7	3,130.40	2,699.57
PL-194:2696.275 m.a.s.l.	2.400	616.2	4.7	3,130.40	2,699.57
PL-194:2696.592 m.a.s.l.	2.460	629.5	3.0	3,140.09	2,698.72
PL-195:2696.592 m.a.s.l.	2.460	629.5	3.0	3,140.09	2,698.72
PL-195:2697.58 m.a.s.l.	2.320	588.3	-3.2	3,112.05	2,695.29
PL-196:2697.58 m.a.s.l.	2.320	588.3	-3.2	3,112.05	2,695.29
PL-196:2698.814 m.a.s.l.	2.370	593.9	-3.8	3,117.17	2,696.11
PL-197:2698.814 m.a.s.l.	2.370	593.9	-3.8	3,117.17	2,696.11
PL-197:2698.92 m.a.s.l.	2.380	596.0	-1.8	3,118.81	2,697.63
PL-198:2698.92 m.a.s.l.	2.380	596.0	-1.8	3,118.81	2,697.63
PL-198:2701.899 m.a.s.l.	2.400	592.6	-5.1	3,119.38	2,698.31
PL-199:2701.899 m.a.s.l.	2.400	592.6	-5.1	3,119.38	2,698.31
PL-199:2702.01 m.a.s.l.	2.390	587.5	-7.2	3,115.86	2,696.94
PL-200:2702.01 m.a.s.l.	2.390	587.5	-7.2	3,115.86	2,696.94
PL-200:2706.92 m.a.s.l.	2.410	576.5	-10.1	3,113.07	2,699.80
PL-201:2706.92 m.a.s.l.	2.410	576.5	-10.1	3,113.07	2,699.80
PL-201:2707.193 m.a.s.l.	2.430	579.1	-6.9	3,115.14	2,702.31
PL-202:2707.193 m.a.s.l.	2.430	579.1	-6.9	3,115.14	2,702.31
PL-202:2707.538 m.a.s.l.	2.450	581.4	-10.1	3,117.09	2,700.42
PL-203:2707.538 m.a.s.l.	2.450	581.4	-10.1	3,117.09	2,700.42
PL-203:2704.701 m.a.s.l.	2.580	622.1	-8.0	3,142.97	2,699.04

Extreme Pressures and Heads

End Point	Upsurge Ratio	Max. Pressure (psi)	Min. Pressure (psi)	Max. Head (m)	Min. Head (m)
PL-204:2704.701 m.a.s.l.	2.580	622.1	-8.0	3,142.97	2,699.04
PL-204:2704.63 m.a.s.l.	2.540	613.5	-10.1	3,136.80	2,697.51
PL-205:2704.63 m.a.s.l.	2.540	613.5	-10.1	3,136.80	2,697.51
PL-205:2704.412 m.a.s.l.	2.470	596.6	-10.0	3,124.74	2,697.39
PL-206:2704.412 m.a.s.l.	2.470	596.6	-10.0	3,124.74	2,697.39
PL-206:2700.694 m.a.s.l.	2.470	610.0	-7.8	3,130.41	2,695.17
PL-207:2700.694 m.a.s.l.	2.470	610.0	-7.8	3,130.41	2,695.17
PL-207:2699.061 m.a.s.l.	2.430	603.0	-8.2	3,123.88	2,693.25
PL-208:2699.061 m.a.s.l.	2.430	603.0	-8.2	3,123.88	2,693.25
PL-208:2701.546 m.a.s.l.	2.460	602.1	-8.8	3,125.69	2,695.32
PL-209:2701.546 m.a.s.l.	2.460	602.1	-8.8	3,125.69	2,695.32
PL-209:2700.937 m.a.s.l.	2.400	589.1	-5.5	3,115.95	2,697.09
PL-210:2700.937 m.a.s.l.	2.400	589.1	-5.5	3,115.95	2,697.09
PL-210:2697.292 m.a.s.l.	2.450	614.1	-5.8	3,129.94	2,693.17
PL-211:2697.292 m.a.s.l.	2.450	614.1	-5.8	3,129.94	2,693.17
PL-211:2694.138 m.a.s.l.	2.170	553.4	3.8	3,084.03	2,696.81
PL-212:2694.138 m.a.s.l.	2.170	553.4	3.8	3,084.03	2,696.81
PL-212:2689.28 m.a.s.l.	2.220	579.6	18.7	3,097.60	2,702.43
PL-213:2689.28 m.a.s.l.	2.220	579.6	18.7	3,097.60	2,702.43
PL-213:2686.825 m.a.s.l.	2.380	629.1	19.1	3,130.04	2,700.29
PL-214:2686.825 m.a.s.l.	2.380	629.1	19.1	3,130.04	2,700.29
PL-214:2680.716 m.a.s.l.	2.030	555.0	39.8	3,071.69	2,708.75
PL-215:2680.716 m.a.s.l.	2.030	555.0	39.8	3,071.69	2,708.75
PL-215:2680.127 m.a.s.l.	2.050	561.0	41.3	3,075.35	2,709.21
PL-216:2680.127 m.a.s.l.	2.050	561.0	41.3	3,075.35	2,709.21
PL-216:2679.537 m.a.s.l.	2.040	559.5	32.5	3,073.66	2,702.43
PL-217:2679.537 m.a.s.l.	2.040	559.5	32.5	3,073.66	2,702.43
PL-217:2678.948 m.a.s.l.	2.120	584.2	47.1	3,090.49	2,712.15
PL-218:2678.948 m.a.s.l.	2.120	584.2	47.1	3,090.49	2,712.15

Extreme Pressures and Heads

End Point	Upsurge Ratio	Max. Pressure (psi)	Min. Pressure (psi)	Max. Head (m)	Min. Head (m)
PL-218:2678.554 m.a.s.l.	2.070	569.9	50.3	3,080.04	2,714.00
PL-219:2678.554 m.a.s.l.	2.070	569.9	50.3	3,080.04	2,714.00
PL-219:2678.459 m.a.s.l.	2.020	556.8	51.0	3,070.72	2,714.38
PL-220:2678.459 m.a.s.l.	2.020	556.8	51.0	3,070.72	2,714.38
PL-220:2678.364 m.a.s.l.	2.050	564.1	53.3	3,075.75	2,715.93
PL-221:2678.364 m.a.s.l.	2.050	564.1	53.3	3,075.75	2,715.93
PL-221:2676.726 m.a.s.l.	2.070	573.9	47.5	3,081.02	2,710.19
PL-222:2676.726 m.a.s.l.	2.070	573.9	47.5	3,081.02	2,710.19
PL-222:2672.153 m.a.s.l.	2.030	574.4	62.9	3,076.82	2,716.49
PL-223:2672.153 m.a.s.l.	2.030	574.4	62.9	3,076.82	2,716.49
PL-223:2669 m.a.s.l.	2.020	579.2	61.0	3,077.03	2,711.95
PL-224:2669 m.a.s.l.	2.020	579.2	61.0	3,077.03	2,711.95
PL-224:2665.143 m.a.s.l.	1.990	582.4	67.3	3,075.45	2,712.55
PL-225:2665.143 m.a.s.l.	1.990	582.4	67.3	3,075.45	2,712.55
PL-225:2664.351 m.a.s.l.	2.010	589.6	68.0	3,079.71	2,712.22
PL-226:2664.351 m.a.s.l.	2.010	589.6	68.0	3,079.71	2,712.22
PL-226:2662.927 m.a.s.l.	2.020	596.1	66.4	3,082.88	2,709.71
PL-227:2662.927 m.a.s.l.	2.020	596.1	66.4	3,082.88	2,709.71
PL-227:2666.065 m.a.s.l.	2.020	586.5	68.0	3,079.23	2,713.94
PL-228:2666.065 m.a.s.l.	2.020	586.5	68.0	3,079.23	2,713.94
PL-228:2671.808 m.a.s.l.	2.070	583.9	58.7	3,083.14	2,713.14
PL-229:2671.808 m.a.s.l.	2.070	583.9	58.7	3,083.14	2,713.14
PL-229:2674.034 m.a.s.l.	2.050	572.9	52.0	3,077.65	2,710.65
PL-230:2674.034 m.a.s.l.	2.050	572.9	52.0	3,077.65	2,710.65
PL-230:2677.464 m.a.s.l.	2.110	578.8	44.5	3,085.19	2,708.81
PL-231:2677.464 m.a.s.l.	2.110	578.8	44.5	3,085.19	2,708.81
PL-231:2693.038 m.a.s.l.	2.220	556.5	30.7	3,085.07	2,714.65
PL-232:2693.038 m.a.s.l.	2.220	556.5	30.7	3,085.07	2,714.65
PL-232:2694.845 m.a.s.l.	2.140	530.8	26.4	3,068.77	2,713.47

Extreme Pressures and Heads

End Point	Upsurge Ratio	Max. Pressure (psi)	Min. Pressure (psi)	Max. Head (m)	Min. Head (m)
PL-233:2694.845 m.a.s.l.	2.140	530.8	26.4	3,068.77	2,713.47
PL-233:2696.644 m.a.s.l.	2.240	549.4	25.0	3,083.67	2,714.29
PL-234:2696.644 m.a.s.l.	2.240	549.4	25.0	3,083.67	2,714.29
PL-234:2721.751 m.a.s.l.	2.190	454.8	-7.1	3,042.17	2,716.74
PL-235:2721.751 m.a.s.l.	2.190	454.8	-7.1	3,042.17	2,716.74
PL-235:2726.543 m.a.s.l.	2.170	435.6	-10.1	3,033.41	2,719.43
PL-236:2726.543 m.a.s.l.	2.170	435.6	-10.1	3,033.41	2,719.43
PL-236:2727.377 m.a.s.l.	2.310	462.3	-10.1	3,053.03	2,720.26
PL-237:2727.377 m.a.s.l.	2.310	462.3	-10.1	3,053.03	2,720.26
PL-237:2728.211 m.a.s.l.	2.180	432.5	-10.1	3,032.89	2,721.10
PL-238:2728.211 m.a.s.l.	2.180	432.5	-10.1	3,032.89	2,721.10
PL-238:2727.933 m.a.s.l.	2.080	412.5	-10.1	3,018.55	2,720.82
PL-239:2727.933 m.a.s.l.	2.080	412.5	-10.1	3,018.55	2,720.82
PL-239:2725.004 m.a.s.l.	2.160	438.8	-9.2	3,034.14	2,718.52
PL-240:2725.004 m.a.s.l.	2.160	438.8	-9.2	3,034.14	2,718.52
PL-240:2721.528 m.a.s.l.	2.060	427.2	-4.1	3,022.45	2,718.65
PL-241:2721.528 m.a.s.l.	2.060	427.2	-4.1	3,022.45	2,718.65
PL-241:2718.053 m.a.s.l.	2.340	496.4	-2.3	3,067.77	2,716.46
PL-242:2718.053 m.a.s.l.	2.340	496.4	-2.3	3,067.77	2,716.46
PL-242:2712.085 m.a.s.l.	2.000	439.8	14.7	3,021.90	2,722.41
PL-243:2712.085 m.a.s.l.	2.000	439.8	14.7	3,021.90	2,722.41
PL-243:2700.79 m.a.s.l.	2.070	486.0	31.5	3,043.18	2,723.00
PL-244:2700.79 m.a.s.l.	2.070	486.0	31.5	3,043.18	2,723.00
PL-244:2699.427 m.a.s.l.	2.030	480.2	35.9	3,037.70	2,724.69
PL-245:2699.427 m.a.s.l.	2.030	480.2	35.9	3,037.70	2,724.69
PL-245:2698.064 m.a.s.l.	2.040	486.0	35.8	3,040.46	2,723.32
PL-246:2698.064 m.a.s.l.	2.040	486.0	35.8	3,040.46	2,723.32
PL-246:2696.701 m.a.s.l.	2.130	512.5	37.4	3,057.78	2,723.03
PL-247:2696.701 m.a.s.l.	2.130	512.5	37.4	3,057.78	2,723.03

Extreme Pressures and Heads

End Point	Upsurge Ratio	Max. Pressure (psi)	Min. Pressure (psi)	Max. Head (m)	Min. Head (m)
PL-247:2695.338 m.a.s.l.	1.920	463.9	40.2	3,022.12	2,723.65
PL-248:2695.338 m.a.s.l.	1.920	463.9	40.2	3,022.12	2,723.65
PL-248:2696.763 m.a.s.l.	1.950	464.7	45.0	3,024.11	2,728.44
PL-249:2696.763 m.a.s.l.	1.950	464.7	45.0	3,024.11	2,728.44
PL-249:2697.809 m.a.s.l.	1.970	467.0	42.3	3,026.81	2,727.58
PL-250:2697.809 m.a.s.l.	1.970	467.0	42.3	3,026.81	2,727.58
PL-250:2707.856 m.a.s.l.	2.050	455.9	25.1	3,029.02	2,725.52
PL-251:2707.856 m.a.s.l.	2.050	455.9	25.1	3,029.02	2,725.52
PL-251:2712.242 m.a.s.l.	2.210	477.3	14.6	3,048.51	2,722.52
PL-252:2712.242 m.a.s.l.	2.210	477.3	14.6	3,048.51	2,722.52
PL-252:2716.628 m.a.s.l.	2.150	449.6	10.5	3,033.36	2,724.04
PL-253:2716.628 m.a.s.l.	2.150	449.6	10.5	3,033.36	2,724.04
PL-253:2725.911 m.a.s.l.	2.200	430.4	1.8	3,029.13	2,727.19
PL-254:2725.911 m.a.s.l.	2.200	430.4	1.8	3,029.13	2,727.19
PL-254:2729.357 m.a.s.l.	2.230	424.5	-0.1	3,028.43	2,729.29
PL-255:2729.357 m.a.s.l.	2.230	424.5	-0.1	3,028.43	2,729.29
PL-255:2731.472 m.a.s.l.	2.310	432.7	-1.9	3,036.31	2,730.12
PL-256:2731.472 m.a.s.l.	2.310	432.7	-1.9	3,036.31	2,730.12
PL-256:2733.588 m.a.s.l.	2.340	429.4	-3.3	3,036.06	2,731.27
PL-257:2733.588 m.a.s.l.	2.340	429.4	-3.3	3,036.06	2,731.27
PL-257:2735.704 m.a.s.l.	2.380	428.6	-4.8	3,037.65	2,732.30
PL-258:2735.704 m.a.s.l.	2.380	428.6	-4.8	3,037.65	2,732.30
PL-258:2739.439 m.a.s.l.	2.440	427.0	-6.8	3,040.26	2,734.61
PL-259:2739.439 m.a.s.l.	2.440	427.0	-6.8	3,040.26	2,734.61
PL-259:2740.487 m.a.s.l.	2.510	434.6	-10.1	3,046.62	2,733.37
PL-260:2740.487 m.a.s.l.	2.510	434.6	-10.1	3,046.62	2,733.37
PL-260:2741.535 m.a.s.l.	2.570	440.1	-7.2	3,051.58	2,736.47
PL-261:2741.535 m.a.s.l.	2.570	440.1	-7.2	3,051.58	2,736.47
PL-261:2742.583 m.a.s.l.	2.750	467.5	-5.9	3,071.94	2,738.41

Extreme Pressures and Heads

End Point	Upsurge Ratio	Max. Pressure (psi)	Min. Pressure (psi)	Max. Head (m)	Min. Head (m)
PL-262:2742.583 m.a.s.l.	2.750	467.5	-5.9	3,071.94	2,738.41
PL-262:2742.834 m.a.s.l.	2.450	414.7	-6.6	3,034.99	2,738.20
PL-263:2742.834 m.a.s.l.	2.450	414.7	-6.6	3,034.99	2,738.20
PL-263:2743.404 m.a.s.l.	2.730	458.9	-3.9	3,066.71	2,740.66
PL-264:2743.404 m.a.s.l.	2.730	458.9	-3.9	3,066.71	2,740.66
PL-264:2745.632 m.a.s.l.	2.590	426.2	-7.5	3,045.89	2,740.33
PL-265:2745.632 m.a.s.l.	2.590	426.2	-7.5	3,045.89	2,740.33
PL-265:2749.751 m.a.s.l.	2.600	413.0	-10.1	3,040.72	2,742.64
PL-266:2749.751 m.a.s.l.	2.600	413.0	-10.1	3,040.72	2,742.64
PL-266:2752.111 m.a.s.l.	2.670	414.7	-10.1	3,044.23	2,745.00
PL-267:2752.111 m.a.s.l.	2.670	414.7	-10.1	3,044.23	2,745.00
PL-267:2754.472 m.a.s.l.	2.740	416.6	-10.1	3,047.94	2,747.36
PL-268:2754.472 m.a.s.l.	2.740	416.6	-10.1	3,047.94	2,747.36
PL-268:2756.832 m.a.s.l.	2.720	403.9	-10.1	3,041.39	2,749.72
PL-269:2756.832 m.a.s.l.	2.720	403.9	-10.1	3,041.39	2,749.72
PL-269:2759.192 m.a.s.l.	2.830	410.3	-10.1	3,048.23	2,752.08
PL-270:2759.192 m.a.s.l.	2.830	410.3	-10.1	3,048.23	2,752.08
PL-270:2761.552 m.a.s.l.	3.020	427.3	-10.1	3,062.59	2,754.44
PL-271:2761.552 m.a.s.l.	3.020	427.3	-10.1	3,062.59	2,754.44
PL-271:2765.371 m.a.s.l.	3.090	418.5	-10.1	3,060.22	2,758.26
PL-272:2765.371 m.a.s.l.	3.090	418.5	-10.1	3,060.22	2,758.26
PL-272:2765.377 m.a.s.l.	3.380	457.8	-10.1	3,087.87	2,758.26
PL-273:2765.377 m.a.s.l.	3.380	457.8	-10.1	3,087.87	2,758.26
PL-273:2765.383 m.a.s.l.	3.000	405.8	-10.1	3,051.29	2,758.27
PL-274:2765.383 m.a.s.l.	3.000	405.8	-10.1	3,051.29	2,758.27
PL-274:2765.39 m.a.s.l.	2.940	398.0	-10.1	3,045.78	2,758.27
PL-275:2765.39 m.a.s.l.	2.940	398.0	-10.1	3,045.78	2,758.27
PL-275:2765.396 m.a.s.l.	2.880	389.4	-10.1	3,039.73	2,758.28
PL-276:2765.396 m.a.s.l.	2.880	389.4	-10.1	3,039.73	2,758.28

Extreme Pressures and Heads

End Point	Upsurge Ratio	Max. Pressure (psi)	Min. Pressure (psi)	Max. Head (m)	Min. Head (m)
PL-276:2765.403 m.a.s.l.	2.950	397.9	-10.1	3,045.72	2,758.29
PL-277:2765.403 m.a.s.l.	2.950	397.9	-10.1	3,045.72	2,758.29
PL-277:2765.409 m.a.s.l.	2.940	395.8	-10.1	3,044.27	2,758.29
PL-278:2765.409 m.a.s.l.	2.940	395.8	-10.1	3,044.27	2,758.29
PL-278:2765.416 m.a.s.l.	2.900	390.6	-10.1	3,040.59	2,758.30
PL-279:2765.416 m.a.s.l.	2.900	390.6	-10.1	3,040.59	2,758.30
PL-279:2765.541 m.a.s.l.	3.030	403.1	-10.1	3,049.53	2,758.43
PL-280:2765.541 m.a.s.l.	3.030	403.1	-10.1	3,049.53	2,758.43
PL-280:2765.567 m.a.s.l.	2.990	396.1	-10.1	3,044.58	2,758.45
PL-281:2765.567 m.a.s.l.	2.990	396.1	-10.1	3,044.58	2,758.45
PL-281:2765.592 m.a.s.l.	3.140	414.9	-10.1	3,057.87	2,758.48
PL-282:2765.592 m.a.s.l.	3.140	414.9	-10.1	3,057.87	2,758.48
PL-282:2765.605 m.a.s.l.	3.050	402.9	-10.1	3,049.41	2,758.49
PL-283:2765.605 m.a.s.l.	3.050	402.9	-10.1	3,049.41	2,758.49
PL-283:2765.617 m.a.s.l.	3.180	419.3	-10.1	3,060.99	2,758.50
PL-284:2765.617 m.a.s.l.	3.180	419.3	-10.1	3,060.99	2,758.50
PL-284:2765.67 m.a.s.l.	2.980	390.0	-10.1	3,040.44	2,758.55
PL-285:2765.67 m.a.s.l.	2.980	390.0	-10.1	3,040.44	2,758.55
PL-285:2765.676 m.a.s.l.	3.220	420.8	-10.1	3,062.11	2,758.56
PL-286:2765.676 m.a.s.l.	3.220	420.8	-10.1	3,062.11	2,758.56
PL-286:2765.682 m.a.s.l.	3.060	400.4	-10.1	3,047.76	2,758.57
PL-287:2765.682 m.a.s.l.	3.060	400.4	-10.1	3,047.76	2,758.57
PL-287:2765.696 m.a.s.l.	2.990	390.0	-10.1	3,040.45	2,758.58
PL-288:2765.696 m.a.s.l.	2.990	390.0	-10.1	3,040.45	2,758.58
PL-288:2765.72 m.a.s.l.	2.960	384.5	-10.1	3,036.56	2,758.60
PL-289:2765.72 m.a.s.l.	2.960	384.5	-10.1	3,036.56	2,758.60
PL-289:2765.744 m.a.s.l.	3.100	401.5	-10.1	3,048.62	2,758.63
PL-290:2765.744 m.a.s.l.	3.100	401.5	-10.1	3,048.62	2,758.63
PL-290:2765.765 m.a.s.l.	3.000	388.2	-8.6	3,039.23	2,759.72

Extreme Pressures and Heads

End Point	Upsurge Ratio	Max. Pressure (psi)	Min. Pressure (psi)	Max. Head (m)	Min. Head (m)
PL-291:2765.765 m.a.s.l.	3.000	388.2	-8.6	3,039.23	2,759.72
PL-291:2779.334 m.a.s.l.	3.450	377.6	-10.1	3,045.32	2,772.22
PL-292:2779.334 m.a.s.l.	3.450	377.6	-10.1	3,045.32	2,772.22
PL-292:2786 m.a.s.l.	3.680	366.0	-10.1	3,043.84	2,778.88
PL-293:2786 m.a.s.l.	3.680	366.0	-10.1	3,043.84	2,778.88
PL-293:2786.003 m.a.s.l.	3.810	376.9	-10.1	3,051.54	2,778.89
PL-294:2786.003 m.a.s.l.	3.810	376.9	-10.1	3,051.54	2,778.89
PL-294:2786.005 m.a.s.l.	3.700	364.5	-10.1	3,042.76	2,778.89
PL-295:2786.005 m.a.s.l.	3.700	364.5	-10.1	3,042.76	2,778.89
PL-295:2786.006 m.a.s.l.	3.530	347.3	-10.1	3,030.69	2,778.89
PL-296:2786.006 m.a.s.l.	3.530	347.3	-10.1	3,030.69	2,778.89
PL-296:2786.007 m.a.s.l.	3.570	350.1	-10.1	3,032.63	2,778.89
PL-297:2786.007 m.a.s.l.	3.570	350.1	-10.1	3,032.63	2,778.89
PL-297:2786.008 m.a.s.l.	3.680	360.7	-10.1	3,040.10	2,778.89
PL-298:2786.008 m.a.s.l.	3.680	360.7	-10.1	3,040.10	2,778.89
PL-298:2786.01 m.a.s.l.	3.980	389.3	-10.1	3,060.29	2,778.89
PL-299:2786.01 m.a.s.l.	3.980	389.3	-10.1	3,060.29	2,778.89
PL-299:2788.877 m.a.s.l.	3.710	346.2	-10.1	3,032.77	2,781.76
PL-300:2788.877 m.a.s.l.	3.710	346.2	-10.1	3,032.77	2,781.76
PL-300:2791.372 m.a.s.l.	3.690	330.1	-10.1	3,023.92	2,784.26
PL-301:2791.372 m.a.s.l.	3.690	330.1	-10.1	3,023.92	2,784.26
PL-301:2800.993 m.a.s.l.	4.540	341.6	-10.1	3,041.62	2,793.88
PL-302:2800.993 m.a.s.l.	4.540	341.6	-10.1	3,041.62	2,793.88
PL-302:2804.303 m.a.s.l.	4.990	350.5	-10.1	3,051.20	2,797.19
PL-303:2804.303 m.a.s.l.	4.990	350.5	-10.1	3,051.20	2,797.19
PL-303:2807.612 m.a.s.l.	4.860	317.9	-10.1	3,031.56	2,800.50
PL-304:2807.612 m.a.s.l.	4.860	317.9	-10.1	3,031.56	2,800.50
PL-304:2818.272 m.a.s.l.	6.170	305.5	-10.1	3,033.47	2,811.16
PL-305:2818.272 m.a.s.l.	6.170	305.5	-10.1	3,033.47	2,811.16

Extreme Pressures and Heads

End Point	Upsurge Ratio	Max. Pressure (psi)	Min. Pressure (psi)	Max. Head (m)	Min. Head (m)
PS-03:PUMP 4B-01	5.350	6.6	1.0	2,600.55	2,596.59
PS-02:R-1	1.000	1.4	1.4	2,596.87	2,596.87
PS-02:PUMP 4B-02	8.750	10.1	-1.4	2,602.95	2,594.89
PS-01:R-1	1.000	1.4	1.4	2,596.87	2,596.87
PS-01:PUMP 4B-03	11.340	12.1	-2.6	2,604.36	2,594.02
PD-01:PUMP 4B-03	1.790	826.5	-10.1	3,178.09	2,588.76
PD-01:2,592.54 m.a.s.l.	1.910	892.4	-10.1	3,221.22	2,585.42
PL-320:2,830.47 m.a.s.l.	8.430	226.5	-10.1	2,990.04	2,823.35
PL-320:2,830.97 m.a.s.l.	9.620	238.1	-10.1	2,998.74	2,823.85
PM-04:2591.788 m.a.s.l.	1.770	825.5	32.7	3,173.37	2,614.85
PM-04:2,592.54 m.a.s.l.	1.760	820.2	4.9	3,170.33	2,596.01
PM-03:2,592.54 m.a.s.l.	1.760	820.2	4.9	3,170.33	2,596.01
PM-03:2,592.54 m.a.s.l.	1.720	803.2	26.3	3,158.40	2,611.07
PM-02:2,592.54 m.a.s.l.	1.720	803.2	26.3	3,158.40	2,611.07
PM-02:2,592.54 m.a.s.l.	1.770	826.6	16.7	3,174.88	2,604.32
PM-01:2,592.54 m.a.s.l.	1.770	826.6	16.7	3,174.88	2,604.32
PM-01:2,592.54 m.a.s.l.	1.910	892.4	-10.1	3,221.22	2,585.42
PD-02:PUMP 4B-02	1.490	685.9	-10.1	3,079.06	2,588.76
PD-02:2,592.54 m.a.s.l.	1.770	826.6	16.7	3,174.88	2,604.32
PD-03:PUMP 4B-01	2.450	1,130.7	-10.1	3,392.40	2,588.76
PD-03:2,592.54 m.a.s.l.	1.720	803.2	26.3	3,158.40	2,611.07
PL-321:2,830.97 m.a.s.l.	9.620	238.1	-10.1	2,998.74	2,823.85
PL-321:R-2	0.000	0.0	0.0	2,848.30	2,848.30

ANEXO A6:

**Reporte Detallado del Análisis de
Transiente con elementos de Protección**

Extreme Pressures and Heads

End Point	Upsurge Ratio	Max. Pressure (psi)	Min. Pressure (psi)	Max. Head (m)	Min. Head (m)
PL-01:2591.788 m.a.s.l.	1.000	466.8	52.8	2,920.66	2,629.01
PL-01:AV-9409	1.000	466.9	53.4	2,920.62	2,629.35
PL-02:AV-9409	1.000	466.9	53.4	2,920.62	2,629.35
PL-02:2583.908 m.a.s.l.	1.000	477.8	65.5	2,920.54	2,630.04
PL-03:2583.908 m.a.s.l.	1.000	477.8	65.5	2,920.54	2,630.04
PL-03:2583.851 m.a.s.l.	1.000	477.8	66.1	2,920.47	2,630.41
PL-04:2583.851 m.a.s.l.	1.000	477.8	66.1	2,920.47	2,630.41
PL-04:2582.884 m.a.s.l.	1.000	479.2	68.0	2,920.46	2,630.78
PL-05:2582.884 m.a.s.l.	1.000	479.2	68.0	2,920.46	2,630.78
PL-05:2584.314 m.a.s.l.	1.000	477.1	66.5	2,920.39	2,631.15
PL-06:2584.314 m.a.s.l.	1.000	477.1	66.5	2,920.39	2,631.15
PL-06:2586.644 m.a.s.l.	1.000	473.6	64.7	2,920.25	2,632.22
PL-07:2586.644 m.a.s.l.	1.000	473.6	64.7	2,920.25	2,632.22
PL-07:2589.006 m.a.s.l.	1.000	470.0	62.4	2,920.13	2,632.99
PL-08:2589.006 m.a.s.l.	1.000	470.0	62.4	2,920.12	2,632.99
PL-08:2597.174 m.a.s.l.	1.000	457.9	54.1	2,919.76	2,635.28
PL-09:2597.174 m.a.s.l.	1.000	457.9	54.1	2,919.75	2,635.28
PL-09:2600.179 m.a.s.l.	1.000	453.4	51.5	2,919.62	2,636.47
PL-10:2600.179 m.a.s.l.	1.000	453.4	51.5	2,919.62	2,636.47
PL-10:2601.871 m.a.s.l.	1.000	450.9	50.2	2,919.54	2,637.26
PL-11:2601.871 m.a.s.l.	1.000	450.9	50.2	2,919.54	2,637.26
PL-11:2609.467 m.a.s.l.	1.000	439.7	43.0	2,919.20	2,639.76
PL-12:2609.467 m.a.s.l.	1.000	439.6	43.0	2,919.19	2,639.76
PL-12:2609.747 m.a.s.l.	1.000	439.2	43.2	2,919.12	2,640.17
PL-13:2609.747 m.a.s.l.	1.000	439.2	43.2	2,919.12	2,640.17
PL-13:2613.703 m.a.s.l.	1.000	433.3	40.0	2,918.92	2,641.87
PL-14:2613.703 m.a.s.l.	1.000	433.3	40.0	2,918.92	2,641.87
PL-14:2616.691 m.a.s.l.	1.000	428.9	37.0	2,918.82	2,642.74
PL-15:2616.691 m.a.s.l.	1.000	428.9	37.0	2,918.82	2,642.74
PL-15:2622.558 m.a.s.l.	1.000	420.2	31.7	2,918.55	2,644.90
PL-16:2622.558 m.a.s.l.	1.000	420.2	31.7	2,918.55	2,644.90

Extreme Pressures and Heads

End Point	Upsurge Ratio	Max. Pressure (psi)	Min. Pressure (psi)	Max. Head (m)	Min. Head (m)
PL-16:2624.124 m.a.s.l.	1.000	417.8	30.7	2,918.48	2,645.75
PL-17:2624.124 m.a.s.l.	1.000	417.8	30.7	2,918.48	2,645.75
PL-17:2626.718 m.a.s.l.	1.000	414.0	28.3	2,918.35	2,646.65
PL-18:2626.718 m.a.s.l.	1.000	414.0	28.3	2,918.35	2,646.65
PL-18:2628.76 m.a.s.l.	1.000	410.9	26.7	2,918.26	2,647.57
PL-19:2628.76 m.a.s.l.	1.000	410.9	26.7	2,918.26	2,647.57
PL-19:2630.052 m.a.s.l.	1.000	409.0	25.5	2,918.20	2,648.03
PL-20:2630.052 m.a.s.l.	1.000	409.0	25.5	2,918.20	2,648.03
PL-20:2631.512 m.a.s.l.	1.000	406.8	24.8	2,918.12	2,648.96
PL-21:2631.512 m.a.s.l.	1.000	406.8	24.8	2,918.12	2,648.96
PL-21:2636.586 m.a.s.l.	1.000	399.3	20.8	2,917.85	2,651.23
PL-22:2636.586 m.a.s.l.	1.000	399.3	20.8	2,917.85	2,651.23
PL-22:2645.622 m.a.s.l.	1.000	385.7	13.6	2,917.35	2,655.20
PL-23:2645.622 m.a.s.l.	1.000	385.7	13.6	2,917.37	2,655.20
PL-23:2647.638 m.a.s.l.	1.000	382.7	12.0	2,917.27	2,656.09
PL-24:2647.638 m.a.s.l.	1.000	382.7	12.0	2,917.27	2,656.09
PL-24:2651.564 m.a.s.l.	1.000	376.9	8.4	2,917.09	2,657.47
PL-25:2651.564 m.a.s.l.	1.000	376.9	8.4	2,917.09	2,657.47
PL-25:2656.348 m.a.s.l.	1.000	369.8	4.1	2,916.87	2,659.25
PL-26:2656.348 m.a.s.l.	1.000	369.8	4.1	2,916.90	2,659.25
PL-26:2659.035 m.a.s.l.	1.000	366.0	1.0	2,916.88	2,659.76
PL-27:2659.035 m.a.s.l.	1.000	366.0	1.0	2,916.87	2,659.76
PL-27:2660.828 m.a.s.l.	1.000	363.4	-0.8	2,916.81	2,660.25
PL-28:2660.828 m.a.s.l.	1.000	363.4	-0.8	2,916.81	2,660.25
PL-28:2660.925 m.a.s.l.	1.000	363.1	0.5	2,916.70	2,661.29
PL-29:2660.925 m.a.s.l.	1.000	363.1	0.5	2,916.70	2,661.29
PL-29:AV-9410	1.000	361.7	0.0	2,916.65	2,661.84
PL-30:AV-9410	1.000	361.7	0.0	2,916.64	2,661.84
PL-30:2662.138 m.a.s.l.	1.000	360.8	-10.1	2,916.32	2,655.02
PL-31:2662.138 m.a.s.l.	1.000	360.8	-10.1	2,916.32	2,655.02
PL-31:2662.437 m.a.s.l.	1.000	359.9	-10.1	2,915.97	2,655.32

Extreme Pressures and Heads

End Point	Upsurge Ratio	Max. Pressure (psi)	Min. Pressure (psi)	Max. Head (m)	Min. Head (m)
PL-32:2662.437 m.a.s.l.	1.000	359.9	-10.1	2,915.96	2,655.32
PL-32:2662.593 m.a.s.l.	1.000	359.5	-10.1	2,915.85	2,655.48
PL-33:2662.593 m.a.s.l.	1.000	359.5	-10.1	2,915.85	2,655.48
PL-33:2663.268 m.a.s.l.	1.000	357.8	-10.1	2,915.36	2,656.15
PL-34:2663.268 m.a.s.l.	1.000	357.8	-10.1	2,915.35	2,656.15
PL-34:2663.766 m.a.s.l.	1.000	356.6	-10.1	2,914.99	2,656.65
PL-35:2663.766 m.a.s.l.	1.000	356.6	-10.1	2,914.99	2,656.65
PL-35:2663.971 m.a.s.l.	1.000	356.1	-10.1	2,914.84	2,656.86
PL-36:2663.971 m.a.s.l.	1.000	356.1	-10.1	2,914.84	2,656.86
PL-36:2664.134 m.a.s.l.	1.000	355.7	-10.1	2,914.72	2,657.02
PL-37:2664.134 m.a.s.l.	1.000	355.7	-10.1	2,914.72	2,657.02
PL-37:2664.262 m.a.s.l.	1.000	355.3	-10.1	2,914.57	2,657.15
PL-38:2664.262 m.a.s.l.	1.000	355.3	-10.1	2,914.57	2,657.15
PL-38:2664.565 m.a.s.l.	1.000	354.4	-8.4	2,914.22	2,658.66
PL-39:2664.565 m.a.s.l.	1.000	354.4	-8.4	2,914.22	2,658.66
PL-39:2664.652 m.a.s.l.	1.000	354.1	-8.2	2,914.13	2,658.87
PL-40:2664.652 m.a.s.l.	1.000	354.1	-8.2	2,914.12	2,658.87
PL-40:2664.851 m.a.s.l.	1.000	353.5	-8.4	2,913.89	2,658.93
PL-41:2664.851 m.a.s.l.	1.000	353.5	-8.4	2,913.89	2,658.93
PL-41:AV-9411	1.000	353.2	-2.3	2,913.77	2,663.36
PL-42:AV-9411	1.000	353.2	-2.3	2,913.77	2,663.36
PL-42:2665.241 m.a.s.l.	1.000	352.3	-10.1	2,913.45	2,658.14
PL-43:2665.241 m.a.s.l.	1.000	352.3	-10.1	2,913.44	2,658.14
PL-43:2665.506 m.a.s.l.	1.000	351.5	-5.2	2,913.14	2,661.86
PL-44:2665.506 m.a.s.l.	1.000	351.5	-5.2	2,913.14	2,661.86
PL-44:2665.573 m.a.s.l.	1.000	351.3	-5.4	2,913.06	2,661.80
PL-45:2665.573 m.a.s.l.	1.000	351.3	-5.4	2,913.06	2,661.80
PL-45:2665.671 m.a.s.l.	1.000	351.0	-5.0	2,912.95	2,662.17
PL-46:2665.671 m.a.s.l.	1.000	351.0	-5.0	2,912.95	2,662.17
PL-46:2665.921 m.a.s.l.	1.000	350.2	-4.7	2,912.66	2,662.60
PL-47:2665.921 m.a.s.l.	1.000	350.2	-4.7	2,912.66	2,662.60

Extreme Pressures and Heads

End Point	Upsurge Ratio	Max. Pressure (psi)	Min. Pressure (psi)	Max. Head (m)	Min. Head (m)
PL-47:2665.972 m.a.s.l.	1.000	350.1	-10.1	2,912.60	2,658.86
PL-48:2665.972 m.a.s.l.	1.000	350.1	-10.1	2,912.60	2,658.86
PL-48:2666.344 m.a.s.l.	1.000	348.9	-7.6	2,912.17	2,661.02
PL-49:2666.344 m.a.s.l.	1.000	348.9	-7.6	2,912.16	2,661.02
PL-49:2666.527 m.a.s.l.	1.000	348.4	-7.8	2,911.95	2,661.05
PL-50:2666.527 m.a.s.l.	1.000	348.4	-7.8	2,911.95	2,661.05
PL-50:2666.807 m.a.s.l.	1.000	347.5	-10.1	2,911.63	2,659.69
PL-51:2666.807 m.a.s.l.	1.000	347.5	-10.1	2,911.63	2,659.69
PL-51:2667.006 m.a.s.l.	1.000	346.9	-10.1	2,911.40	2,659.89
PL-52:2667.006 m.a.s.l.	1.000	346.9	-10.1	2,911.40	2,659.89
PL-52:2668.077 m.a.s.l.	1.000	344.5	7.3	2,910.76	2,673.22
PL-53:2668.077 m.a.s.l.	1.000	344.5	7.3	2,910.76	2,673.22
PL-53:2671.163 m.a.s.l.	1.000	340.0	4.1	2,910.67	2,674.02
PL-54:2671.163 m.a.s.l.	1.000	340.0	4.1	2,910.67	2,674.02
PL-54:2673.029 m.a.s.l.	1.000	337.2	3.4	2,910.59	2,675.40
PL-55:2673.029 m.a.s.l.	1.000	337.2	3.4	2,910.59	2,675.40
PL-55:2680.736 m.a.s.l.	1.000	325.8	-9.2	2,910.28	2,674.27
PL-56:2680.736 m.a.s.l.	1.000	325.9	-9.2	2,910.30	2,674.27
PL-56:2681.659 m.a.s.l.	1.000	324.5	-6.4	2,910.26	2,677.16
PL-57:2681.659 m.a.s.l.	1.000	324.5	-6.4	2,910.25	2,677.16
PL-57:2687.363 m.a.s.l.	1.000	315.9	-8.6	2,909.93	2,681.32
PL-58:2687.363 m.a.s.l.	1.000	315.9	-8.6	2,909.93	2,681.32
PL-58:2693.373 m.a.s.l.	1.000	306.8	-10.1	2,909.53	2,686.26
PL-59:2693.373 m.a.s.l.	1.000	306.8	-10.1	2,909.53	2,686.26
PL-59:2696.634 m.a.s.l.	1.000	301.7	-10.1	2,909.15	2,689.52
PL-60:2696.634 m.a.s.l.	1.000	301.7	-10.1	2,909.17	2,689.52
PL-60:2696.913 m.a.s.l.	1.000	301.2	-10.1	2,909.11	2,689.80
PL-61:2696.913 m.a.s.l.	1.000	301.2	-10.1	2,909.11	2,689.80
PL-61:2697.433 m.a.s.l.	1.000	300.3	-9.7	2,908.98	2,690.57
PL-62:2697.433 m.a.s.l.	1.000	300.3	-9.7	2,908.98	2,690.57

Extreme Pressures and Heads

End Point	Upsurge Ratio	Max. Pressure (psi)	Min. Pressure (psi)	Max. Head (m)	Min. Head (m)
PL-62:2700.829 m.a.s.l.	1.000	295.1	-10.1	2,908.72	2,693.71
PL-63:2700.829 m.a.s.l.	1.000	295.1	-10.1	2,908.72	2,693.71
PL-63:2702.141 m.a.s.l.	1.000	293.1	-10.1	2,908.64	2,695.03
PL-64:2702.141 m.a.s.l.	1.000	293.1	-10.1	2,908.64	2,695.03
PL-64:2703.453 m.a.s.l.	1.000	291.2	-10.1	2,908.56	2,696.34
PL-65:2703.453 m.a.s.l.	1.000	291.2	-10.1	2,908.58	2,696.34
PL-65:AV-9412	1.000	289.3	-0.1	2,908.51	2,704.70
PL-66:AV-9412	1.000	289.3	-0.1	2,908.51	2,704.70
PL-66:2705.081 m.a.s.l.	1.000	288.5	-10.1	2,908.29	2,697.97
PL-67:2705.081 m.a.s.l.	1.000	288.4	-10.1	2,908.29	2,697.97
PL-67:2705.204 m.a.s.l.	1.000	288.2	-10.1	2,908.21	2,698.09
PL-68:2705.204 m.a.s.l.	1.000	288.2	-10.1	2,908.21	2,698.09
PL-68:2705.327 m.a.s.l.	1.000	287.9	-10.1	2,908.13	2,698.21
PL-69:2705.327 m.a.s.l.	1.000	287.9	-10.1	2,908.13	2,698.21
PL-69:2705.974 m.a.s.l.	1.000	286.4	-10.1	2,907.72	2,698.86
PL-70:2705.974 m.a.s.l.	1.000	286.4	-10.1	2,907.72	2,698.86
PL-70:2706.098 m.a.s.l.	1.000	286.1	-10.1	2,907.64	2,698.98
PL-71:2706.098 m.a.s.l.	1.000	286.1	-10.1	2,907.64	2,698.98
PL-71:2706.221 m.a.s.l.	1.000	285.8	-10.1	2,907.56	2,699.11
PL-72:2706.221 m.a.s.l.	1.000	285.8	-10.1	2,907.56	2,699.11
PL-72:2706.785 m.a.s.l.	1.000	284.5	-10.1	2,907.20	2,699.67
PL-73:2706.785 m.a.s.l.	1.000	284.5	-10.1	2,907.20	2,699.67
PL-73:2707.018 m.a.s.l.	1.000	283.9	-10.1	2,907.05	2,699.90
PL-74:2707.018 m.a.s.l.	1.000	283.9	-10.1	2,907.05	2,699.90
PL-74:2707.251 m.a.s.l.	1.000	283.4	-10.1	2,906.90	2,700.14
PL-75:2707.251 m.a.s.l.	1.000	283.4	-10.1	2,906.90	2,700.14
PL-75:2707.485 m.a.s.l.	1.000	282.9	-10.1	2,906.75	2,700.37
PL-76:2707.485 m.a.s.l.	1.000	282.9	-10.1	2,906.75	2,700.37
PL-76:2707.718 m.a.s.l.	1.000	282.3	-10.1	2,906.58	2,700.60
PL-77:2707.718 m.a.s.l.	1.000	282.3	-10.1	2,906.58	2,700.60
PL-77:2708.06 m.a.s.l.	1.000	281.5	-10.1	2,906.36	2,700.95

Extreme Pressures and Heads

End Point	Upsurge Ratio	Max. Pressure (psi)	Min. Pressure (psi)	Max. Head (m)	Min. Head (m)
PL-78:2708.06 m.a.s.l.	1.000	281.5	-10.1	2,906.38	2,700.95
PL-78:2711.23 m.a.s.l.	1.000	276.4	-10.1	2,905.97	2,704.11
PL-79:2711.23 m.a.s.l.	1.000	276.5	-10.1	2,905.99	2,704.11
PL-79:2717.492 m.a.s.l.	1.000	266.4	-10.1	2,905.19	2,710.38
PL-80:2717.492 m.a.s.l.	1.000	266.4	-10.1	2,905.19	2,710.38
PL-80:2718.115 m.a.s.l.	1.000	265.4	-10.1	2,905.11	2,711.00
PL-81:2718.115 m.a.s.l.	1.000	265.5	-10.1	2,905.13	2,711.00
PL-81:2718.738 m.a.s.l.	1.000	264.5	-10.1	2,905.06	2,711.62
PL-82:2718.738 m.a.s.l.	1.000	264.5	-10.1	2,905.05	2,711.62
PL-82:2725.667 m.a.s.l.	1.000	253.4	-10.1	2,904.19	2,718.55
PL-83:2725.667 m.a.s.l.	1.000	253.4	-10.1	2,904.19	2,718.55
PL-83:2726.297 m.a.s.l.	1.000	252.4	-10.1	2,904.11	2,719.18
PL-84:2726.297 m.a.s.l.	1.000	252.4	-10.1	2,904.11	2,719.18
PL-84:2730.267 m.a.s.l.	1.000	246.3	-10.1	2,903.76	2,723.15
PL-85:2730.267 m.a.s.l.	1.000	246.3	-10.1	2,903.76	2,723.15
PL-85:2731.977 m.a.s.l.	1.000	243.7	-10.1	2,903.64	2,724.86
PL-86:2731.977 m.a.s.l.	1.000	243.7	-10.1	2,903.64	2,724.86
PL-86:2733.688 m.a.s.l.	1.000	241.1	-10.1	2,903.53	2,726.57
PL-87:2733.688 m.a.s.l.	1.000	241.1	-10.1	2,903.53	2,726.57
PL-87:2735.398 m.a.s.l.	1.000	238.5	-10.1	2,903.42	2,728.28
PL-88:2735.398 m.a.s.l.	1.000	238.5	-10.1	2,903.42	2,728.28
PL-88:2737.109 m.a.s.l.	1.000	235.9	-10.1	2,903.30	2,729.99
PL-89:2737.109 m.a.s.l.	1.000	235.9	-10.1	2,903.31	2,729.99
PL-89:AV-9413	1.000	233.3	-0.1	2,903.19	2,738.75
PL-90:AV-9413	1.000	233.3	-0.1	2,903.19	2,738.75
PL-90:2750.14 m.a.s.l.	1.000	216.0	-10.1	2,902.30	2,743.02
PL-91:2750.14 m.a.s.l.	1.000	216.0	-10.1	2,902.30	2,743.02
PL-91:2751.844 m.a.s.l.	1.000	213.4	-10.1	2,902.15	2,744.73
PL-92:2751.844 m.a.s.l.	1.000	213.4	-10.1	2,902.15	2,744.73
PL-92:2753.548 m.a.s.l.	1.000	210.7	-10.1	2,902.00	2,746.43
PL-93:2753.548 m.a.s.l.	1.000	210.7	-10.1	2,902.00	2,746.43

Extreme Pressures and Heads

End Point	Upsurge Ratio	Max. Pressure (psi)	Min. Pressure (psi)	Max. Head (m)	Min. Head (m)
PL-93:2755.252 m.a.s.l.	1.170	244.4	-10.1	2,927.39	2,748.14
PL-94:2755.252 m.a.s.l.	1.170	244.4	-10.1	2,927.39	2,748.14
PL-94:2756.957 m.a.s.l.	1.180	242.1	-10.1	2,927.53	2,749.84
PL-95:2756.957 m.a.s.l.	1.180	242.1	-10.1	2,927.53	2,749.84
PL-95:2758.661 m.a.s.l.	1.180	239.8	-10.1	2,927.59	2,751.55
PL-96:2758.661 m.a.s.l.	1.180	239.8	-10.1	2,927.59	2,751.55
PL-96:2760.365 m.a.s.l.	1.190	237.7	-10.1	2,927.79	2,753.25
PL-97:2760.365 m.a.s.l.	1.190	237.7	-10.1	2,927.79	2,753.25
PL-97:2762.07 m.a.s.l.	1.190	235.0	-10.1	2,927.61	2,754.96
PL-98:2762.07 m.a.s.l.	1.190	235.0	-10.1	2,927.61	2,754.96
PL-98:2763.774 m.a.s.l.	1.190	232.8	-10.1	2,927.77	2,756.66
PL-99:2763.774 m.a.s.l.	1.190	232.8	-10.1	2,927.77	2,756.66
PL-99:2765.478 m.a.s.l.	1.200	230.2	-10.1	2,927.67	2,758.36
PL-100:2765.478 m.a.s.l.	1.200	230.2	-10.1	2,927.67	2,758.36
PL-100:2773.372 m.a.s.l.	1.210	219.1	-10.1	2,927.75	2,766.26
PL-101:2773.372 m.a.s.l.	1.210	219.1	-10.1	2,927.75	2,766.26
PL-101:2773.642 m.a.s.l.	1.220	218.7	-10.1	2,927.73	2,766.53
PL-102:2773.642 m.a.s.l.	1.220	218.7	-10.1	2,927.73	2,766.53
PL-102:2773.911 m.a.s.l.	1.220	218.3	-10.1	2,927.72	2,766.80
PL-103:2773.911 m.a.s.l.	1.220	218.3	-10.1	2,927.72	2,766.80
PL-103:2774.18 m.a.s.l.	1.220	217.6	-10.1	2,927.47	2,767.06
PL-104:2774.18 m.a.s.l.	1.220	217.6	-10.1	2,927.47	2,767.06
PL-104:2774.449 m.a.s.l.	1.220	217.5	-10.1	2,927.70	2,767.33
PL-105:2774.449 m.a.s.l.	1.220	217.5	-10.1	2,927.70	2,767.33
PL-105:2774.719 m.a.s.l.	1.260	223.6	-10.1	2,932.23	2,767.60
PL-106:2774.719 m.a.s.l.	1.260	223.6	-10.1	2,932.23	2,767.60
PL-106:2774.988 m.a.s.l.	1.260	223.4	-10.1	2,932.40	2,767.87
PL-107:2774.988 m.a.s.l.	1.260	223.4	-10.1	2,932.40	2,767.87
PL-107:2775.257 m.a.s.l.	1.260	223.1	-10.1	2,932.45	2,768.14
PL-108:2775.257 m.a.s.l.	1.260	223.1	-10.1	2,932.45	2,768.14

Extreme Pressures and Heads

End Point	Upsurge Ratio	Max. Pressure (psi)	Min. Pressure (psi)	Max. Head (m)	Min. Head (m)
PL-108:2775.649 m.a.s.l.	1.260	222.5	-10.1	2,932.40	2,768.53
PL-109:2775.649 m.a.s.l.	1.260	222.5	-10.1	2,932.40	2,768.53
PL-109:2776.409 m.a.s.l.	1.270	221.7	-10.1	2,932.62	2,769.29
PL-110:2776.409 m.a.s.l.	1.270	221.7	-10.1	2,932.62	2,769.29
PL-110:2779.856 m.a.s.l.	1.280	216.9	-10.1	2,932.64	2,772.74
PL-111:2779.856 m.a.s.l.	1.280	216.9	-10.1	2,932.64	2,772.74
PL-111:AV-9414	1.280	215.4	-1.7	2,932.67	2,779.72
PL-112:AV-9414	1.280	215.4	-1.7	2,932.67	2,779.72
PL-112:2779.075 m.a.s.l.	1.280	218.0	-10.1	2,932.63	2,771.96
PL-113:2779.075 m.a.s.l.	1.280	218.0	-10.1	2,932.63	2,771.96
PL-113:2777.881 m.a.s.l.	1.280	219.7	-10.1	2,932.66	2,770.77
PL-114:2777.881 m.a.s.l.	1.280	219.7	-10.1	2,932.66	2,770.77
PL-114:2771.145 m.a.s.l.	1.270	229.8	-10.1	2,933.03	2,764.03
PL-115:2771.145 m.a.s.l.	1.270	229.8	-10.1	2,933.03	2,764.03
PL-115:2770.495 m.a.s.l.	1.270	230.3	-10.1	2,932.77	2,763.38
PL-116:2770.495 m.a.s.l.	1.270	230.3	-10.1	2,932.77	2,763.38
PL-116:2769.844 m.a.s.l.	1.270	231.5	-10.1	2,932.92	2,762.73
PL-117:2769.844 m.a.s.l.	1.270	231.5	-10.1	2,932.92	2,762.73
PL-117:2763.086 m.a.s.l.	1.260	241.3	-10.1	2,933.11	2,755.97
PL-118:2763.086 m.a.s.l.	1.260	241.3	-10.1	2,933.11	2,755.97
PL-118:2761.625 m.a.s.l.	1.260	243.6	-10.1	2,933.24	2,754.51
PL-119:2761.625 m.a.s.l.	1.260	243.6	-10.1	2,933.24	2,754.51
PL-119:2760.163 m.a.s.l.	1.260	245.6	-10.1	2,933.18	2,753.05
PL-120:2760.163 m.a.s.l.	1.260	245.6	-10.1	2,933.18	2,753.05
PL-120:2750.438 m.a.s.l.	1.250	259.4	-10.1	2,933.15	2,743.32
PL-121:2750.438 m.a.s.l.	1.250	259.4	-10.1	2,933.15	2,743.32
PL-121:2749.46 m.a.s.l.	1.250	260.8	-10.1	2,933.17	2,742.34
PL-122:2749.46 m.a.s.l.	1.250	260.8	-10.1	2,933.17	2,742.34
PL-122:2749.15 m.a.s.l.	1.250	261.2	-10.1	2,933.19	2,742.03
PL-123:2749.15 m.a.s.l.	1.250	261.2	-10.1	2,933.19	2,742.03
PL-123:2747.736 m.a.s.l.	1.280	271.0	-10.1	2,938.66	2,740.62

Extreme Pressures and Heads

End Point	Upsurge Ratio	Max. Pressure (psi)	Min. Pressure (psi)	Max. Head (m)	Min. Head (m)
PL-124:2747.736 m.a.s.l.	1.280	271.0	-10.1	2,938.66	2,740.62
PL-124:2747.491 m.a.s.l.	1.280	271.5	-10.1	2,938.77	2,740.38
PL-125:2747.491 m.a.s.l.	1.280	271.5	-10.1	2,938.77	2,740.38
PL-125:2745.882 m.a.s.l.	1.000	213.1	-10.1	2,896.03	2,738.77
PL-126:2745.882 m.a.s.l.	1.000	213.1	-10.1	2,896.03	2,738.77
PL-126:2745.558 m.a.s.l.	1.000	213.5	-10.1	2,895.95	2,738.44
PL-127:2745.558 m.a.s.l.	1.000	213.5	-10.1	2,895.95	2,738.44
PL-127:2742.928 m.a.s.l.	1.000	216.3	-10.1	2,895.29	2,735.81
PL-128:2742.928 m.a.s.l.	1.000	216.3	-10.1	2,895.29	2,735.81
PL-128:2742.684 m.a.s.l.	1.000	216.5	-10.1	2,895.23	2,735.57
PL-129:2742.684 m.a.s.l.	1.000	216.5	-10.1	2,895.23	2,735.57
PL-129:2741.725 m.a.s.l.	1.000	217.6	-10.1	2,894.99	2,734.61
PL-130:2741.725 m.a.s.l.	1.000	217.6	-10.1	2,894.99	2,734.61
PL-130:2741.403 m.a.s.l.	1.000	217.9	-10.1	2,894.91	2,734.29
PL-131:2741.403 m.a.s.l.	1.000	217.9	-10.1	2,894.91	2,734.29
PL-131:2741.08 m.a.s.l.	1.000	218.2	-10.1	2,894.83	2,733.96
PL-132:2741.08 m.a.s.l.	1.000	218.2	-10.1	2,894.83	2,733.96
PL-132:2740.329 m.a.s.l.	1.000	219.0	-10.1	2,894.64	2,733.21
PL-133:2740.329 m.a.s.l.	1.000	219.0	-10.1	2,894.64	2,733.21
PL-133:2736.756 m.a.s.l.	1.000	224.0	-10.1	2,894.56	2,729.64
PL-134:2736.756 m.a.s.l.	1.000	224.0	-10.1	2,894.54	2,729.64
PL-134:2736.327 m.a.s.l.	1.000	224.4	-10.1	2,894.38	2,729.21
PL-135:2736.327 m.a.s.l.	1.000	224.4	-10.1	2,894.40	2,729.21
PL-135:AV-9415	1.000	225.4	0.0	2,893.98	2,735.20
PL-136:AV-9415	1.000	225.4	0.0	2,893.98	2,735.20
PL-136:2733.273 m.a.s.l.	1.000	228.0	-10.1	2,893.90	2,726.16
PL-137:2733.273 m.a.s.l.	1.000	228.0	-10.1	2,893.90	2,726.16
PL-137:2731.246 m.a.s.l.	1.000	230.8	-10.1	2,893.81	2,724.13
PL-138:2731.246 m.a.s.l.	1.000	230.8	-10.1	2,893.81	2,724.13
PL-138:2729.051 m.a.s.l.	1.000	233.7	-10.1	2,893.72	2,721.94
PL-139:2729.051 m.a.s.l.	1.000	233.7	-10.1	2,893.72	2,721.94

Extreme Pressures and Heads

End Point	Upsurge Ratio	Max. Pressure (psi)	Min. Pressure (psi)	Max. Head (m)	Min. Head (m)
PL-139:2726.978 m.a.s.l.	1.000	236.6	-7.7	2,893.64	2,721.56
PL-140:2726.978 m.a.s.l.	1.000	236.6	-7.7	2,893.65	2,721.56
PL-140:2724.876 m.a.s.l.	1.020	243.5	-1.7	2,896.38	2,723.65
PL-141:2724.876 m.a.s.l.	1.020	243.5	-1.7	2,896.38	2,723.65
PL-141:2714.538 m.a.s.l.	1.000	253.9	8.8	2,893.39	2,720.72
PL-142:2714.538 m.a.s.l.	1.000	253.9	8.8	2,893.40	2,720.72
PL-142:2713.92 m.a.s.l.	1.000	254.4	7.1	2,893.17	2,718.91
PL-143:2713.92 m.a.s.l.	1.000	254.4	7.1	2,893.17	2,718.91
PL-143:2707.568 m.a.s.l.	1.000	263.4	10.8	2,893.11	2,715.15
PL-144:2707.568 m.a.s.l.	1.000	263.4	10.8	2,893.10	2,715.15
PL-144:2706.816 m.a.s.l.	1.000	263.6	2.6	2,892.53	2,708.62
PL-145:2706.816 m.a.s.l.	1.000	263.6	2.6	2,892.53	2,708.62
PL-145:2706.695 m.a.s.l.	1.000	263.7	6.2	2,892.44	2,711.09
PL-146:2706.695 m.a.s.l.	1.000	263.7	6.2	2,892.44	2,711.09
PL-146:2704.472 m.a.s.l.	1.000	266.8	10.7	2,892.41	2,712.00
PL-147:2704.472 m.a.s.l.	1.000	266.8	10.7	2,892.41	2,712.00
PL-147:2703.954 m.a.s.l.	1.000	266.7	10.1	2,891.81	2,711.09
PL-148:2703.954 m.a.s.l.	1.000	266.7	10.1	2,891.81	2,711.09
PL-148:2703.823 m.a.s.l.	1.000	266.6	-7.0	2,891.66	2,698.87
PL-149:2703.823 m.a.s.l.	1.000	266.6	-7.0	2,891.66	2,698.87
PL-149:2706.06 m.a.s.l.	1.000	263.1	13.1	2,891.40	2,715.29
PL-150:2706.06 m.a.s.l.	1.000	263.1	13.1	2,891.40	2,715.29
PL-150:2709.89 m.a.s.l.	1.000	257.6	9.2	2,891.35	2,716.35
PL-151:2709.89 m.a.s.l.	1.000	257.6	9.2	2,891.35	2,716.35
PL-151:AV-9416	1.000	253.9	2.7	2,891.23	2,714.31
PL-152:AV-9416	1.000	253.9	2.7	2,891.23	2,714.31
PL-152:2712.166 m.a.s.l.	1.000	253.8	8.0	2,890.97	2,717.82
PL-153:2712.166 m.a.s.l.	1.000	253.8	8.0	2,890.97	2,717.82
PL-153:2706.878 m.a.s.l.	1.000	260.9	8.8	2,890.68	2,713.11
PL-154:2706.878 m.a.s.l.	1.000	260.9	8.8	2,890.68	2,713.11
PL-154:2694.35 m.a.s.l.	1.000	278.3	28.7	2,890.40	2,714.57

Extreme Pressures and Heads

End Point	Upsurge Ratio	Max. Pressure (psi)	Min. Pressure (psi)	Max. Head (m)	Min. Head (m)
PL-155:2694.35 m.a.s.l.	1.000	278.3	28.7	2,890.39	2,714.57
PL-155:2686.803 m.a.s.l.	1.000	288.7	37.8	2,890.17	2,713.44
PL-156:2686.803 m.a.s.l.	1.000	288.7	37.8	2,890.17	2,713.44
PL-156:2684.473 m.a.s.l.	1.000	291.9	40.2	2,890.11	2,712.81
PL-157:2684.473 m.a.s.l.	1.000	291.9	40.2	2,890.11	2,712.81
PL-157:2673.321 m.a.s.l.	1.000	307.5	63.2	2,889.95	2,717.83
PL-158:2673.321 m.a.s.l.	1.000	307.5	63.2	2,889.95	2,717.83
PL-158:2673.407 m.a.s.l.	1.000	307.2	68.3	2,889.85	2,721.54
PL-159:2673.407 m.a.s.l.	1.000	307.2	68.3	2,889.85	2,721.54
PL-159:2678.541 m.a.s.l.	1.000	299.8	61.5	2,889.72	2,721.84
PL-160:2678.541 m.a.s.l.	1.000	299.8	61.5	2,889.72	2,721.84
PL-160:2679.272 m.a.s.l.	1.000	297.9	56.7	2,889.13	2,719.21
PL-161:2679.272 m.a.s.l.	1.000	297.9	56.7	2,889.15	2,719.21
PL-161:2679.467 m.a.s.l.	1.000	297.4	57.3	2,888.99	2,719.84
PL-162:2679.467 m.a.s.l.	1.000	297.4	57.3	2,888.99	2,719.84
PL-162:2679.922 m.a.s.l.	1.000	296.3	57.3	2,888.64	2,720.30
PL-163:2679.922 m.a.s.l.	1.000	296.3	57.3	2,888.64	2,720.30
PL-163:2683.34 m.a.s.l.	1.000	291.4	52.7	2,888.61	2,720.48
PL-164:2683.34 m.a.s.l.	1.000	291.4	52.7	2,888.61	2,720.48
PL-164:AV-9417	1.000	291.2	52.1	2,888.56	2,720.06
PL-165:AV-9417	1.000	291.2	52.1	2,888.56	2,720.06
PL-165:2680.031 m.a.s.l.	1.000	296.0	55.5	2,888.53	2,719.11
PL-166:2680.031 m.a.s.l.	1.000	296.0	55.5	2,888.53	2,719.11
PL-166:2679.657 m.a.s.l.	1.000	295.9	4.6	2,888.09	2,682.91
PL-167:2679.657 m.a.s.l.	1.000	295.9	4.6	2,888.09	2,682.91
PL-167:2679.041 m.a.s.l.	1.000	295.7	8.8	2,887.36	2,685.28
PL-168:2679.041 m.a.s.l.	1.000	295.7	8.8	2,887.36	2,685.28
PL-168:2678.592 m.a.s.l.	1.000	295.6	16.5	2,886.84	2,690.21
PL-169:2678.592 m.a.s.l.	1.000	295.6	16.5	2,886.84	2,690.21
PL-169:2678.5 m.a.s.l.	1.000	295.6	11.2	2,886.74	2,686.36
PL-170:2678.5 m.a.s.l.	1.000	295.6	11.2	2,886.76	2,686.36

Extreme Pressures and Heads

End Point	Upsurge Ratio	Max. Pressure (psi)	Min. Pressure (psi)	Max. Head (m)	Min. Head (m)
PL-170:2672.244 m.a.s.l.	1.000	303.7	1.1	2,886.22	2,673.05
PL-171:2672.244 m.a.s.l.	1.000	303.7	1.1	2,886.22	2,673.05
PL-171:2670.976 m.a.s.l.	1.000	304.8	-0.4	2,885.69	2,670.66
PL-172:2670.976 m.a.s.l.	1.000	304.8	-0.4	2,885.69	2,670.66
PL-172:2662.788 m.a.s.l.	1.000	315.5	41.5	2,885.04	2,692.01
PL-173:2662.788 m.a.s.l.	1.000	315.5	41.5	2,885.04	2,692.01
PL-173:2660.9 m.a.s.l.	1.000	318.0	40.4	2,884.89	2,689.33
PL-174:2660.9 m.a.s.l.	1.000	317.9	40.4	2,884.89	2,689.33
PL-174:2658.293 m.a.s.l.	1.000	320.8	35.2	2,884.32	2,683.12
PL-175:2658.293 m.a.s.l.	1.000	320.8	35.2	2,884.32	2,683.12
PL-175:2654.577 m.a.s.l.	1.000	324.9	44.1	2,883.45	2,685.66
PL-176:2654.577 m.a.s.l.	1.000	324.9	44.1	2,883.44	2,685.66
PL-176:2652.152 m.a.s.l.	1.000	328.1	41.7	2,883.27	2,681.56
PL-177:2652.152 m.a.s.l.	1.000	328.1	41.7	2,883.27	2,681.56
PL-177:2653.779 m.a.s.l.	1.000	325.4	47.5	2,883.05	2,687.24
PL-178:2653.779 m.a.s.l.	1.000	325.4	47.5	2,883.05	2,687.24
PL-178:2656.456 m.a.s.l.	1.010	325.8	43.8	2,885.99	2,687.30
PL-179:2656.456 m.a.s.l.	1.010	325.8	43.8	2,885.99	2,687.30
PL-179:2656.926 m.a.s.l.	1.020	328.4	73.1	2,888.24	2,708.42
PL-180:2656.926 m.a.s.l.	1.020	328.4	73.1	2,888.24	2,708.42
PL-180:2657.507 m.a.s.l.	1.020	325.0	64.0	2,886.45	2,702.61
PL-181:2657.507 m.a.s.l.	1.020	325.0	64.0	2,886.45	2,702.61
PL-181:2657.795 m.a.s.l.	1.030	328.7	65.9	2,889.39	2,704.25
PL-182:2657.795 m.a.s.l.	1.030	328.7	65.9	2,889.39	2,704.25
PL-182:2658.335 m.a.s.l.	1.040	328.9	63.0	2,890.07	2,702.71
PL-183:2658.335 m.a.s.l.	1.040	328.9	63.0	2,890.07	2,702.71
PL-183:2661.404 m.a.s.l.	1.050	327.6	64.9	2,892.22	2,707.16
PL-184:2661.404 m.a.s.l.	1.050	327.6	64.9	2,892.22	2,707.16
PL-184:AV-9418	1.050	318.5	64.3	2,892.05	2,712.96
PL-185:AV-9418	1.050	318.5	64.3	2,892.05	2,712.96
PL-185:2667.213 m.a.s.l.	1.070	325.7	60.1	2,896.69	2,709.56

Extreme Pressures and Heads

End Point	Upsurge Ratio	Max. Pressure (psi)	Min. Pressure (psi)	Max. Head (m)	Min. Head (m)
PL-186:2667.213 m.a.s.l.	1.070	325.7	60.1	2,896.69	2,709.56
PL-186:2664.281 m.a.s.l.	1.090	334.7	58.3	2,900.07	2,705.33
PL-187:2664.281 m.a.s.l.	1.090	334.7	58.3	2,900.07	2,705.33
PL-187:2665.989 m.a.s.l.	1.140	344.7	42.4	2,908.81	2,695.83
PL-188:2665.989 m.a.s.l.	1.140	344.7	42.4	2,908.81	2,695.83
PL-188:2671.467 m.a.s.l.	1.150	336.5	42.2	2,908.55	2,701.20
PL-189:2671.467 m.a.s.l.	1.150	336.5	42.2	2,908.55	2,701.20
PL-189:2673.607 m.a.s.l.	1.140	332.7	34.5	2,907.98	2,697.93
PL-190:2673.607 m.a.s.l.	1.140	332.7	34.5	2,907.98	2,697.93
PL-190:2680.084 m.a.s.l.	1.150	323.2	27.7	2,907.77	2,699.59
PL-191:2680.084 m.a.s.l.	1.150	323.2	27.7	2,907.77	2,699.59
PL-191:2684.725 m.a.s.l.	1.160	316.9	25.7	2,907.96	2,702.80
PL-192:2684.725 m.a.s.l.	1.160	316.9	25.7	2,907.96	2,702.80
PL-192:2689.369 m.a.s.l.	1.160	310.1	9.5	2,907.83	2,696.05
PL-193:2689.369 m.a.s.l.	1.160	310.1	9.5	2,907.83	2,696.05
PL-193:AV-9419	1.170	300.3	0.0	2,907.83	2,696.27
PL-194:AV-9419	1.170	300.3	0.0	2,907.83	2,696.27
PL-194:2696.592 m.a.s.l.	1.170	299.7	3.7	2,907.72	2,699.19
PL-195:2696.592 m.a.s.l.	1.170	299.7	3.7	2,907.72	2,699.19
PL-195:2697.58 m.a.s.l.	1.160	295.3	0.5	2,905.60	2,697.90
PL-196:2697.58 m.a.s.l.	1.160	295.3	0.5	2,905.60	2,697.90
PL-196:2698.814 m.a.s.l.	1.180	296.4	-2.8	2,907.64	2,696.86
PL-197:2698.814 m.a.s.l.	1.180	296.4	-2.8	2,907.64	2,696.86
PL-197:2698.92 m.a.s.l.	1.180	296.6	-2.2	2,907.85	2,697.35
PL-198:2698.92 m.a.s.l.	1.180	296.6	-2.2	2,907.85	2,697.35
PL-198:2701.899 m.a.s.l.	1.180	291.6	-6.8	2,907.35	2,697.12
PL-199:2701.899 m.a.s.l.	1.180	291.6	-6.8	2,907.35	2,697.12
PL-199:2702.01 m.a.s.l.	1.190	292.1	-7.4	2,907.78	2,696.80
PL-200:2702.01 m.a.s.l.	1.190	292.1	-7.4	2,907.78	2,696.80
PL-200:2706.92 m.a.s.l.	1.190	284.8	-10.1	2,907.59	2,699.80
PL-201:2706.92 m.a.s.l.	1.190	284.8	-10.1	2,907.59	2,699.80

Extreme Pressures and Heads

End Point	Upsurge Ratio	Max. Pressure (psi)	Min. Pressure (psi)	Max. Head (m)	Min. Head (m)
PL-201:2707.193 m.a.s.l.	1.200	285.5	-4.3	2,908.35	2,704.19
PL-202:2707.193 m.a.s.l.	1.200	285.5	-4.3	2,908.35	2,704.19
PL-202:AV-9420	1.190	283.8	8.0	2,907.48	2,713.21
PL-203:AV-9420	1.190	283.8	8.0	2,907.48	2,713.21
PL-203:2704.701 m.a.s.l.	1.190	287.7	12.5	2,907.39	2,713.49
PL-204:2704.701 m.a.s.l.	1.190	287.7	12.5	2,907.39	2,713.49
PL-204:2704.63 m.a.s.l.	1.190	287.4	12.9	2,907.13	2,713.73
PL-205:2704.63 m.a.s.l.	1.190	287.4	12.9	2,907.13	2,713.73
PL-205:2704.412 m.a.s.l.	1.230	296.0	3.5	2,912.94	2,706.84
PL-206:2704.412 m.a.s.l.	1.230	296.0	3.5	2,912.94	2,706.84
PL-206:2700.694 m.a.s.l.	1.230	303.8	7.0	2,914.71	2,705.60
PL-207:2700.694 m.a.s.l.	1.230	303.8	7.0	2,914.71	2,705.60
PL-207:2699.061 m.a.s.l.	1.230	306.6	9.1	2,915.08	2,705.51
PL-208:2699.061 m.a.s.l.	1.230	306.6	9.1	2,915.08	2,705.51
PL-208:2701.546 m.a.s.l.	1.240	303.7	3.0	2,915.52	2,703.67
PL-209:2701.546 m.a.s.l.	1.240	303.7	3.0	2,915.52	2,703.67
PL-209:2700.937 m.a.s.l.	1.240	304.9	1.8	2,915.71	2,702.18
PL-210:2700.937 m.a.s.l.	1.240	304.9	1.8	2,915.71	2,702.18
PL-210:2697.292 m.a.s.l.	1.230	309.3	5.9	2,915.21	2,701.45
PL-211:2697.292 m.a.s.l.	1.230	309.3	5.9	2,915.21	2,701.45
PL-211:2694.138 m.a.s.l.	1.230	313.5	10.1	2,915.02	2,701.23
PL-212:2694.138 m.a.s.l.	1.230	313.5	10.1	2,915.02	2,701.23
PL-212:2689.28 m.a.s.l.	1.220	319.7	24.4	2,914.51	2,706.48
PL-213:2689.28 m.a.s.l.	1.220	319.7	24.4	2,914.51	2,706.48
PL-213:2686.825 m.a.s.l.	1.220	322.2	31.8	2,913.78	2,709.23
PL-214:2686.825 m.a.s.l.	1.220	322.2	31.8	2,913.78	2,709.23
PL-214:2680.716 m.a.s.l.	1.210	330.6	46.1	2,913.63	2,713.17
PL-215:2680.716 m.a.s.l.	1.210	330.6	46.1	2,913.63	2,713.17
PL-215:2680.127 m.a.s.l.	1.210	330.6	47.4	2,913.05	2,713.55
PL-216:2680.127 m.a.s.l.	1.210	330.6	47.4	2,913.05	2,713.55
PL-216:2679.537 m.a.s.l.	1.210	332.9	45.7	2,914.07	2,711.71

Extreme Pressures and Heads

End Point	Upsurge Ratio	Max. Pressure (psi)	Min. Pressure (psi)	Max. Head (m)	Min. Head (m)
PL-217:2679.537 m.a.s.l.	1.210	332.9	45.7	2,914.07	2,711.71
PL-217:2678.948 m.a.s.l.	1.210	333.1	49.1	2,913.64	2,713.54
PL-218:2678.948 m.a.s.l.	1.210	333.1	49.1	2,913.64	2,713.54
PL-218:2678.554 m.a.s.l.	1.310	360.1	52.5	2,932.20	2,715.52
PL-219:2678.554 m.a.s.l.	1.310	360.1	52.5	2,932.20	2,715.52
PL-219:2678.459 m.a.s.l.	1.320	363.8	50.0	2,934.74	2,713.68
PL-220:2678.459 m.a.s.l.	1.320	363.8	50.0	2,934.74	2,713.68
PL-220:2678.364 m.a.s.l.	1.320	363.9	51.2	2,934.71	2,714.41
PL-221:2678.364 m.a.s.l.	1.320	363.9	51.2	2,934.71	2,714.41
PL-221:2676.726 m.a.s.l.	1.290	358.4	50.7	2,929.20	2,712.46
PL-222:2676.726 m.a.s.l.	1.290	358.4	50.7	2,929.20	2,712.46
PL-222:2672.153 m.a.s.l.	1.260	357.6	57.6	2,924.08	2,712.72
PL-223:2672.153 m.a.s.l.	1.260	357.6	57.6	2,924.08	2,712.72
PL-223:2669 m.a.s.l.	1.210	346.4	66.9	2,913.02	2,716.12
PL-224:2669 m.a.s.l.	1.210	346.4	66.9	2,913.02	2,716.12
PL-224:2665.143 m.a.s.l.	1.200	350.5	75.1	2,912.06	2,718.04
PL-225:2665.143 m.a.s.l.	1.200	350.5	75.1	2,912.06	2,718.04
PL-225:2664.351 m.a.s.l.	1.200	352.1	74.6	2,912.40	2,716.91
PL-226:2664.351 m.a.s.l.	1.200	352.1	74.6	2,912.40	2,716.91
PL-226:2662.927 m.a.s.l.	1.230	364.7	74.3	2,919.83	2,715.25
PL-227:2662.927 m.a.s.l.	1.230	364.7	74.3	2,919.83	2,715.25
PL-227:2666.065 m.a.s.l.	1.260	366.2	66.6	2,924.03	2,713.02
PL-228:2666.065 m.a.s.l.	1.260	366.2	66.6	2,924.03	2,713.02
PL-228:2671.808 m.a.s.l.	1.260	354.7	65.1	2,921.66	2,717.68
PL-229:2671.808 m.a.s.l.	1.260	354.7	65.1	2,921.66	2,717.68
PL-229:2674.034 m.a.s.l.	1.250	348.3	74.7	2,919.40	2,726.66
PL-230:2674.034 m.a.s.l.	1.250	348.3	74.7	2,919.40	2,726.66
PL-230:2677.464 m.a.s.l.	1.260	344.5	73.0	2,920.15	2,728.86
PL-231:2677.464 m.a.s.l.	1.260	344.5	73.0	2,920.15	2,728.86
PL-231:2693.038 m.a.s.l.	1.280	320.8	54.2	2,919.04	2,731.25

Extreme Pressures and Heads

End Point	Upsurge Ratio	Max. Pressure (psi)	Min. Pressure (psi)	Max. Head (m)	Min. Head (m)
PL-232:2693.038 m.a.s.l.	1.280	320.8	54.2	2,919.04	2,731.25
PL-232:2694.845 m.a.s.l.	1.280	316.8	46.2	2,918.03	2,727.41
PL-233:2694.845 m.a.s.l.	1.280	316.8	46.2	2,918.03	2,727.41
PL-233:2696.644 m.a.s.l.	1.270	311.9	42.1	2,916.36	2,726.32
PL-234:2696.644 m.a.s.l.	1.270	311.9	42.1	2,916.36	2,726.32
PL-234:2721.751 m.a.s.l.	1.300	271.5	7.9	2,912.99	2,727.31
PL-235:2721.751 m.a.s.l.	1.300	271.5	7.9	2,912.99	2,727.31
PL-235:2726.543 m.a.s.l.	1.370	274.8	-4.6	2,920.17	2,723.30
PL-236:2726.543 m.a.s.l.	1.370	274.8	-4.6	2,920.17	2,723.30
PL-236:2727.377 m.a.s.l.	1.360	270.9	-10.1	2,918.23	2,720.26
PL-237:2727.377 m.a.s.l.	1.360	270.9	-10.1	2,918.23	2,720.26
PL-237:AV-9421	1.400	277.5	0.0	2,923.67	2,728.21
PL-238:AV-9421	1.400	277.5	0.0	2,923.67	2,728.21
PL-238:2727.933 m.a.s.l.	1.340	266.2	-10.1	2,915.44	2,720.82
PL-239:2727.933 m.a.s.l.	1.340	266.2	-10.1	2,915.44	2,720.82
PL-239:2725.004 m.a.s.l.	1.360	275.2	-7.8	2,918.87	2,719.47
PL-240:2725.004 m.a.s.l.	1.360	275.2	-7.8	2,918.87	2,719.47
PL-240:2721.528 m.a.s.l.	1.370	283.5	-1.2	2,921.23	2,720.70
PL-241:2721.528 m.a.s.l.	1.370	283.5	-1.2	2,921.23	2,720.70
PL-241:2718.053 m.a.s.l.	1.380	292.6	8.7	2,924.18	2,724.20
PL-242:2718.053 m.a.s.l.	1.380	292.6	8.7	2,924.18	2,724.20
PL-242:2712.085 m.a.s.l.	1.370	302.2	6.0	2,925.01	2,716.32
PL-243:2712.085 m.a.s.l.	1.370	302.2	6.0	2,925.01	2,716.32
PL-243:2700.79 m.a.s.l.	1.310	308.5	66.4	2,918.15	2,747.56
PL-244:2700.79 m.a.s.l.	1.310	308.5	66.4	2,918.15	2,747.56
PL-244:2699.427 m.a.s.l.	1.350	319.9	72.4	2,924.82	2,750.42
PL-245:2699.427 m.a.s.l.	1.350	319.9	72.4	2,924.82	2,750.42
PL-245:2698.064 m.a.s.l.	1.370	327.2	70.5	2,928.59	2,747.74
PL-246:2698.064 m.a.s.l.	1.370	327.2	70.5	2,928.59	2,747.74
PL-246:2696.701 m.a.s.l.	1.350	325.0	56.8	2,925.64	2,736.68
PL-247:2696.701 m.a.s.l.	1.350	325.0	56.8	2,925.64	2,736.68

Extreme Pressures and Heads

End Point	Upsurge Ratio	Max. Pressure (psi)	Min. Pressure (psi)	Max. Head (m)	Min. Head (m)
PL-247:2695.338 m.a.s.l.	1.350	326.5	67.2	2,925.37	2,742.67
PL-248:2695.338 m.a.s.l.	1.350	326.5	67.2	2,925.37	2,742.67
PL-248:2696.763 m.a.s.l.	1.360	325.5	75.8	2,926.07	2,750.16
PL-249:2696.763 m.a.s.l.	1.360	325.5	75.8	2,926.07	2,750.16
PL-249:2697.809 m.a.s.l.	1.400	330.8	71.4	2,930.88	2,748.08
PL-250:2697.809 m.a.s.l.	1.400	330.8	71.4	2,930.88	2,748.08
PL-250:2707.856 m.a.s.l.	1.430	318.4	64.0	2,932.17	2,752.96
PL-251:2707.856 m.a.s.l.	1.430	318.4	64.0	2,932.17	2,752.96
PL-251:2712.242 m.a.s.l.	1.460	314.9	63.7	2,934.08	2,757.14
PL-252:2712.242 m.a.s.l.	1.460	314.9	63.7	2,934.08	2,757.14
PL-252:2716.628 m.a.s.l.	1.450	303.7	57.3	2,930.56	2,757.00
PL-253:2716.628 m.a.s.l.	1.450	303.7	57.3	2,930.56	2,757.00
PL-253:2725.911 m.a.s.l.	1.460	285.2	39.9	2,926.80	2,754.02
PL-254:2725.911 m.a.s.l.	1.460	285.2	39.9	2,926.80	2,754.02
PL-254:2729.357 m.a.s.l.	1.480	280.7	38.7	2,927.07	2,756.61
PL-255:2729.357 m.a.s.l.	1.480	280.7	38.7	2,927.07	2,756.61
PL-255:2731.472 m.a.s.l.	1.480	276.8	35.5	2,926.46	2,756.48
PL-256:2731.472 m.a.s.l.	1.480	276.8	35.5	2,926.46	2,756.48
PL-256:2733.588 m.a.s.l.	1.490	273.7	32.3	2,926.39	2,756.34
PL-257:2733.588 m.a.s.l.	1.490	273.7	32.3	2,926.39	2,756.34
PL-257:2735.704 m.a.s.l.	1.490	269.2	29.1	2,925.35	2,756.20
PL-258:2735.704 m.a.s.l.	1.490	269.2	29.1	2,925.35	2,756.20
PL-258:2739.439 m.a.s.l.	1.500	261.3	23.5	2,923.52	2,755.97
PL-259:2739.439 m.a.s.l.	1.500	261.3	23.5	2,923.52	2,755.97
PL-259:2740.487 m.a.s.l.	1.500	260.0	21.9	2,923.65	2,755.90
PL-260:2740.487 m.a.s.l.	1.500	260.0	21.9	2,923.65	2,755.90
PL-260:2741.535 m.a.s.l.	1.500	257.3	20.3	2,922.81	2,755.81
PL-261:2741.535 m.a.s.l.	1.500	257.3	20.3	2,922.81	2,755.81
PL-261:2742.583 m.a.s.l.	1.500	254.5	18.5	2,921.90	2,755.60
PL-262:2742.583 m.a.s.l.	1.500	254.5	18.5	2,921.90	2,755.60

Extreme Pressures and Heads

End Point	Upsurge Ratio	Max. Pressure (psi)	Min. Pressure (psi)	Max. Head (m)	Min. Head (m)
PL-262:2742.834 m.a.s.l.	1.500	253.7	17.8	2,921.59	2,755.40
PL-263:2742.834 m.a.s.l.	1.500	253.7	17.8	2,921.59	2,755.40
PL-263:2743.404 m.a.s.l.	1.530	257.0	16.5	2,924.48	2,755.04
PL-264:2743.404 m.a.s.l.	1.530	257.0	16.5	2,924.48	2,755.04
PL-264:2745.632 m.a.s.l.	1.530	252.7	13.1	2,923.64	2,754.84
PL-265:2745.632 m.a.s.l.	1.530	252.7	13.1	2,923.64	2,754.84
PL-265:2749.751 m.a.s.l.	1.550	245.6	7.1	2,922.79	2,754.72
PL-266:2749.751 m.a.s.l.	1.550	245.6	7.1	2,922.79	2,754.72
PL-266:2752.111 m.a.s.l.	1.560	242.1	3.4	2,922.64	2,754.50
PL-267:2752.111 m.a.s.l.	1.560	242.1	3.4	2,922.64	2,754.50
PL-267:2754.472 m.a.s.l.	1.610	244.3	-0.2	2,926.59	2,754.33
PL-268:2754.472 m.a.s.l.	1.610	244.3	-0.2	2,926.59	2,754.33
PL-268:2756.832 m.a.s.l.	1.660	246.5	-1.7	2,930.47	2,755.62
PL-269:2756.832 m.a.s.l.	1.660	246.5	-1.7	2,930.47	2,755.62
PL-269:2759.192 m.a.s.l.	1.700	246.5	-0.9	2,932.87	2,758.56
PL-270:2759.192 m.a.s.l.	1.700	246.5	-0.9	2,932.87	2,758.56
PL-270:AV-9422	1.710	241.9	0.0	2,931.94	2,761.55
PL-271:AV-9422	1.710	241.9	0.0	2,931.94	2,761.55
PL-271:2765.371 m.a.s.l.	1.720	232.9	-10.1	2,929.41	2,758.26
PL-272:2765.371 m.a.s.l.	1.720	232.9	-10.1	2,929.41	2,758.26
PL-272:2765.377 m.a.s.l.	1.720	233.1	-10.1	2,929.57	2,758.26
PL-273:2765.377 m.a.s.l.	1.720	233.1	-10.1	2,929.57	2,758.26
PL-273:2765.383 m.a.s.l.	1.720	233.3	-10.1	2,929.75	2,758.27
PL-274:2765.383 m.a.s.l.	1.720	233.3	-10.1	2,929.75	2,758.27
PL-274:2765.39 m.a.s.l.	1.720	231.9	-10.1	2,928.75	2,758.27
PL-275:2765.39 m.a.s.l.	1.720	231.9	-10.1	2,928.75	2,758.27
PL-275:2765.396 m.a.s.l.	1.710	230.8	-10.1	2,928.01	2,758.28
PL-276:2765.396 m.a.s.l.	1.710	230.8	-10.1	2,928.01	2,758.28
PL-276:2765.403 m.a.s.l.	1.710	231.3	-10.1	2,928.32	2,758.29
PL-277:2765.403 m.a.s.l.	1.710	231.3	-10.1	2,928.32	2,758.29
PL-277:2765.409 m.a.s.l.	1.690	228.1	-10.1	2,926.12	2,758.29

Extreme Pressures and Heads

End Point	Upsurge Ratio	Max. Pressure (psi)	Min. Pressure (psi)	Max. Head (m)	Min. Head (m)
PL-278:2765.409 m.a.s.l.	1.690	228.1	-10.1	2,926.12	2,758.29
PL-278:2765.416 m.a.s.l.	1.700	228.5	-10.1	2,926.36	2,758.30
PL-279:2765.416 m.a.s.l.	1.700	228.5	-10.1	2,926.36	2,758.30
PL-279:2765.541 m.a.s.l.	1.710	227.1	-10.1	2,925.51	2,758.43
PL-280:2765.541 m.a.s.l.	1.710	227.1	-10.1	2,925.51	2,758.43
PL-280:2765.567 m.a.s.l.	1.750	232.2	-10.1	2,929.15	2,758.45
PL-281:2765.567 m.a.s.l.	1.750	232.2	-10.1	2,929.15	2,758.45
PL-281:2765.592 m.a.s.l.	1.850	243.8	-10.1	2,937.35	2,758.48
PL-282:2765.592 m.a.s.l.	1.850	243.8	-10.1	2,937.35	2,758.48
PL-282:2765.605 m.a.s.l.	1.930	255.1	-10.1	2,945.31	2,758.49
PL-283:2765.605 m.a.s.l.	1.930	255.1	-10.1	2,945.31	2,758.49
PL-283:2765.617 m.a.s.l.	1.920	253.2	-10.1	2,943.98	2,758.50
PL-284:2765.617 m.a.s.l.	1.920	253.2	-10.1	2,943.98	2,758.50
PL-284:2765.67 m.a.s.l.	1.860	243.3	-10.1	2,937.05	2,758.55
PL-285:2765.67 m.a.s.l.	1.860	243.3	-10.1	2,937.05	2,758.55
PL-285:2765.676 m.a.s.l.	1.880	245.5	-10.1	2,938.60	2,758.56
PL-286:2765.676 m.a.s.l.	1.880	245.5	-10.1	2,938.60	2,758.56
PL-286:2765.682 m.a.s.l.	1.860	243.1	-10.1	2,936.91	2,758.57
PL-287:2765.682 m.a.s.l.	1.860	243.1	-10.1	2,936.91	2,758.57
PL-287:2765.696 m.a.s.l.	1.840	240.4	-10.1	2,935.03	2,758.58
PL-288:2765.696 m.a.s.l.	1.840	240.4	-10.1	2,935.03	2,758.58
PL-288:2765.72 m.a.s.l.	1.840	239.7	-10.1	2,934.57	2,758.60
PL-289:2765.72 m.a.s.l.	1.840	239.7	-10.1	2,934.57	2,758.60
PL-289:2765.744 m.a.s.l.	1.850	239.4	-10.1	2,934.38	2,758.63
PL-290:2765.744 m.a.s.l.	1.850	239.4	-10.1	2,934.38	2,758.63
PL-290:2765.765 m.a.s.l.	1.870	242.0	-9.6	2,936.27	2,758.97
PL-291:2765.765 m.a.s.l.	1.870	242.0	-9.6	2,936.27	2,758.97
PL-291:2779.334 m.a.s.l.	2.020	220.7	-10.1	2,934.84	2,772.22
PL-292:2779.334 m.a.s.l.	2.020	220.7	-10.1	2,934.84	2,772.22
PL-292:2786 m.a.s.l.	2.310	230.0	-10.1	2,948.03	2,778.88

Extreme Pressures and Heads

End Point	Upsurge Ratio	Max. Pressure (psi)	Min. Pressure (psi)	Max. Head (m)	Min. Head (m)
PL-293:2786 m.a.s.l.	2.310	230.0	-10.1	2,948.03	2,778.88
PL-293:AV-9423	2.190	216.6	-0.1	2,938.58	2,785.92
PL-294:AV-9423	2.190	216.6	-0.1	2,938.58	2,785.92
PL-294:2786.005 m.a.s.l.	2.340	230.5	-10.1	2,948.35	2,778.89
PL-295:2786.005 m.a.s.l.	2.340	230.5	-10.1	2,948.35	2,778.89
PL-295:2786.006 m.a.s.l.	2.240	220.5	-10.1	2,941.36	2,778.89
PL-296:2786.006 m.a.s.l.	2.240	220.5	-10.1	2,941.36	2,778.89
PL-296:2786.007 m.a.s.l.	2.390	235.2	-10.1	2,951.67	2,778.89
PL-297:2786.007 m.a.s.l.	2.390	235.2	-10.1	2,951.67	2,778.89
PL-297:2786.008 m.a.s.l.	2.420	237.3	-9.2	2,953.21	2,779.56
PL-298:2786.008 m.a.s.l.	2.420	237.3	-9.2	2,953.21	2,779.56
PL-298:2786.01 m.a.s.l.	2.500	243.9	-6.1	2,957.85	2,781.70
PL-299:2786.01 m.a.s.l.	2.500	243.9	-6.1	2,957.85	2,781.70
PL-299:2788.877 m.a.s.l.	2.470	230.1	-6.6	2,950.96	2,784.19
PL-300:2788.877 m.a.s.l.	2.470	230.1	-6.6	2,950.96	2,784.19
PL-300:2791.372 m.a.s.l.	2.580	231.3	-9.1	2,954.31	2,784.98
PL-301:2791.372 m.a.s.l.	2.580	231.3	-9.1	2,954.31	2,784.98
PL-301:2800.993 m.a.s.l.	2.710	203.7	-10.1	2,944.52	2,793.88
PL-302:2800.993 m.a.s.l.	2.710	203.7	-10.1	2,944.52	2,793.88
PL-302:2804.303 m.a.s.l.	2.650	186.5	-10.1	2,935.67	2,797.19
PL-303:2804.303 m.a.s.l.	2.650	186.5	-10.1	2,935.67	2,797.19
PL-303:2807.612 m.a.s.l.	2.640	172.6	-10.1	2,929.20	2,800.50
PL-304:2807.612 m.a.s.l.	2.640	172.6	-10.1	2,929.20	2,800.50
PL-304:2818.272 m.a.s.l.	3.290	162.9	-10.1	2,933.03	2,811.16
PL-305:2818.272 m.a.s.l.	3.290	162.9	-10.1	2,933.03	2,811.16
PL-305:2819.421 m.a.s.l.	3.330	158.6	-10.1	2,931.15	2,812.31
PL-306:2819.421 m.a.s.l.	3.330	158.6	-10.1	2,931.15	2,812.31
PL-306:AV-9424	3.710	164.5	-0.5	2,937.46	2,821.27
PL-307:AV-9424	3.710	164.5	-0.5	2,937.46	2,821.27
PL-307:2,821.04 m.a.s.l.	3.260	146.5	-10.1	2,924.27	2,813.92
PL-308:2,821.04 m.a.s.l.	3.260	146.5	-10.1	2,924.27	2,813.92
PL-308:2,817.87 m.a.s.l.	3.220	155.9	-10.1	2,927.69	2,810.75

Extreme Pressures and Heads

End Point	Upsurge Ratio	Max. Pressure (psi)	Min. Pressure (psi)	Max. Head (m)	Min. Head (m)
PL-309:2,817.87 m.a.s.l.	3.220	155.9	-10.1	2,927.69	2,810.75
PL-309:2,816.54 m.a.s.l.	3.120	156.6	-10.1	2,926.86	2,809.42
PL-310:2,816.54 m.a.s.l.	3.120	156.6	-10.1	2,926.86	2,809.42
PL-310:2,815.22 m.a.s.l.	2.980	154.4	-10.1	2,924.01	2,808.10
PL-311:2,815.22 m.a.s.l.	2.980	154.4	-10.1	2,924.01	2,808.10
PL-311:2,812.13 m.a.s.l.	2.690	149.9	-2.1	2,917.71	2,810.63
PL-312:2,812.13 m.a.s.l.	2.690	149.9	-2.1	2,917.71	2,810.63
PL-312:2,812.19 m.a.s.l.	2.780	154.0	-10.1	2,920.66	2,805.07
PL-313:2,812.19 m.a.s.l.	2.780	154.0	-10.1	2,920.66	2,805.07
PL-313:2,814.73 m.a.s.l.	2.760	141.8	-10.1	2,914.62	2,807.61
PL-314:2,814.73 m.a.s.l.	2.760	141.8	-10.1	2,914.62	2,807.61
PL-314:2,818.04 m.a.s.l.	3.100	143.4	-9.2	2,919.07	2,811.55
PL-315:2,818.04 m.a.s.l.	3.100	143.4	-9.2	2,919.07	2,811.55
PL-315:2,819.04 m.a.s.l.	3.220	143.7	-10.1	2,920.24	2,811.92
PL-316:2,819.04 m.a.s.l.	3.220	143.7	-10.1	2,920.24	2,811.92
PL-316:2,821.20 m.a.s.l.	3.420	141.1	-10.1	2,920.62	2,814.08
PL-317:2,821.20 m.a.s.l.	3.420	141.1	-10.1	2,920.62	2,814.08
PL-317:2,830.17 m.a.s.l.	4.880	138.1	-10.1	2,927.46	2,823.05
PL-318:2,830.17 m.a.s.l.	4.880	138.1	-10.1	2,927.46	2,823.05
PL-318:2,830.30 m.a.s.l.	5.010	139.9	-10.1	2,928.88	2,823.18
PL-319:2,830.30 m.a.s.l.	5.010	139.9	-10.1	2,928.88	2,823.18
PL-319:AV-9425	4.530	121.7	-0.4	2,916.22	2,830.20
PS-03:R-1	1.000	1.4	1.4	2,596.87	2,596.87
PS-03:PMP-1	5.360	6.6	0.8	2,600.55	2,596.40
PS-02:R-1	1.000	1.4	1.4	2,596.87	2,596.87
PS-02:PMP-2	8.740	10.0	-0.3	2,602.95	2,595.68
PS-01:R-1	1.000	1.4	1.4	2,596.87	2,596.87
PS-01:PMP-3	11.340	12.1	-1.2	2,604.36	2,595.05
PD-01:PMP-3	1.000	461.9	-10.1	2,921.24	2,588.76
PD-01:2,592.54 m.a.s.l.	1.000	466.3	24.0	2,921.01	2,609.42
PL-320:AV-9425	4.530	121.7	-0.4	2,916.22	2,830.20
PL-320:2,830.97 m.a.s.l.	5.690	140.8	-10.1	2,930.15	2,823.85
PM-04:2591.788 m.a.s.l.	1.000	466.8	52.8	2,920.66	2,629.01
PM-04:2,592.54 m.a.s.l.	1.000	466.0	50.2	2,920.84	2,627.91

Extreme Pressures and Heads

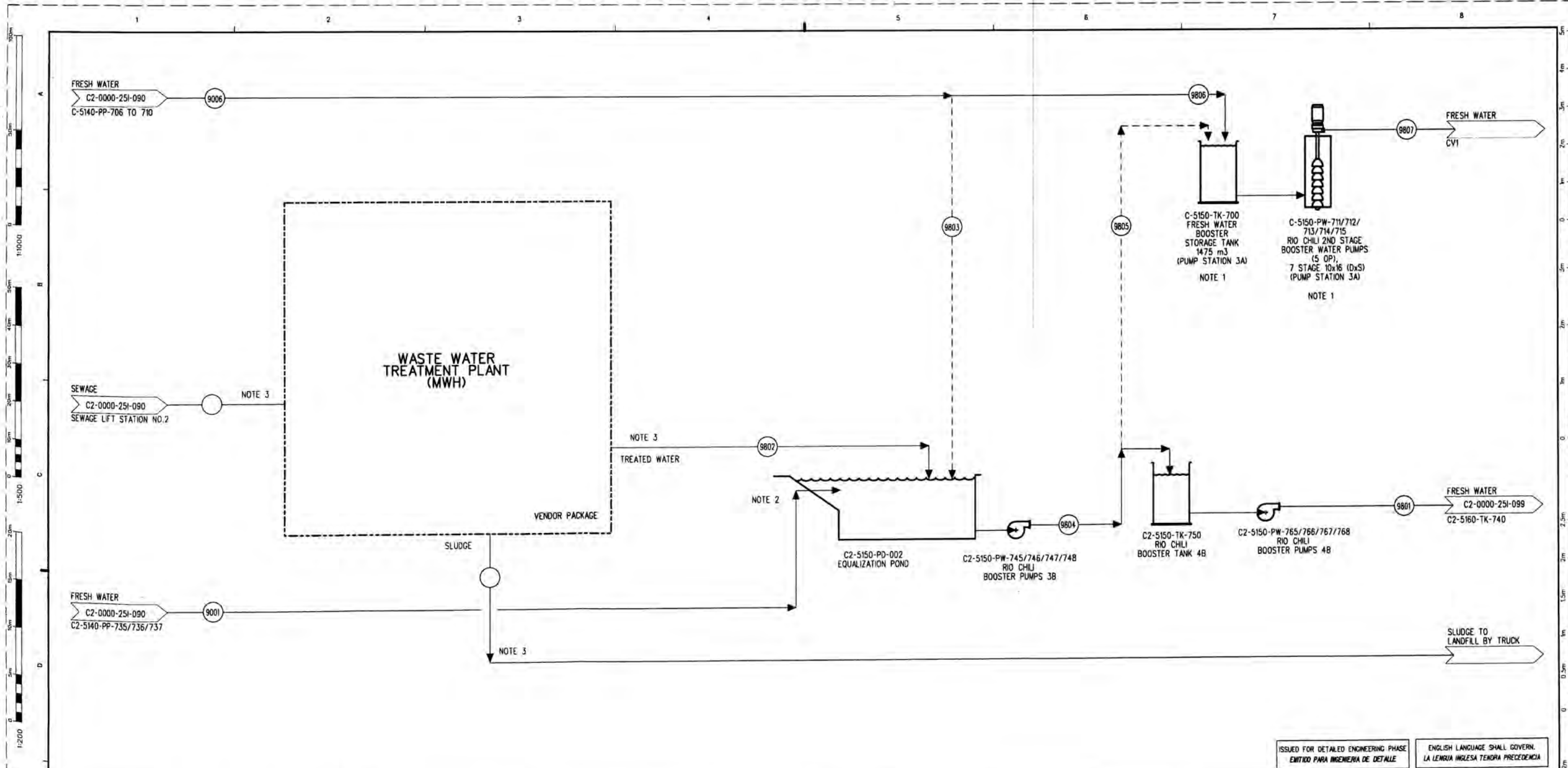
End Point	Upsurge Ratio	Max. Pressure (psi)	Min. Pressure (psi)	Max. Head (m)	Min. Head (m)
PM-03:2,592.54 m.a.s.l.	1.000	466.0	50.2	2,920.84	2,627.91
PM-03:2,592.54 m.a.s.l.	1.000	466.2	49.1	2,920.98	2,627.13
PM-02:2,592.54 m.a.s.l.	1.000	466.2	49.1	2,920.98	2,627.13
PM-02:2,592.54 m.a.s.l.	1.000	466.2	48.8	2,921.00	2,626.93
PM-01:2,592.54 m.a.s.l.	1.000	466.2	48.8	2,921.00	2,626.93
PM-01:2,592.54 m.a.s.l.	1.000	466.3	24.0	2,921.01	2,609.42
PD-02:PMP-2	1.000	461.8	-10.1	2,921.23	2,588.76
PD-02:2,592.54 m.a.s.l.	1.000	466.2	48.8	2,921.00	2,626.93
PD-03:PMP-1	1.000	461.8	-10.1	2,921.21	2,588.76
PD-03:2,592.54 m.a.s.l.	1.000	466.2	49.1	2,920.98	2,627.13
PL-321:2,830.97 m.a.s.l.	5.690	140.8	-10.1	2,930.15	2,823.85
PL-321:R-2	0.000	0.0	0.0	2,848.30	2,848.30
PL-SAV 01:SAV-01	1.000	461.3	41.5	2,920.84	2,625.11
PL-SAV 01:2,592.54 m.a.s.l.	1.000	466.0	50.2	2,920.84	2,627.91

PLANOS

1. 240K-C2-0000-25I-098: SISTEMA DE SUMINISTRO DE AGUA FRESCA – DIAGRAMA DE FLUJO DEL PROCESO – SISTEMA DE TRATAMIENTO DE AGUAS RESIDUALES.
2. 240K-C2-0000-25I-099: SISTEMA DE SUMINISTRO DE AGUA FRESCA – DIAGRAMA DE FLUJO DEL PROCESO TANQUE DE ALMACENAMIENTO DE AGUA.
3. 240K-C2-5100-25J-006: SISTEMA DE AGUA FRESCA – ESTACIÓN DE BOMBEO N° 4B – DIAGRAMA DE TUBERÍAS E INSTRUMENTACIÓN.
4. K067-C2-5150-50T-010: SISTEMA DE AGUA FRESCA – ARREGLO GENERAL DE TUBERÍAS – LINEA DE DESCARGA DESDE LA ESTACIÓN DE BOMBEO PS4B HASTA EL AREA DE ALMACENAMIENTO CV2 – PLANO INDICE.
5. K067-C2-5150-50T-011: SISTEMA DE AGUA FRESCA – LÍNEA DE DESCARGA DESDE LA ESTACIÓN DE BOMBEO PS4B HASTA EL ÁREA DE ALMACENAMIENTO CV2 – PLANTA Y PERFIL (1/16).
6. K067-C2-5150-50T-012: SISTEMA DE AGUA FRESCA – LÍNEA DE DESCARGA DESDE LA ESTACIÓN DE BOMBEO PS4B HASTA EL ÁREA DE ALMACENAMIENTO CV2 – PLANTA Y PERFIL (2/16).
7. K067-C2-5150-50T-013: SISTEMA DE AGUA FRESCA – LÍNEA DE DESCARGA DESDE LA ESTACIÓN DE BOMBEO PS4B HASTA EL ÁREA DE ALMACENAMIENTO CV2 – PLANTA Y PERFIL (3/16).
8. K067-C2-5150-50T-014: SISTEMA DE AGUA FRESCA – LÍNEA DE DESCARGA DESDE LA ESTACIÓN DE BOMBEO PS4B HASTA EL ÁREA DE ALMACENAMIENTO CV2 – PLANTA Y PERFIL (4/16).
9. K067-C2-5150-50T-015: SISTEMA DE AGUA FRESCA – LÍNEA DE DESCARGA DESDE LA ESTACIÓN DE BOMBEO PS4B HASTA EL ÁREA DE ALMACENAMIENTO CV2 – PLANTA Y PERFIL (5/16).
10. K067-C2-5150-50T-016: SISTEMA DE AGUA FRESCA – LÍNEA DE DESCARGA DESDE LA ESTACIÓN DE BOMBEO PS4B HASTA EL ÁREA DE ALMACENAMIENTO CV2 – PLANTA Y PERFIL (6/16).

11. K067-C2-5150-50T-017: SISTEMA DE AGUA FRESCA – LÍNEA DE DESCARGA DESDE LA ESTACIÓN DE BOMBEO PS4B HASTA EL ÁREA DE ALMACENAMIENTO CV2 – PLANTA Y PERFIL (7/16).
12. K067-C2-5150-50T-018: SISTEMA DE AGUA FRESCA – LÍNEA DE DESCARGA DESDE LA ESTACIÓN DE BOMBEO PS4B HASTA EL ÁREA DE ALMACENAMIENTO CV2 – PLANTA Y PERFIL (8/16).
13. K067-C2-5150-50T-019: SISTEMA DE AGUA FRESCA – LÍNEA DE DESCARGA DESDE LA ESTACIÓN DE BOMBEO PS4B HASTA EL ÁREA DE ALMACENAMIENTO CV2 – PLANTA Y PERFIL (9/16).
14. K067-C2-5150-50T-020: SISTEMA DE AGUA FRESCA – LÍNEA DE DESCARGA DESDE LA ESTACIÓN DE BOMBEO PS4B HASTA EL ÁREA DE ALMACENAMIENTO CV2 – PLANTA Y PERFIL (10/16).
15. K067-C2-5150-50T-021: SISTEMA DE AGUA FRESCA – LÍNEA DE DESCARGA DESDE LA ESTACIÓN DE BOMBEO PS4B HASTA EL ÁREA DE ALMACENAMIENTO CV2 – PLANTA Y PERFIL (11/16).
16. K067-C2-5150-50T-022: SISTEMA DE AGUA FRESCA – LÍNEA DE DESCARGA DESDE LA ESTACIÓN DE BOMBEO PS4B HASTA EL ÁREA DE ALMACENAMIENTO CV2 – PLANTA Y PERFIL (12/16).
17. K067-C2-5150-50T-023: SISTEMA DE AGUA FRESCA – LÍNEA DE DESCARGA DESDE LA ESTACIÓN DE BOMBEO PS4B HASTA EL ÁREA DE ALMACENAMIENTO CV2 – PLANTA Y PERFIL (13/16).
18. K067-C2-5150-50T-024: SISTEMA DE AGUA FRESCA – LÍNEA DE DESCARGA DESDE LA ESTACIÓN DE BOMBEO PS4B HASTA EL ÁREA DE ALMACENAMIENTO CV2 – PLANTA Y PERFIL (14/16).
19. K067-C2-5150-50T-025: SISTEMA DE AGUA FRESCA – LÍNEA DE DESCARGA DESDE LA ESTACIÓN DE BOMBEO PS4B HASTA EL ÁREA DE ALMACENAMIENTO CV2 – PLANTA Y PERFIL (15/16).
20. K067-C2-5150-50T-026: SISTEMA DE AGUA FRESCA – LÍNEA DE DESCARGA DESDE LA ESTACIÓN DE BOMBEO PS4B HASTA EL ÁREA DE ALMACENAMIENTO CV2 – PLANTA Y PERFIL (16/16).
21. K067-C2-5150-50T-033: SISTEMA DE AGUA FRESCA – FACILIDADES EN AREA DE ALMACENAMIENTO DE AGUA FRESCA Y CONTRAINCENDIOS – PLANTA.
22. K067-C2-5150-50Z-011: SISTEMA DE AGUA FRESCA – LÍNEA DE DESCARGA DESDE LA ESTACIÓN DE BOMBEO PS4B HASTA EL ÁREA DE ALMACENAMIENTO CV2 – SECCIONES.

23. K067-C2-5150-50Z-012: SISTEMA DE AGUA FRESCA – LÍNEA DE DESCARGA DESDE LA ESTACIÓN DE BOMBEO PS4B HASTA EL ÁREA DE ALMACENAMIENTO CV2 – SECCIONES.
24. K067-C2-5150-50Z-013: SISTEMA DE AGUA FRESCA – LÍNEA DE DESCARGA DESDE LA ESTACIÓN DE BOMBEO PS4B HASTA EL ÁREA DE ALMACENAMIENTO CV2 – SECCIONES.
25. K067-C2-5150-50Z-014: SISTEMA DE AGUA FRESCA – LÍNEA DE DESCARGA DESDE LA ESTACIÓN DE BOMBEO PS4B HASTA EL ÁREA DE ALMACENAMIENTO CV2 – SECCIONES Y DETALLES.
26. K067-C2-5150-50Z-015: SISTEMA DE AGUA FRESCA – LÍNEA DE DESCARGA DESDE LA ESTACIÓN DE BOMBEO PS4B HASTA EL ÁREA DE ALMACENAMIENTO CV2 – SECCIONES.
27. K067-C2-5150-50Z-016: SISTEMA DE AGUA FRESCA – TUBERIAS DE DESCARGA DE LA ESTACIÓN DE BOMBEO PS4B HASTA EL ÁREA DE ALMACENAMIENTO CV2 – SECCIONES Y DETALLES.
28. K067-C2-5150-50Z-017: SISTEMA DE AGUA FRESCA – LÍNEA DE DESCARGA DESDE LA ESTACIÓN DE BOMBEO PS4B HASTA EL ÁREA DE ALMACENAMIENTO CV2 – SECCIONES Y DETALLES.
29. K067-C2-5150-50Z-018: SISTEMA DE AGUA FRESCA – LÍNEA DE DESCARGA DESDE LA ESTACIÓN DE BOMBEO PS4B HASTA EL ÁREA DE ALMACENAMIENTO CV2 – SECCIONES Y DETALLES.
30. K067-C2-5150-50Z-020: SISTEMA DE AGUA FRESCA-TUBERIA DE DESCARGA DE LA ESTACIÓN DE BOMBEO PS4B HASTA EL ÁREA DE ALMACENAMIENTO CV2 – SECCIONES Y DETALLES.
31. K067-C2-5150-50Z-111: SISTEMA DE AGUA FRESCA – LÍNEA DE DESCARGA DESDE LA ESTACIÓN DE BOMBEO PS4B HASTA EL ÁREA DE ALMACENAMIENTO CV2 –DETALLES.



ISSUED FOR DETAILED ENGINEERING PHASE
EMITIDO PARA INGENIERIA DE DETALLE
ENGLISH LANGUAGE SHALL GOVERN.
LA LENGUA INGLESA TENDRA PRECEDENCIA

Stream No.	Description	Volume			Design		
		Ave.	Min.	Max.	m ³ /h	m ³ /h	m ³ /h
9001	FRESH WATER TO PUMP STATION 2B	0.0	0.0	1.620			
9006	FRESH WATER TO CV1	3.240	0.0	3.240			
9801	FRESH WATER TO FRESH WATER TANK	4.778	4.778	6.490			
9802	TREATED WATER TO EQUALIZATION POND	4.778	4.778	4.870			
9803	FRESH WATER TO RIO CHILI BOOSTER TANK 3B	0.0	0.0	1.620			
9804	FRESH WATER TO RIO CHILI BOOSTER TANK 4B	4.778	4.778	6.490			
9805	WWTP TREATED WATER TO CV1	0.0	0.0	3.240			
9806	FRESH WATER TO FRESH WATER BOOSTER STORAGE TANK	3240	0.0	3.240			
9807	FRESH WATER TO CV1	3240	0.0	3.240			

NOTES

- EQUIPMENT LABELED "C" ARE EXISTING EQUIPMENT LABELED "C2" ARE NEW
- LINE 9001 IS DUAL USE: IT CAN SUPPLY WATER FROM PS2B AND CAN ACT AS THE EQUALIZATION POND O/F.
- Pipeline by others (MWH).

LEGEND

- PROCESS FLOW LINE
- ALTERNATE, INTERMITTENT, OR BYPASS FLOW LINE
- UTILITY AND REAGENT FLOW LINE

REV	DATE	REVISION DESCRIPTION	DES. C.H.R.	APPROVED	REV	DATE	REVISION DESCRIPTION	DES. C.H.R.	APPROVED	REFERENCE DRAWING NO.	REFERENCE DRAWINGS
A	24JUN11	ISSUED FOR COMBINED REVIEW	AR		SW						
A1	10SEP11	ISSUED FOR COMBINED REVIEW - INTERM UPDATE	LQ	AUG	KM						
B	03NOV11	ISSUED FOR CLIENT REVIEW/PROJECT BASELINE	LFT	AUG	KM						
B1	04DEC11	RE-ISSUED FOR CLIENT REVIEW/PROJECT BASELINE	LFT	AUG	FF						
C	21FEB12	ISSUED FOR CLIENT APPROVAL	AL	AUG	KM						
D	04APR12	ISSUED FOR DESIGN	LFT	AUG	FF						



**sociedad minera
cerro verde s.a.a**
AREQUIPA - PERU
CERRO VERDE PRODUCTION UNIT EXPANSION

NOTICE: THIS DRAWING HAS NOT BEEN PUBLISHED AND IS THE SOLE PROPERTY OF FLUOR. AND IS LENT TO THE BORROWER FOR THEIR OWN USE. USE, COPIES, OR DISSEMINATION OF THIS DRAWING, THE BORROWER PROMISES AND AGREES TO RETURN IT UPON REQUEST AND AGREES THAT IT WILL NOT BE REPRODUCED, COPIED, LENT OR OTHERWISE DISPOSED OF DIRECTLY OR INDIRECTLY, NOR USED FOR ANY PURPOSE OTHER THAN THAT FOR WHICH IT IS FURNISHED.

FLUOR.

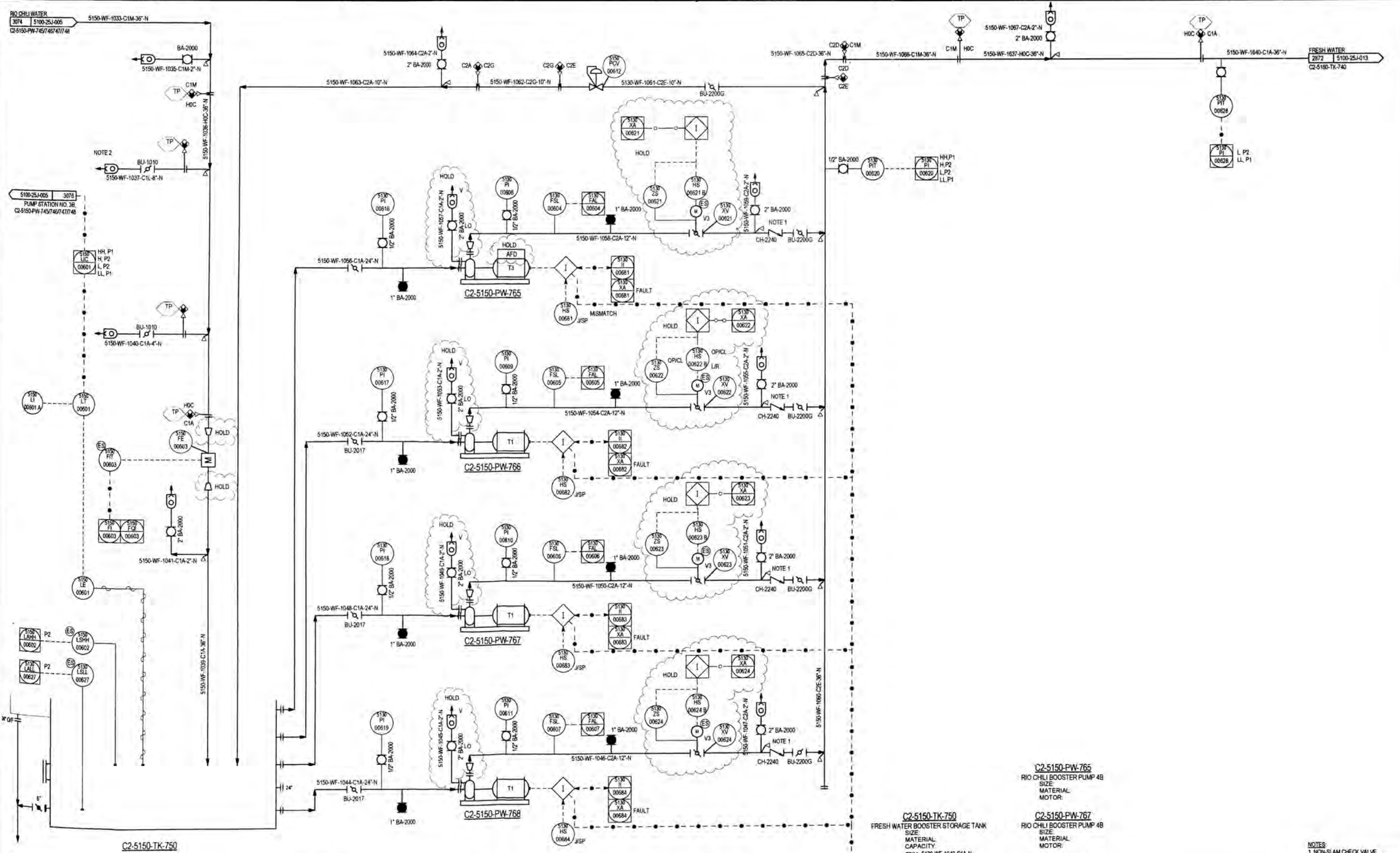
DESIGNED BY
L. TAMELIN
DRAWN BY
A. REGNault
CHECKED BY
J. LEVANHO
LEAD ENGINEER
A. GUNSON
APPROVAL DATE
04APR12

FRESH WATER SUPPLY SYSTEM
PROCESS FLOW DIAGRAM
WASTE WATER TREATMENT SYSTEM

AREA PROJECT ENGINEER
F. FIGUEROA
APPROVAL DATE
04APR12
ENGINEERING MANAGER
A. KING
APPROVAL DATE
04APR12
CLIENT
J. VANDERBEEK
APPROVAL DATE
04APR12
SCALE
NONE
DRAWING NUMBER
240K-C2-0000-251-098
REV
0
CONTRACT NO.

MANUAL CHANGES MADE: YES NO DWG. FILE UPDATED: YES NO MODEL UPDATED: YES NO CAD FILE NAME: P:\CAD\1226\PDFA\0000-251-098.DWG

DATE+TIME*



C2-5150-PW-765
RIO CHILI BOOSTER PUMP 4B
SIZE: MATERIAL: MOTOR:

C2-5150-PW-767
RIO CHILI BOOSTER PUMP 4B
SIZE: MATERIAL: MOTOR:

C2-5150-PW-766
FRESH WATER BOOSTER STORAGE TANK
SIZE: MATERIAL: CAPACITY: TRIM: 5130-WF-1042-C1A-N

C2-5150-PW-768
RIO CHILI BOOSTER PUMP 4B
SIZE: MATERIAL: MOTOR:

NOTES:
1. NON-SLAM CHECK VALVE
2. SEE CIVIL DWGS FOR ELEVATIONS
3. ALL MOTORIZED VALVES REQUIRE
INTERMEDIATE POSITION SWITCH

ISSUED FOR DETAILED ENGINEERING PHASE
EMITIDO PARA INGENIERIA DE DETALLE
ENGLISH LANGUAGE SHALL GOVERN
LA LENGUA INGLESA TENDRÁ PRECEDENCIA

REV	DATE	REVISION DESCRIPTION			DES	CHK	APPROVED	REV	DATE	REVISION DESCRIPTION			DES	CHK	APPROVED	REFERENCE DRAWING NO.	REFERENCE DRAWINGS	sociiedad minera cerro verde s.a.a	CERRO VERDE PRODUCTION UNIT EXPANSION	DRAWN BY	DRAFTED BY	FRESH WATER SYSTEM PUMP STATION NO. 4B PIPEING AND INSTRUMENTATION DIAGRAM			
		R.P.																							
A	13-Jul-11	ISSUED FOR COMBINED REVIEW																							
B	20-Dec-11	ISSUED FOR CLIENT REVIEW																							
C	30-Apr-12	ISSUED FOR CLIENT APPROVAL																							
D	23-May-12	ISSUED FOR DESIGN																							

NOTICE: THIS DRAWING HAS NOT BEEN PUBLISHED AND IS THE SOLE PROPERTY OF FLUOR AND IS LOANED TO THE BORROWER FOR THEIR CONFIDENTIAL USE ONLY, AND IN CONSIDERATION OF THE LOAN OF THIS DRAWING, THE BORROWER PROMISES AND AGREES TO RETURN IT UPON REQUEST AND AGREES THAT IT WILL NOT BE REPRODUCED, COPIED, LENT OR OTHERWISE DISPOSED OF DIRECTLY OR INDIRECTLY, NOR USED FOR ANY OTHER PURPOSE OTHER THAN WHICH IT IS FURNISHED.

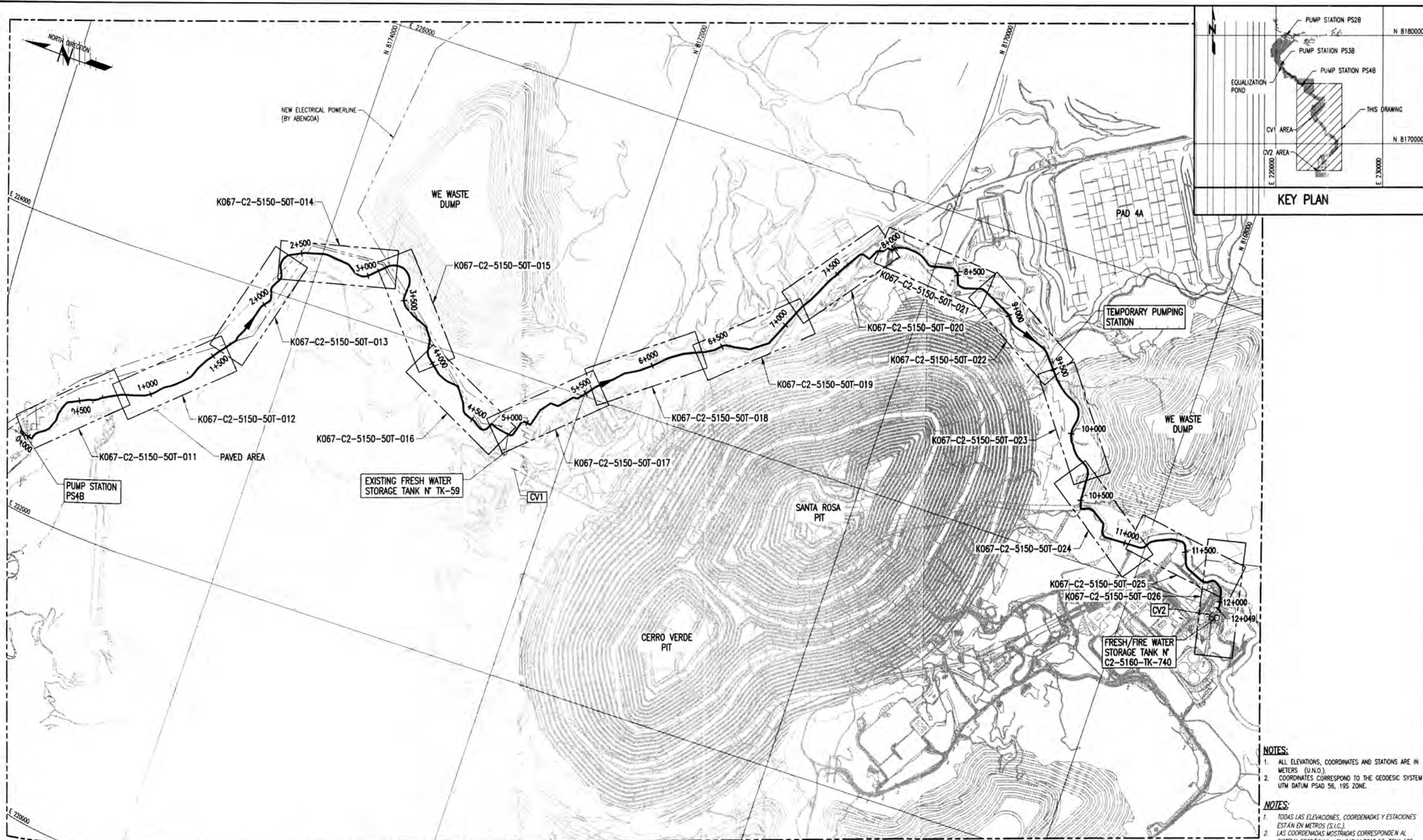
FLUOR.

240K-C2-5100-25J-006

REV 0

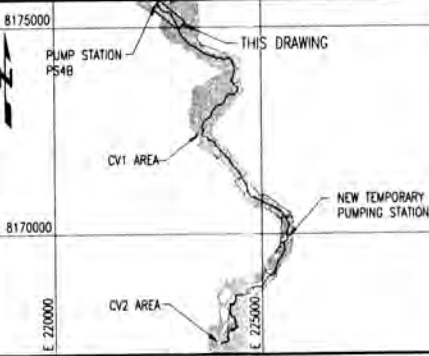
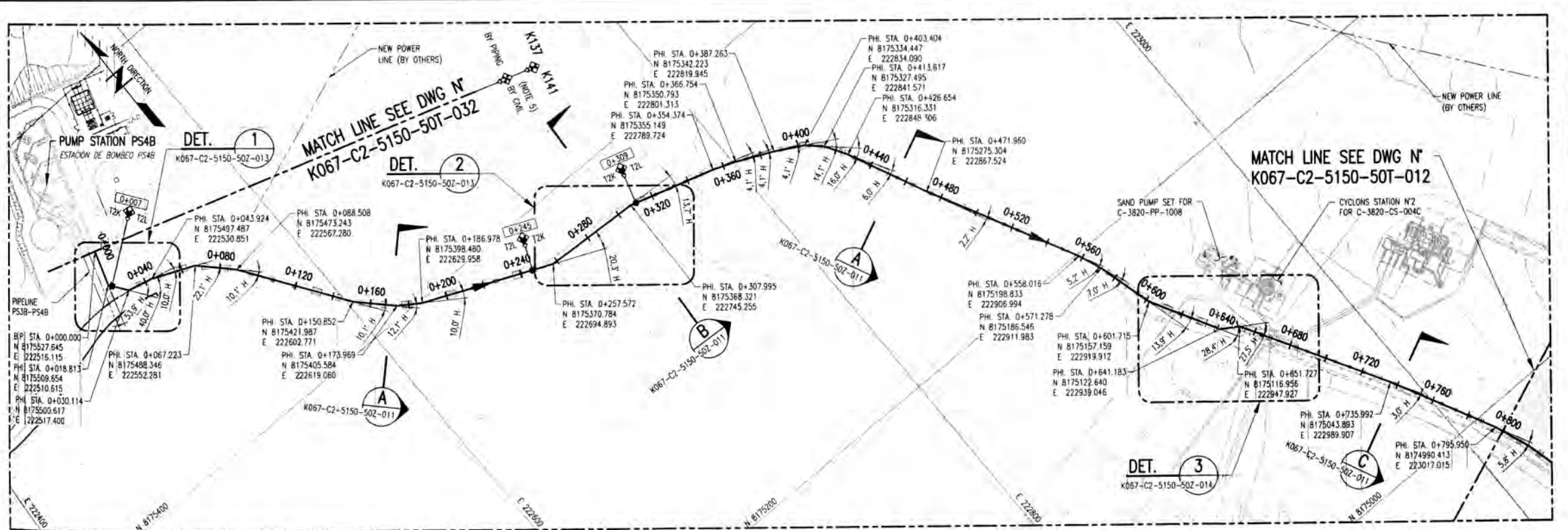
CONTRACT NO:

INDUS. E120



ENGLISH LANGUAGE SHALL GOVERN
LA LENGUA INGLESA TENDRA PREFERENCIA

REV	DATE	REVISION DESCRIPTION	DES. CHK.	APPROVED	REV.	DATE	REVISION DESCRIPTION	DES. CHK.	APPROVED	REFERENCE DRAWING No.	REFERENCE DRAWINGS		DRAWN BY	APPROVAL DATE	FRESH WATER SYSTEM PIPELINE DISCHARGE FROM PS4B TO CV2 INDEX PLAN				
														DESIGNED BY	APPROVAL DATE				
										K067-C2-5150-50T-10C-004	FRESH WATER SYSTEM - CIVIL - CORRIDOR PIPELINE PS4B TO WATER TANK - GENERAL ARRANGEMENT								
														CHECK DESIGN	APPROVAL DATE				
														LEAD ENGINEER	APPROVAL DATE				
													ENGINEERING MANAGER	APPROVAL DATE					
												CLIENT	APPROVAL DATE	SCALE 1:12500	DRAWING NUMBER K067-C2-5150-50T-010	REV 0			



LEGEND FOR "PIPELINE DETAILS" BAND (PROFILE VIEW)	
SYMBOL	DESCRIPTION
—	PIPE INSTALLED WITHOUT CASING TUBERIA SIN "CAMSIA DE PROTECCION"
—	PIPE INSTALLED WITH CASING TUBERIA CON "CAMSIA DE PROTECCION"
—	FLANGED JOINT JUNTA BRIDADA
—	WELDED JOINT JUNTA SOLDADA
—	CHANGE OF MATERIAL CAMBIO DE MATERIAL
—	SUPPLY RESPONSIBILITY LIMITE DE RESPONSABILIDAD DE SUMINISTRO
—	CONSTRUCTION STATUS ESTADO DE CONSTRUCCION

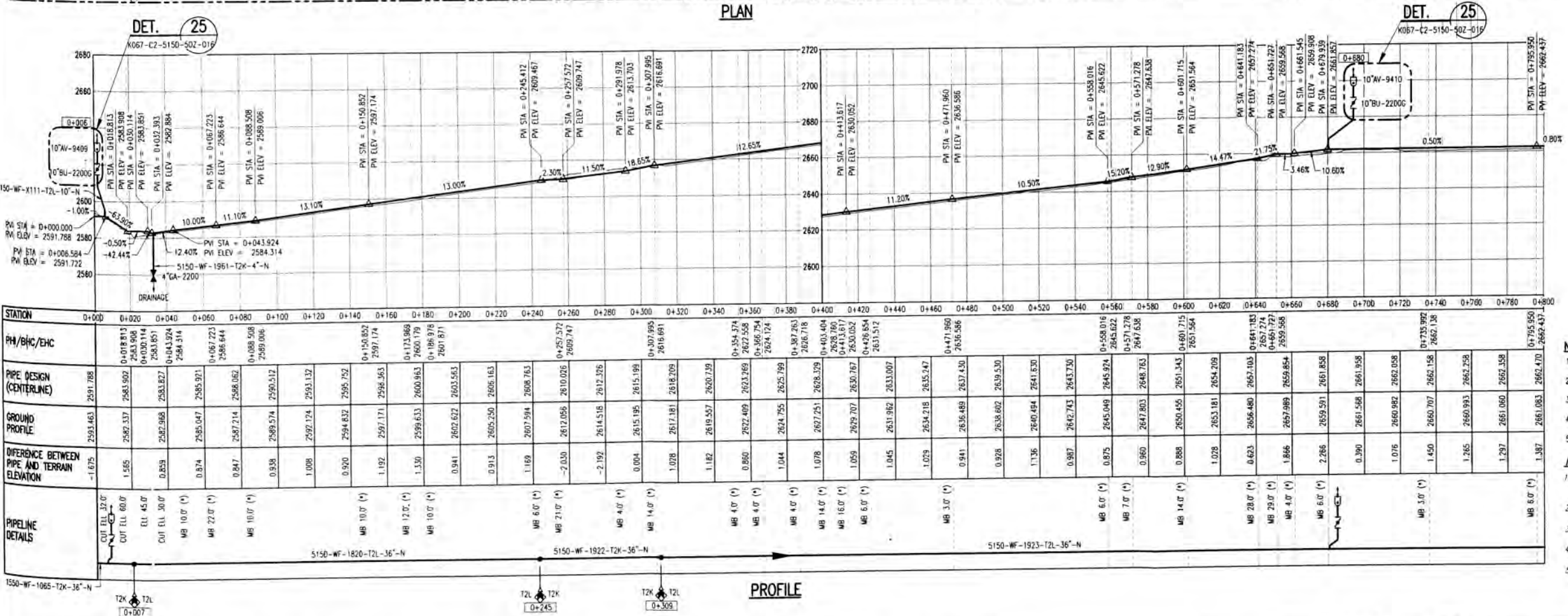


TABLE OF ABBREVIATIONS	
BP	BEGIN OF PIPELINE INICIO DE LA TUBERIA DE IMPULSION
EP	END OF PIPELINE FINAL DE LA TUBERIA DE IMPULSION
STA	POINT OF HORIZONTAL INTERSECTION PUNTO DE INTERSECCION HORIZONTAL
ELEV	ELEVATION ALTURA
PHI	POINT OF VERTICAL INTERSECTION PUNTO DE INTERSECCION VERTICAL
BHC	BEGIN OF HORIZONTAL CURVE INICIO DE CURVA HORIZONTAL
EHC	END OF HORIZONTAL CURVE FINAL DE CURVA HORIZONTAL
PVI	POINT OF FLANGED JOINT INICIO DE UNA CURVA RECORDADA
BVC	BEGIN OF VERTICAL CURVE INICIO DE CURVA VERTICAL
EVC	END OF VERTICAL CURVE FINAL DE CURVA VERTICAL
ELL	ELLBOW LONG RADIUS CODIGO RADIO LARGO
MB	MITER BEND CODIGO MITRADO
CUT ELL	CUT ELLBOW LONG RADIUS CODIGO RADIO LARGO RECORDADO
BFLG	BEND FLANGED AWNA C110 CURVA BRIDADA AWNA C110
H	HORIZONTAL HORIZONTAL
V	VERTICAL VERTICAL

NOTES:

1. ALL DIMENSIONS ARE IN MILLIMETERS.
2. ALL ELEVATIONS AND COORDINATES ARE IN METERS (U.N.O.).
3. FOR PIPING SUPPORTS ARRANGEMENT SEE DWG N° K067-C2-5150-50T-111.
4. (*) FOR MITER BEND DETAILS SEE DWG N° K067-C2-5150-50Z-019/023.
5. FOR SUPPLY RESPONSIBILITY AND CONSTRUCTION STATUS SEE DWG N° K067-C2-5150-50T-032.

NOTAS:

1. TODAS LAS DIMENSIONES ESTAN EN MILIMETROS.
2. TODAS LAS ELEVACIONES Y COORDENADAS ESTAN EN METROS (S.I.).
3. LAS COORDENADAS MOSTRADAS CORRESPONDEN AL SISTEMA GEODESICO UTM DATUM PSD45 ZONA 19S.
4. VER ARREGLO DE SOPORTES DE TUBERIAS EN EL PLANO N° K067-C2-5150-50T-111.
5. (*) VER DETALLES DE CODOS MITRADOS EN LOS PLANOS N° K067-C2-5150-50Z-019/023.

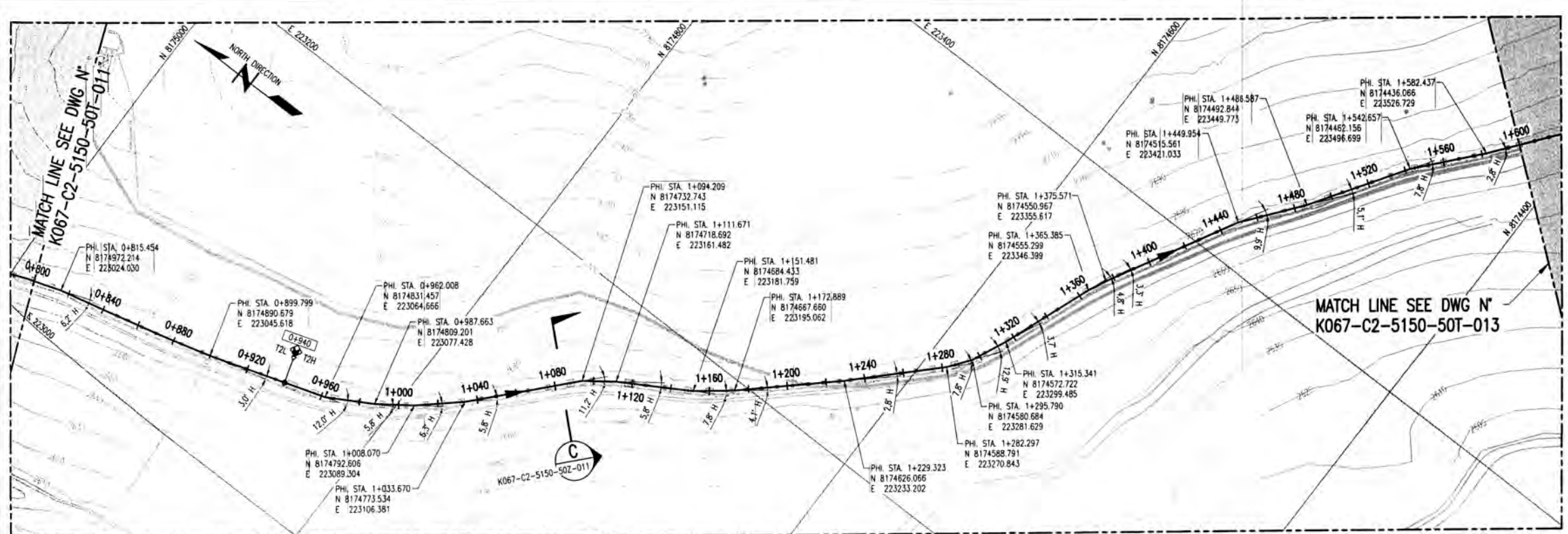
6. PARA LIMITES DE RESPONSABILIDAD Y ESTATUS DE CONSTRUCCION VER PLANO N° K067-C2-5150-50T-032.

ENGLISH LANGUAGE SHALL GOVERN
LA LENGUA INGLESA TENDRA PRECEDENCIA

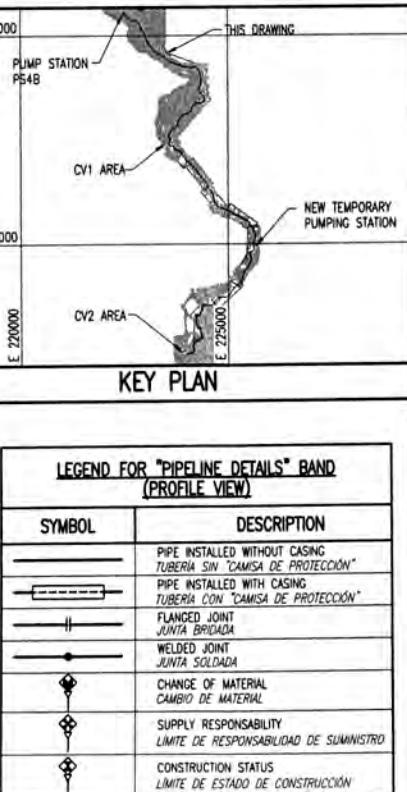
REV.	DATE	REVISION DESCRIPTION		DES. CHK	APPROVED	REV.	DATE	REVISION DESCRIPTION		DES. CHK	APPROVED	REFERENCE DRAWING No.	REFERENCE DRAWINGS	DRAWN BY	APPROVAL DATE
		CHK	CHK					CHK	CHK						
												240K-C2-5100-25J-006	FRESH CONSTRUCTION WATER PIPING AND INSTRUMENTATION DIAGRAM		
												K067-C2-5100-50L-001	FRESH WATER SYSTEM - PIPING GENERAL ARRANGEMENT - INDEX PLAN		
												K067-C2-5150-50T-111	FRESH WATER SYSTEM - PIPING SUPPORT ARRANGEMENT - PIPELINE DISCHARGE PS4B TO CV2		
												K067-C2-5150-50T-032	FRESH WATER SYSTEM - PUMP STATION N°48 - PIPING LAYOUT - PLAN		
												K067-C2-5150-50T-10C-004	FRESH WATER SYSTEM - CML - CORRIDOR PIPELINE PS4B TO WATER TANK - GENERAL ARRANGEMENT		

FRESH WATER SYSTEM
PIPING ARRANGEMENT
PIPELINE DISCHARGE FROM PS4B TO CV2
PLAN & PROFILE (1/16)

SISTEMA DE AGUA FRESCA
ARREGLO DE TUBERIAS - LINEA DE DESCARGA DESDE LA ESTACION DE BOMBEO PS4B HASTA EL AREA DE ALMACENAMIENTO CV2 - PLANTA Y PERFILE (1/16)



PLAN



LEGEND FOR "PIPELINE DETAILS" BAND
(PROFILE VIEW)

SYMBOL	DESCRIPTION
— — —	PIPE INSTALLED WITHOUT CASING TUBERIA SIN "CAMSIA DE PROTECCION"
— — — — —	PIPE INSTALLED WITH CASING TUBERIA CON "CAMSIA DE PROTECCION"
— —	FLANCED JOINT JUNTA BRIDADA
— ● —	WELDED JOINT JUNTA SOLDADA
◆ ◆ ◆	CHANGE OF MATERIAL CAMBIO DE MATERIAL
◆ ◆ ◆	SUPPLY RESPONSABILITY LIMITE DE RESPONSABILIDAD DE SUMINISTRO
◆ ◆ ◆	CONSTRUCTION STATUS LIMITE DE ESTADO DE CONSTRUCCION

TABLE OF ABBREVIATIONS

BEGIN OF PIPELINE
 INICIO DE LA TUBERIA DE IMPULSION
END OF PIPELINE
 FIN DE LA TUBERIA DE IMPULSION
STATION
 ESTACION
ELEVATION
 ELEVACION

POINT OF HORIZONTAL INTERSECTION
 PUNTO DE INTERSECCION HORIZONTAL
BEGIN OF HORIZONTAL CURVE
 INICIO DE CURVA HORIZONTAL
END OF HORIZONTAL CURVE
 FINAL DE CURVA HORIZONTAL

POINT OF VERTICAL INTERSECTION
 PUNTO DE INTERSECCION VERTICAL
BEGIN OF VERTICAL CURVE
 INICIO DE CURVA VERTICAL
END OF VERTICAL CURVE
 FINAL DE CURVA VERTICAL

ELLBOW LONG RADIUS
 CODIGO RADIO LARGO
MITER BEND
 CODIGO BRIDADO
CUT ELLBOW LONG RADIUS
 CODIGO RADIO LARGO RECORTADO
BEND FLANGED ANNA C110
 CURVA BRIDADA ANNA C110
HORIZONTAL
 HORIZONTAL
VERTICAL
 VERTICAL

NOTES:

1. ALL DIMENSIONS ARE IN MILLIMETERS.
ALL ELEVATIONS AND COORDINATES ARE IN METERS
(U.N.O.).
 2. COORDINATES CORRESPOND TO THE GEODESIC SYSTEM
UTM DATUM PSD 56, 195 ZONE.
 3. FOR PIPING SUPPORTS ARRANGEMENT SEE DWG
N° K057-C2-1550-50T-112.
 4. (*) FOR MITER BENDS DETAILS SEE DWG
N° K057-C2-1550-E07-010/023.

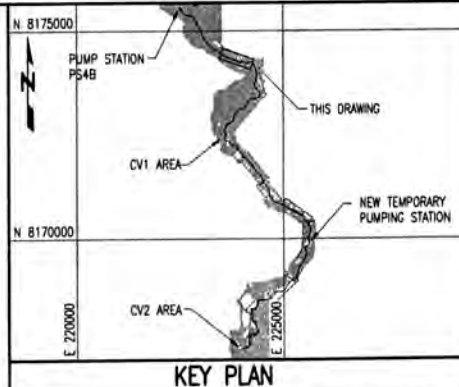
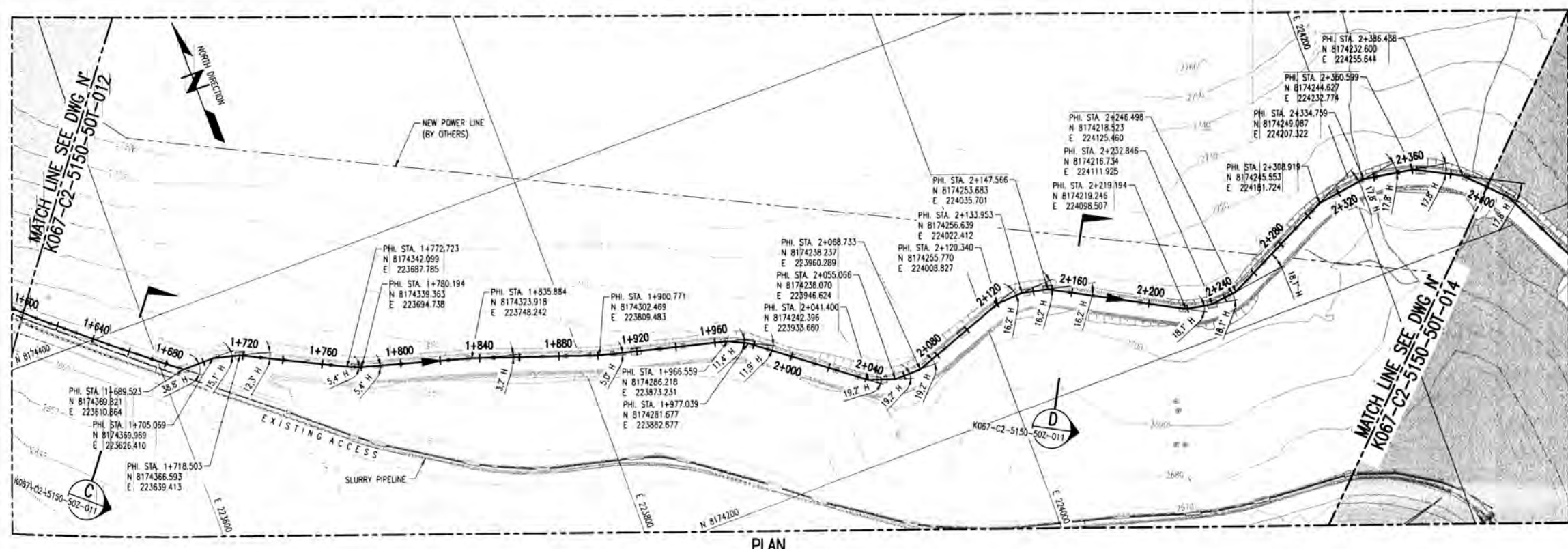
Nº 1

1. TODAS LAS DIMENSIONES ESTÁN EN MILÍMETROS.
TODAS LAS ELEVACIONES Y COORDENADAS ESTÁN EN MÉTRICAS (S.I.C.).
 2. LAS COORDENADAS MOSTRADAS CORRESPONDEN AL SISTEMA GEODESICO UTM DATUM PSAD 56, ZONA 19S.
 3. VER ARREGLO DE SOPORTES DE TUBERÍAS EN LOS PLANOS N° K067-C2-5150-007-112.
 4. (*) VER DETALLES DE CODOS MITRADOS EN LOS PLANOS N° K067-C2-5150-007-019/023.

ENGLISH LANGUAGE SHALL GOVERN
LA LENGUA INGLESA TENDRÁ PRECEDENCIA

PROFILE

REV.	DATE	REVISION DESCRIPTION	DES. CHK.	APPROVED	REV.	DATE	REVISION DESCRIPTION	DES. CHK.	APPROVED	REFERENCE DRAWING No.	REFERENCE DRAWINGS				DRAWN BY	APPROVAL DATE	FRESH WATER SYSTEM PIPING ARRANGEMENT			
															DESIGNED BY	APPROVAL DATE	PIPELINE DISCHARGE FROM PS4B TO CV2 PLAN & PROFILE (2/16)			
										240K-C2-5100-25J-018	FRESH CONSTRUCTION WATER PIPING AND INSTRUMENTATION DIAGRAM									
										K067-C2-5100-50L-001	FRESH WATER SYSTEM - PIPING GENERAL ARRANGEMENT - INDEX PLAN									
										K067-C2-5150-50T-112	FRESH WATER SYSTEM - PIPING SUPPORT ARRANGEMENT - PIPELINE DISCHARGE PS4B TO CV2									
										K067-C2-5150-50T-10C-004	FRESH WATER SYSTEM - CIVIL - CORRIDOR PIPELINE PS4B TO WATER TANK - GENERAL ARRANGEMENT									
																LEAD ENGINEER	APPROVAL DATE	SISTEMA DE AGUA FRESCA		
																ENGINEERING MANAGER	APPROVAL DATE	ARREGLO DE TUBERIAS - LINEA DE DESCARGA DESDE LA ESTACION DE BOMBEO PS4B HASTA EL AREA DE ALMACENAMIENTO CV2 - PLANTA Y PERFIL (2/16)		
																CLIENT	APPROVAL DATE	SCALE	DRAWING NUMBER	REV.
																	1:1250	K067-C2-5150-50T-012	1	



LEGEND FOR "PIPELINE DETAILS" BAND
(PROFILE VIEW)

SYMBOL	DESCRIPTION
	PIPE INSTALLED WITHOUT CASING TUBERIA SIN "CAMSIA DE PROTECCION"
	PIPE INSTALLED WITH CASING TUBERIA CON "CAMSIA DE PROTECCION"
	FLANGED JOINT JUNTA BRIDADA
	WELDED JOINT JUNTA SOLDADA
	CHANGE OF MATERIAL CAMBIO DE MATERIAL
	SUPPLY RESPONSIBILITY LIMITE DE RESPONSABILIDAD DE SUMINISTRO
	CONSTRUCTION STATUS LIMITE DE ESTADO DE CONSTRUCCION

TABLE OF ABBREVIATIONS

BEGIN	OF PIPELINE
INICIO	DE LA TUBERIA DE IMPULSION
END	DE PIPELINE
FINAL	DE LA TUBERIA DE IMPULSION
STATION	ESTACION
ELEVATION	ELEVACION
EV	
POINT	OF HORIZONTAL INTERSECTION
PUNTO	DE INTERSECCION HORIZONTAL
BEGIN	OF HORIZONTAL CURVE
INICIO	DE CURVA HORIZONTAL
NC	
END	OF HORIZONTAL CURVE
FINAL	DE CURVA HORIZONTAL
VC	
POINT	OF VERTICAL INTERSECTION
PUNTO	DE INTERSECCION VERTICAL
BEGIN	OF VERTICAL CURVE
INICIO	DE CURVA VERTICAL
VC	
END	OF VERTICAL CURVE
FINAL	DE CURVA VERTICAL
VL	
ELLBOW	LONG RADIUS
CODO	RADIO LARGO
B	
MITER	BEND
CODO	MITRADO
ELL	
CUT	ELLBOW LONG RADIUS
CODO	RADIO LARGO RECORTADO
FLG	
BEND	FLANGED ANWA C110
BRIDGED	ANWA C110
BRIDGA	
HORIZONTAL	HORIZONTAL
VERTICAL	VERTICAL

NOTES:

1. ALL DIMENSIONS ARE IN MILLIMETERS.
2. ALL ELEVATIONS AND COORDINATES ARE IN METERS (U.N.O.).
3. COORDINATES CORRESPOND TO THE GEODESIC SYSTEM UTM DATUM PSAD 56, 195 ZONE.
4. FOR PIPING SUPPORT ARRANGEMENT SEE DWG N° K067-C2-5150-501-113.
4. (*) FOR MITER BEND DETAILS SEE DWG N° K067-C2-5150-502-019/023.

NOTAS:

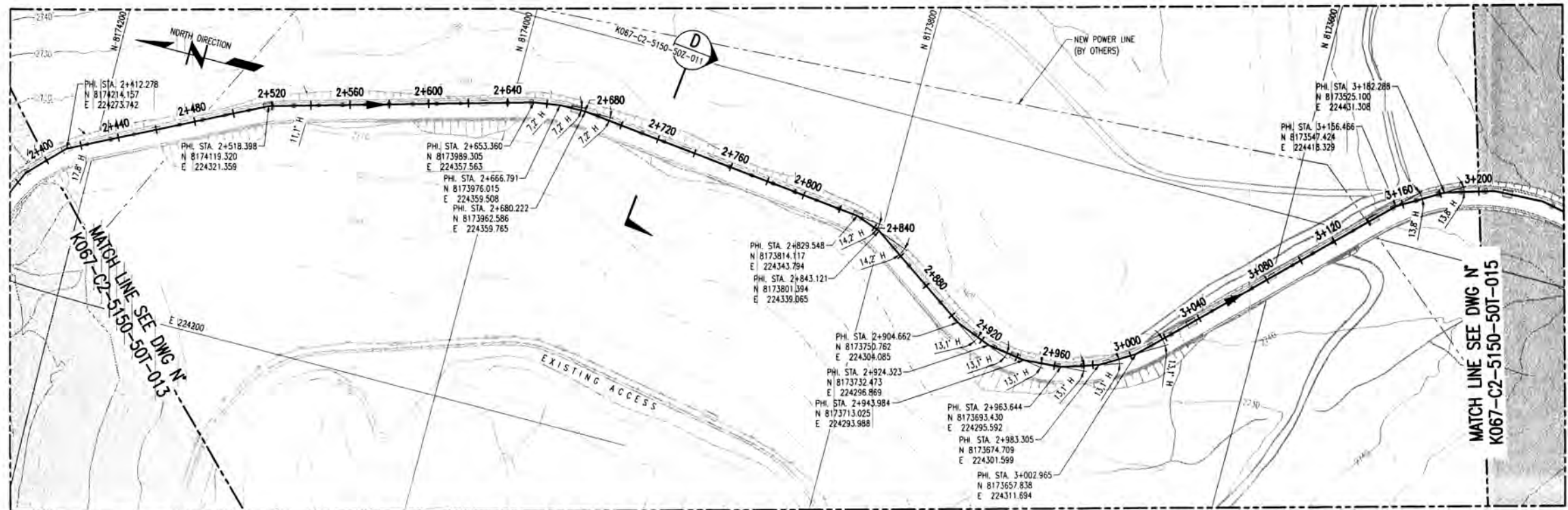
1. TODAS LAS DIMENSIONES ESTÁN EN MILÍMETROS.
TODAS LAS ELEVACIONES Y COORDENADAS ESTAN EN METROS (S.I.C.).
2. LAS COORDENADAS MOSTRADAS CORRESPONDEN AL SISTEMA GEODESICO UTM DATUM PSAD 56, ZONA 19S.
3. VER ARREGLO DE SOPORTES DE TUBERIAS EN EL PLANO N° K067-C2-5150-507-113.
4. (*) VER DETALLES DE CODOS MITRADOS EN LOS PLANOS 14 K037-C8-5150-010-033.

PROFILE

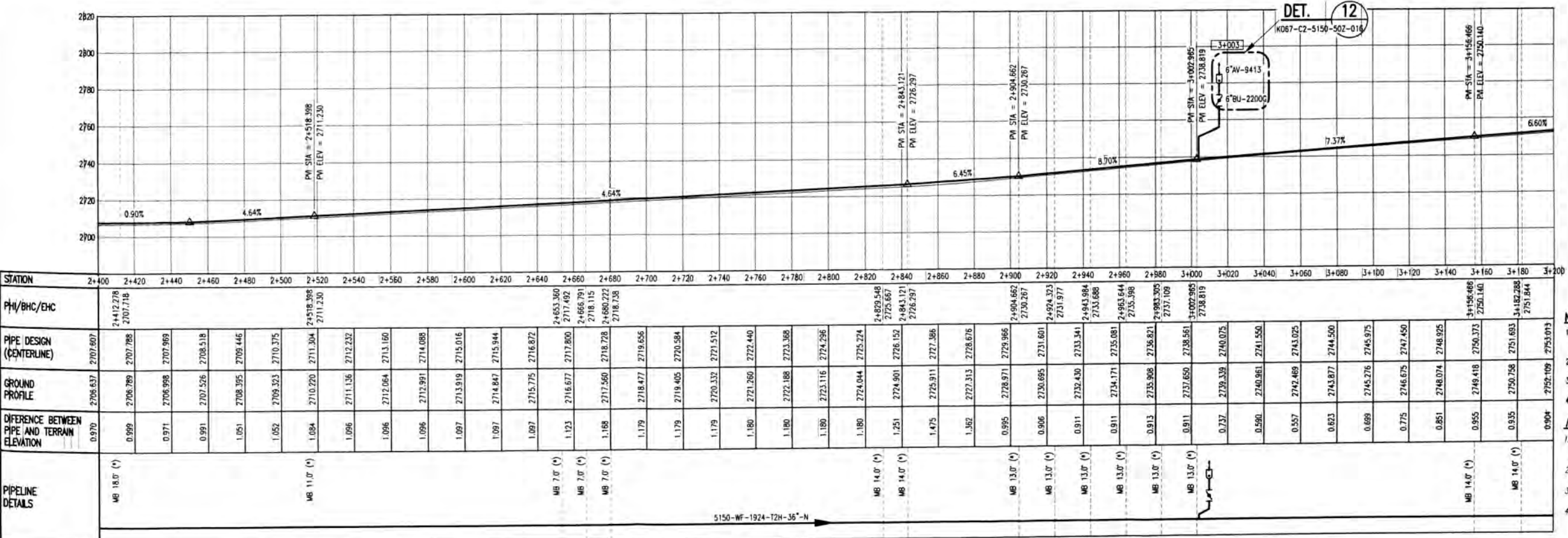
DES. APPROVAL BY
REFERENCE DOCUMENTS APPROVAL DATE

**FRESH WATER SYSTEM
PIPING ARRANGEMENT
PIPELINE DISCHARGE FROM PS4B TO CV2
PLAN & PROFILE (3/16)**

SISTEMA DE AGUA FRESCA
ARREGLO DE TUBERIAS - LINEA DE DESCARGA DESDE
LA ESTACION DE BOMBEO PS4B HASTA EL AREA DE
ALMACENAMIENTO CV2 - PLANTA Y PERFILE (3/16)
SCALE 1:1250 DRAWING NUMBER K067-C2-5150-50T-013



PLAN

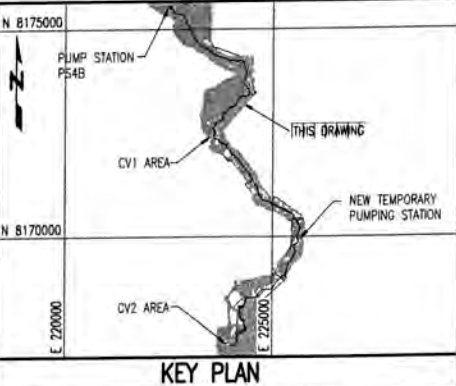
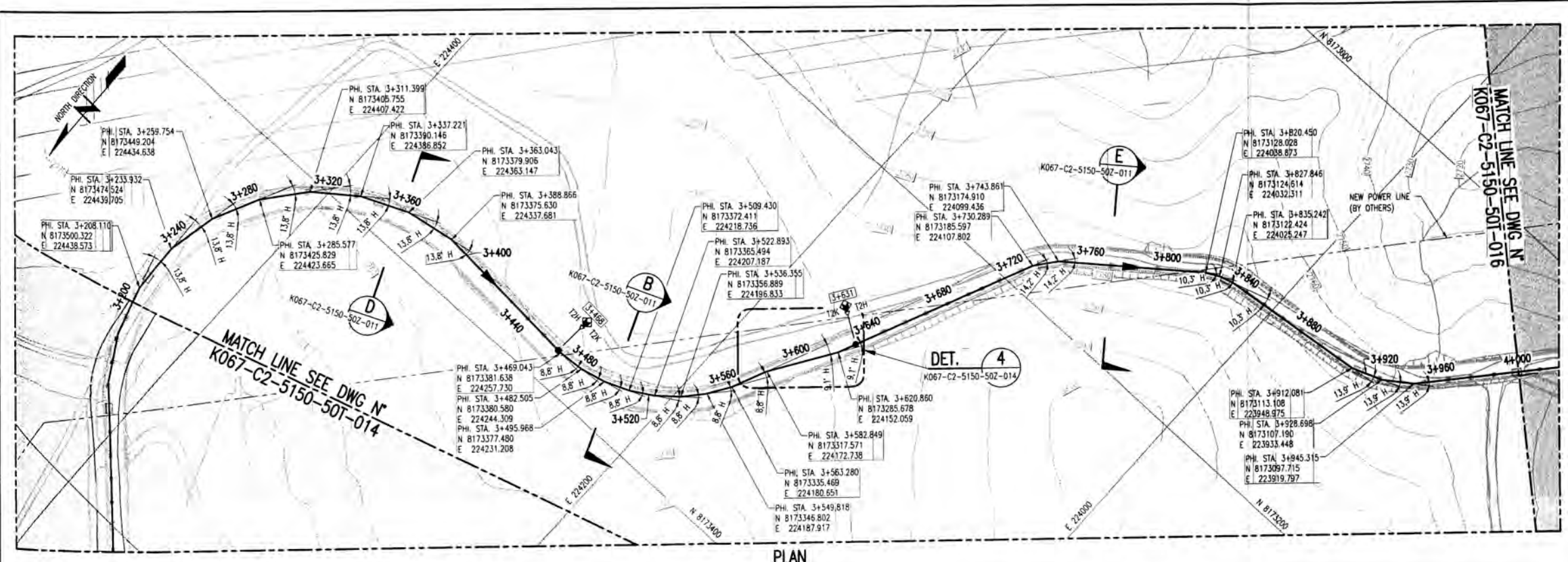


PROFILE

ENGLISH LANGUAGE SHALL GOVERN
LA LENGUA INGLESA TENDRÁ PRECEDENCIA

FRESH WATER SYSTEM
PIPING ARRANGEMENT
PIPELINE DISCHARGE FROM PS4B TO CV2

PLAN & PROFILE (4/16)
SISTEMA DE AGUA FRESCA



LEGEND FOR "PIPELINE DETAILS" BAND
(PROFILE VIEW)

SYMBOL	DESCRIPTION
	PIPE INSTALLED WITHOUT CASING TUBERIA SIN "CAMSIA DE PROTECCIÓN"
	PIPE INSTALLED WITH CASING TUBERIA CON "CAMSIA DE PROTECCIÓN"
	FLANGED JOINT JUNTA BROCADA
	WELDED JOINT JUNTA SOLDADA
	CHANGE OF MATERIAL CAMBIO DE MATERIAL
	SUPPLY RESPONSIBILITY LIMITE DE RESPONSABILIDAD DE SUMINISTRO
	CONSTRUCTION STATUS LIMITE DE ESTADO DE CONSTRUCCIÓN

TABLE OF ABBREVIATIONS

BP	BEGIN OF PIPELINE INICIO DE LA TUBERIA DE IMPULSION
EP	END OF PIPELINE FINAL DE LA TUBERIA DE IMPULSION
STA	STATION ESTACION
ELEV	ELEVATION ELEVACION
PHI	POINT OF HORIZONTAL INTERSECTION PUNTO DE INTERSECCION HORIZONTAL
BHC	BEGIN OF HORIZONTAL CURVE INICIO DE CURVA HORIZONTAL
EHC	END OF HORIZONTAL CURVE FINAL DE CURVA HORIZONTAL
PVI	POINT OF VERTICAL INTERSECTION PUNTO DE INTERSECCION VERTICAL
BVC	BEGIN OF VERTICAL CURVE INICIO DE CURVA VERTICAL
EVC	END OF VERTICAL CURVE FINAL DE CURVA VERTICAL
ELL	ELBOW LONG RADIUS CODO RADIO LARGO
MB	MITER BEND CODO MITRADO
CUT ELL	CUT ELBOW LONG RADIUS CODO RADIO LARGO RECORTADO
BFLG	BEND FLANCED AWHA C110 CURVA BRIDADA AWHA C110
H	HORIZONTAL HORIZONTAL
V	VERTICAL VERTICAL

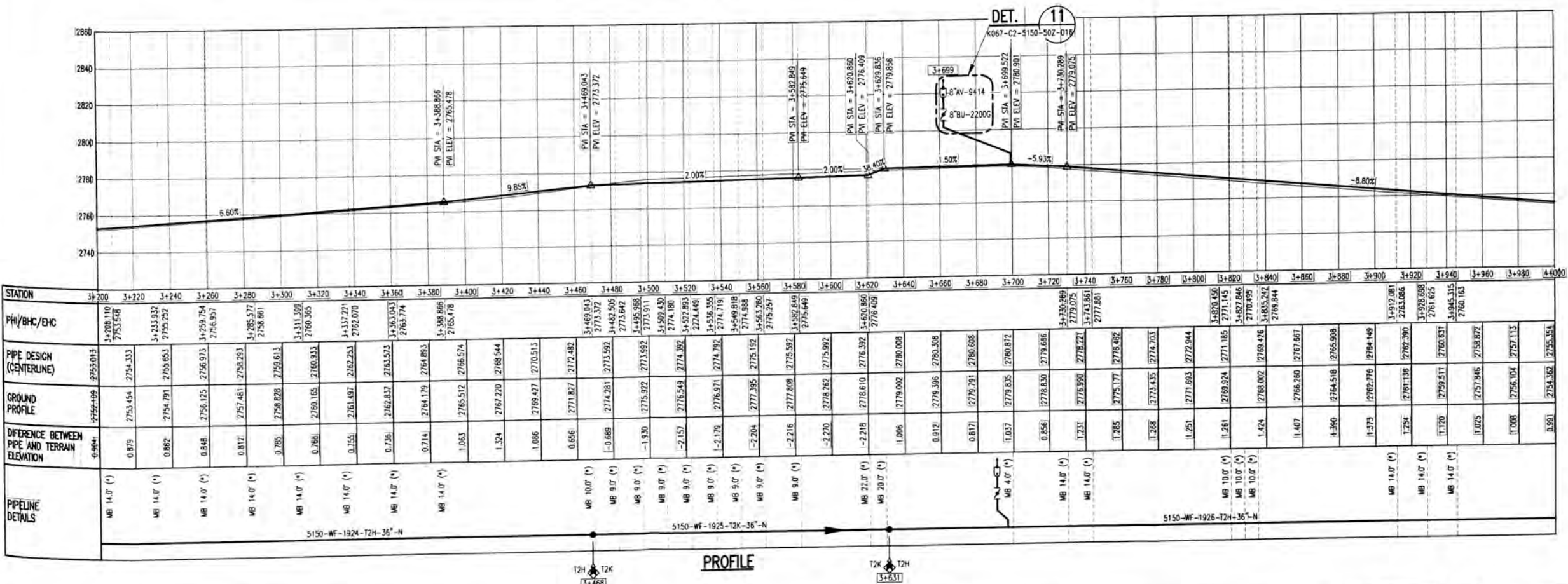
NOTES:

1. ALL DIMENSIONS ARE IN MILLIMETERS.
ALL ELEVATIONS AND COORDINATES ARE IN METERS
(U.N.O.).
2. COORDINATES CORRESPOND TO THE GEODESIC SYSTEM
UTM DATUM PSDM 56, 195 ZONE.
3. FOR PILING SUPPORTS ARRANGEMENT SEE DWG
N° K067-C2-5150-50T-115.
4. (*) FOR MITER BEND DETAILS SEE DWG
N° K067-C2-5150-50T-019/023.

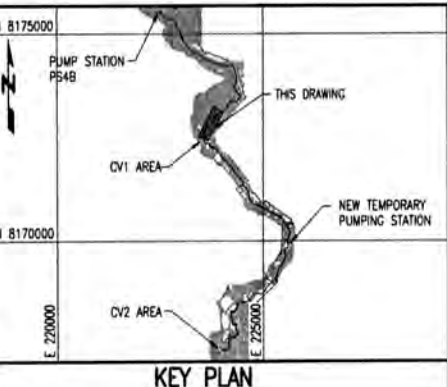
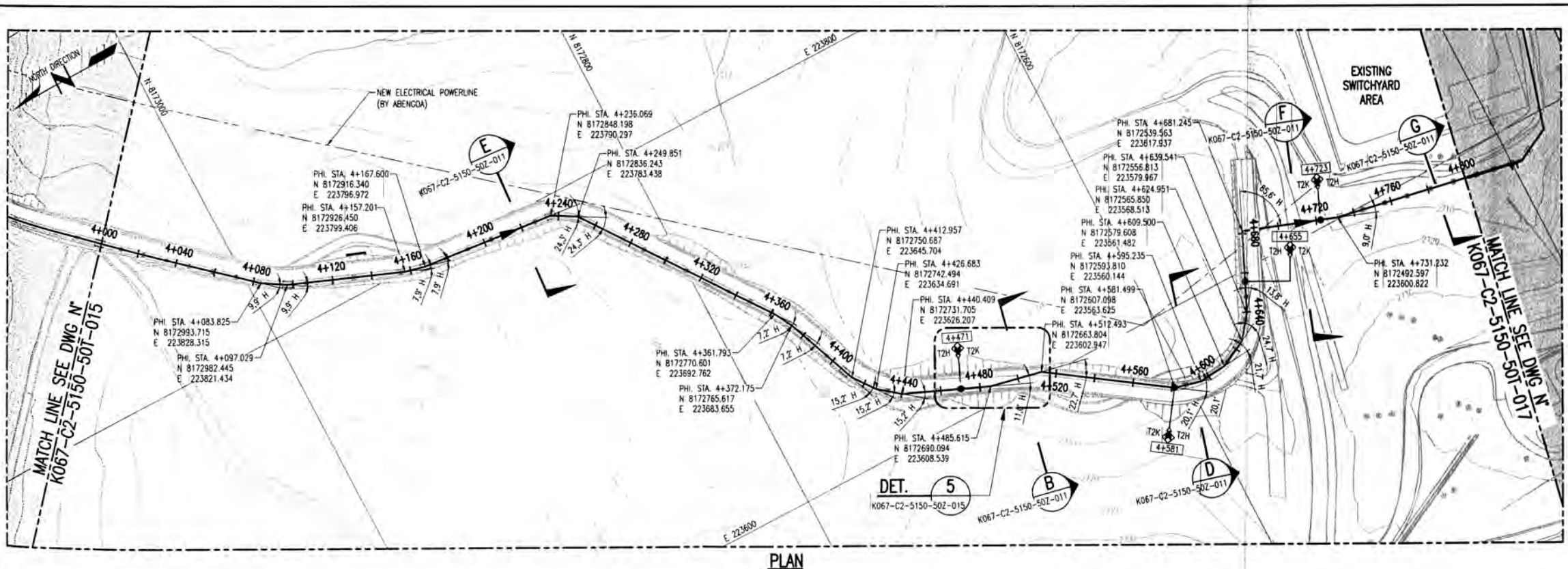
NOTAS:

1. TODAS LAS DIMENSIONES ESTAN EN MILIMETROS.
TODAS LAS ELEVACIONES Y COORDENADAS ESTAN EN METROS (S.I.C.).
2. LAS COORDENADAS MOSTRADAS CORRESPONDEN AL SISTEMA GEODESICO UTM DATUM PSAD 96, ZONA 19S.
3. VER ARREGLO DE SOPORTES DE TUBERIAS EN EL PLANO N° K067-C2-5150-507-115.
4. (*) VER DETALLES DE CODOS MITRADOS EN LOS PLANOS 10-K067-C2-5150-502-019-033.

ENGLISH LANGUAGE SHALL GOVERN
LA LENGUA INGLESA TENDRA PRECEDENCIA



REV.	DATE	REVISION DESCRIPTION	DES. CHK.	APPROVED	REV.	DATE	REVISION DESCRIPTION	DES. CHK.	APPROVED	REFERENCE DRAWING No.	REFERENCE DRAWINGS			DRAWN BY	APPROVAL DATE	FRESH WATER SYSTEM PIPING ARRANGEMENT				
																DESIGNED BY	APPROVAL DATE			
										240K-C2-5100-25J-018	FRESH CONSTRUCTION WATER PIPING AND INSTRUMENTATION DIAGRAM					DESIGNED BY	APPROVAL DATE			
										K067-C2-5100-50T-001	FRESH WATER SYSTEM - PIPING GENERAL ARRANGEMENT - INDEX PLAN					CHECK DESIGN	APPROVAL DATE			
										K067-C2-5150-50T-115	FRESH WATER SYSTEM - PIPING SUPPORT ARRANGEMENT - PIPELINE DISCHARGE PS4B TO CV2					LEAD ENGINEER	APPROVAL DATE			
										K067-C2-5150-50T-10C-004	FRESH WATER SYSTEM - CIVIL - CORRIDOR PIPELINE PS4B TO WATER TANK - GENERAL ARRANGEMENT					ENGINEERING MANAGER	APPROVAL DATE			
																CLIENT	APPROVAL DATE	SCALE	DRAWING NUMBER	REV.
																1:1250	K067-C2-5150-50T-015	1		



LEGEND FOR "PIPELINE DETAILS" BAND
(PROFILE VIEW)

SYMBOL	DESCRIPTION
—	PIPE INSTALLED WITHOUT CASING TUBERIA SIN "CAMSIA DE PROTECCIÓN"
— — — — —	PIPE INSTALLED WITH CASING TUBERIA CON "CAMSIA DE PROTECCIÓN"
	FLANGED JOINT JUNTA BRIGADA
— — — — —	WELDED JOINT JUNTA SOLDADA
◆	CHANGE OF MATERIAL CAMBIO DE MATERIAL
◆ ◆	SUPPLY RESPONSIBILITY LIMITE DE RESPONSABILIDAD DE SUMINISTRO
◆ ◆ ◆	CONSTRUCTION STATUS LIMITE DE ESTADO DE CONSTRUCCIÓN

TABLE OF ABBREVIATIONS

BP	BEGIN OF PIPELINE INICIO DE LA TUBERIA DE IMPULSION
EP	END OF PIPELINE FINAL DE LA TUBERIA DE IMPULSION
STA	STATION ESTACION
ELEV	ELEVATION ELEVACION
PHI	POINT OF HORIZONTAL INTERSECTION PUNTO DE INTERSECCION HORIZONTAL
BHC	BEGIN OF HORIZONTAL CURVE INICIO DE CURVA HORIZONTAL
EHC	END OF HORIZONTAL CURVE FINAL DE CURVA HORIZONTAL
PVI	POINT OF VERTICAL INTERSECTION PUNTO DE INTERSECCION VERTICAL
BVC	BEGIN OF VERTICAL CURVE INICIO DE CURVA VERTICAL
EVC	END OF VERTICAL CURVE FINAL DE CURVA VERTICAL
ELL	ELBOW LONG RADIUS CODO RADIOS LARGO
MB	MITER BEND CODO AGUDO
CUT ELL	CUT ELBOW LONG RADIUS CODO RADIO LARGO RECORTADO
BFLG	BEND FLANGED ANWIA C110 CURVA BRIDADA ANWIA C110
H	HORIZONTAL HORIZONTAL
V	VERTICAL VERTICAL

NOTES: V VERTICAL VERTICAL

1. ALL DIMENSIONS ARE IN MILLIMETERS.
ALL ELEVATIONS AND COORDINATES ARE IN METERS (U.N.O.).
 2. COORDINATES CORRESPOND TO THE GEODESIC SYSTEM
UTM DATUM PSAD 56, 195 ZONE.
 3. FOR PIPING SUPPORTS ARRANGEMENT SEE DWG
Nº K067-C2-5150-507-116.
 4. FOR MITER BENDS DETAILS SEE DWG
Nº K067-C2-5150-502-019/023.
 5. SECTION OF PIPELINE TO BE COATED WITH COAL TAR
ENAMEL INTERNALLY PER AWWA C203.
 6. NATURAL TERRAIN TO BE CONDITIONED (CUT OR FILL) BY
CONTRACTOR.

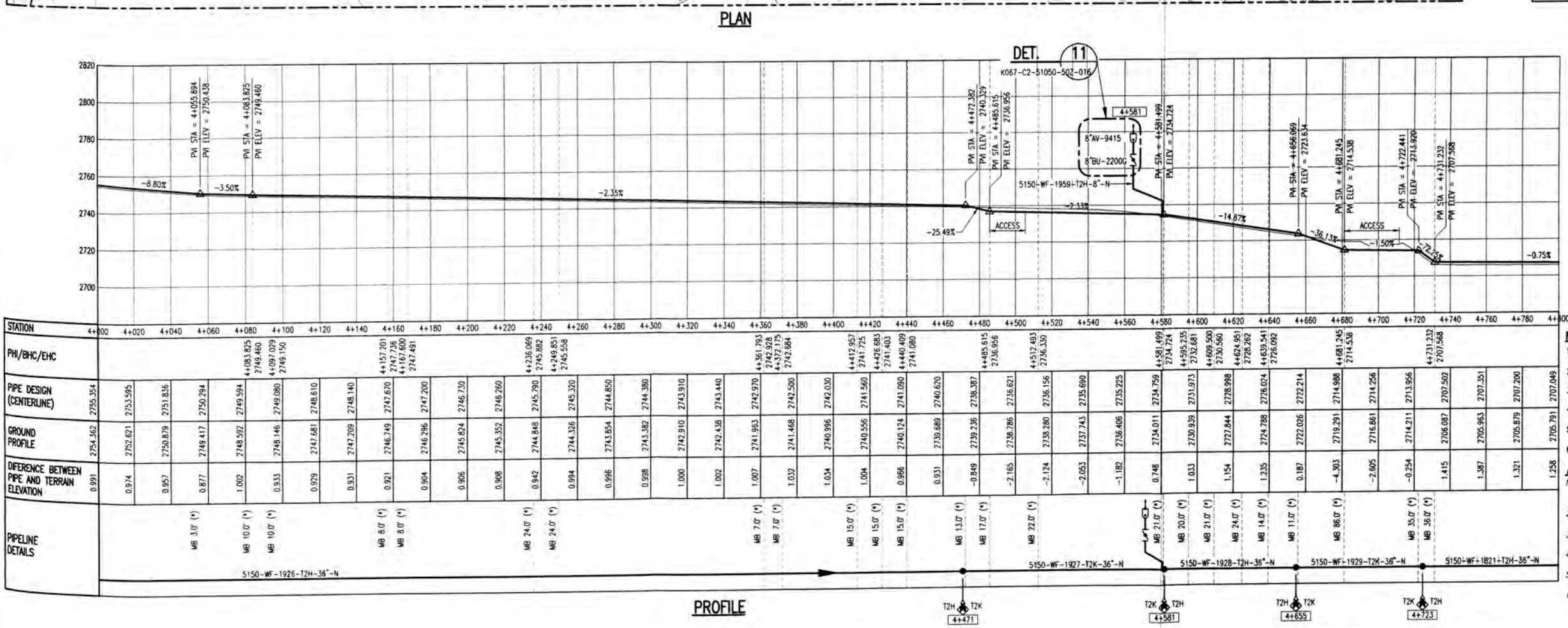
NOTAS:

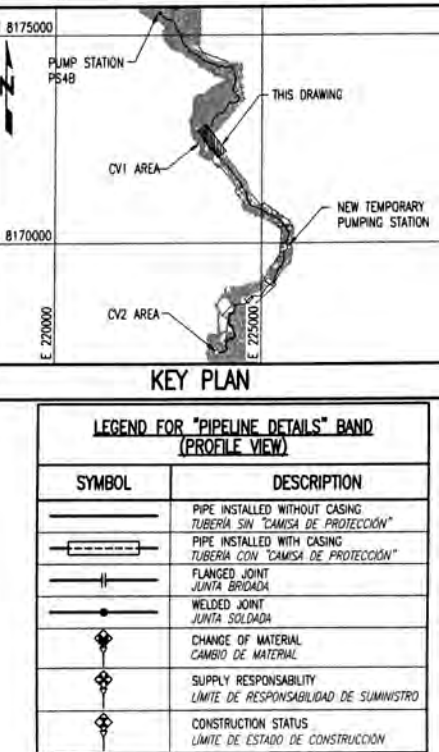
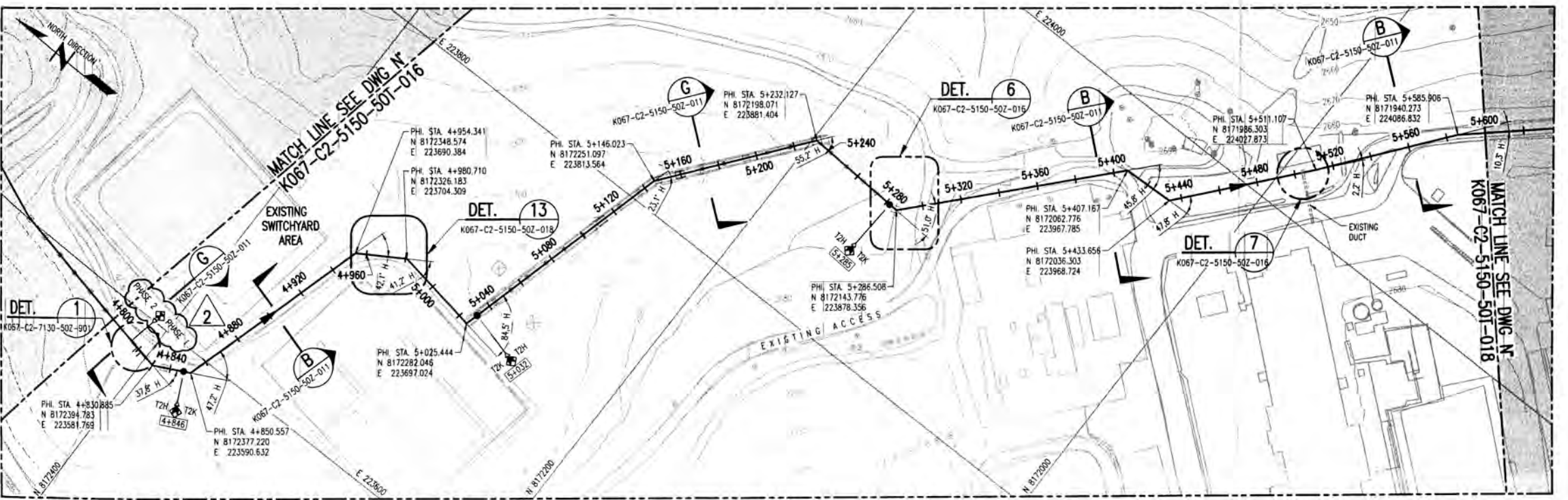
 1. TODAS LAS DIMENSIONES ESTÁN EN MILÍMETROS.
TODAS LAS ELEVACIONES Y COORDENADAS ESTÁN EN METROS (S.I.C.).
 2. LAS COORDENADAS MOSTRADAS CORRESPONDEN AL SISTEMA
GEODESICO UTM DATUM PSAD 56, ZONA 195.
 3. VER ARREGLO DE SOPORTES DE TUBERÍAS EN EL PLANO
Nº K067-C2-5150-507-116.
(*) VER DETALLES DE CODOS MITRADOS EN EL PLANO
Nº K067-C2-5150-502-019.
 4. TUBERÍAS SOBRE TERRENOS TENDRÁN UN RECLUBRIMIENTO
ESPECIAS DE ACUERDO CON LAS CONDICIONES DE LA ATMÓSFERA.
 5. TERRENOS NATURALES CONDICIONADO POR EL CONTRATISTA.

NOTAS:
1. TODAS LAS DIMENSIONES ESTÁN EN MILÍMETROS.

- TODAS LAS ELEVACIONES Y COORDENADAS ESTAN EN METROS (S.I.).
 - LAS COORDENADAS MOSTRADAS CORRESPONDEN AL SISTEMA GEODESICO UTM DATUM PSAD 56, ZONA 195.
 - VER ARREGLO DE SOPORTES DE TUBERIAS EN EL PLANO N° K067-C2-5150-507-116.
(*) VER DETALLES DE CODOS MITRADOS EN EL PLANO N° K067-C2-5150-502-019.
 - TUBERIAS SOBRE TERRENO TENDRÁN UN RECLUBRIMIENTO ESPECIALES DE ACUERDO CON LAS CONDICIONES DE LA ATMÓSFERA.
 - TERRENOS NATURAL CONDICIONADO POR EL CONTRATISTA.

ENGLISH LANGUAGE SHALL GOVERN
LA LENGUA INGLESA TENDRÁ PRECEDENCIA





LEGEND FOR "PIPELINE DETAILS" BAND
(PROFILE VIEW)

SYMBOL	DESCRIPTION
	PIPE INSTALLED WITHOUT CASING TUBERIA SIN "CAMSIA DE PROTECCION"
	PIPE INSTALLED WITH CASING TUBERIA CON "CAMSIA DE PROTECCION"
	FLANGED JOINT JUNTA BRIDADA
	WELDED JOINT JUNTA SOLDADA
	CHANGE OF MATERIAL CAMBIO DE MATERIAL
	SUPPLY RESPONSIBILITY LIMITE DE RESPONSABILIDAD DE SUMINISTRO
	CONSTRUCTION STATUS LIMITE DE ESTADO DE CONSTRUCCION

TABLE OF ABBREVIATIONS

```

BEGIN OF PIPELINE
INICIO DE LA TUBERIA DE IMPULSION
END OF PIPELINE
FINAL DE LA TUBERIA DE IMPULSION
STATION
ESTACION
ELEVATION
ALTURA
ELEVACION

POINT OF HORIZONTAL INTERSECTION
PUNTO DE INTERSECCION HORIZONTAL
BEGIN OF HORIZONTAL CURVE
INICIO DE CURVA HORIZONTAL
END OF HORIZONTAL CURVE
FINAL DE CURVA HORIZONTAL

POINT OF VERTICAL INTERSECTION
PUNTO DE INTERSECCION VERTICAL
BEGIN OF VERTICAL CURVE
INICIO DE CURVA VERTICAL
END OF VERTICAL CURVE
FINAL DE CURVA VERTICAL

ELLBOW LONG RADIUS
CODO RADIO LARGO
MITER BEND
CODO MITRADO
CUT ELLBOW LONG RADIUS
CODO RADIO LARGO RECORTADO
BEND FLANGED AWNA C110
CURVA BIRDIADA AWNA C110
HORIZONTAL
HORIZONTAL
VERTICAL
VERTICAL

```

NOTES:

- ALL DIMENSIONS ARE IN MILLIMETERS. ALL ELEVATIONS AND COORDINATES ARE IN METERS (U.N.D.). COORDINATES CORRESPOND TO THE GEODESIC SYSTEM UTM DATUM PSD 56, ZONA 195. FOR PIPING SUPPORTS ARRANGEMENT SEE DWG N° K067-C2-5150-507-117. (*) FOR METER BENDS DETAILS SEE DWG N° K067-C2-5150-507-019/023. SECTION OF PIPELINE (BURIED OR ABOVE GROUND) TO BE COATED WITH COAL TAR ENAMEL COATED EXTERNALLY PER ANWA C203. NATURAL TERRAIN TO BE CONDITIONED (CUT OR FILL) BY CONTRACTOR AS NECESSARY.

DATAS:

TO LAS DIMENSIONES ESTÁN EN MILÍMETROS. TODAS LAS ELEVACIONES Y COORDENADAS ESTÁN EN METROS (S.I.C.). LAS COORDENADAS MOSTRADAS CORRESPONDEN AL SISTEMA GEODESICO UTM DATUM PSD 56, ZONA 195.

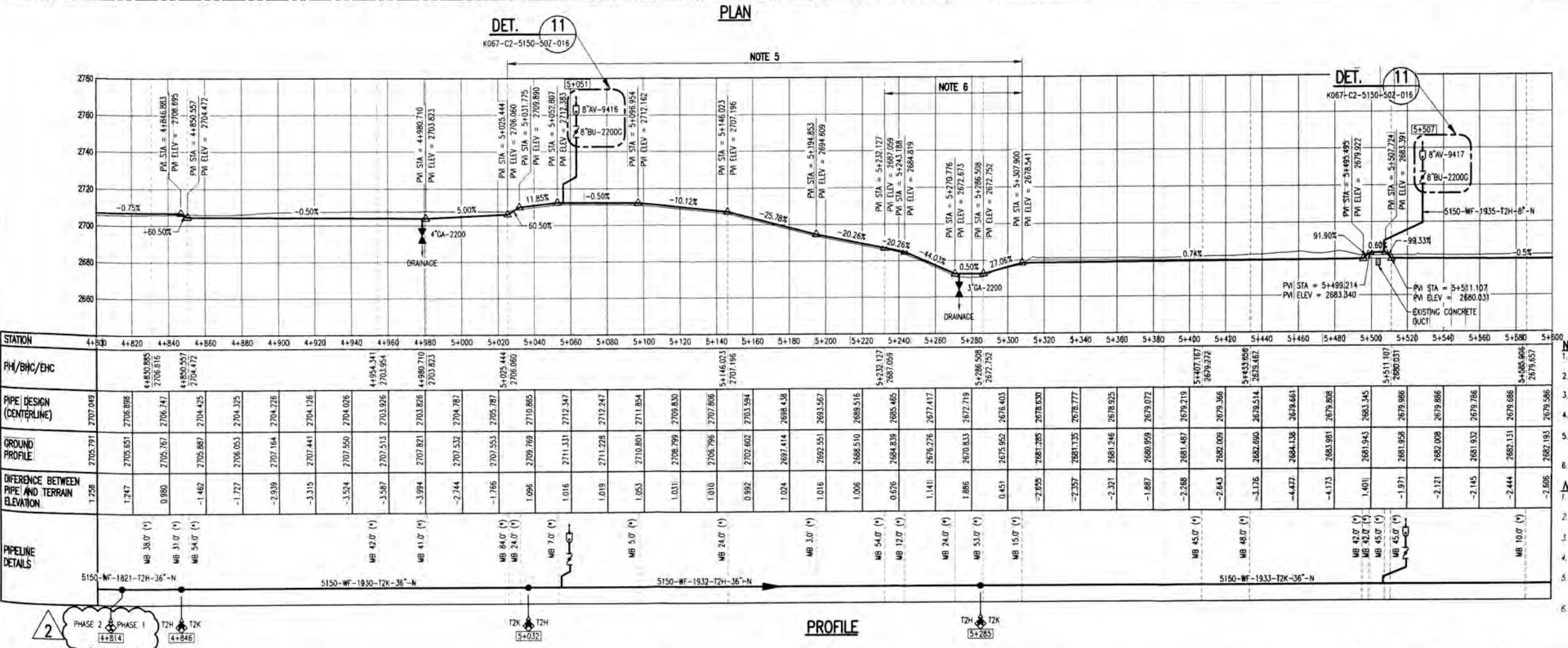
VER ARREGLO DE SOPORTES DE TUBERÍAS EN EL PLANO N° K067-C2-5150-507-117.

(*) VER DETALLES DE CODOS MITRADOS EN EL PLANO N° K067-C2-5150-507-019.

SECCIÓN DE TUBERÍA (ENTERRADO O SOBRE TERRENO) TENDRÁ UN RECOBERTO ESPECIAL CON ESMALTE DE ALGOJUNTA DE HULLA REVESTIDAS INTERIOR Y EXTERIORMENTE POR ANWA C203.

TERRENTO NATURAL ACONDICIONADO (CORTE O RELLENO) POR EL CONTRATISTA SEGÚN SEA REQUERIDO.

ENGLISH LANGUAGE SHALL GOVERN
 LENGUA INGLESA TENDRÁ PRECEDENCIA



REV.	DATE	REVISION DESCRIPTION		DES. CHK.	APPROVED	REV.	DATE	REVISION DESCRIPTION		DES. CHK.	APPROVED	REFERENCE DRAWING NO.	REFERENCE DRAWINGS
												240K-C2-5100-25J-018	FRESH CONSTRUCTION WATER PIPING AND INSTRUMENTATION DIAGRAM
												K067-C2-5100-50L-001	FRESH WATER SYSTEM - PIPING GENERAL ARRANGEMENT - INDEX PLAN
												K067-C2-5150-50T-117	FRESH WATER SYSTEM - PIPING SUPPORT ARRANGEMENT - PIPELINE DISCHARGE PSAB TO CV2
												K067-C2-5150-10C-004	FRESH WATER SYSTEM - CIVIL - CORRIDOR PIPELINE PSAB TO WATER TANK - GENERAL ARRANGEMENT
												K067-C2-7130-50Z-901	TEMPORARY CONSTRUCTION WATER - PIPING ARRANGEMENT - TEMPORARY PIPING FACILITY AT DRY FRESH WATER - STORAGE TANKS AREA - SECTIONS & DETAILS
												NO-200-249-440-57-001	ABASTECIMIENTO DE AGUA RÍO CHU - TANQUES DE ALMACENAMIENTO ARREGLO GENERAL DE TUBERIAS - PLANTA

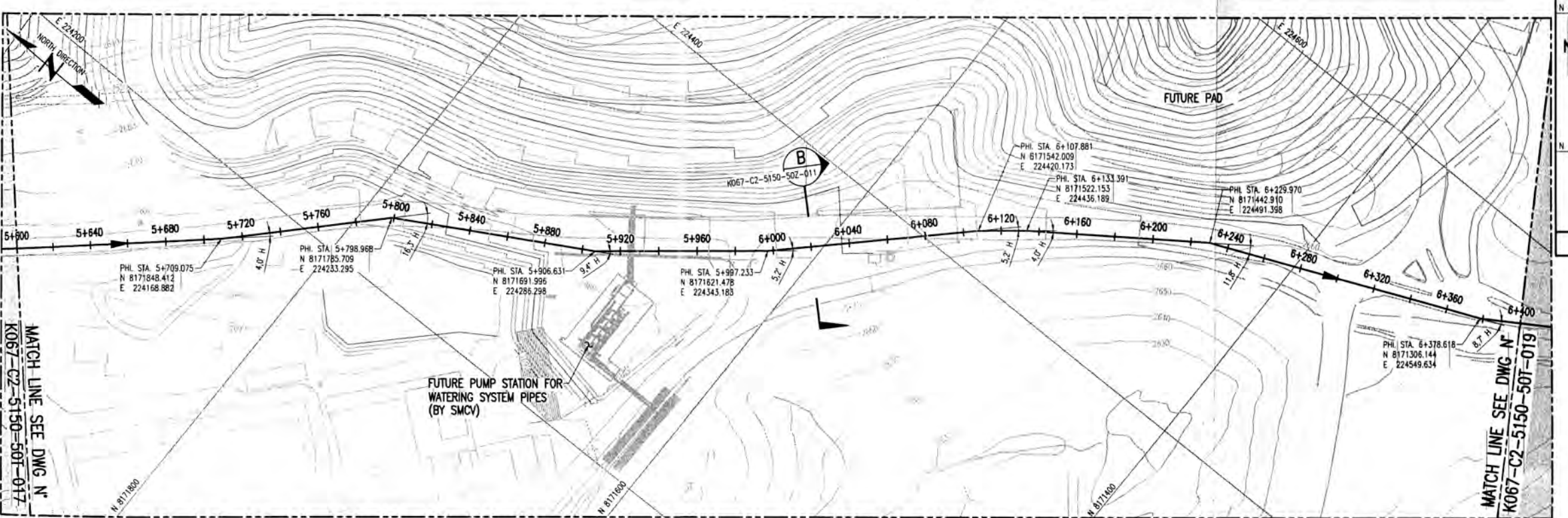
FRESH WATER SYSTEM PIPING ARRANGEMENT

**PIPELINE DISCHARGE FROM PS4B TO CV2
PLAN & PROFILE (7/16)**

SISTEMA DE AGUA FRESCA EN TUBERÍAS - LÍNEA DE DESCARGA

**LA ESTACIÓN DE BOMBEO PS4B HASTA EL ÁREA DE
ALMACENAMIENTO CV2 - PLANTA Y PERFIL (7/16)**

DRAWING NUMBER
K067-C2-5150-50T-017



PLAN

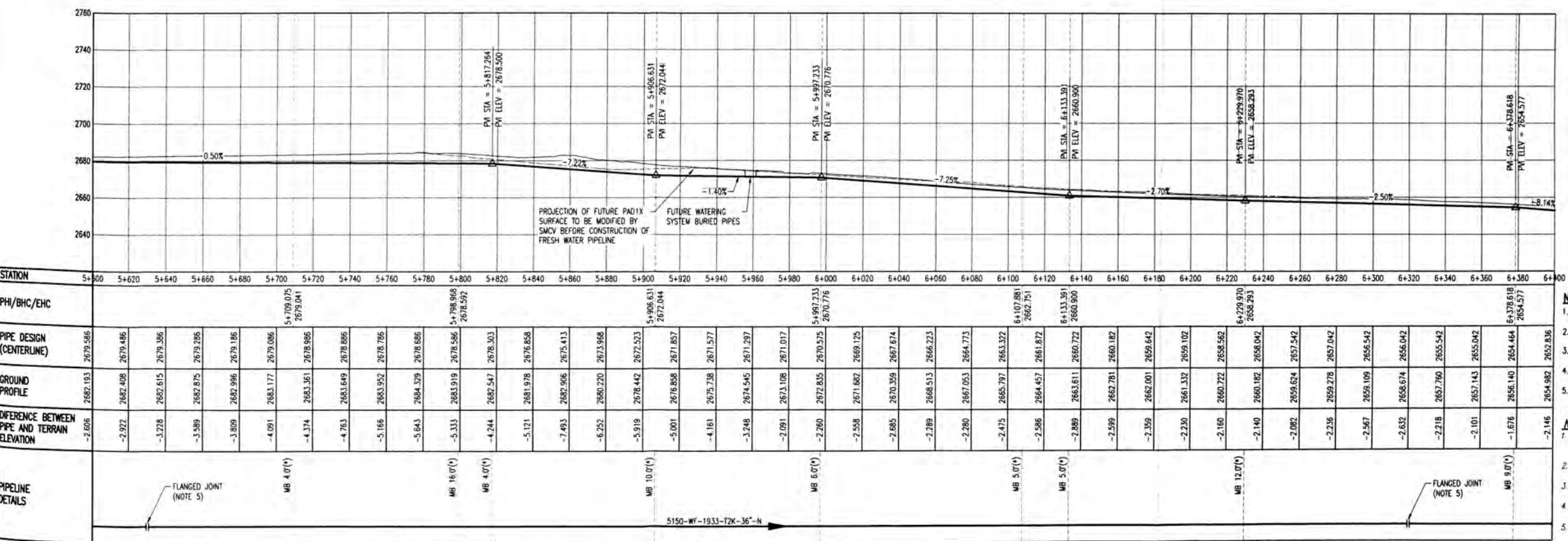
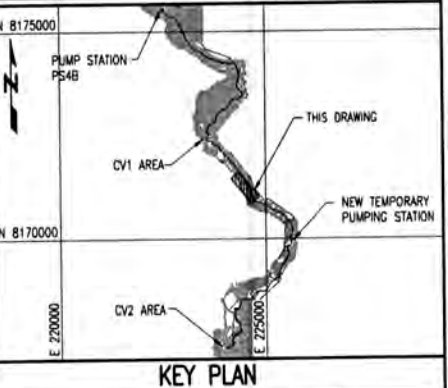
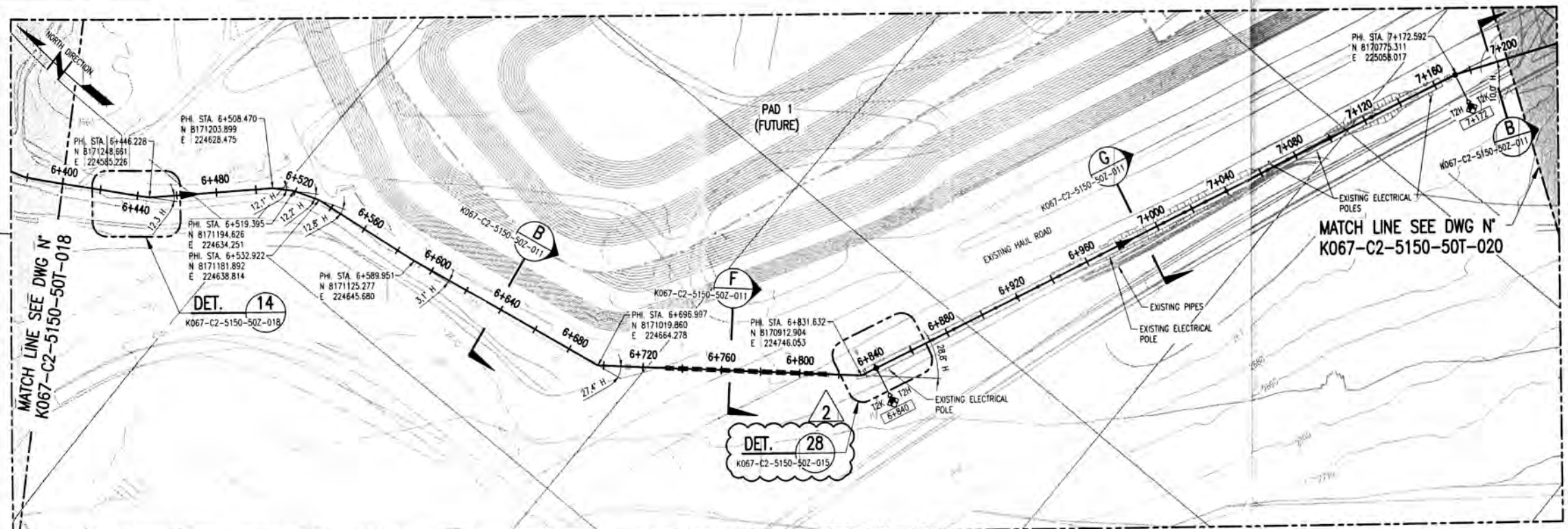


TABLE OF ABBREVIATIONS	
BP	BEGIN OF PIPELINE INICIO DE LA TUBERIA DE IMPULSION
EP	END OF PIPELINE FINAL DE LA TUBERIA DE IMPULSION
STA	STATION ESTACION
ELEV	ELEVATION ELEVACION
PHI	POINT OF HORIZONTAL INTERSECTION PUNTO DE INTERSECCION HORIZONTAL
BHC	BEGIN OF HORIZONTAL CURVE INICIO DE CURVA HORIZONTAL
EHC	END OF HORIZONTAL CURVE FINAL DE CURVA HORIZONTAL
PVI	POINT OF VERTICAL INTERSECTION PUNTO DE INTERSECCION VERTICAL
BVC	BEGIN OF VERTICAL CURVE INICIO DE CURVA VERTICAL
EVC	END OF VERTICAL CURVE FINAL DE CURVA VERTICAL
ELL	ELBOW LONG RADIUS CODO RANGO LARGO
MB	MITER BEND CODO MITRADO
CUT ELL	CUT ELBOW LONG RADIUS CODO RANGO LARGO RECORTADO
BFLC	BEND FLANGE ANWA C110 CURVA BRADADA ANWA C110
H	HORIZONTAL HORIZONTAL
V	VERTICAL VERTICAL

- NOTES:**
- TODAS LAS DIMENSIONES ESTAN EN MILIMETROS.
 - TODAS LAS ELEVACIONES Y COORDENADAS ESTAN EN METROS (S.I.C.).
 - LAS COORDENADAS MOSTRADAS CORRESPONDEN AL SISTEMA GEODESICO UTM DATUM PSD 56, ZONA 195.
 - VER ARREGLO DE SOPORTES DE TUBERIAS EN EL PLANO N° K067-C2-5150-50T-118.
 - VER DETALLES DE CODOS MITRADOS EN LOS PLANOS N° K067-C2-5150-50T-019/023.
 - UBICACION APROXIMADA DE JUNTAS BRADADAS LAS CUALES SERAN USADAS EN CASO DE PROBLEMA REUBICACION FUTURA DEL TRAMO DE TUBERIA ENTRE LAS ESTACIONES 5+640 Y 6+320.

ENGLISH LANGUAGE SHALL COVERN
LA LENGUA INGLESA TENDRA PRECEDENCIA

REV.	DATE	REVISION DESCRIPTION		DES. CHK.	APPROVED	REV.	DATE	REVISION DESCRIPTION		DES. CHK.	APPROVED	REFERENCE DRAWING No.	REFERENCE DRAWINGS	FRESH WATER SYSTEM PIPING ARRANGEMENT PIPELINE DISCHARGE FROM PS4B TO CV2 PLAN & PROFILE (8/16) SISTEMA DE AGUA FRESCA ARREGLO DE TUBERIAS - LINEA DE DESCARGA DESDE LA ESTACION DE BOMBEO PS4B HASTA EL AREA DE ALMACENAMIENTO CV2 - PLANTA Y PERFILE (8/16)			
								240K-C2-5100-25J-018 DIAGRAM									
								K067-C2-5100-50L-001 FRESH WATER SYSTEM - PIPING GENERAL ARRANGEMENT - INDEX PLAN									
								K067-C2-5150-50T-118 FRESH WATER SYSTEM - PIPING SUPPORT ARRANGEMENT - PIPELINE DISCHARGE PS4B TO CV2									
								K067-C2-5150-50T-10C-004 FRESH WATER SYSTEM - CIVIL - CORRIDOR PIPELINE PS4B TO WATER TANK - GENERAL ARRANGEMENT									



LEGEND FOR "PIPELINE DETAILS" BAND (PROFILE VIEW)	
SYMBOL	DESCRIPTION
—	PIPE INSTALLED WITHOUT CASING TUBERIA SIN "CAMSISA DE PROTECCION"
	PIPE INSTALLED WITH CASING TUBERIA CON "CAMSISA DE PROTECCION"
	FLANGED JOINT JUNTA BRIDADA
◆	WELDED JOINT JUNTA SOLDADA
	CHANGE OF MATERIAL CAMBIO DE MATERIAL
	SUPPLY RESPONSABILITY LIMITE DE RESPONSABILIDAD DE SUMINISTRO
	CONSTRUCTION STATUS LIMITE DE ESTADO DE CONSTRUCCION

TABLE OF ABBREVIATIONS

BEGIN OF PIPELINE
INICIO DE LA TUBERIA DE IMPULSION
END OF PIPELINE
FINAL DE LA TUBERIA DE IMPULSION
STATION
ESTACION
ELEVATION
ELEVACION

POINT OF HORIZONTAL INTERSECTION
PUNTO DE INTERSECCION HORIZONTAL
BEGIN OF HORIZONTAL CURVE
INICIO DE CURVA HORIZONTAL
END OF HORIZONTAL CURVE
FINAL DE CURVA HORIZONTAL

POINT OF VERTICAL INTERSECTION
PUNTO DE INTERSECCION VERTICAL
BEGIN OF VERTICAL CURVE
INICIO DE CURVA VERTICAL
END OF VERTICAL CURVE
FINAL DE CURVA VERTICAL

ELLBOW LONG RADIUS
CODO RADIO LARGO
MITER BEND
CODO MITRADO
ELL CUT ELBOW LONG RADIUS
CODO RADIO LARGO RECORTADO
BEND FLANGED ANWA C110
CRUZA BRIDADA ANWA C110
HORIZONTAL
ORIZONTAL
VERTICAL

V VERTICAL
 V VERTICAL

- ALL DIMENSIONS ARE IN MILLIMETERS.
ALL ELEVATIONS AND COORDINATES ARE IN METERS (U.N.O.).
COORDINATES CORRESPOND TO THE GEODESIC SYSTEM
UTM DATUM PSAD 56, 195 ZONE.
FOR PIPING SUPPORTS ARRANGEMENT SEE DWG
N K067-C2-5150-011-119.
(*) FOR MITER BENDS DETAILS SEE DWG
N K067-C2-5150-021-023.
SECTION OF PIPELINE (ABOVE GROUND) TO BE COATED WITH
COAL TAR ENAMEL EXTERNALLY PER AWWA C203.
SEE EARTHWORKS DESIGN IN CIVIL DRAWING No
K067-C2-5150-100-020.

KUB7-C2-3130-100-020.

- TODAS LAS DIMENSIONES ESTAN EN MILIMETROS.
TODAS LAS ELEVACIONES Y COORDENADAS ESTAN EN METROS (S.I.).
LAS COORDENADAS MOSTRADAS CORRESPONDEN AL SISTEMA
GEODESICO UTM DATUM PSD45, ZONA 19S.
VER ARREGLO DE SOPORTES DE TUBERIAS EN EL PLANO N°
K067-C2-5150-507-119
(*) VER DETALLES DE CODOS MITRADOS EN LOS PLANOS
N° K067-C2-5150-502-119/023
TRAMO DE TUBERIA SOBRE TERRENO A SER PINTADO EXTERNAMENTE
CON ESMALTE DE ALQUÍRITU DE HULLA SEGUN ANEXO C203.
VER EL DISERO DE MOVIMIENTOS DE TIERRA EN EL PLANO
CIVIL NK067-C2-5150-100-020.

1939-T2K-36-N ENGLISH LANGUAGE SHALL GOVERN

LA LENGUA INGLESA TENDRÁ PRECEDENCIA

FRESH WATER SYSTEM

FRESH WATER SYSTEM PIPING ARRANGEMENT

PIPING ARRANGEMENT LINE DISCHARGE FROM RS4B TO CV2

PLAN A PROFILE (2/16)

SISTEMA DE AGUA FRESCA

SISTEMA DE AGUA FRESCA
SUBERIAS LÍNEA DE DESCARGA DESDE

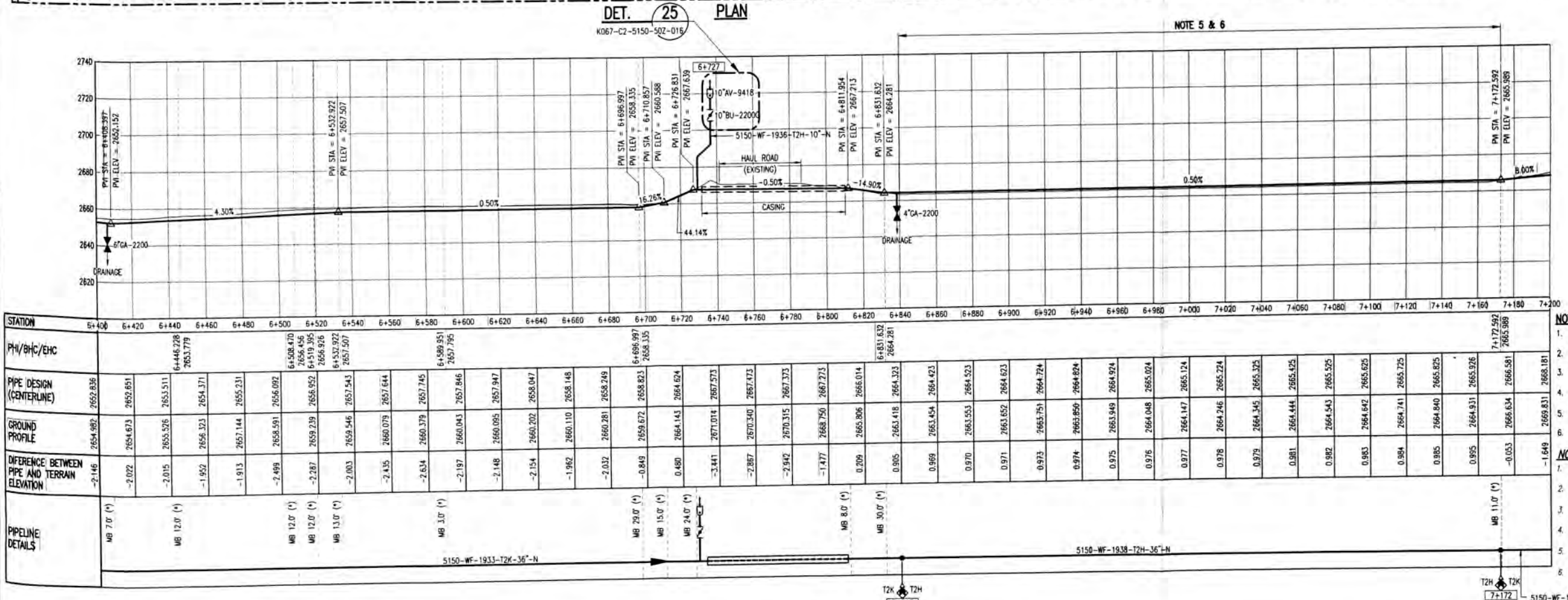
TUBERIAS - LINEA DE DESCARGA DESDE
EL DE BOMBEROS PS4B HASTA EL ÁREA DE

DE BOMBEU PS4B HASTA EL AREA DE
METS. 818 - PLANTA X PEROU (2/16)

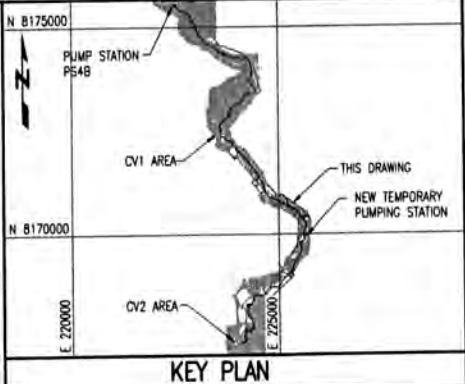
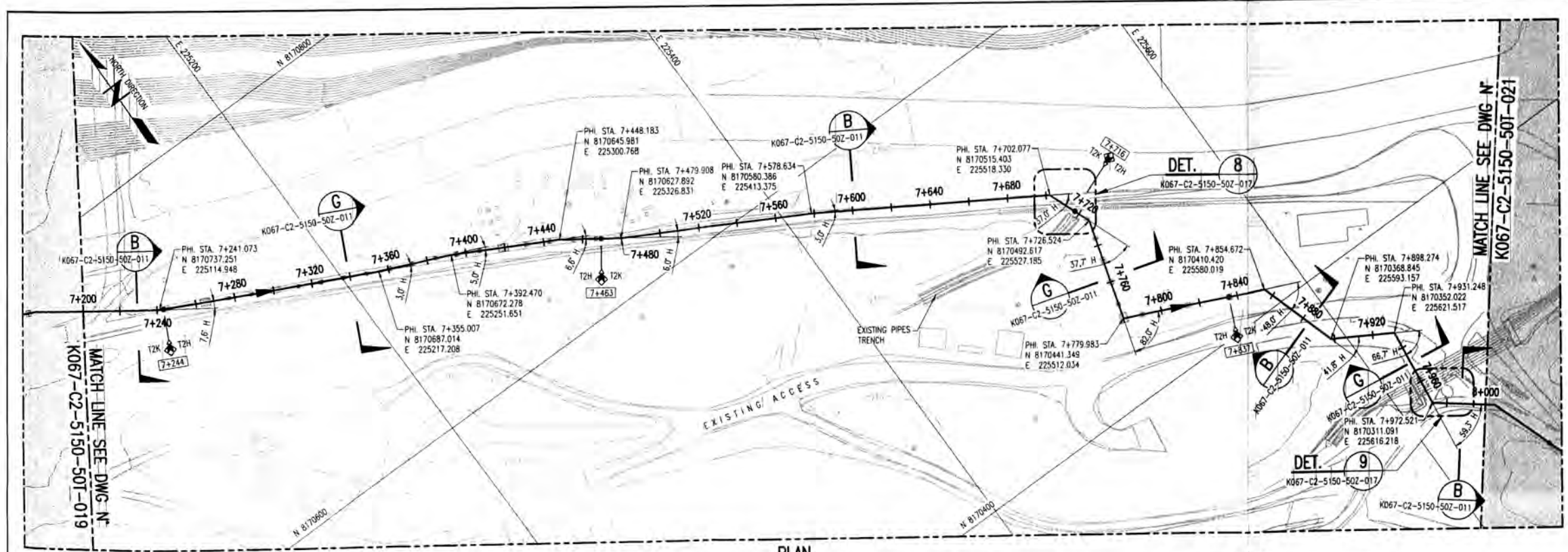
ESTUDIO CV2 - PLANTA Y PERFIL (9/16) REV. 1

K067-C2-5150-50T-019

1000-0000-0000-0000-0000-0000-0000-0000

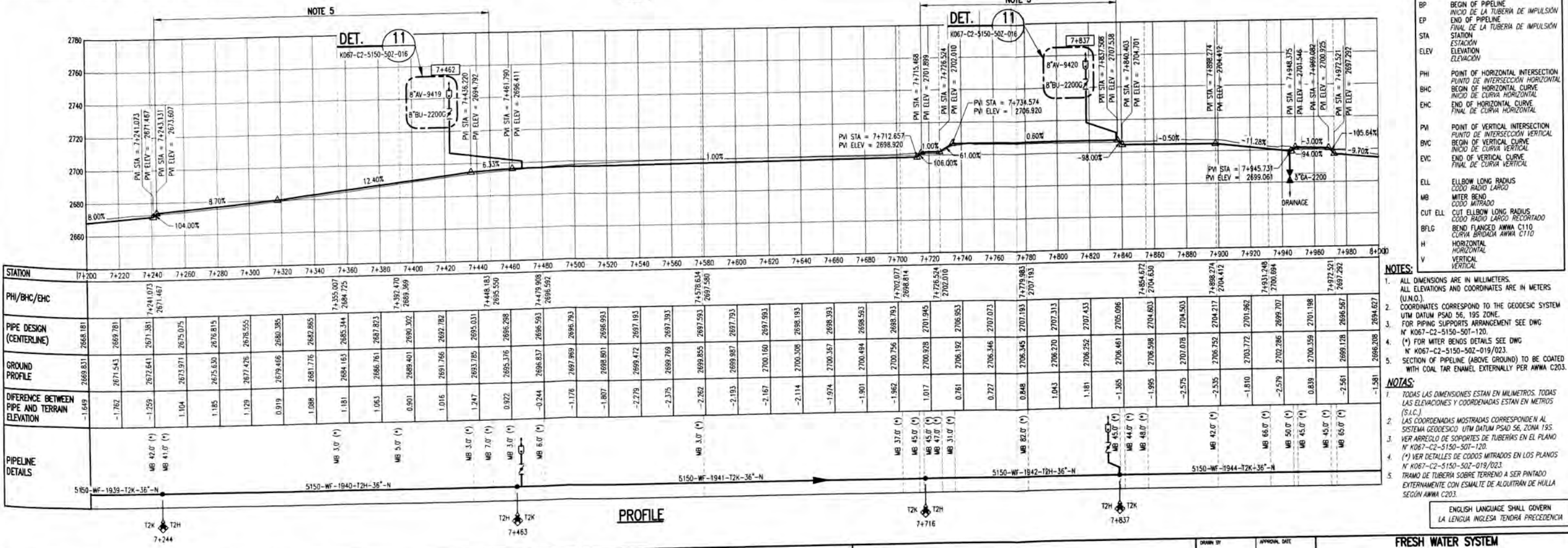


PROFILE

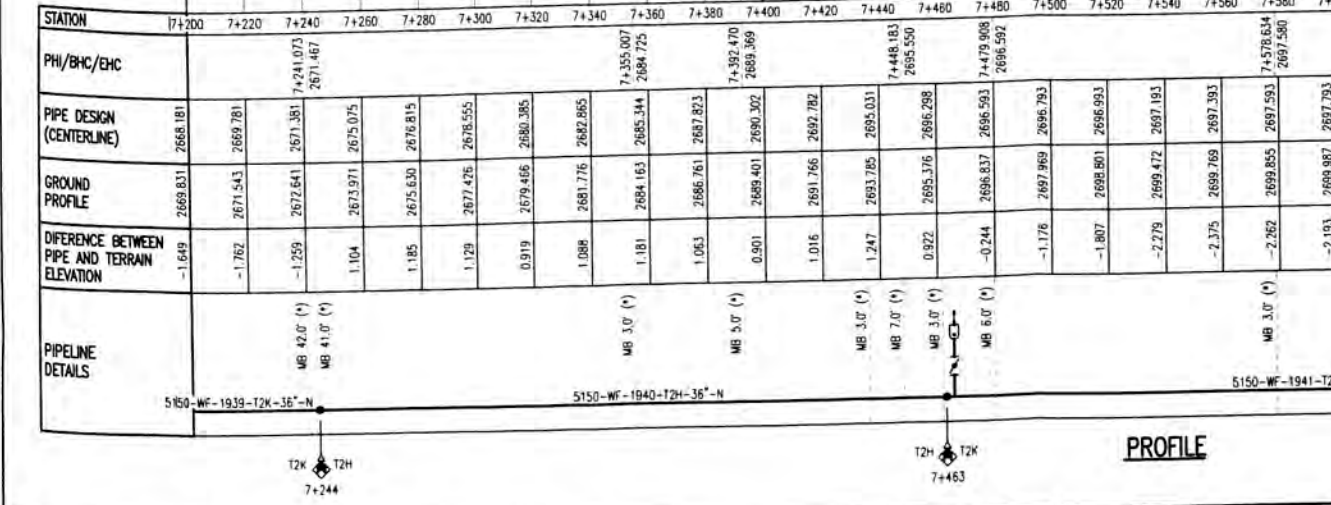


LEGEND FOR "PIPELINE DETAILS" BAND (PROFILE VIEW)	
SYMBOL	DESCRIPTION
—	PIPE INSTALLED WITHOUT CASING TUBERIA SIN "CAMISA DE PROTECCION"
—	PIPE INSTALLED WITH CASING TUBERIA CON "CAMISA DE PROTECCION"
—	FLANGED JOINT JUNTA BRIDADA
—	WELDED JOINT JUNTA SOLDADA
●	CHANGE OF MATERIAL CAMBIO DE MATERIAL
◆	SUPPLY RESPONSIBILITY LIMITE DE RESPONSABILIDAD DE SUMINISTRO
◆	CONSTRUCTION STATUS ESTADO DE CONSTRUCCION

PLAN



PROFILE



REV.	DATE	REVISION DESCRIPTION	DES. CHK.	APPROVED	REV.	DATE	REVISION DESCRIPTION	DES. CHK.	APPROVED	REFERENCE DRAWING No.	REFERENCE DRAWINGS			DRAWN BY	APPROVAL DATE		
										240K-C2-5100-25J-018	FRESH CONSTRUCTION WATER PIPING AND INSTRUMENTATION DIAGRAM			DESIGNED BY	APPROVAL DATE		
										K067-C2-5100-50L-001	FRESH WATER SYSTEM - PIPING GENERAL ARRANGEMENT - INDEX PLAN			CHECK DESIGN	APPROVAL DATE		
										K067-C2-5100-50T-120	FRESH WATER SYSTEM - PIPING SUPPORT ARRANGEMENT - PIPELINE DISCHARGE PS4B TO CV2			LEAD ENGINEER	APPROVAL DATE		
										K067-C2-5100-10C-004	FRESH WATER SYSTEM - CIVIL - CORRIDOR PIPELINE PS4B TO WATER TANK - GENERAL ARRANGEMENT			ENGINEERING MANAGER	APPROVAL DATE		
														CLIENT	APPROVAL DATE		
														SCALE	1:1250	DRAWING NUMBER	K067-C2-5100-50T-020

ENGLISH LANGUAGE SHALL GOVERN
LA LENGUA INGLESA TENDRA PRECEDENCIA

FRESH WATER SYSTEM
PIPING ARRANGEMENT
PIPELINE DISCHARGE FROM PS4B TO CV2
PLAN & PROFILE (10/16)
SISTEMA DE AGUA FRESCA
ARREGLO DE TUBERIAS - LÍNEA DE DESCARGA DESDE LA ESTACIÓN DE BOMBEO PS4B HASTA EL ÁREA DE ALMACENAMIENTO CV2 - PLANTA Y PERFIL (10/16)

REV. 1

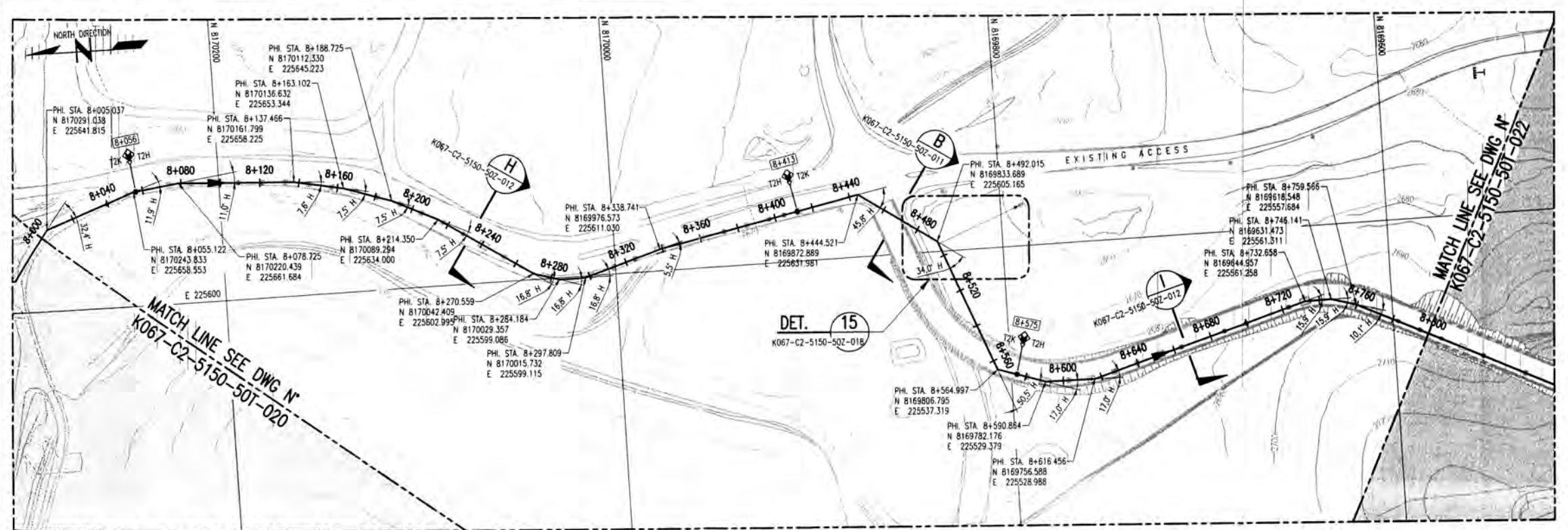
NOTES:

- ALL DIMENSIONS ARE IN MILLIMETERS.
ALL ELEVATIONS AND COORDINATES ARE IN METERS (U.N.O.).
- COORDINATES CORRESPOND TO THE GEODESIC SYSTEM UTM DATUM PSD45, 195 ZONE.
- FOR PIPING SUPPORTS ARRANGEMENT SEE DWG N° K067-C2-5100-50T-120.
- (*) FOR METER BENDS DETAILS SEE DWG N° K067-C2-5100-50T-023.
- SECTION OF PIPELINE (ABOVE GROUND) TO BE COATED WITH COAL TAR ENAMEL EXTERNALLY PER AWWA C203.

NOTAS:

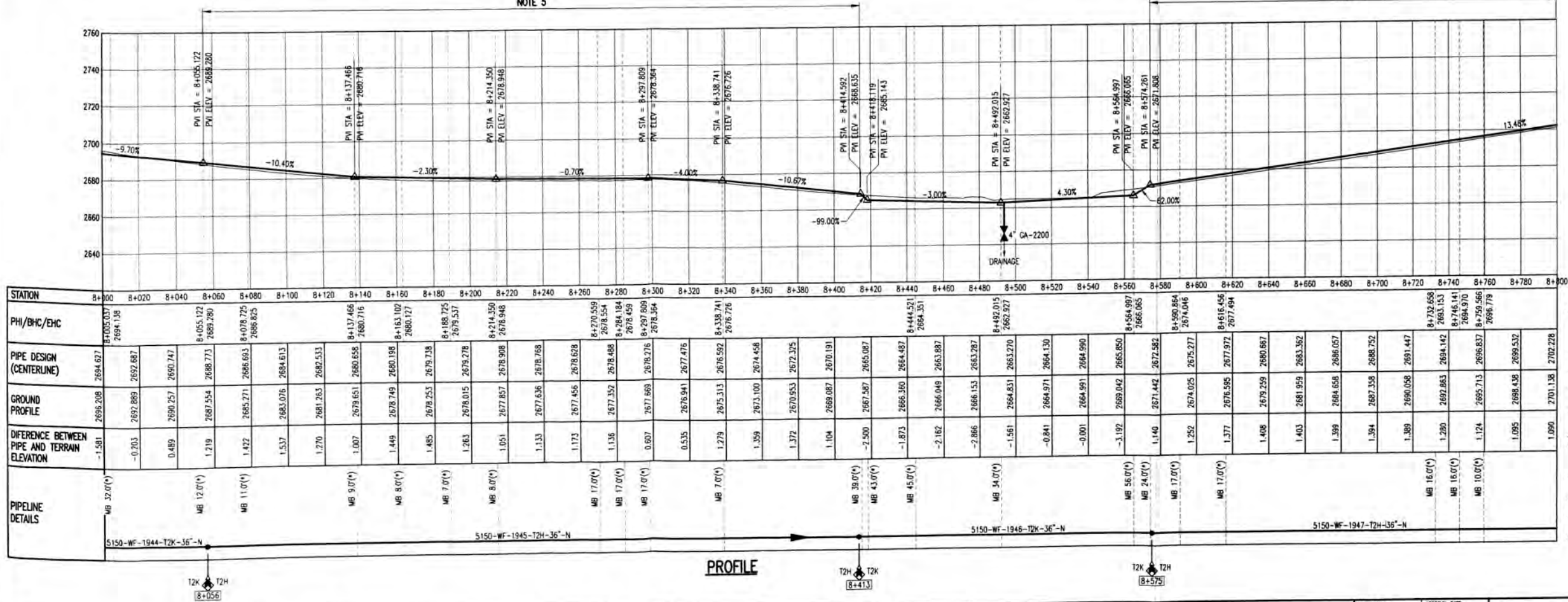
- TODAS LAS DIMENSIONES ESTAN EN MILIMETROS. TODAS LAS ELEVACIONES Y COORDINADAS ESTAN EN METROS (U.N.O.).
- LAS COORDINADAS MOSTRADAS CORRESPONDEN AL SISTEMA GEODESICO UTM DATUM PSD45, ZONA 195.
- VER ARREGLO DE SOPORTES DE TUBERIAS EN EL PLANO N° K067-C2-5100-50T-120.
- (*) VER DETALLES DE CODOS MITRADOS EN LOS PLANOS N° K067-C2-5100-50T-023.
- TRAMO DE TUBERIA SOBRE TERRENO A SER PINTADO EXTERIAMENTE CON ESMALTE DE ALQUITRAN DE HULLA SEGUN AWWA C203.

TABLE OF ABBREVIATIONS	
BP	BEGIN OF PIPELINE INICIO DE LA TUBERIA DE IMPULSION
EP	END OF PIPELINE FINAL DE LA TUBERIA DE IMPULSION
STA	STATION ESTACION
ELEV	ELEVATION ELEVACION
PHI	POINT OF HORIZONTAL INTERSECTION PUNTO DE INTERSECCION HORIZONTAL
BHC	BEGIN OF HORIZONTAL CURVE INICIO DE CURVA HORIZONTAL
ENC	END OF HORIZONTAL CURVE FINAL DE CURVA HORIZONTAL
PM	POINT OF VERTICAL INTERSECTION PUNTO DE INTERSECCION VERTICAL
BVC	BEGIN OF VERTICAL CURVE INICIO DE CURVA VERTICAL
EVC	END OF VERTICAL CURVE FINAL DE CURVA VERTICAL
ELL	ELBOW LONG RADIUS CODO RADIO LARGO
MB	MITER BEND CODO DIÁFRAGO
CUT ELL	CUT ELBOW LONG RADIUS CODO RADIO LARGO RECORTADO
BFLG	BEND FLANGED ANWA C110 CURVA BRIDADA ANWA C110
H	HORIZONTAL HORIZONTAL
V	VERTICAL VERTICAL



PLAN

NOTE 5



PROFILE

S+WB												FRESH WATER SYSTEM PIPING ARRANGEMENT PIPELINE DISCHARGE FROM PS4B TO CV2 PLAN & PROFILE (11/16)				
REV.	DATE	REVISION DESCRIPTION		DES. CHK.	APPROVED	REV.	DATE	REVISION DESCRIPTION		DES. CHK.	APPROVED	REFERENCE DRAWING No.	REFERENCE DRAWINGS	DRAWN BY	APPROVAL DATE	
												240K-C2-5100-25J-018	FRESH CONSTRUCTION WATER PIPING AND INSTRUMENTATION DIAGRAM	DESIGNED BY	APPROVAL DATE	
												K067-C2-5100-50L-001	FRESH WATER SYSTEM - PIPING GENERAL ARRANGEMENT - INDEX PLAN	CHECK DESIGN	APPROVAL DATE	
												K067-C2-5150-50T-121	FRESH WATER SYSTEM - PIPING SUPPORT ARRANGEMENT - PIPELINE DISCHARGE PS4B TO CV2	LEAD ENGINEER	APPROVAL DATE	
												K067-C2-5150-10C-004	FRESH WATER SYSTEM - CIVIL - CORRIDOR PIPELINE PS4B TO WATER TANK - GENERAL ARRANGEMENT	ENGINEERING MANAGER	APPROVAL DATE	
														CLIENT	APPROVAL DATE	
														SCALE	DRAWING NUMBER	
														1:1250	K067-C2-5150-50T-021	REV. 1

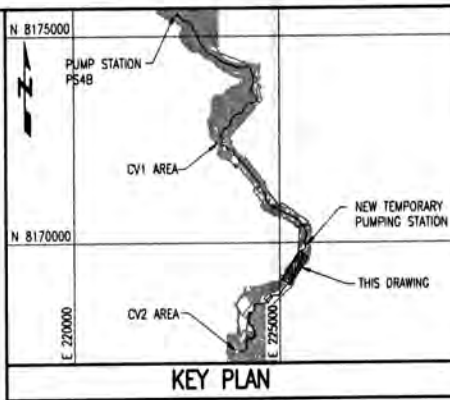
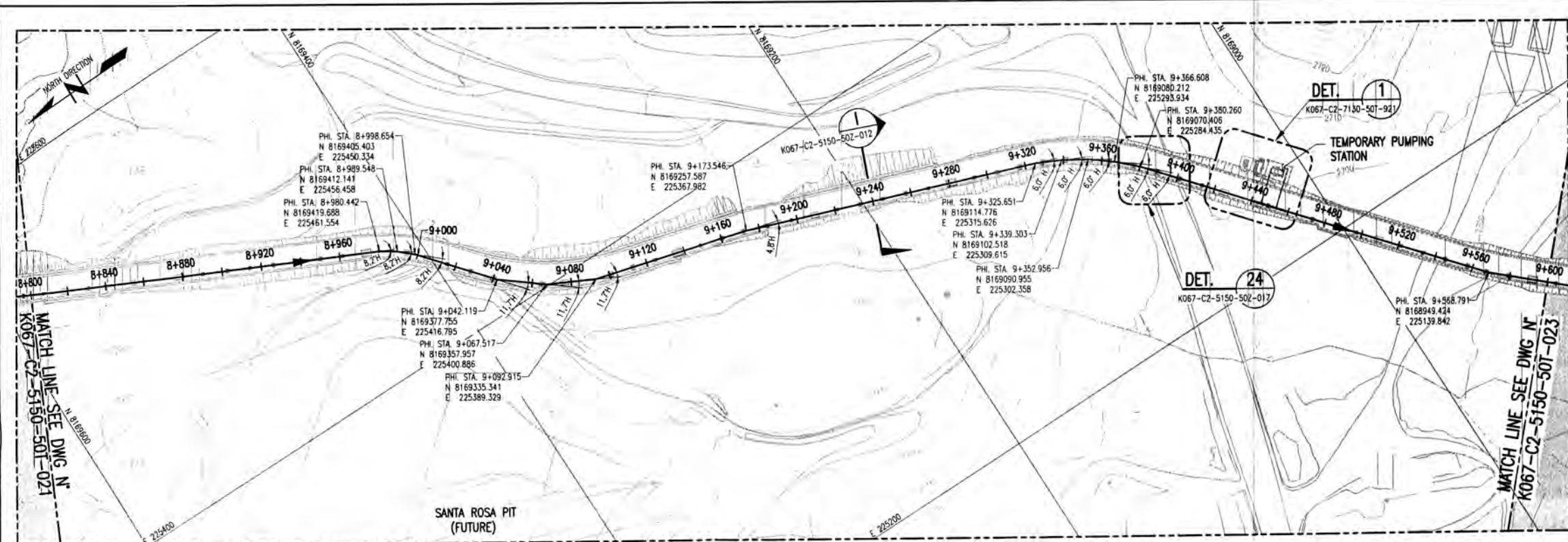


TABLE OF ABBREVIATIONS

BP	BEGIN OF PIPELINE INICIO DE LA TUBERIA DE IMPULSION
EP	END OF PIPELINE FINAL DE LA TUBERIA DE IMPULSION
STA	STATION ESTACION
ELEV	ELEVATION ELEVACION
PHI	POINT OF HORIZONTAL INTERSECTION PUNTO DE INTERSECCION HORIZONTAL
BHC	BEGIN OF HORIZONTAL CURVE INICIO DE CURVA HORIZONTAL
HHC	END OF HORIZONTAL CURVE FINAL DE CURVA HORIZONTAL
PVI	POINT OF VERTICAL INTERSECTION PUNTO DE INTERSECCION VERTICAL
BVC	BEGIN OF VERTICAL CURVE INICIO DE CURVA VERTICAL
EVC	END OF VERTICAL CURVE FINAL DE CURVA VERTICAL
ELL	ELBOW LONG RADIUS CODO RADIO LARGO
MB	MITER BEND CODO MITRADO
CUT ELL	CUT ELBOW LONG RADIUS CODO RADIO LARGO RECORRIDO
BFLC	BEND FLANGED AWWA C110 CURVA BLOQUEADA AWWA C110
H	HORIZONTAL HORIZONTAL
V	VERTICAL VERTICAL

NOTES:

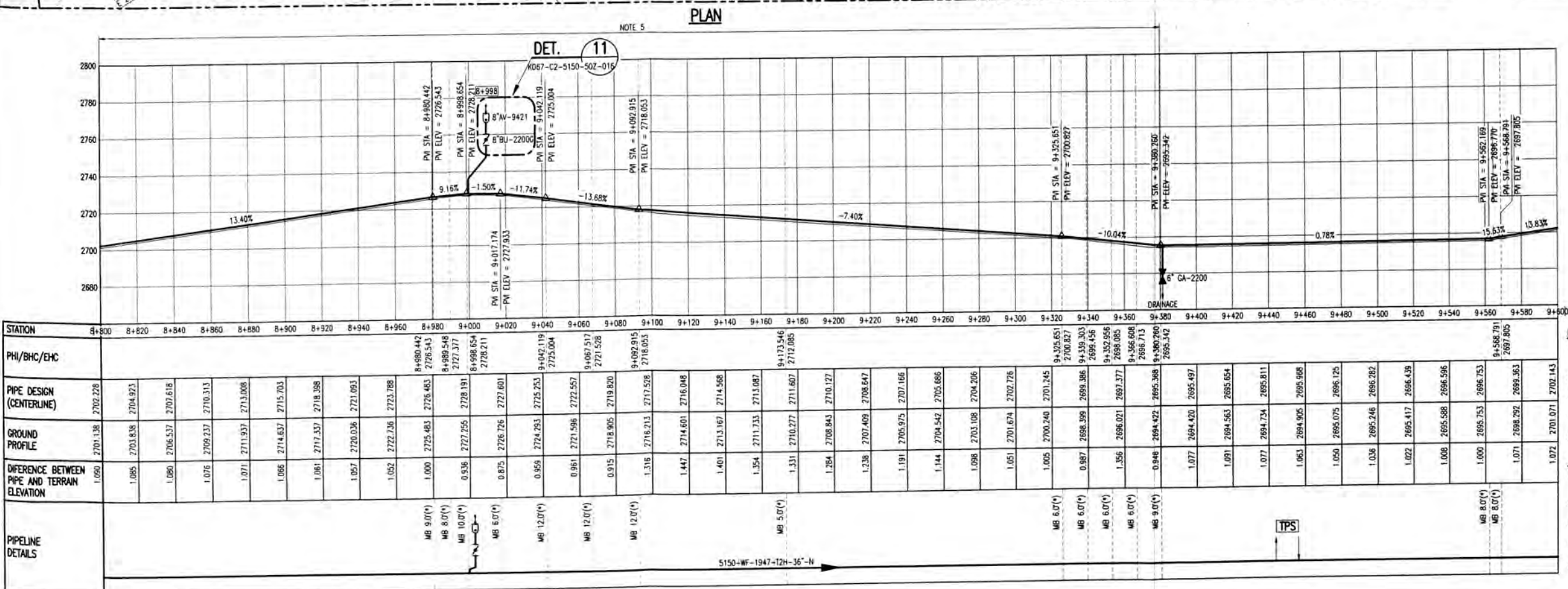
VERTICAL

1. ALL DIMENSIONS ARE IN MILLIMETERS.
ALL ELEVATIONS AND COORDINATES ARE IN METERS
(U.M.O.).
2. COORDINATES CORRESPOND TO THE GEODESIC SYSTEM
UTM DATUM PSAD 56, 195 ZONE.
3. FOR PIPING SUPPORTS ARRANGEMENT SEE DWG
N° K067-C2-5150-502-122.
4. (*) FOR MITER BEND DETAILS SEE DWG
N° K067-C2-5150-502-019/023.
5. SECTION OF PIPELINE (ABOVE GROUND) TO BE COATED
WITH PAINT, TPO, CHANTEL EXTERNALLY. BFR. ANIMA C203.

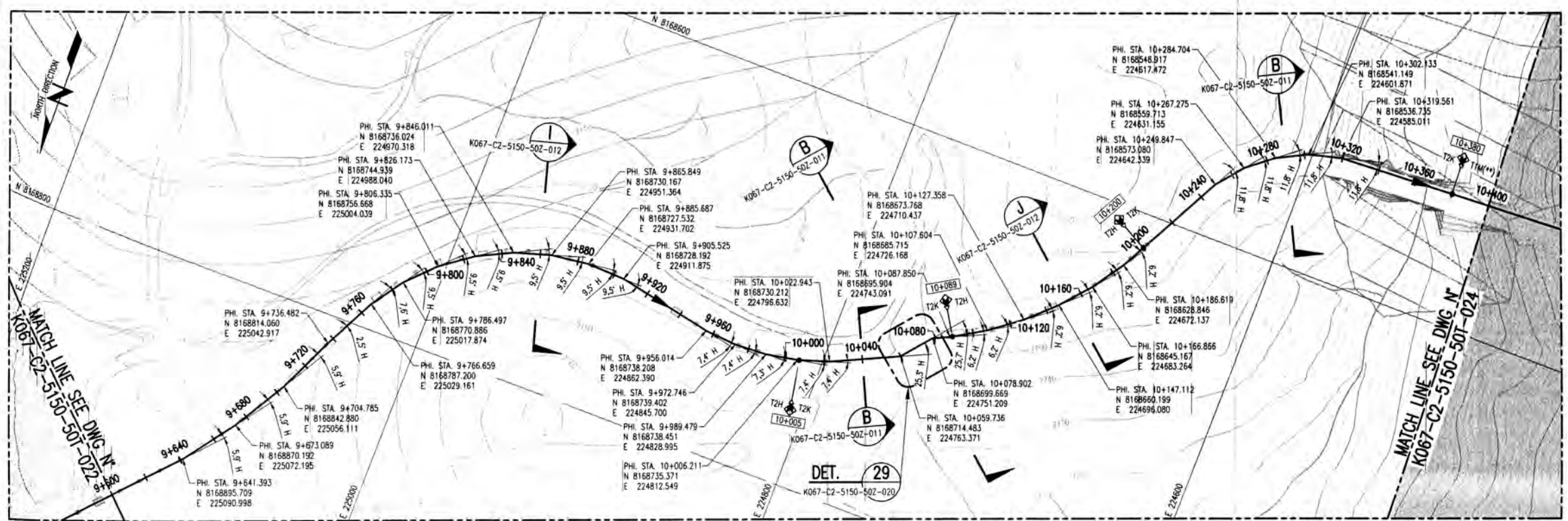
NOTAS:

1. TODAS LAS DIMENSIONES ESTAN EN MILÍMETROS.
TODAS LAS ELEVACIONES Y COORDENADAS ESTAN EN METROS (S.I.C.)
2. LAS COORDENADAS MOSTRADAS CORRESPONDEN AL SISTEMA GEODESICO UTM DATUM PSAD 56, ZONA 19S.
3. VER ARREGLO DE SOPORTES DE TUBERIAS EN EL PLANO N° K067-C2-5150-507-122.
- 4 (*) VER DETALLES DE CODOS MITRADOS EN LOS PLANOS N° K067-C2-5150-502-191/023.
5. TRAMO DE TUBERIA SOBRE TERRENO A SER PINTADO EXTERNAMENTE CON ESMALTE DE ALUMBRAN DE HULLA SEGUN AWMA C203.

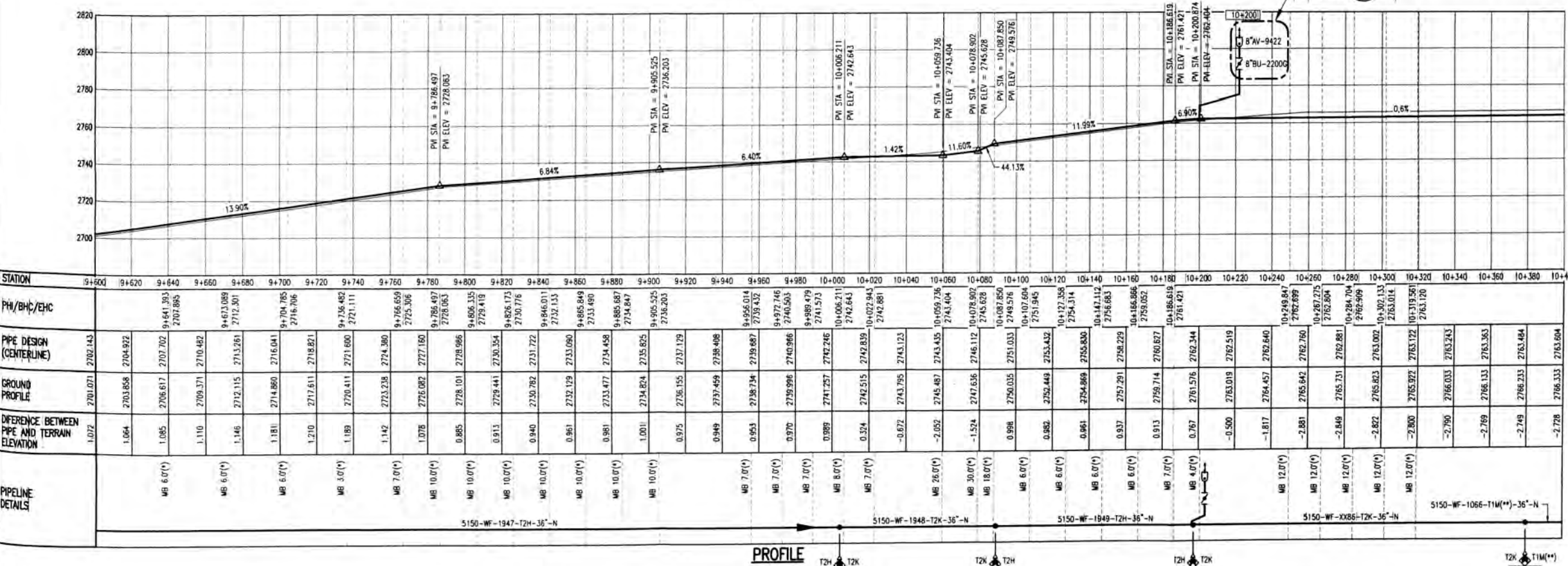
ENGLISH LANGUAGE SHALL GOVERN
LA LENGUA INGLESA TENDRÁ PRECEDENCIA



PROFILE



PLAN



PROFILE

REV.	DATE	REVISION DESCRIPTION	DES. CHK.	APPROVED	REV.	DATE	REVISION DESCRIPTION	DES. CHK.	APPROVED	REFERENCE DRAWING No.	REFERENCE DRAWINGS				DRAWN BY	APPROVAL DATE	FRESH WATER SYSTEM PIPING ARRANGEMENT					
																	DESIGNED BY	APPROVAL DATE	DISCHARGE PIPELINE FROM PS4B TO CV2 PLAN & PROFILE (13/16)			
										240K-C2-5100-25J-018	FRESH CONSTRUCTION WATER PIPING AND INSTRUMENTATION DIAGRAM											
										K067-C2-5100-50L-001	FRESH WATER SYSTEM - PIPING GENERAL ARRANGEMENT - INDEX PLAN											
										K067-C2-5150-50T-123	FRESH WATER SYSTEM - PIPING SUPPORT ARRANGEMENT - PIPELINE DISCHARGE PS4B TO CV2											
										K067-C2-5150-10C-004	FRESH WATER SYSTEM - CVML - CORRIDOR PIPELINE PS4B TO WATER TANK - GENERAL ARRANGEMENT											
																		LEAD ENGINEER	APPROVAL DATE	SISTEMA DE AGUA FRESCA		
																		ENGINEERING MANAGER	APPROVAL DATE	ARREGLO DE TUBERIAS - LÍNEA DE DESCARGA DESDE LA ESTACIÓN DE BOMBEO PS4B HASTA EL ÁREA DE ALMACENAMIENTO CV2 - PLANTA Y PERFIL (13/16)		
																		CLIENT	APPROVAL DATE	SCALE 1:1250	DRAWING NUMBER K067-C2-5150-50T-023	REV. 1

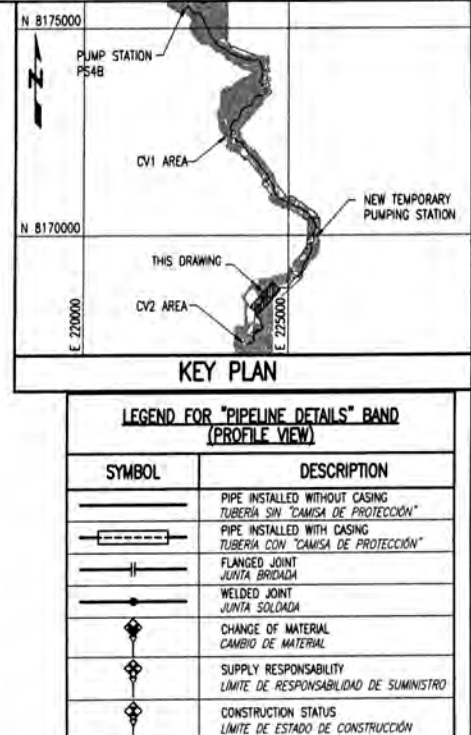
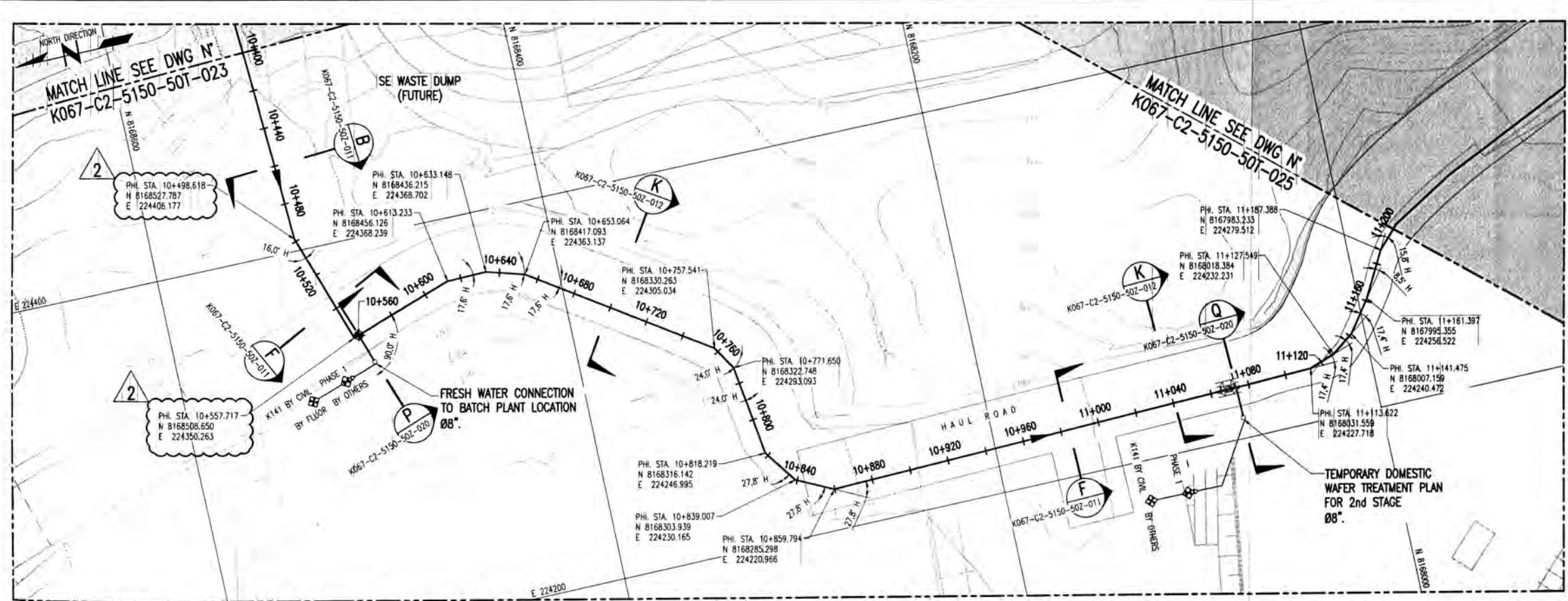
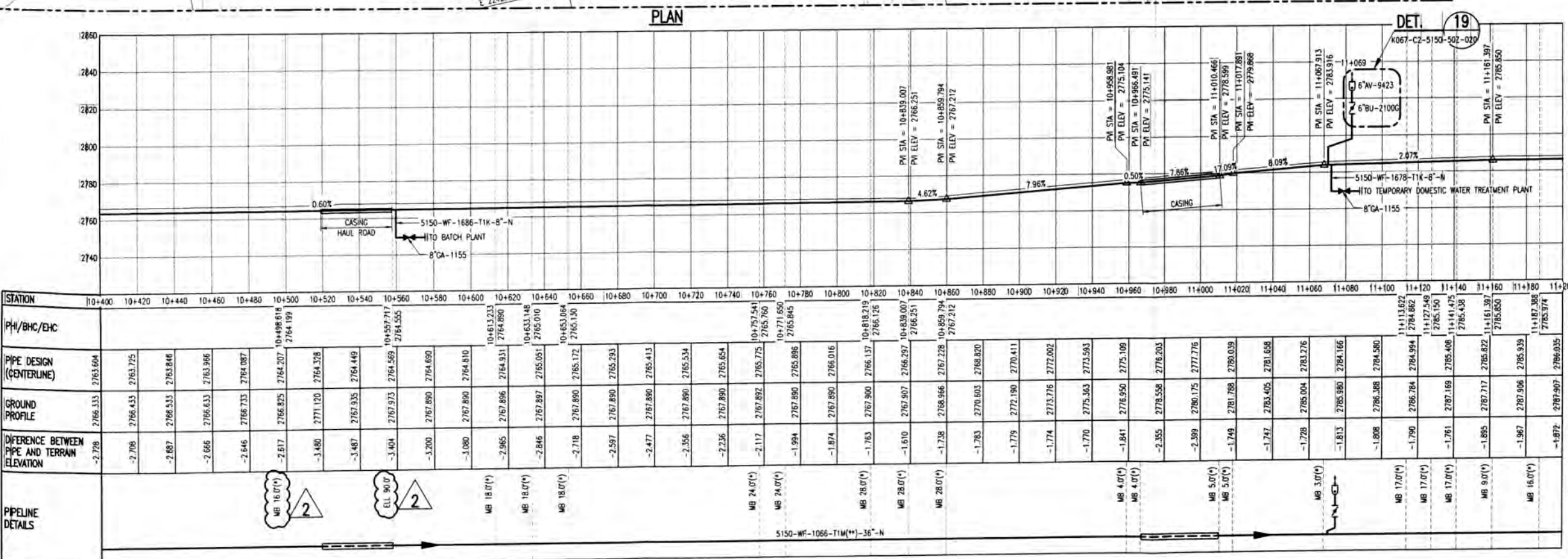


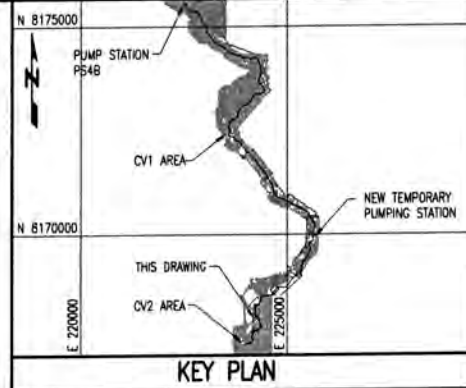
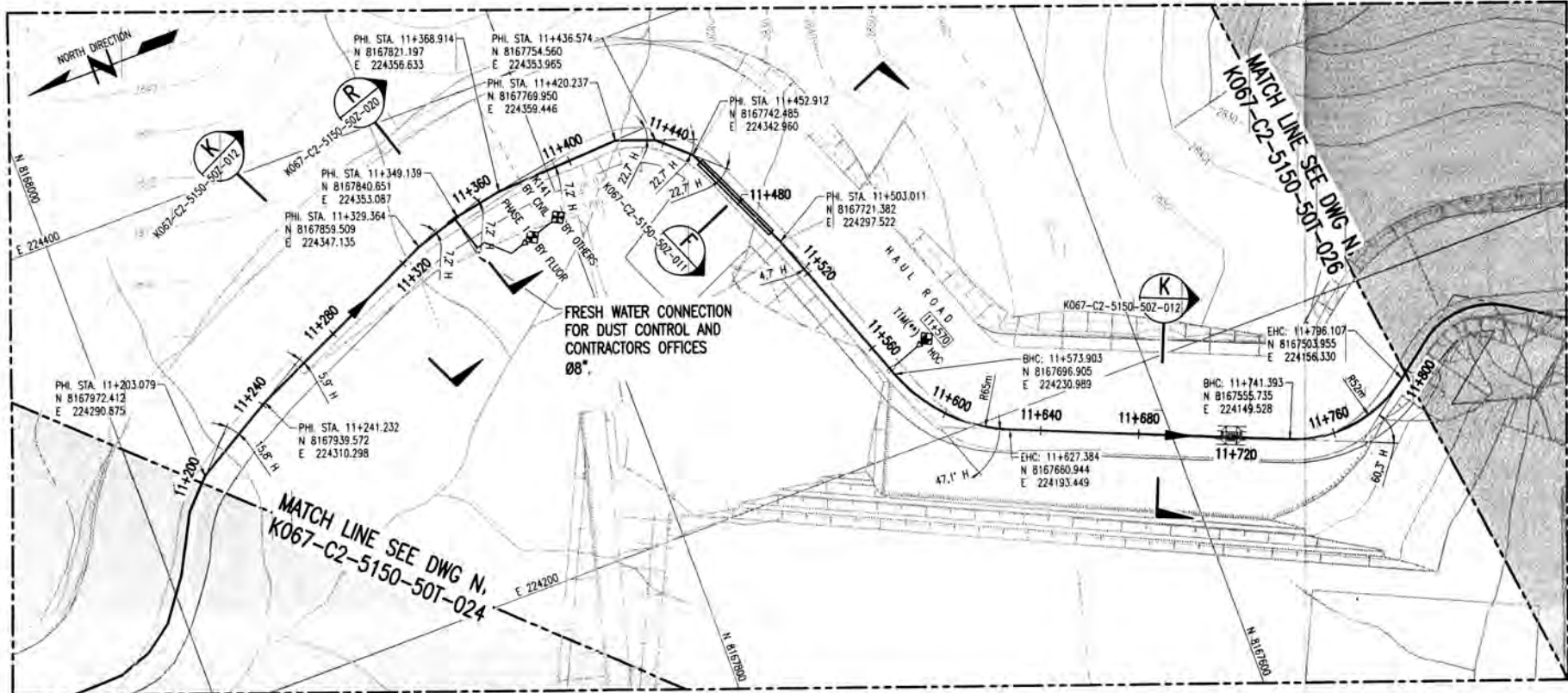
TABLE OF ABBREVIATIONS

BP	BEGIN OF PIPELINE
EP	END OF PIPELINE
STA	FINAL DE LA TUBERIA DE IMPULSION
ELEV	ESTACION ELEVACION
PHI	POINT OF HORIZONTAL INTERSECTION
BHC	PUNTO DE INTERSECCION HORIZONTAL
BH	BEGIN OF HORIZONTAL CURVE
EHC	INICIO DE CURVA HORIZONTAL
EH	END OF HORIZONTAL CURVE
PVI	POINT OF VERTICAL INTERSECTION
BVC	PUNTO DE INTERSECCION VERTICAL
EV	BEGIN OF VERTICAL CURVE
EV	END OF VERTICAL CURVE
ELL	ELBOW LONG RADIUS
MB	CODIGO RADIO LARGO
MB	CODIGO MITRADO
CUT ELL	CUT ELBOW LONG RADIUS
BFLC	CODIGO RADIO LARGO RECORDATO
H	BEND FLANCED AWNA C110
V	CURVA BRIDADA AWNA C110
V	HORIZONTAL
V	VERTICAL

- NOTES:**
- ALL DIMENSIONS ARE IN MILLIMETERS.
 - ALL ELEVATIONS AND COORDINATES ARE IN METERS (U.N.O.).
 - COORDINATES CORRESPOND TO THE GEODESIC SYSTEM UTM DATUM PSAO 56, 195 ZONE.
 - FOR PIPING SUPPORTS ARRANGEMENT SEE DWG N° K067-C2-5150-50T-124.
 - (**) INDICATED PIPELINES MUST BE PAINTED INTERNALLY WITH LIQUID EPOXY COATING AS PER AWWA C210 AND EXTERNALLY AS PER CSA Z245.20-02 MINIMUM SYSTEM 2A.
- NOTAS:**
- TODAS LAS DIMENSIONES ESTAN EN MILIMETROS.
 - TODAS LAS ELEVACIONES Y COORDENADAS ESTAN EN METROS (S.I.).
 - LAS COORDENADAS MOSTRADAS CORRESPONDEN AL SISTEMA GEODESICO UTM DATUM BATUM PSAO 56, ZONA 195.
 - VER ARREGLO DE SOPORTES DE TUBERIAS EN EL PLANO N° K067-C2-5150-50T-124.
 - (**) LAS TUBERIAS INDICADAS DEBEN SER PINTADAS INTERNAMENTE CON PINTURA EPOXICA SEGUN AWNA C210 Y EXTERNAMENTE SEGUN CSA Z245.20-02, SISTEMA 2A MINIMO.

ENGLISH LANGUAGE SHALL GOVERN
LA LENGUA INGLESA TENDRA PRECEDENCIA





LEGEND FOR "PIPELINE DETAILS" BAND (PROFILE VIEW)

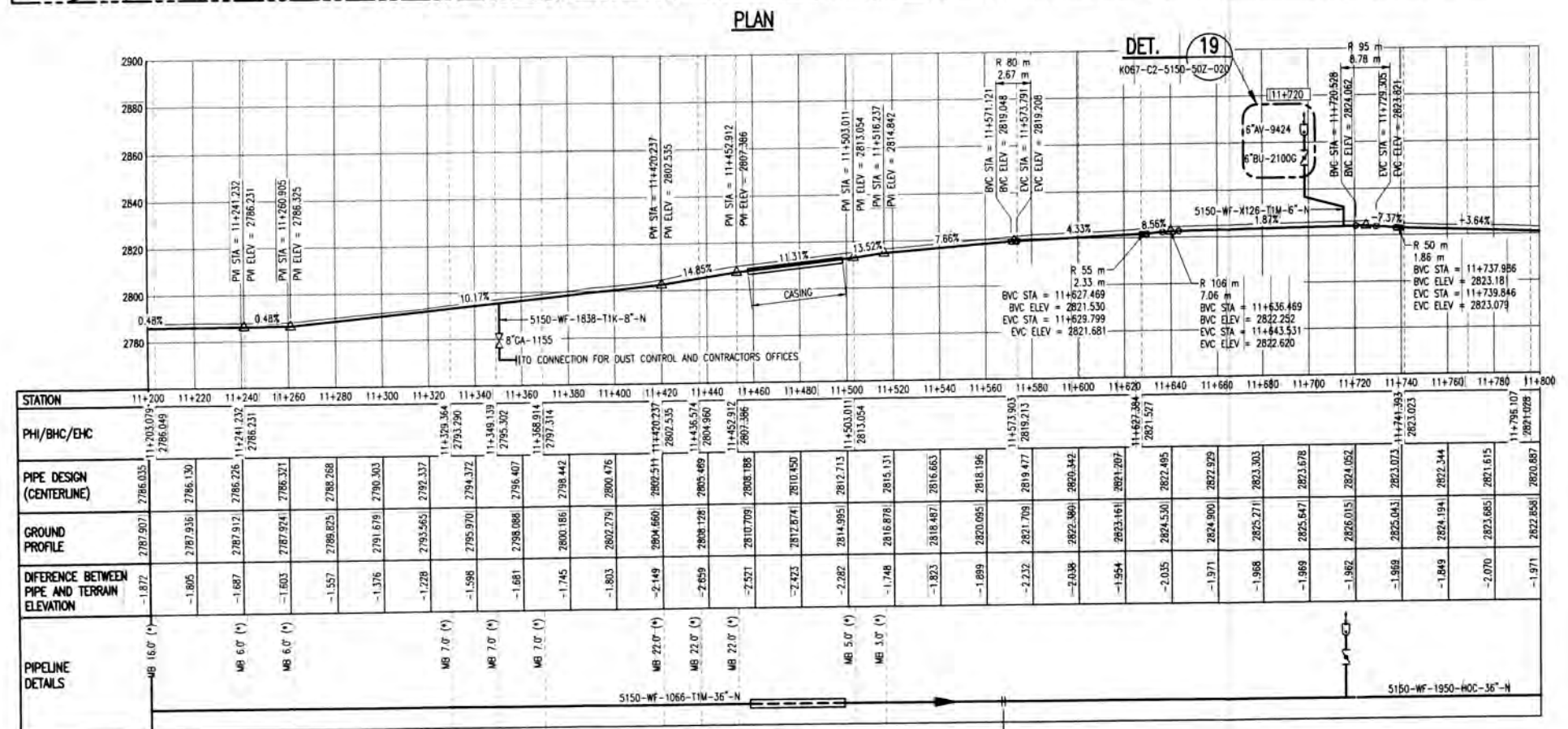
SYMBOL	DESCRIPTION
—	PIPE INSTALLED WITHOUT CASING TUBERIA SIN "CAMSIA DE PROTECCION"
—	PIPE INSTALLED WITH CASING TUBERIA CON "CAMSIA DE PROTECCION"
—	FLANGED JOINT JUNTA BRIDADA
—	WELDED JOINT JUNTA SOLDADA
—	CHANGE OF MATERIAL CAMBIO DE MATERIAL
—	SUPPLY RESPONSABILITY LIMITE DE RESPONSABILIDAD DE SUMINISTRO
—	CONSTRUCTION STATUS ESTADO DE CONSTRUCCION

TABLE OF ABBREVIATIONS

BP	BEGIN OF PIPELINE
EP	END OF PIPELINE
STA	STATION
ELEV	ELEVATION
PHI	POINT OF HORIZONTAL INTERSECTION
BHC	BEGIN OF HORIZONTAL CURVE
EHC	END OF HORIZONTAL CURVE
PM	POINT OF VERTICAL INTERSECTION
BVC	BEGIN OF VERTICAL CURVE
EVC	END OF VERTICAL CURVE
ELL	ELLBOW LONG RADIUS
MB	MITER BEND
CUT ELL	CUT ELLBOW LONG RADIUS
BFLG	BEND FLANGED AWNA C110
H	HORIZONTAL
V	VERTICAL

NOTES:

- ALL DIMENSIONS ARE IN MILLIMETERS.
- ALL ELEVATIONS AND COORDINATES ARE IN METERS (U.N.O.).
- COORDINATES CORRESPOND TO THE GEODESIC SYSTEM
- UTM DATUM PSAD 56, 195 ZONE.
- FOR PIPING SUPPORTS ARRANGEMENT SEE DWG NO K067-C2-5150-50T-125.
- (*) FOR MITER BENDS DETAILS SEE DWG N° K067-C2-5150-50T-019/023.
- (**) INDICATED PIPELINES MUST BE PAINTED INTERNALLY WITH LIQUID EPOXY COATING AS PER AWWA C210 AND EXTERNALLY AS PER CSA Z245.20-02 MINIMUM SYSTEM 2A.



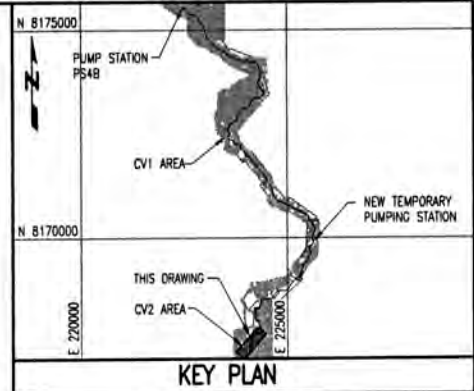
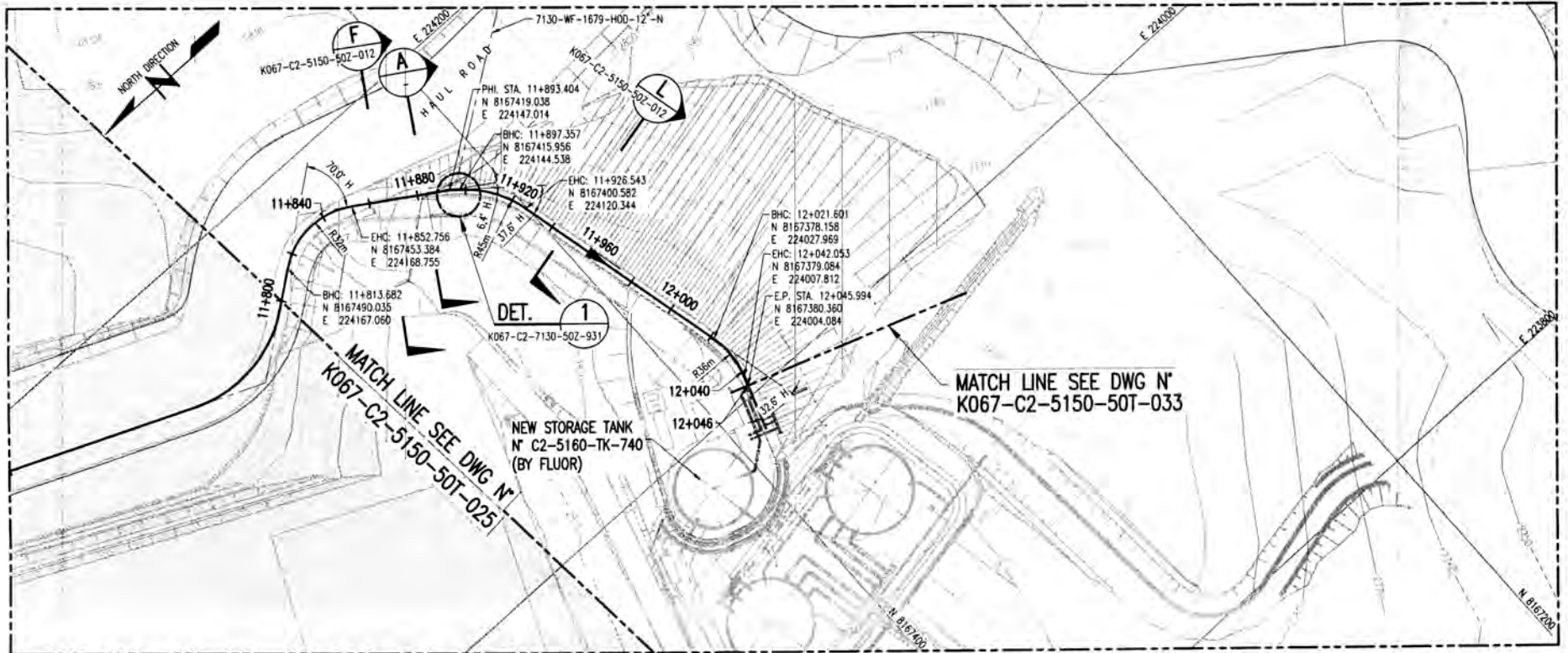
PROFILE

TIM(*) HOC
(11+570)

REV.	DATE	REVISION DESCRIPTION	DES. CHK.	APPROVED	REV.	DATE	REVISION DESCRIPTION	DES. CHK.	APPROVED	REFERENCE DRAWING No.	REFERENCE DRAWINGS					DRAWN BY	APPROVAL DATE
										K067-C2-5100-50L-001	FRESH WATER SYSTEM - PIPING GENERAL ARRANGEMENT - INDEX PLAN					DESIGNED BY	APPROVAL DATE
										K067-C2-5100-50T-125	FRESH WATER SYSTEM - PIPING SUPPORT ARRANGEMENT - PIPELINE DISCHARGE PS4B TO CV2					CHECK DESIGN	APPROVAL DATE
																LEAD ENGINEER	APPROVAL DATE
																ENGINEERING MANAGER	APPROVAL DATE
																CLIENT	APPROVAL DATE
																SCALE	DRAWING NUMBER
																1:1250	K067-C2-5150-50T-025

ENGLISH LANGUAGE SHALL PREVAIL
LA LENGUA INGLEZA TENDRA PRECEDENCIA

FRESH WATER SYSTEM
PIPING ARRANGEMENT
PIPELINE DISCHARGE FROM PS4B TO CV2
PLAN & PROFILE (15/16)
SISTEMA DE AGUA FRESCA
ARREGLO DE TUBERIAS - LÍNEA DE DESCARGA DESDE
LA ESTACIÓN DE BOMBEO PS4B HASTA EL ÁREA DE
ALMACENAMIENTO CV2 - PLANTA Y PERFIL (15/16)



LEGEND FOR "PIPELINE DETAILS" BAND
(PROFILE VIEW)

SYMBOL	DESCRIPTION
—	PIPE INSTALLED WITHOUT CASING TUBERIA SIN "CAMISA DE PROTECCION"
— — —	PIPE INSTALLED WITH CASING TUBERIA CON "CAMISA DE PROTECCION"
— + —	FLANGED JOINT JUNTA BRIDADA
— ⊗ —	WELDED JOINT JUNTA SOLDADA
◆ ◆ ◆	CHANGE OF MATERIAL CAMBIO DE MATERIAL
◆ ◆ ◆	SUPPLY RESPONSIBILITY LIMITE DE RESPONSABILIDAD DE SUMINISTRO
◆ ◆ ◆	CONSTRUCTION STATUS LIMITE DE ESTADO DE CONSTRUCCION

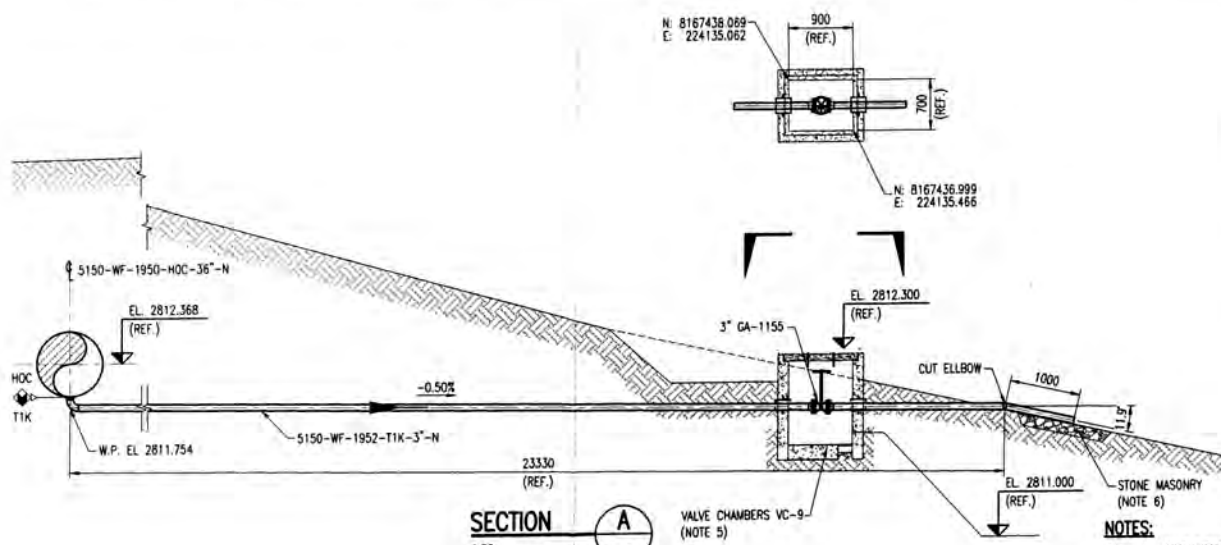
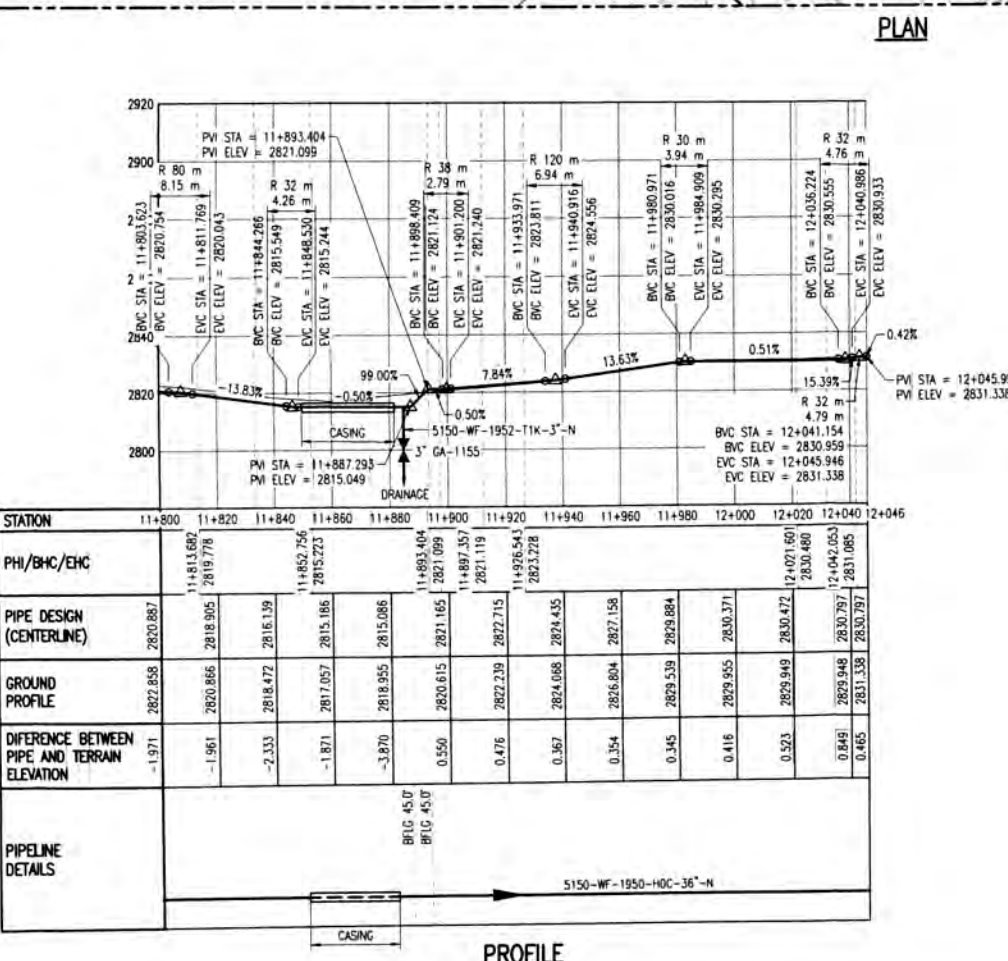


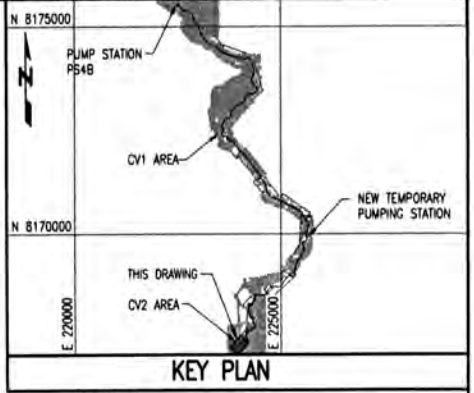
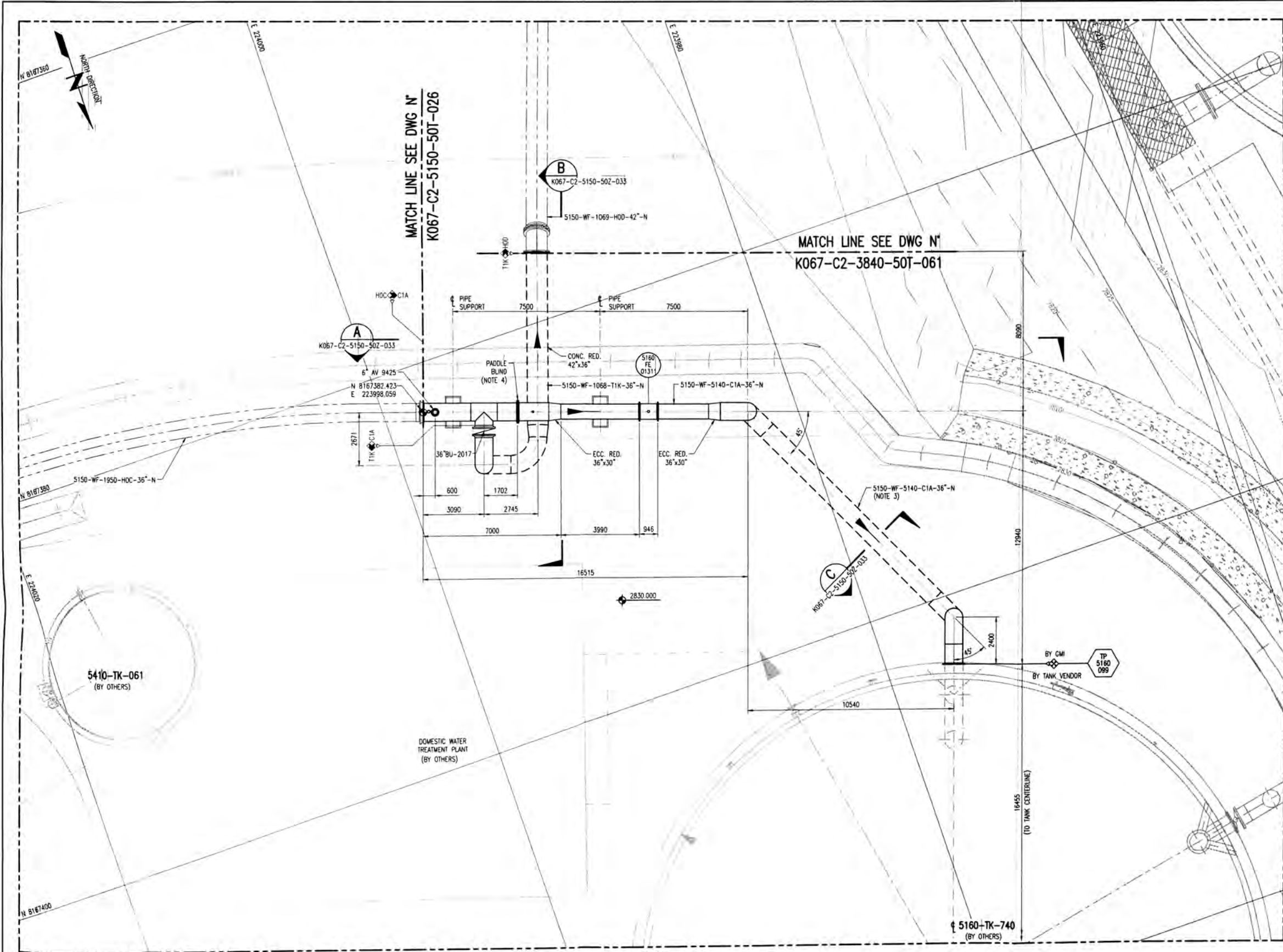
TABLE OF ABBREVIATIONS	
BP	BEGIN OF PIPELINE INICIO DE LA TUBERIA DE IMPULSION
EP	END OF PIPELINE FINAL DE LA TUBERIA DE IMPULSION
STA	STATION ESTACION
ELEV	ELEVATION ELEVACION
PHI	POINT OF HORIZONTAL INTERSECTION PUNTO DE INTERSECCION HORIZONTAL
BHC	BEGIN OF HORIZONTAL CURVE INICIO DE CURVA HORIZONTAL
EHC	END OF HORIZONTAL CURVE FINAL DE CURVA HORIZONTAL
PVI	POINT OF VERTICAL INTERSECTION PUNTO DE INTERSECCION VERTICAL
BVC	BEGIN OF VERTICAL CURVE INICIO DE CURVA VERTICAL
EVC	END OF VERTICAL CURVE FINAL DE CURVA VERTICAL
ELL	ELBOW LONG RADIUS CODO RADIO LARGO
MB	MITER BEND CODO MITRADO
CUT ELL	CUT ELBOW LONG RADIUS CODO RADIO LARGO RECORTADO
BFLG	BEND FLANGED AWWA C110 CURVA BRIDADA AWWA C110
H	HORIZONTAL
V	VERTICAL

- NOTES:
1. ALL DIMENSIONS ARE IN MILLIMETERS.
ALL ELEVATIONS AND COORDINATES ARE IN METERS (U.N.O.).
 2. COORDINATES CORRESPOND TO THE GEODESIC SYSTEM UTM DATUM PSAD 56, 195 ZONE.
 3. FOR PIPING SUPPORTS ARRANGEMENT SEE DWG N° K067-C2-5150-50T-126.
 4. (*) FOR MITER BENDS DETAILS SEE DWG N° K067-C2-5150-50T-019/023.
 5. SEE VALVE CHAMBERS DETAILS IN DWG N° K067-C2-5150-15R-015.
 6. FOR SIMILAR DETAILS SEE DRAWING N° K067-C2-0000-102-001.

- NOTAS:
1. TODAS LAS DIMENSIONES ESTAN EN MILIMETROS.
TODAS LAS ELEVACIONES Y COORDENADAS ESTAN EN METROS (S.I.C.).
 2. LAS COORDENADAS MOSTRADAS CORRESPONDEN AL SISTEMA GEODESICO UTM DATUM PSAD 56, ZONA 195.
 3. PARA SOPORTES DE TUBERIAS VER PLANO N° K067-C2-5150-50T-126.
 4. (*) VER DETALLES DE CODOS MITRADOS EN LOS PLANOS N° K067-C2-5150-50T-019/023.
 5. VER DETALLE DE CAJA DE VÁLVULAS EN EL PLANO N° K067-C2-5150-15R-015.
 6. VER DETALLES SIMILARES EN EL PLANO N° K067-C2-0000-102-001.

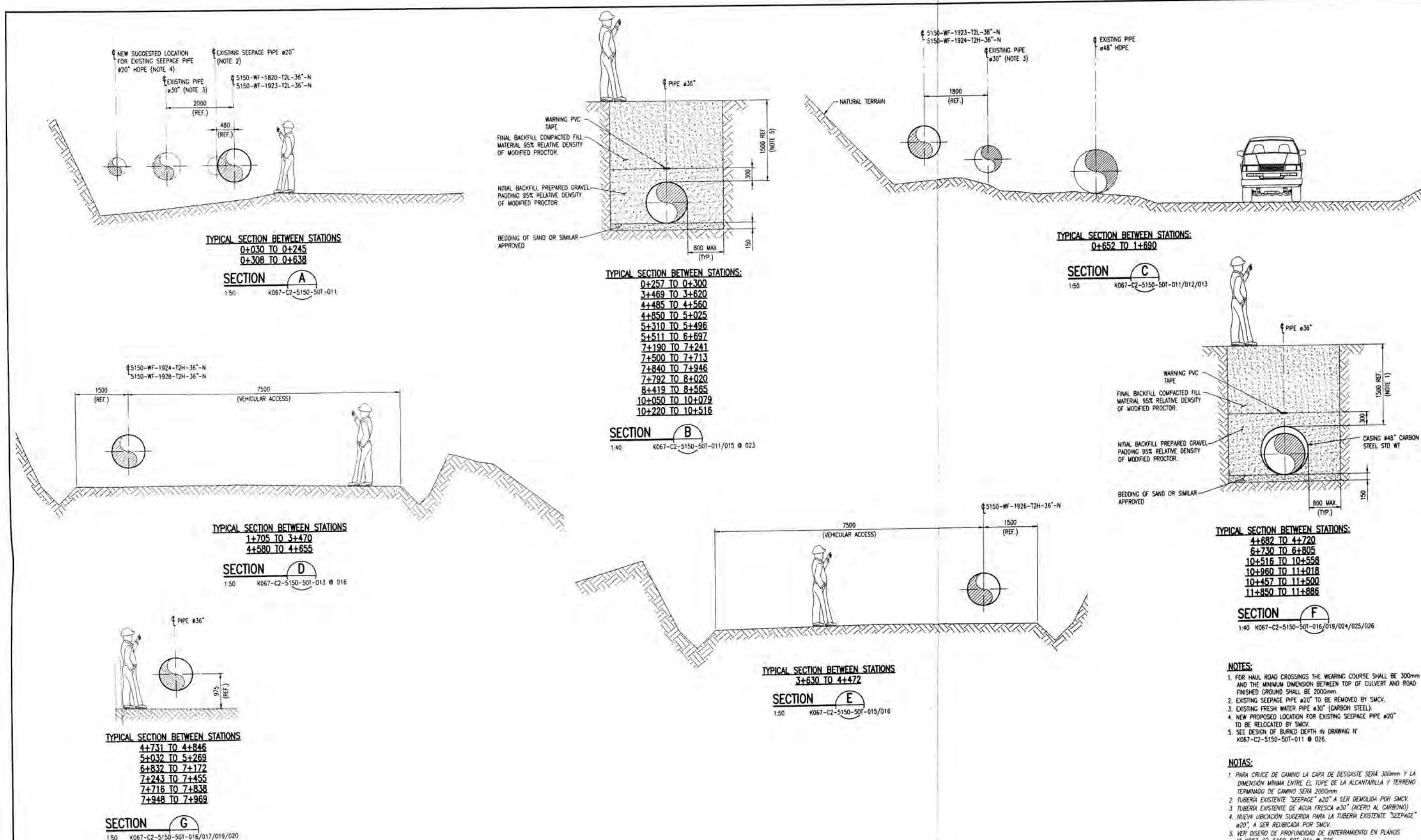
REV.	DATE	REVISION DESCRIPTION		DES. CHK.	APPROVED	REV.	DATE	REVISION DESCRIPTION		DES. CHK.	APPROVED	REFERENCE DRAWING No.	REFERENCE DRAWINGS	DRAWN BY	APPROVAL DATE	FRESH WATER SYSTEM PIPING ARRANGEMENT PIPELINE DISCHARGE FROM PS4B TO CV2 PLAN & PROFILE (16/16)						
		DES.	CHK.					REV.	DATE							DESIGNED BY	APPROVAL DATE	PIPELINE DISCHARGE FROM PS4B TO CV2 PLAN & PROFILE (16/16)				
																	CHECK DESIGN	APPROVAL DATE	SISTEMA DE AGUA FRESCA ARREGLO DE TUBERIAS - LINEA DE DESCARGA DESDE LA ESTACION DE BOMBEO PS4B HASTA EL AREA DE ALMACENAMIENTO CV2 - PLANTA Y PERFILE (16/16)			
																	LEAD ENGINEER	APPROVAL DATE				
																	ENGINEERING MANAGER	APPROVAL DATE				
																	CLIENT	APPROVAL DATE	SCALE	DRAWING NUMBER	REV.	
																	1:1250	K067-C2-5150-50T-026	1			

ENGLISH LANGUAGE SHALL GOVERN
LA LENGUA INGLESA TENDRA PRECEDENCIA



PLAN

REV.	DATE	REVISION DESCRIPTION	DES. CHK.	APPROVED	REV.	DATE	REVISION DESCRIPTION	DES. CHK.	APPROVED	REFERENCE DRAWING No.	REFERENCE DRAWINGS			DRAWN BY	APPROVAL DATE	FRESH WATER SYSTEM PIPING ARRANGEMENT				
																FACILITIES IN FRESH AND FIRE WATER STORAGE AREA PLAN				
										240K-C2-5100-25J-013	FRESH WATER STORAGE FACILITY - FRESH AND FIRE WATER STORAGE - PIPING AND INSTRUMENTATION DIAGRAM					DESIGNED BY	APPROVAL DATE	SISTEMA DE AGUA FRESCA ARREGLO DE TUBERIAS		
										K067-C2-5150-50T-010	FRESH WATER SYSTEM - PIPING GENERAL ARRANGEMENT - PIPELINE DISCHARGE - FROM PS4B TO CV2 - INDEX PLAN					CHECK DESIGN	APPROVAL DATE	FACILIDADES EN AREA DE ALMACENAMIENTO DE AGUA FRESA Y CONTRAINCENDIOS - PLANTA		
										240K-C2-5100-55W-701	FRESH WATER SYSTEM - FRESH WATER SYSTEM STORAGE & DIST. MECHANICAL DETAILS - FRESH/FIRE WATER STORAGE TANK					LEAD ENGINEER	APPROVAL DATE			
										K067-C2-5150-10C-004	FRESH WATER SYSTEM - CIVIL - CORRIDOR PIPELINE PS4B TO WATER TANK - GENERAL ARRANGEMENT					ENGINEERING MANAGER	APPROVAL DATE			
										K067-C2-5150-50Z-033	FRESH WATER - PIPING ARRANGEMENT FACILITIES IN FRESH AND FIRE WATER STORAGE AREA - SECTIONS					CLIENT	APPROVAL DATE	SCALE 1:100	DRAWING NUMBER K067-C2-5150-50T-033	REV. B



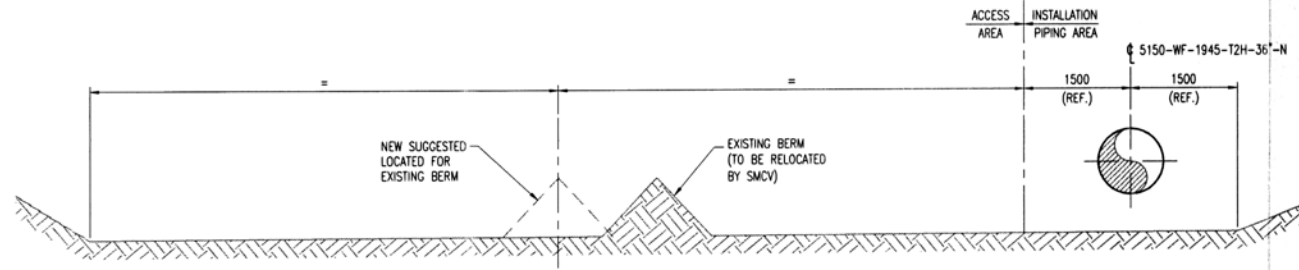
GS I - PIPELINE DISCHARGE E	

DRAWN BY	APPROVAL DATE
DESIGNED BY	APPROVAL DATE
CHECK DESIGN	APPROVAL DATE
LEAD ENGINEER	APPROVAL DATE
ENGINEERING MANAGER	APPROVAL DATE
CLIENT	APPROVAL DATE

FRESH WATER SYSTEM
PIPING ARRANGEMENT
PIPELINE DISCHARGE FROM PS4B TO CV2
SECTIONS

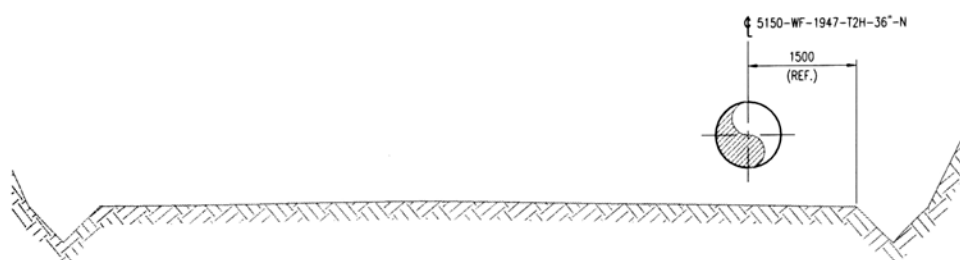
SISTEMA DE AGUA FRESCA
ARREGLO DE TUBERIAS - LINEA DE DESCARGA DESDE
LA ESTACION DE BOMBEO PS4B HASTA EL AREA DE
ALMACENAMIENTO CV2 - SECCIONES

ENGLISH LANGUAGE SHALL GOVERN
LA LENGUA INGLESA TENDRÁ PRECEDENCIA



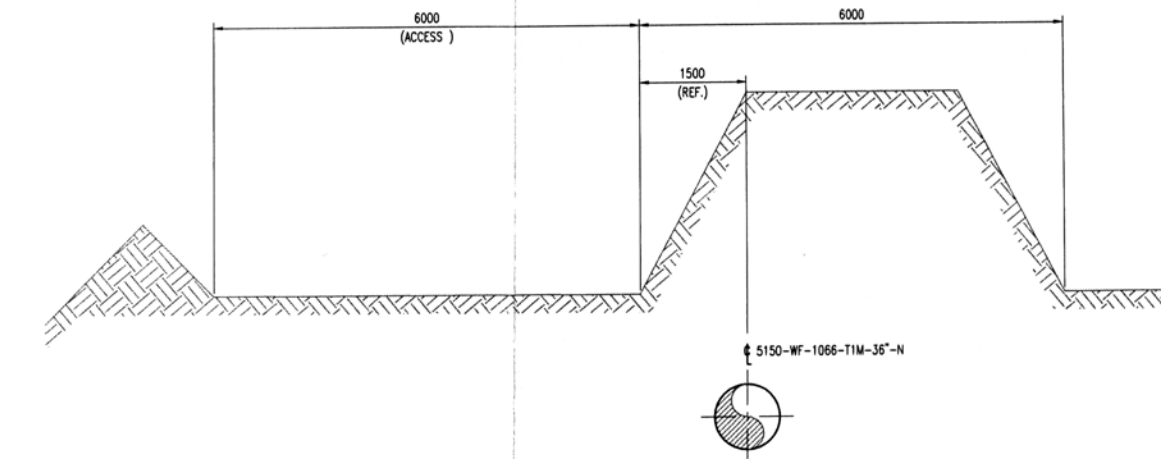
TYPICAL SECTION BETWEEN STATION
8+050 TO 8+440

SECTION H
1:50 K067-C2-5150-50T



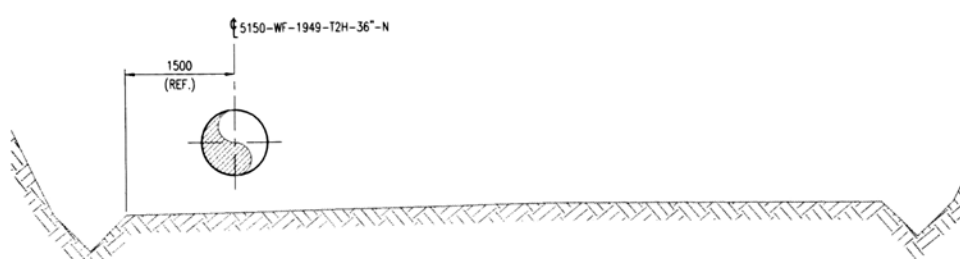
TYPICAL SECTION BETWEEN STATION

SECTION I
1:50 K067-C2-5150-50T-021/022/0



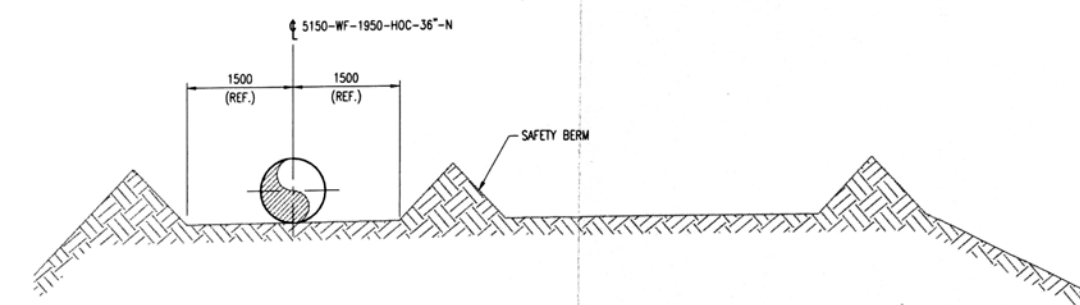
TYPICAL SECTION BETWEEN STATIONS

SECTION K
1:50 K067-C2-5150-50T-024/024



TYPICAL SECTION BETWEEN STATION
10+088 TO 10+200

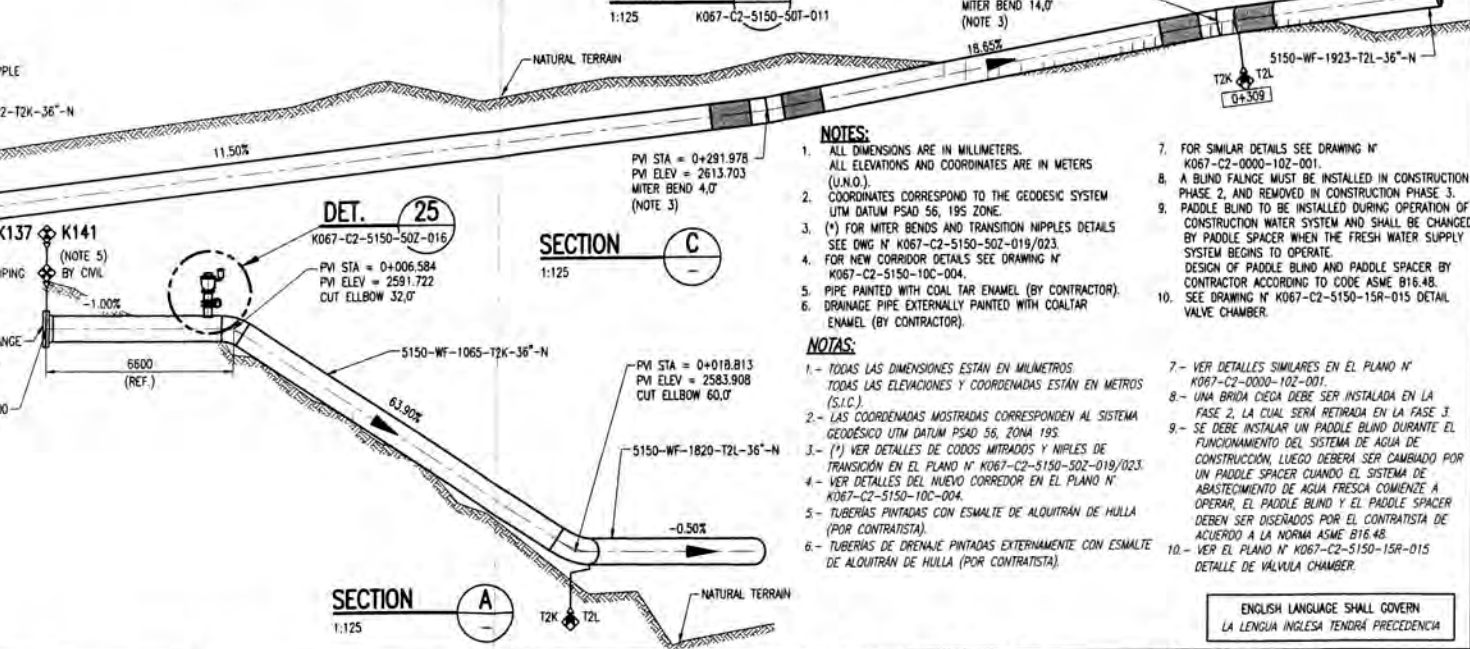
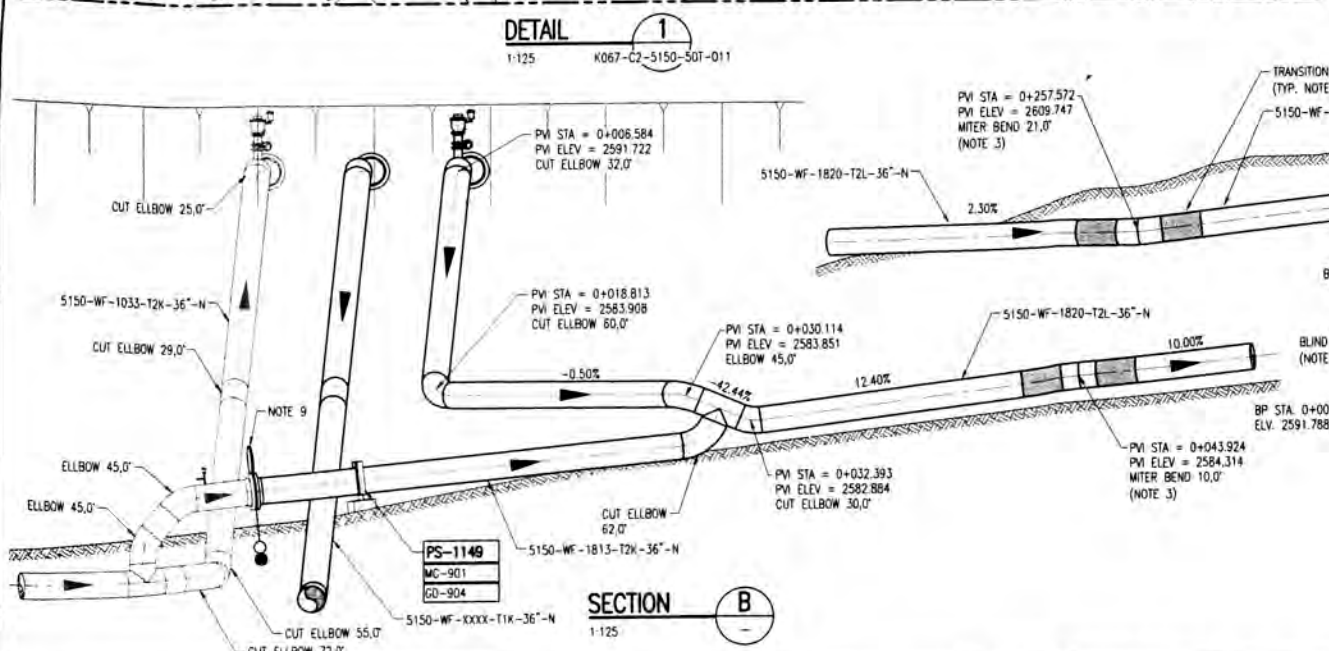
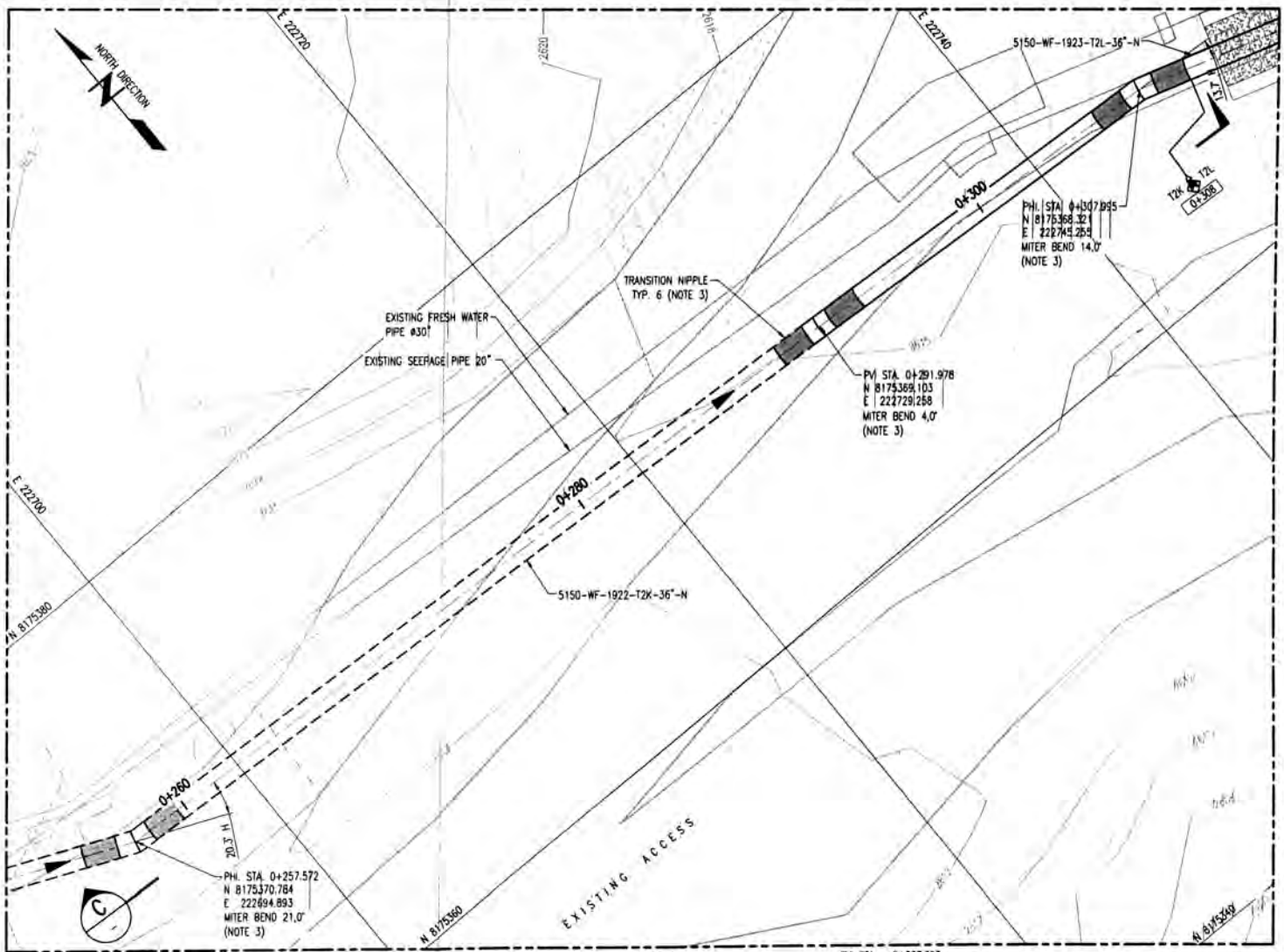
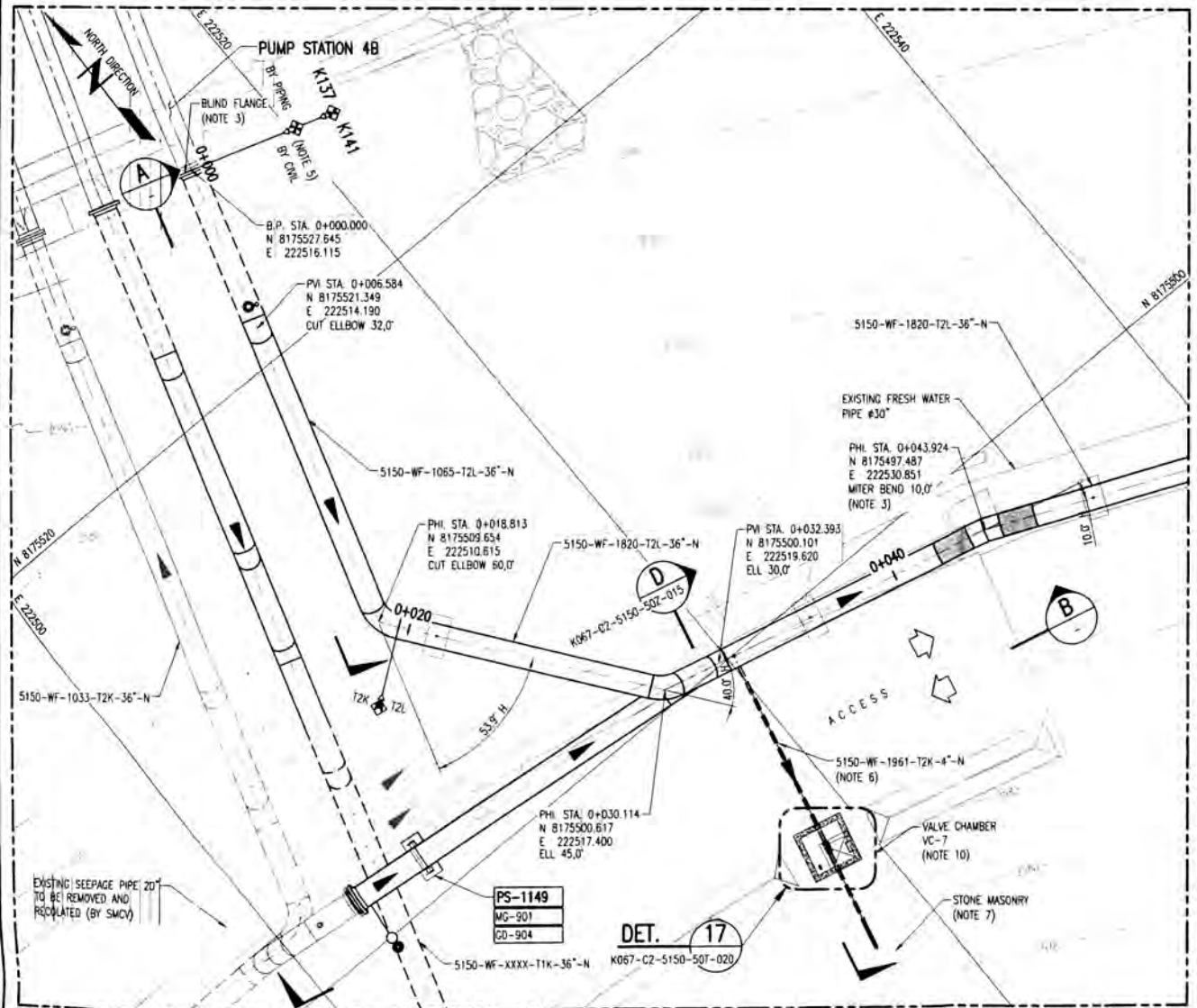
SECTION J
1:50 K067-C2-5150-50T-0



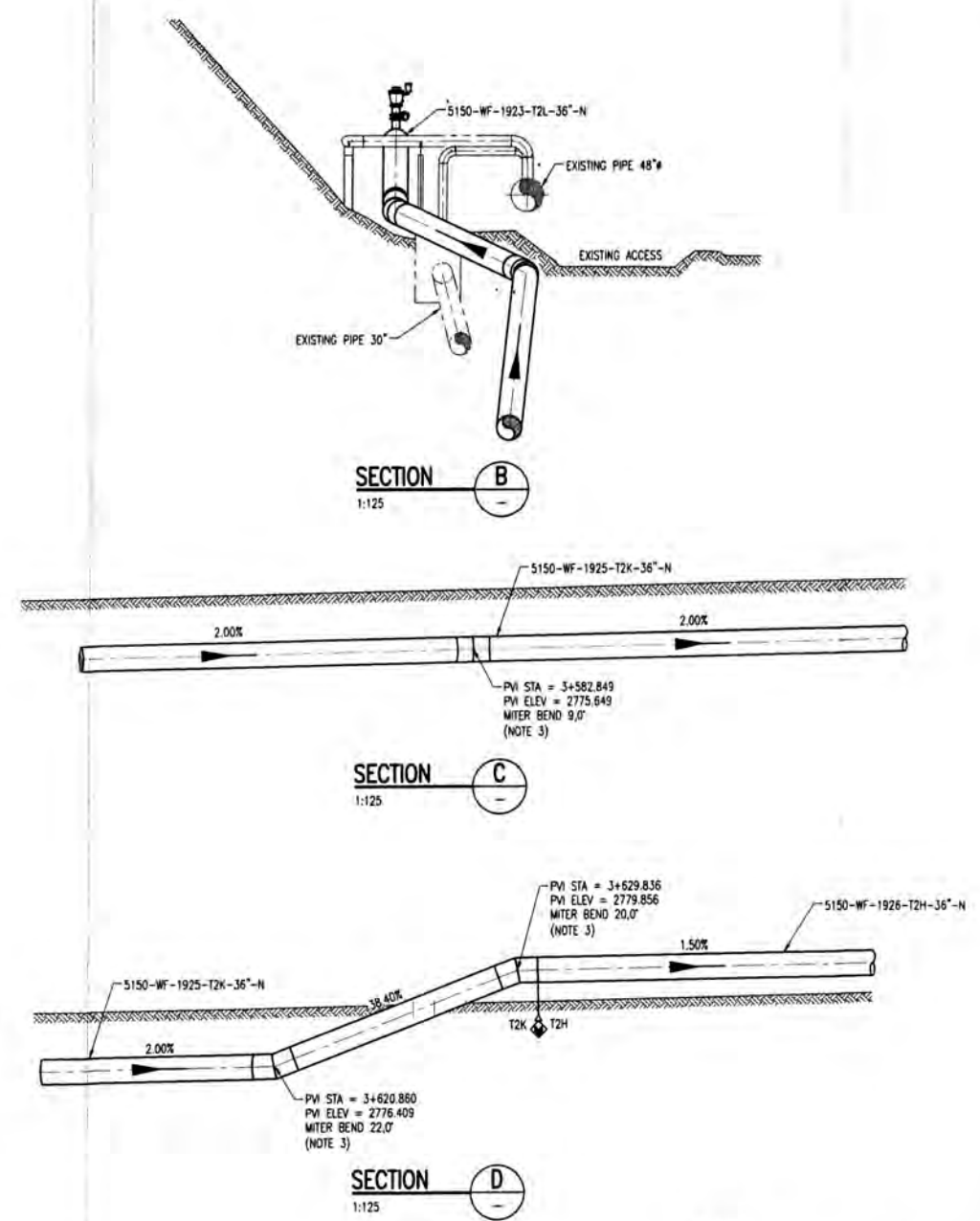
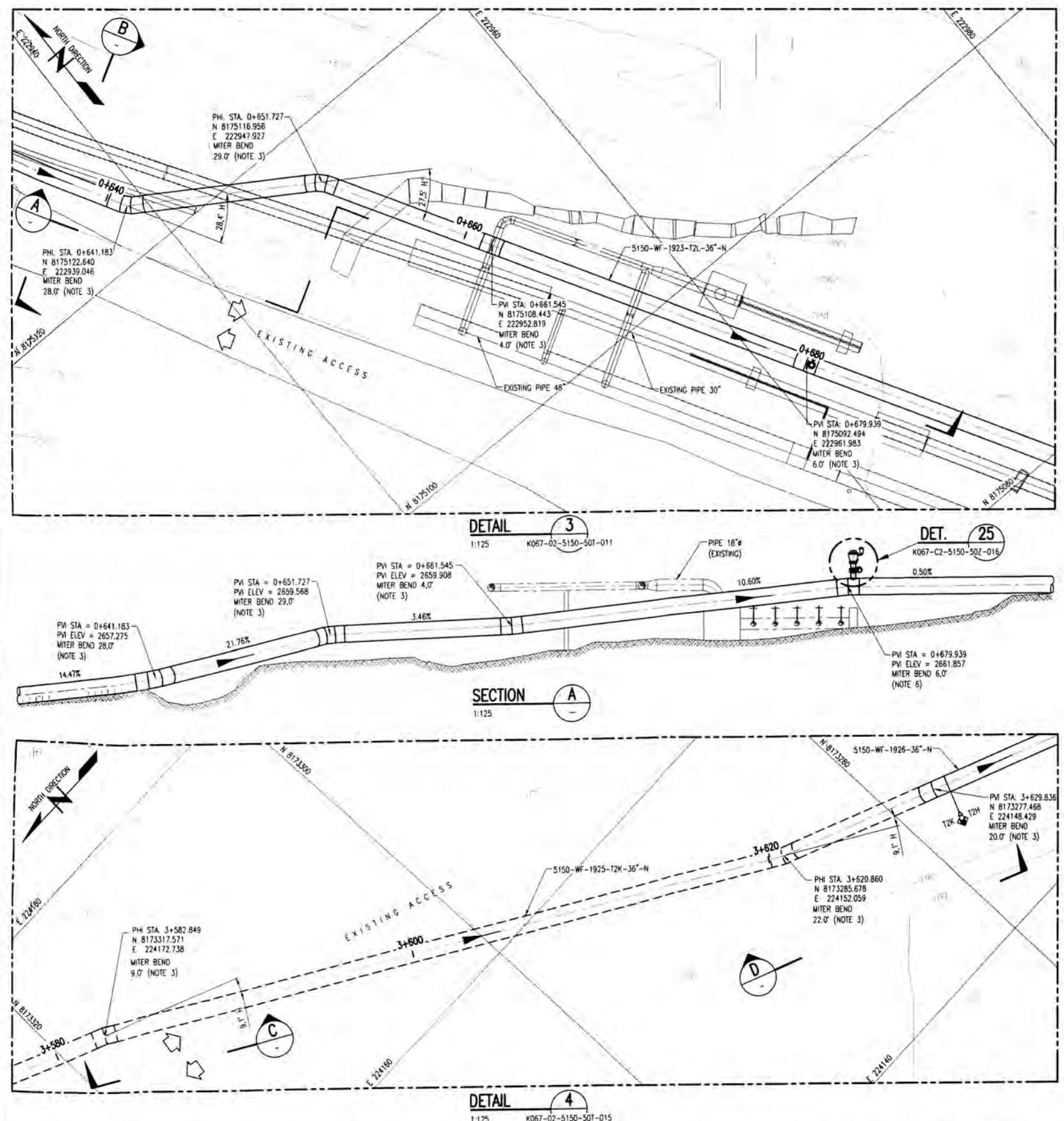
TYPICAL SECTION BETWEEN STATION

SECTION L
1:50 K067-C2-5150-50T-0

ENGLISH LANGUAGE SHALL GOVERN
LA LENGUA INGLESA TENDRÁ PRECEDENCIA



		DRAWN BY	APPROVAL DATE	FRESH WATER SYSTEM PIPING ARRANGEMENT PIPELINE DISCHARGE FROM PS4B TO CV2 DETAILS		
		DESIGNED BY	APPROVAL DATE	SISTEMA DE AGUA FRESCA ARREGLO DE TUBERÍAS - LÍNEA DE DESCARGA DESDE LA ESTACIÓN DE BOMBEO PS4B HASTA EL ÁREA DE ALMACENAMIENTO CV2 - DETALLES		
		CHECK DESIGN	APPROVAL DATE			
		LEAD ENGINEER	APPROVAL DATE			
		ENGINEERING MANAGER	APPROVAL DATE			
		CLIENT	APPROVAL DATE	SCALE INDICATED	DRAWING NUMBER K067-C2-5150-50Z-013	REV. 1



NOTES:

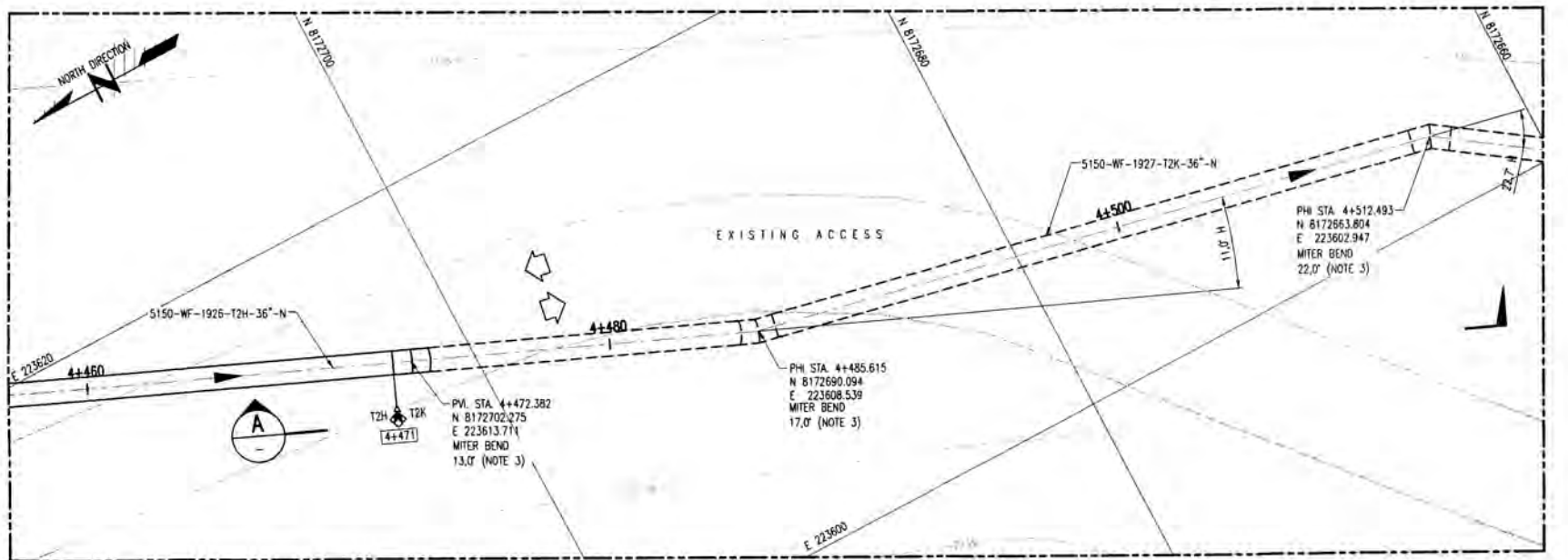
1. ALL DIMENSIONS ARE IN MILLIMETERS.
ALL ELEVATIONS AND COORDINATES ARE IN METERS
(U.N.O.).
2. COORDINATES CORRESPOND TO THE GEODESIC SYSTEM
UTH DATUM PSD 56, 195 ZONE.
3. FOR METER BENDS DETAILS SEE DWG
N° K067-C2-5150-020-019/023.
4. FOR NEW CORRIDOR DETAILS SEE DRAWING N°
K067-C2-5150-10C-004.

NOTAS:

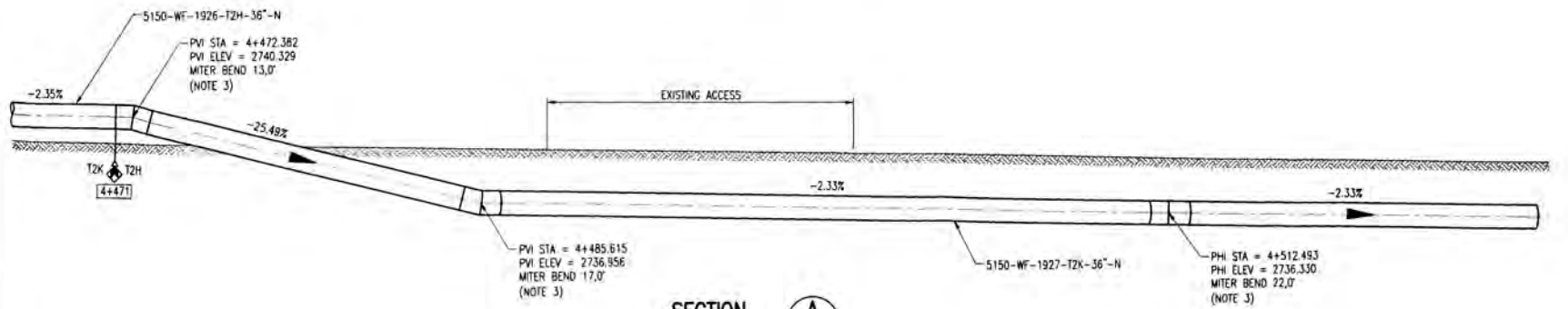
- 1.- TODAS LAS DIMENSIONES ESTÁN EN MILÍMETROS.
- 2.- TODAS LAS ELEVACIONES Y COORDENADAS ESTÁN EN METRO (S.I.).
- 3.- LAS COORDENADAS MOSTRADAS CORRESPONDEN AL SISTEMA GEODESICO UTM DATUM PSAD 56 ZONA 19S.
- 4.- VER DETALLES DE CODOS MITRADOS EN EL PLANO N° K067-C2-5150-502-019/023.
- 4.- VER DETALLES DEL NUEVO CORREDOR EN EL PLANO N° K067-C2-5150-107-004.

ENGLISH LANGUAGE SHALL GOVERN
LA LENGUA INGLESA TENDRÁ PRECEDENCIA

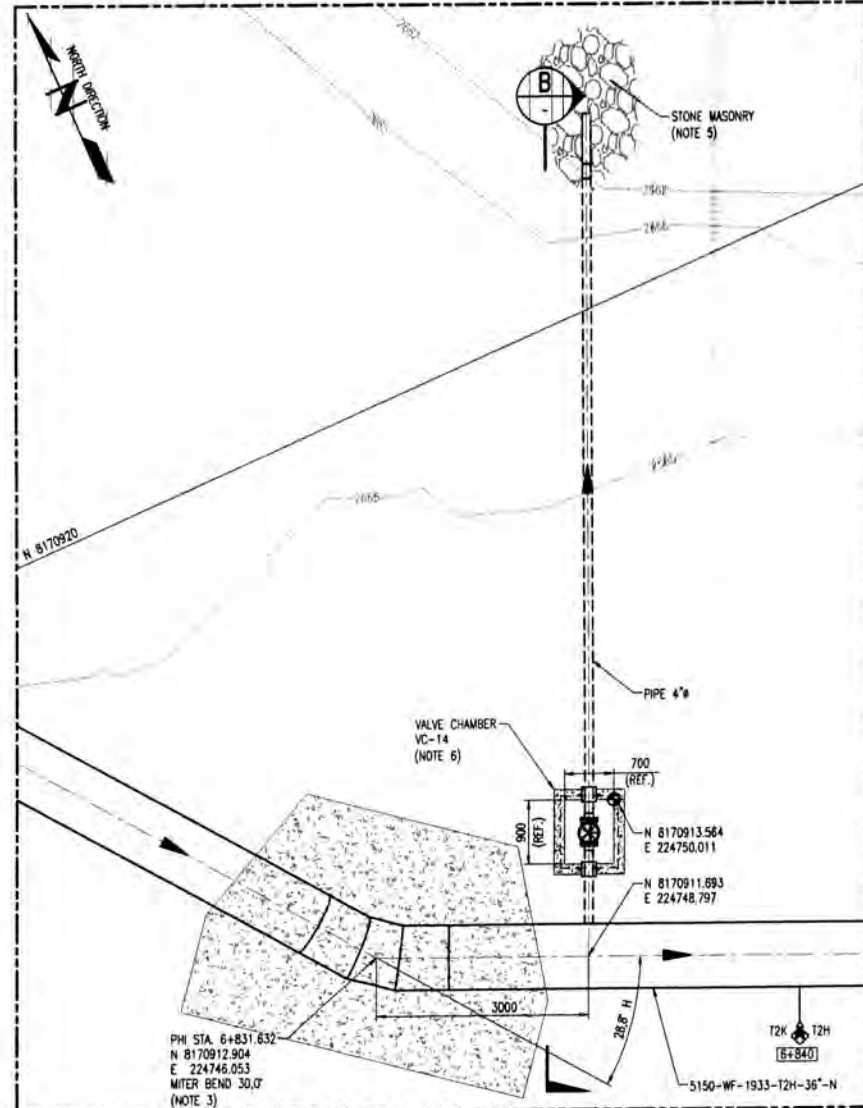
REV.	DATE	REVISION DESCRIPTION	DES. CHK.	APPROVED	REV.	DATE	REVISION DESCRIPTION	DES. CHK.	APPROVED	REFERENCE DRAWING No.	REFERENCE DRAWINGS					DRAWN BY	APPROVAL DATE	FRESH WATER SYSTEM PIPING ARRANGEMENT PIPELINE DISCHARGE FROM PS4B TO CV2 SECTIONS & DETAILS				
																		DESIGNED BY	APPROVAL DATE	SISTEMA DE AGUA FRESCA ARREGLO DE TUBERIAS - LINEA DE DESCARGA DESDE LA ESTACION DE BOMBEO PS4B HASTA EL AREA DE ALMACENAMIENTO CV2 - SECCIONES Y DETALLES		
										240K-C2-5100-25J-006	FRESH WATER SYSTEM - PUMP STATION N° 48 - PIPING AND INSTRUMENTATION DIAGRAM							LEAD ENGINEER	APPROVAL DATE			
										K067-C2-5150-50T-015	FRESH WATER SYSTEM - PIPING ARRANGEMENT - PIPELINE DISCHARGE FROM PS4B TO CV2 STORAGE AREA PLAN & PROFILE (5/16)							ENGINEERING MANAGER	APPROVAL DATE			
										K067-C2-5150-50T-016	FRESH WATER SYSTEM - PIPING ARRANGEMENT - PIPELINE DISCHARGE FROM PS4B TO CV2 STORAGE AREA PLAN & PROFILE (6/16)							CLIENT	APPROVAL DATE	SCALE INDICATED	DRAWING NUMBER K067-C2-5150-50Z-014	REV. 1



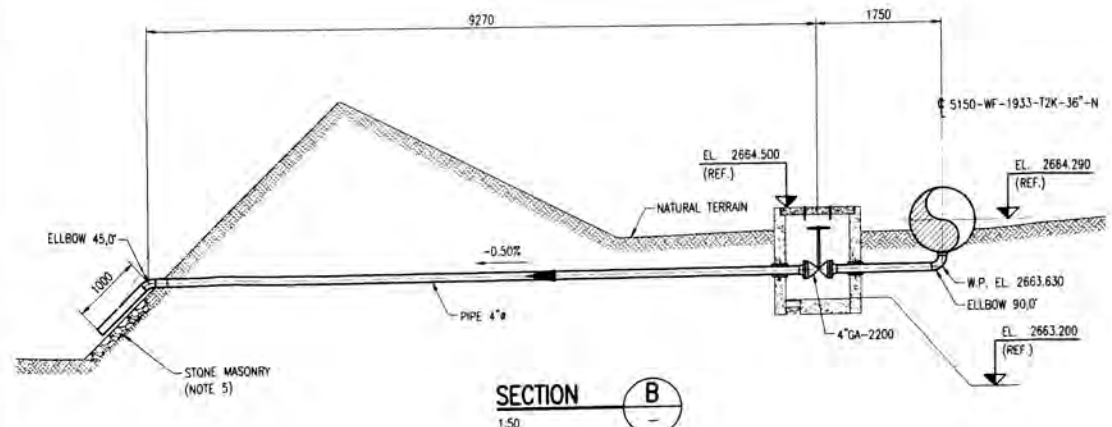
DETAIL 5
1:125 K067-C2-5150-50Z-016



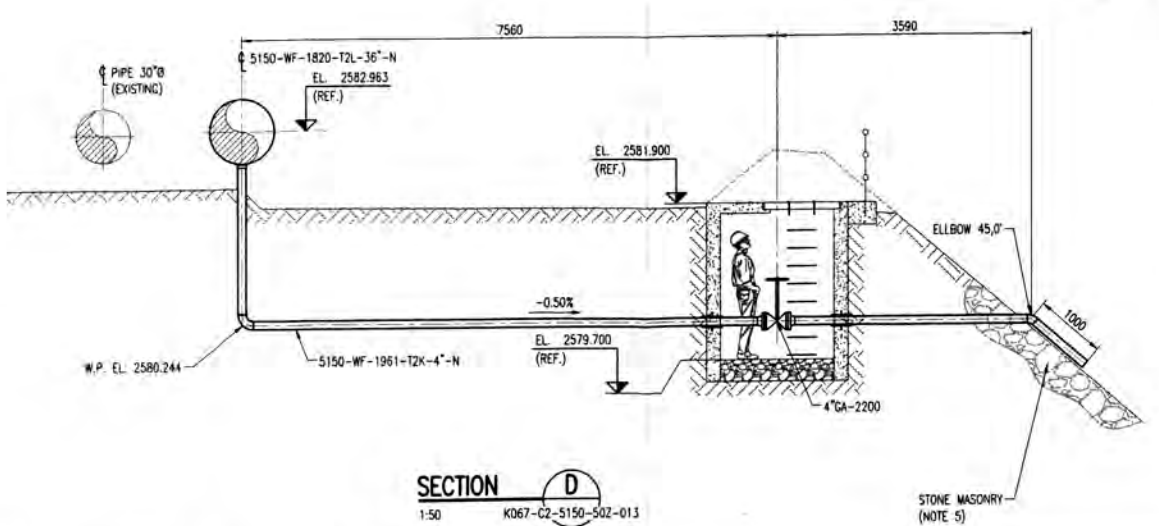
SECTION A
1:125



DETAIL 28
1:50 K067-C2-5150-50Z-016



SECTION B
1:50



SECTION D
1:50 K067-C2-5150-50Z-013

NOTES:

- ALL DIMENSIONS ARE IN MILLIMETERS.
- ALL ELEVATIONS AND COORDINATES ARE IN METERS (U.N.O.).
- COORDINATES CORRESPOND TO THE GEODESIC SYSTEM UTM DATUM PSAD 56, 195 ZONE.
- FOR MITER BENDS DETAILS SEE DWG N° K067-C2-5150-50Z-019/023.
- PIPE EXTERNALLY PAINTED WITH COAL TAR ENAMEL (BY CONTRACTOR).
- FOR SIMILAR DETAILS SEE DWG N° K067-C2-0000-10Z-001.
- SEE DRAWING K067-C2-5150-15R-015 DETAIL VALVE CHAMBER.

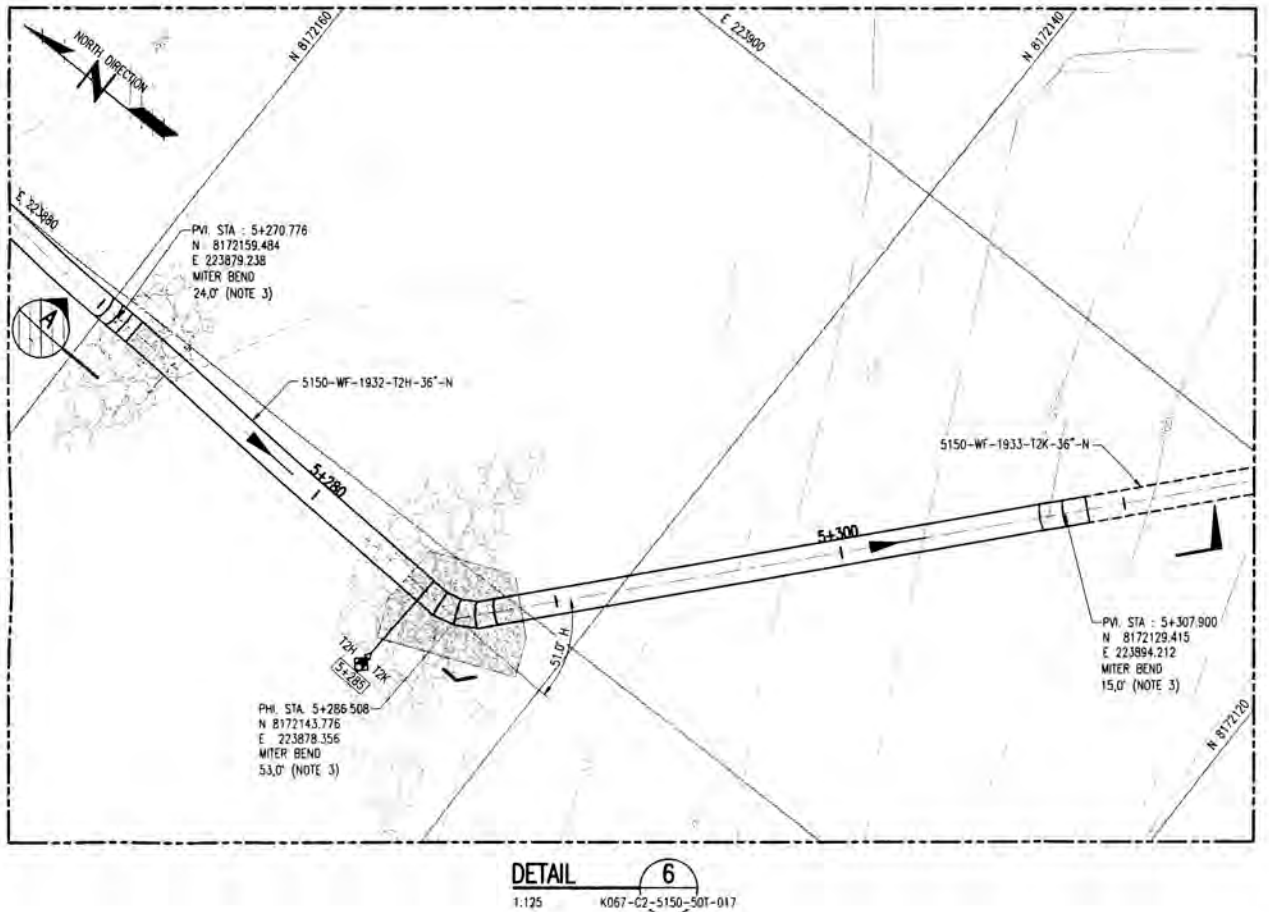
NOTAS:

- TODAS LAS DIMENSIONES ESTAN EN MILIMETROS.
- TODAS LAS ELEVACIONES Y COORDENADAS ESTAN EN METROS (S.I.C.).
- LAS COORDENADAS CORRESPONDEN AL SISTEMA GEODESICO UTM DATUM PSAD 56, ZONA 195.
- VER DETALLES DE CODOS MITRADOS EN LOS PLANOS N° K067-C2-5150-50Z-019/023.
- TUBERIA DE DRENAJE PINTADA EXTERNAMENTE CON "ESMALTE DE ALQUITRAN DE HULLA" (POR EL CONTRATISTA).
- VER DETALLES SIMILARES EN EL PLANO N° K067-C2-0000-10Z-001.
- VER EL DIBUJO K067-C2-5150-15R-015 DETALLE CAMARA DE VALVULA.

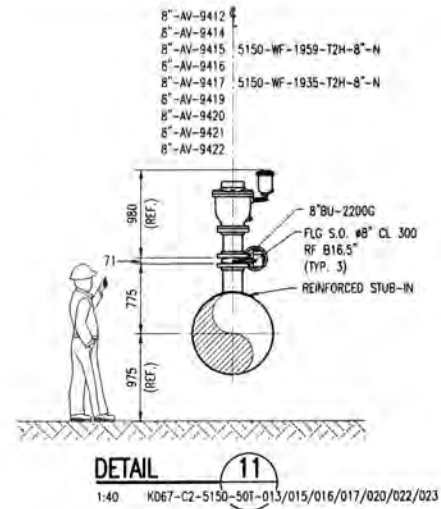
ENGLISH LANGUAGE SHALL GOVERN
LA LENGUA INGLESA TENDRA PRECEDENCIA

REV.	DATE	REVISION DESCRIPTION		DES. CHK	APPROVED	REV.	DATE	REVISION DESCRIPTION		DES. CHK	APPROVED	REFERENCE DRAWING No.	REFERENCE DRAWINGS
		REV.	DATE					REV.	DATE				
												240K-C2-5100-25J-006	FRESH WATER SYSTEM - PUMP STATION N° 4B - PIPING AND INSTRUMENTATION DIAGRAM
												K067-C2-5150-50Z-011	FRESH WATER SYSTEM - PIPING ARRANGEMENT - PIPELINE DISCHARGE FROM PS4B TO CV2 STORAGE AREA PLAN & PROFILE (1/16)
												K067-C2-5150-50Z-012	FRESH WATER SYSTEM - PIPING ARRANGEMENT - PIPELINE DISCHARGE FROM PS4B TO CV2 - DETAILS (1/2)
												K067-C2-5150-15R-015	FRESH WATER SYSTEM - CONCRETE VALVE CHAMBER PS4B-CV2 PLAN AND SECTIONS - FORMWORK AND REINFORCEMENT.

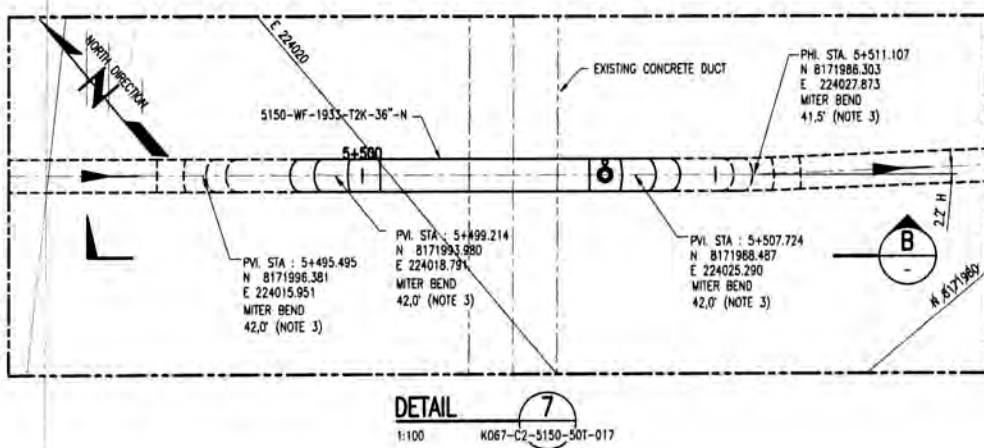
DRAWN BY	APPROVAL DATE	FRESH WATER SYSTEM PIPING ARRANGEMENT PIPELINE DISCHARGE FROM PS4B TO CV2 SECTIONS	
DESIGNED BY	APPROVAL DATE	SISTEMA DE AGUA FRESCA ARREGLO DE TUBERIAS - LINEA DE DESCARGA DESDE LA ESTACION DE BOMBEO PS4B HASTA EL AREA DE ALMACENAMIENTO CV2 - SECCIONES	
CHECK DESIGN	APPROVAL DATE		
LEAD ENGINEER	APPROVAL DATE	CLIENT	APPROVAL DATE
ENGINEERING MANAGER	APPROVAL DATE	SCALE INDICATED	DRAWING NUMBER
			K067-C2-5150-50Z-015
			REV. 0



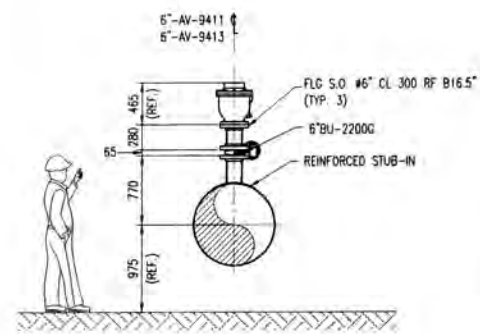
DETAIL 6
1:125 K067-C2-5150-50T-017



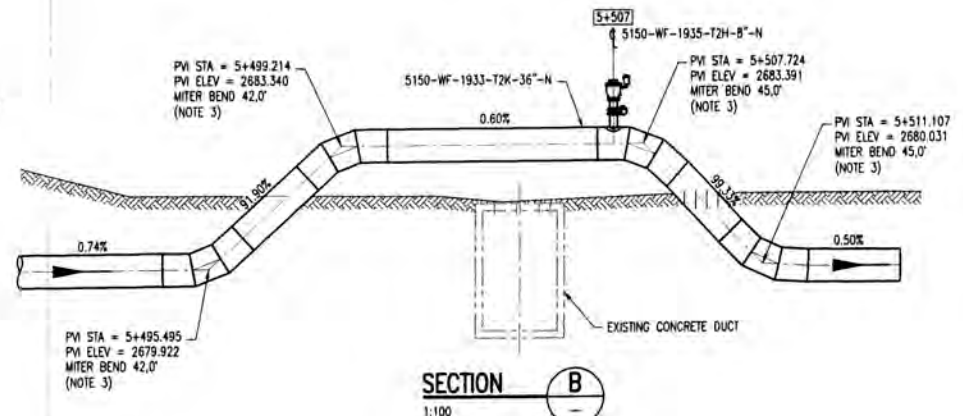
DETAIL 11
1:40 K067-C2-5150-50T-013/015/016/017/020/022/023



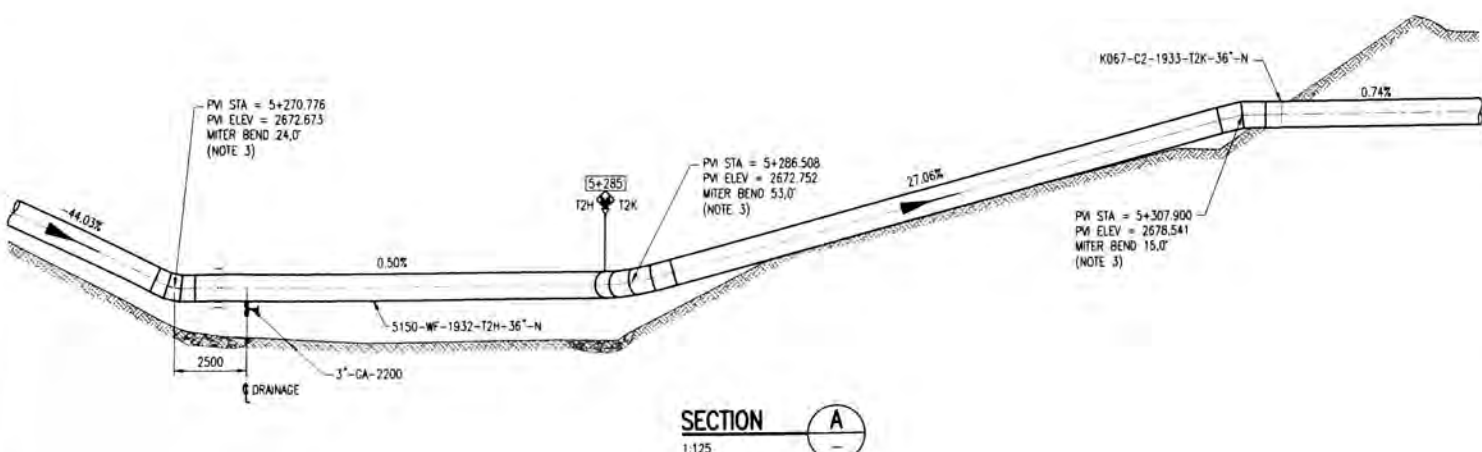
DETAIL 7
1:100 K067-C2-5150-50T-017



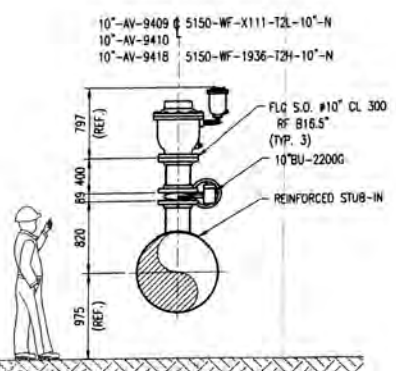
DETAIL 12
1:40 K067-C2-5150-50T-012/014



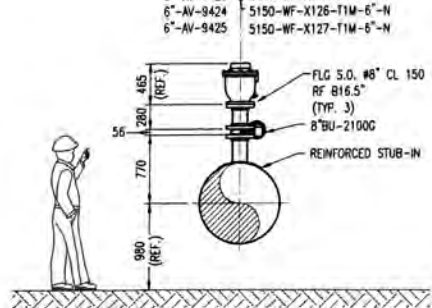
SECTION B
1:100



SECTION A
1:125



DETAIL 25
1:40 K067-C2-5150-50T-011/019



DETAIL 26
1:40 K067-C2-5150-50T-024/025/033

NOTAS:

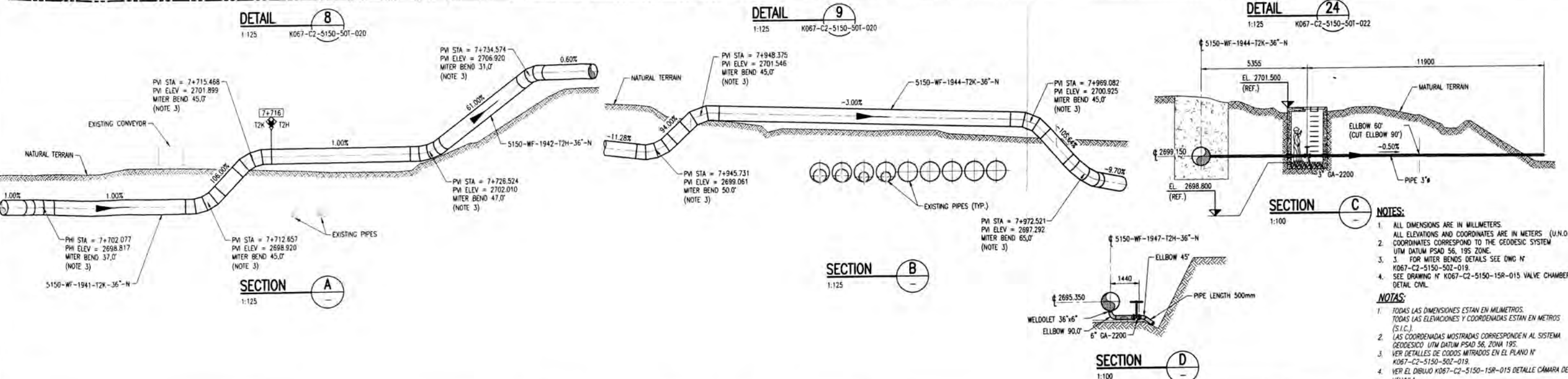
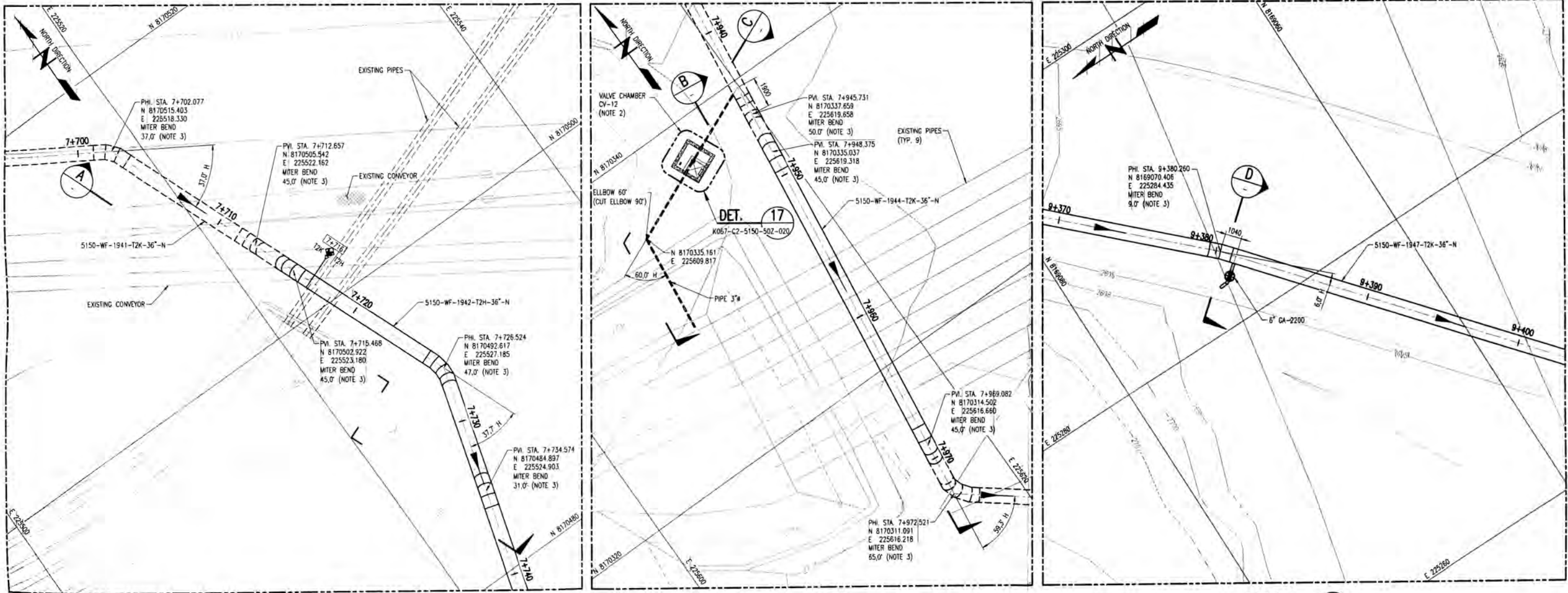
1. TODAS LAS DIMENSIONES ESTAN EN MILIMETROS.
ALL DIMENSIONS ARE IN MILLIMETERS.
2. LAS COORDENADAS MOSTRADAS CORRESPONDEN AL SISTEMA GEODESICO UTM DATUM PSAD 56, ZONA 195.
ALL ELEVATIONS AND COORDINATES ARE IN METERS (S.L.C.).
3. PARA MITER BENDS DETALLES SEE DWG N° K067-C2-5150-50Z-019/023.

NOTAS:

1. TODAS LAS DIMENSIONES ESTAN EN MILIMETROS.
ALL DIMENSIONS ARE IN MILLIMETERS.
2. LAS COORDENADAS MOSTRADAS CORRESPONDEN AL SISTEMA GEODESICO UTM DATUM PSAD 56, ZONA 195.
ALL ELEVATIONS AND COORDINATES ARE IN METERS (S.L.C.).
3. VER DETALLES DE CODOS MITRADOS EN LOS PLANOS N° K067-C2-5150-50Z-019/023.

ENGLISH LANGUAGE SHALL GOVERN
LA LENGUA INGLESA TENDRA PRECEDENCIA

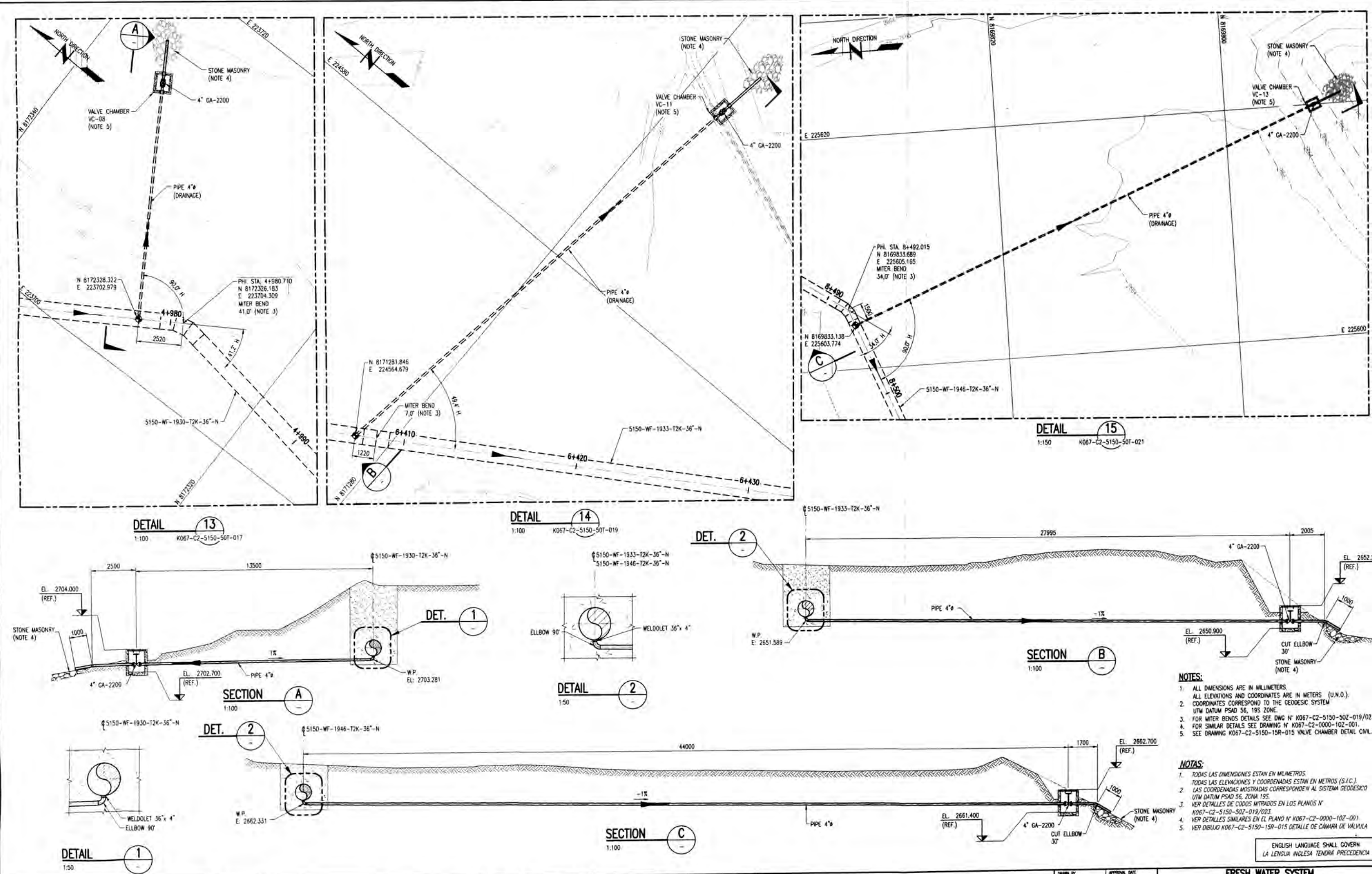
REV.	DATE	REVISION DESCRIPTION		DES. CHK.	APPROVED	REV.	DATE	REVISION DESCRIPTION		DES. CHK.	APPROVED	REFERENCE DRAWING No.	REFERENCE DRAWINGS	DRAWN BY	APPROVAL DATE	FRESH WATER SYSTEM PIPELINE DISCHARGE FROM PS4B TO CV2 SECTIONS & DETAILS						
		DES.	CHK.					DES.	CHK.							DESIGNED BY	APPROVAL DATE	LEAD ENGINEER	APPROVAL DATE			
												K067-C2-5150-50T-017	FRESH WATER SYSTEM - PIPING ARRANGEMENT - PIPELINE DISCHARGE FROM PS4B TO CV2 - PLAN & PROFILE (7/16)									
																	CHECK DESIGN	APPROVAL DATE	ENGINEERING MANAGER	APPROVAL DATE		
																			CURRY	APPROVAL DATE	SCALE INDICATED	DRAWING NUMBER
																					K067-C2-5150-50Z-016	PAGE 0



REV.	DATE	REVISION DESCRIPTION		DES. CHK.	APPROVED	REV.	DATE	REVISION DESCRIPTION		DES. CHK.	APPROVED	REFERENCE DRAWING No.	REFERENCE DRAWINGS			FRESH WATER SYSTEM PIPELINE DISCHARGE FROM PS4B TO CV2 SECTIONS & DETAILS			
		1	2					3	4							15	16		
								K067-C2-5150-50T-020	FRESH WATER SYSTEM - PIPING ARRANGEMENT PIPELINE DISCHARGE FROM PS4B TO CV2, STRANGE AREA PLAN & PROFILE (10/16)							DESIGNED BY	APPROVAL DATE		
								K067-C2-5150-50T-020	FRESH WATER SYSTEM - PIPING ARRANGEMENT PIPELINE DISCHARGE FROM PS4B TO CV2, STRANGE AREA PLAN & PROFILE (10/16)						CHECK DESIGN	APPROVAL DATE			
								K067-C2-5150-15R-015	FRESH WATER SYSTEM - CONCRETE VALVE CHAMBERS PS4B TO CV2 PLAN AND SECTIONS- FORMWORK AND REINFORCEMENT						LEAD ENGINEER	APPROVAL DATE			
																ENGINEERING MANAGER	APPROVAL DATE		
																CLIENT	APPROVAL DATE	SCALE INDICATED	DRAWING NUMBER K067-C2-5150-50Z-017
																			REV. 0

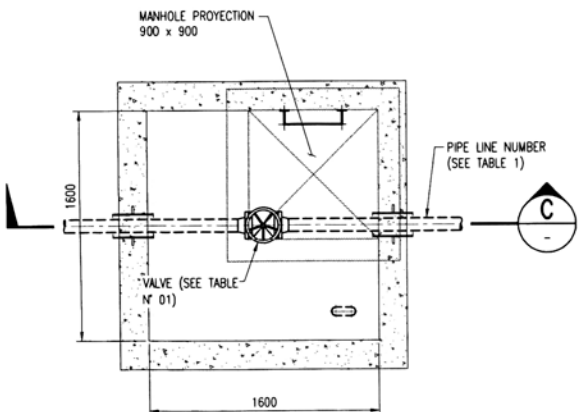
FRESH WATER SYSTEM
PIPELINE DISCHARGE FROM PS4B TO CV2
SECTIONS & DETAILS

SISTEMA DE AGUA FRESCA
ARREGLO DE TUBERIAS - LÍNEA DE DESCARGA DESDE
LA ESTACIÓN DE BOMBEO PS4B HASTA EL ÁREA DE
ALMACENAMIENTO CV2 - SECCIONES & DETALLES

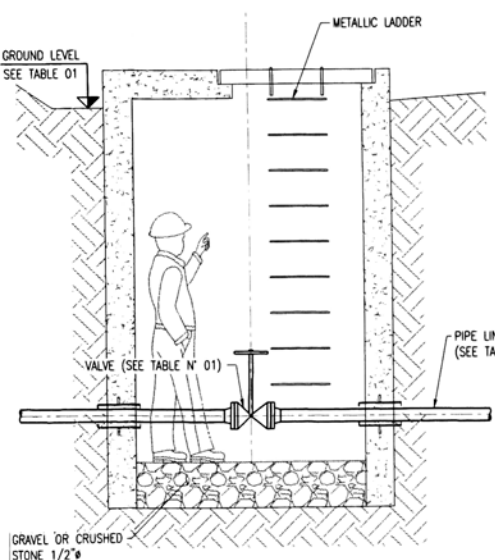


REV.	DATE	REVISION DESCRIPTION		DES. CHK.	APPROVED	REV.	DATE	REVISION DESCRIPTION		DES. CHK.	APPROVED	REFERENCE DRAWING No.	REFERENCE DRAWINGS
		DES.	CHK.					DES.	CHK.				
								K067-C2-5150-017				FRESH WATER SYSTEM - PIPING ARRANGEMENT PIPELINE DISCHARGE FROM PS4B TO CV2 STORAGE AREA PLAN & PROFILE (7/16)	
								K067-C2-5150-019				FRESH WATER SYSTEM - PIPING ARRANGEMENT PIPELINE DISCHARGE FROM PS4B TO CV2 STORAGE AREA PLAN & PROFILE (9/16)	
								K067-C2-5150-021				FRESH WATER SYSTEM - PIPING ARRANGEMENT PIPELINE DISCHARGE FROM PS4B TO CV2 STORAGE AREA PLAN & PROFILE (11/16)	
								K067-C2-5150-15R-015				FRESH WATER SYSTEM - CONCRETE VALVE CHAMBERS PS4B-CV2 PLAN AND SECTIONS-FORMWORK AND REINFORCEMENT	

DRAWN BY	APPROVAL DATE	FRESH WATER SYSTEM PIPING ARRANGEMENT PIPELINE DISCHARGE FROM PS4B TO CV2 SECTIONS & DETAILS	
DESIGNED BY	APPROVAL DATE	SISTEMA DE AGUA FRESCA ARREGLO DE TUBERIAS - LÍNEA DE DESCARGA DESDE LA ESTACIÓN DE BOMBEO PS4B HASTA EL ÁREA DE ALMACENAMIENTO CV2 - SECCIONES & DETALLES	
CHECK DESIGN	APPROVAL DATE		
LEAD ENGINEER	APPROVAL DATE		
ENGINEERING MANAGER	APPROVAL DATE		
CLIENT	APPROVAL DATE	SCALE INDICATED	DRAWING NUMBER
			K067-C2-5150-018
			REV. 0

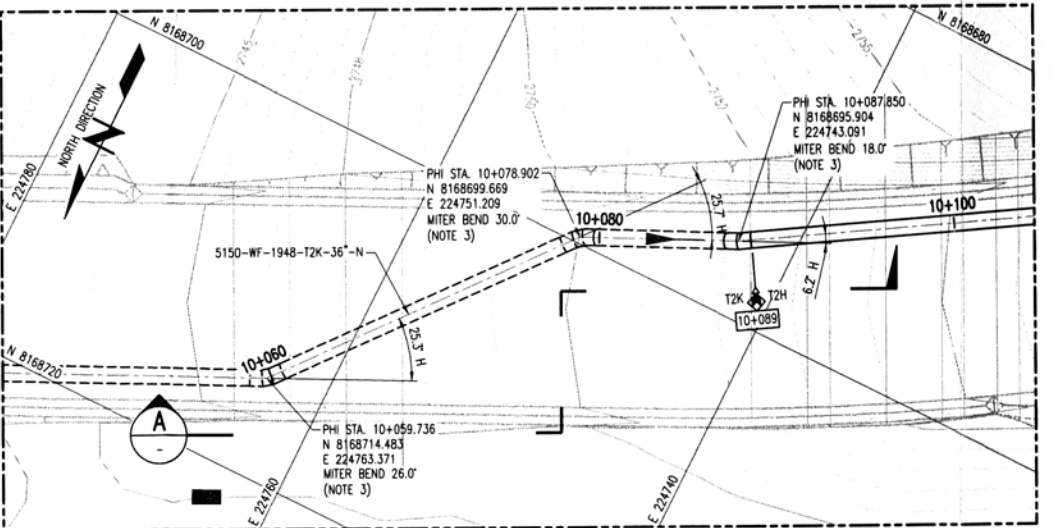


DETAIL 17
1:25 K067-C2-5150-50Z-013/017
(NOTE 5)

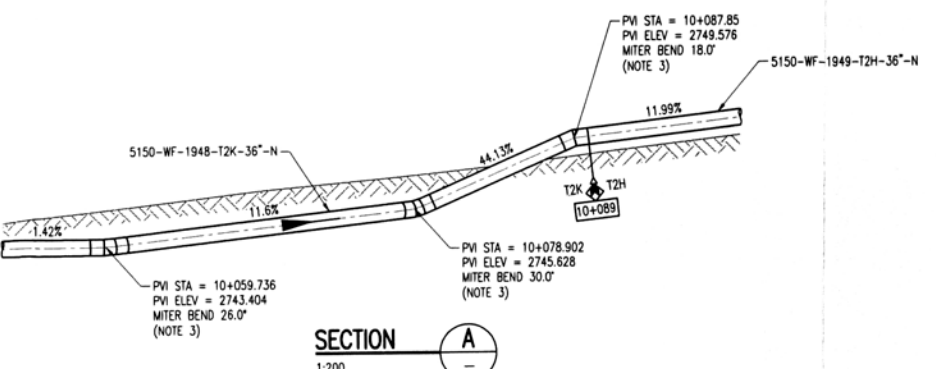


SECTION C
1:25

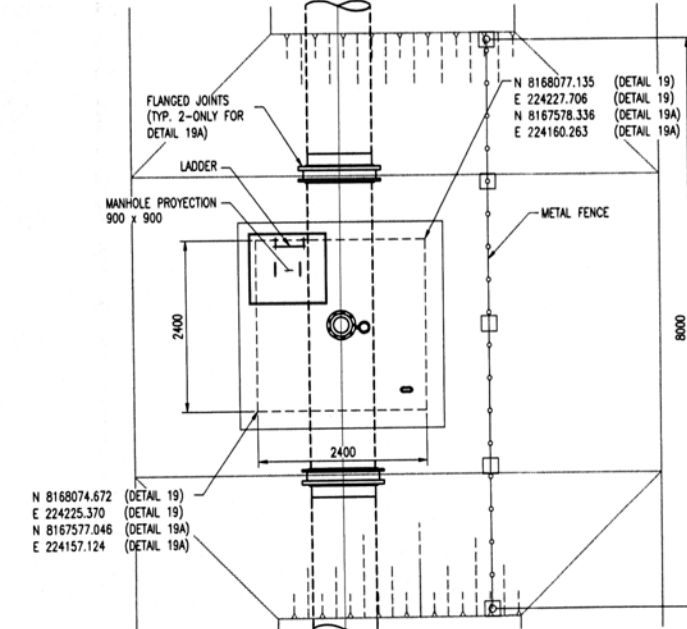
TABLE N° 01 DRAINAGE PIPING DETAILS				
NUMBER LINE	STATION	GROUND LEVEL (m)	VALVES CODE	ACCESSORIES FOR VALVE INSTALLATION
5150-WF-1944-T2K-36"-N	7+944	2701.350	2" GA-2200	02 FLG SO 300# RF-B16.5 02 GASKETS 300# RF NBR RING 1/8"
5150-WF-1951-T2K-4"-N	0+033	2581.928	4" GA-2200	02 FLG SO 300# RF-B16.5 02 GASKETS 300# RF NBR RING 1/8"



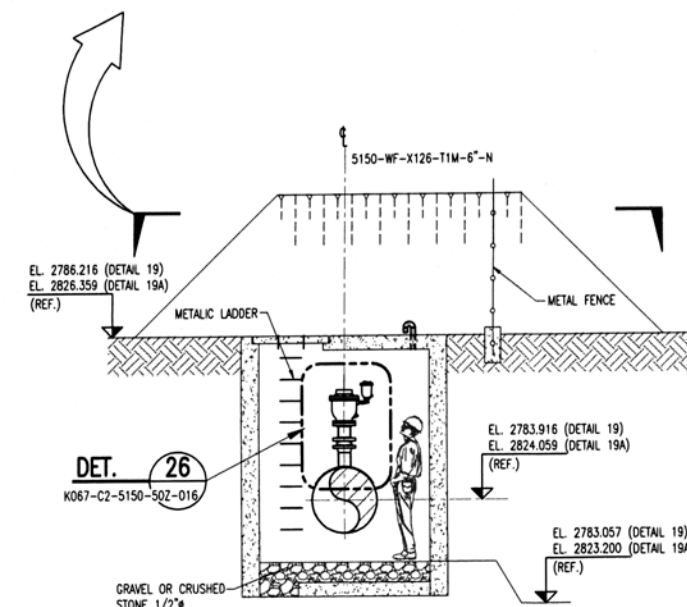
DETAIL 29
1:200 K067-C2-5150-50T-023



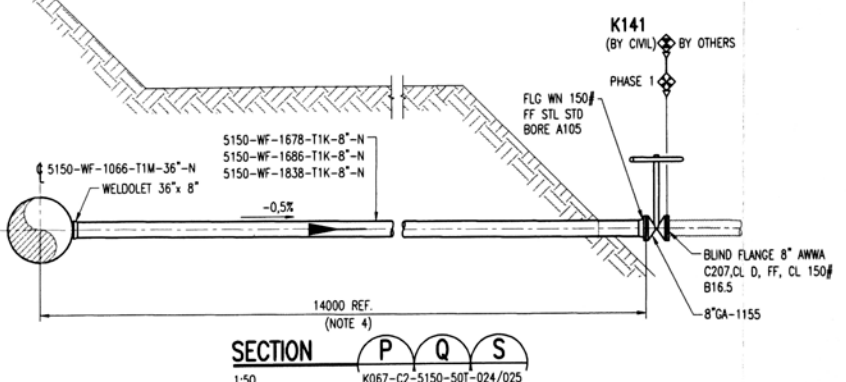
SECTION A
1:200



N 8168074.672 (DETAIL 19)
E 224225.370 (DETAIL 19)
N 8167577.046 (DETAIL 19A)
E 224157.124 (DETAIL 19A)



DET. 26
K067-C2-5150-50Z-016



SECTION 19
1:50 K067-C2-5150-50T-024/025

- NOTES:**
1. ALL DIMENSIONS ARE IN MILLIMETERS.
 2. ALL ELEVATIONS AND COORDINATES ARE IN METERS (U.N.O.).
 3. COORDINATES CORRESPOND TO THE GEODESIC SYSTEM UTM DATUM PSAD 56, 19S ZONE.
 4. FOR MITER BENDS DETAILS SEE DWG N° K067-C2-5150-50Z-019/023.
 5. VALVE LOCATION TO BE DEFINED IN FIELD BY CONTRACTOR.
 - REFERENCE: SEE FLUOR DWG N° 240K-C2-7100-10C-002.
 6. SEE DRAWING K067-C2-5150-15R-015 VALVE CHAMBER DETAIL CIVIL.

- NOTAS:**
1. TODAS LAS DIMENSIONES ESTAN EN MILIMETROS.
 2. TODAS LAS ELEVACIONES Y COORDENADAS ESTAN EN METROS (S.I.C.).
 3. LAS COORDENADAS MOSTRADAS CORRESPONDEN AL SISTEMA GEODESICO UTM DATUM PSAD 56, ZONA 19S.
 4. VER DETALLES DE CODOS MITRADOS EN LOS PLANOS N° K067-C2-5150-50Z-019/023.
 5. UBICACION DE VALVULA A SER DEFINIDA EN OBRA POR EL CONTRATISTA.
 - REFERENCIA: VER PLANO FLUOR N° 240K-C2-7100-10C-002.
 6. VER DIBUJO K067-C2-5150-15R-015 DETALLE CIVIL DE CAMARA DE VALVULA.

ENGLISH LANGUAGE SHALL GOVERN
LA LENGUA INGLESA TENDRA PRECEDENCIA

REV.	DATE	REVISION DESCRIPTION		DES. CHK.	APPROVED	REV.	DATE	REVISION DESCRIPTION		DES. CHK.	APPROVED	REFERENCE DRAWING No.	REFERENCE DRAWINGS	DRAWN BY	APPROVAL DATE	FRESH WATER SYSTEM PIPELINE DISCHARGE FROM PS4B TO CV2 SECTIONS & DETAILS			
		DES.	CHK.					DES.	CHK.							DESIGNED BY	APPROVAL DATE		
								K067-C2-5150-50T-011/016		FRESH WATER SYSTEM - PIPING ARRANGEMENT - PIPELINE DISCHARGE FROM PS4B TO CV2 - PLAN & PROFILE (7/16)					DESIGNED BY	APPROVAL DATE			
								K067-C2-5150-15R-015		FRESH WATER SYSTEM - CONCRETE VALVE CHAMBERS PS4B-DV2 PLAN AND SECTIONS-FORMWORK AND REINFORCEMENT					CHECK DESIGN	APPROVAL DATE			
															LEAD ENGINEER	APPROVAL DATE			
															ENGINEERING MANAGER	APPROVAL DATE			
															CLIENT	APPROVAL DATE	SCALE	DRAWING NUMBER	REV.
															INDICATED			K067-C2-5150-50Z-020	1

FRESH WATER SYSTEM
PIPELINE DISCHARGE FROM PS4B TO CV2
SECTIONS & DETAILS

SISTEMA DE AGUA FRESCA
ARREGLO DE TUBERÍAS - TUBERÍA DE DESCARGA DE
LA ESTACIÓN DE BOMBEO PS4B HASTA EL ÁREA
DE ALMACENAMIENTO CV2 - SECCIONES Y DETALLES

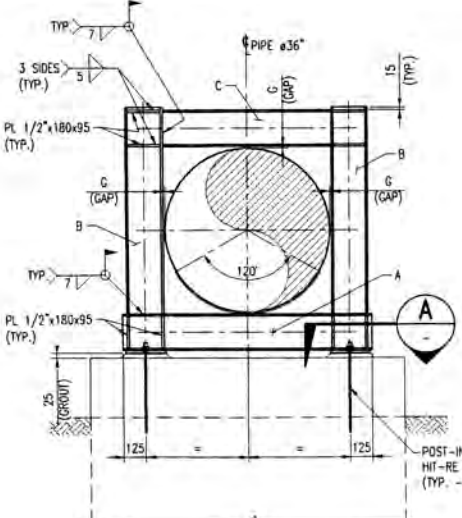
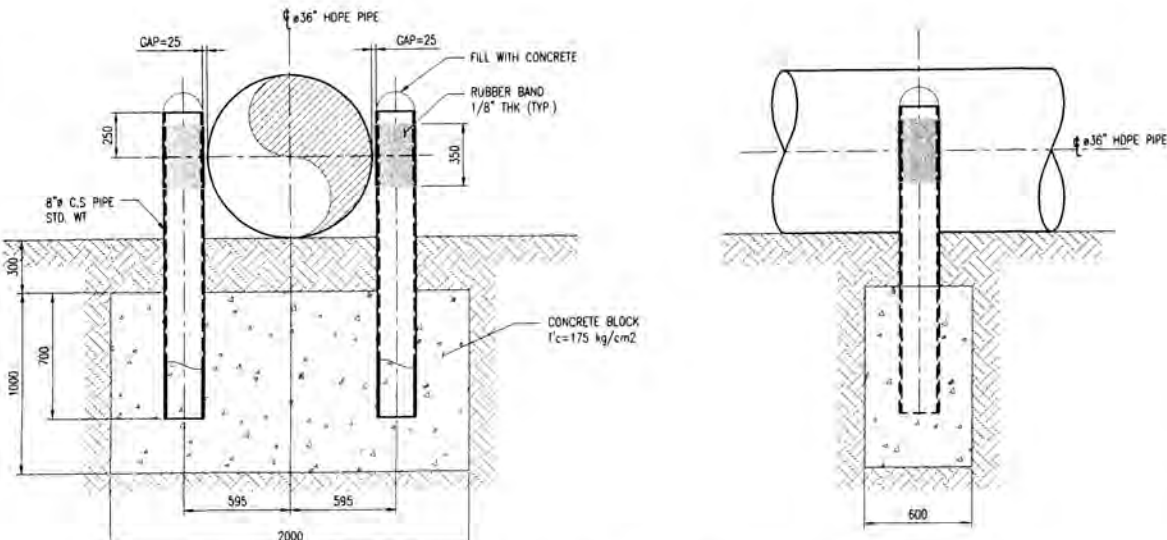


TABLE 1 - PIPING SUPPORTS FEATURES

METALLIC PIPING SUPPORT ID	METALLIC FRAME					ANCHOR BOLTS				
	QTY.	SHAPE A	SHAPE B	SHAPE C	CAP G mm	DIAMETER	L mm	h _{ef} mm	P mm	QTY
MG-1602-A1	135	WBx31	WBx31	WBx31	0	1	500	440	60	04
MG-1602-A2	10	WBx31	WBx31	WBx31	3	1	500	440	60	04
MG-1602-B	330	WBx31	WBx31	WBx31	5	1	500	440	60	04
MG-1602-D	13	WBx31	WBx31	WBx31	10	1	500	440	60	04

DETAIL OF PIPE
SUPPORT TYPE GUIDE
MG-1602-A1.A2.B.D

1



DETAIL OF PIPE
SUPPORT TYPE GUIDE

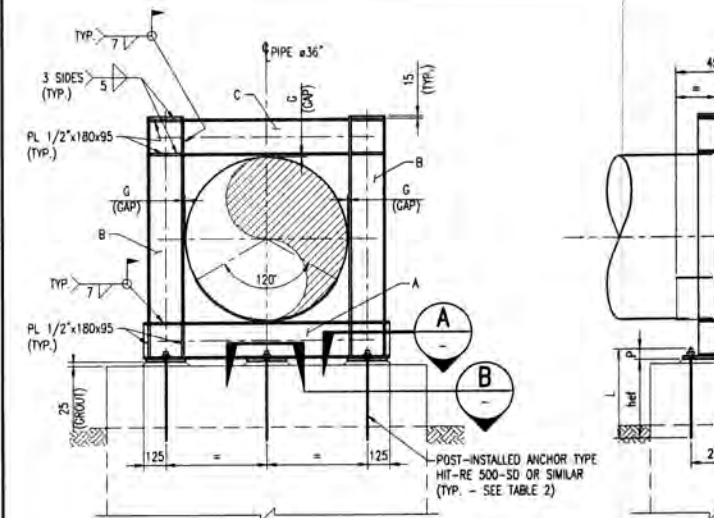


TABLE 2 - PIPING SUPPORTS FEATURES

METALLIC PIPING SUPPORT ID	METALLIC FRAME				ANCHOR BOLTS					
	QTY.	SHAPE A	SHAPE B	SHAPE C	CAP G mm	DIAMETER in	L mm	h _{ef} mm	P mm	QTY
MG-1603-A1	01	W6x31	W6x31	W6x31	0	1	500	440	60	06
MG-1603-A2	03	W6x31	W6x31	W6x31	3	1	500	440	60	06
MG-1603-A3	01	W6x31	W6x31	W6x31	4	1	500	440	60	05
MG-1603-D	02	W6x31	W6x31	W6x31	10	1	500	440	60	06

DETAIL OF PIPE
SUPPORT TYPE GUIDE
MG-1603-A1,A2,A3,D

1

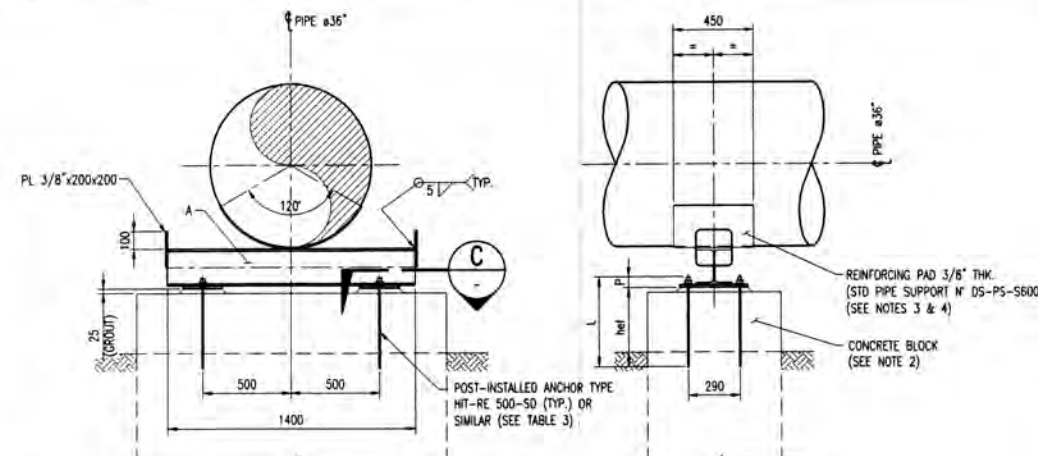
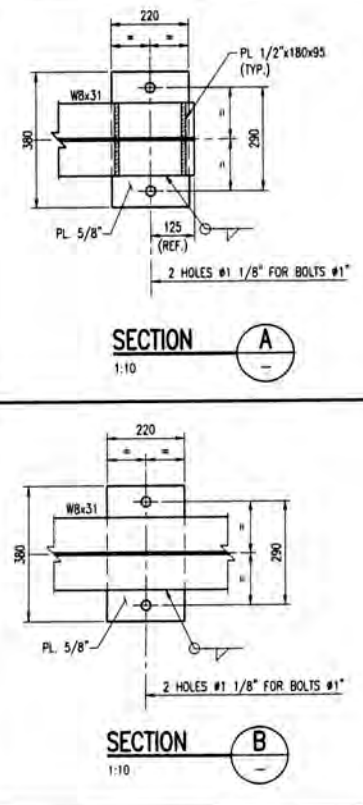


TABLE 3 - PIPING SUPPORTS FEATURES

METALLIC PIPING SUPPORT ID	METALLIC FRAME					ANCHOR BOLTS				
	QTY.	SHAPE A	SHAPE B	SHAPE C	GAP mm	DIAMETER in	L mm	h_f mm	P mm	QTY.
MV-1601	57	W&Z1	-	-	-	1	500	440	60	04

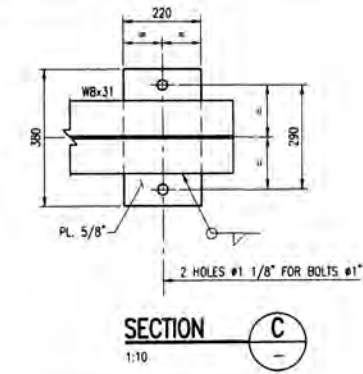
DETAIL OF PIPE
SUPPORT TYPE V-STOP
MV-1601

12



SECTION

SECTION



SECTION

E N S I O N S A R E I N M I L L I M E T E R S (U . N . O) .
C O N C R E T E B L O C K S & F O U N D A T I O N S D E T A I L S
C O N C R E T E D R A W I N G S N ° K 0 6 7 - C 2 - 5 1 5 0 - 1 5 0 • 3 0 5 .
P I P I N G S U P P O R T S D A T A S H E E T : 2 4 0 K - C 2 - D 5 - 5 0 - 0 0 4 A .
S T A T E S S H A L L B E A S T - A - 3 6 (U . N . O) .
C . E U F E C T R O D E S , S H A L L R E A W S , F T Z Y V .

NOTAS

- TODAS LAS DIMENSIONES ESTAN EN MILIMETROS (S.I.C.)
VER DETALLES DE BLOQUES DE CONCRETO Y FUNDACIONES EN
LOS PLANOS DE CONCRETO N° K067-C2-5150-15R-300 @ 305.
VER "PIPER SUPPORTS DATA SHEET" 240K-C2-D5-50-004A
TODAS LAS PLANCHAS SERAN ASTM A-36 (S.I.C.).
ELECTRODOS DE SOLDADURA SERAN ANNS E70XX.

ENGLISH LANGUAGE SHALL COVER
LA LENGUA INGLESA TENDRÁ PREFERENCIA

FRESH WATER SYSTEM
PIPING SUPPORTS
PIPELINE DISCHARGE FROM PS4B TO CV2
DETAILS

SISTEMA DE AGUA FRESCA
SOPORTES PARA TUBERÍAS - LÍNEA DE DESCARGA
DESDE LA ESTACIÓN DE BOMBEO PS4B HASTA EL
ÁREA DE ALMACENAMIENTO CV2 - DETALLES

NAME OF ACQUAINTANCE: CLEO DAVIS
SCALE DRAWING NUMBER K067-C2-5150-50Z-111 REV. 0
INDICATED